

第187研究部会

海洋構造物の深海係留に関する調査研究

報告書

昭和58年3月

社団法人
日本造船研究協会

深海域における浮遊式海洋構造物の係留に関しては、浮体の挙動及び係留力の推定法並びに係留用機器等の実用的な設計法が確立されていないのが現状である。

そこで、それらに関して総合的な調査研究を行い、より安全で実用性のある深海係留技術の確立に必要な要素技術及び関連技術の段階的確立を図ることを目的として本研究部会が発足した。

本調査研究は4ヶ年計画であり、本年度は、その第2年度目で初年度に引き続いだ既存資料による基礎調査及び現状の技術調査を行うと共に、浮体の挙動及び係留力の推定法を確立するための水槽模型実験及び数値シミュレーション計算を行った。また、係留用索・鎖に関しては系統的な疲労実験を開始した。

はしがき

本報告書は、日本船舶振興会昭和57年度補助事業「海洋構造物の基礎的研究」の一部として、日本造船研究協会第187研究部会において実施した「海洋構造物の深海係留に関する研究」の成果をとりまとめたものである。

第187研究部会委員名簿（敬称略・五十音順）

部長会	安藤定雄(船舶技術研究所)
委員	朝田宏(石川島播磨重工業) 浅野皓三(日本鋼管)
	新井信一(日立造船) 伊藤剛平(日本造船工業会)
	井上義行(横浜国立大学) 岩佐成明(住友重機械工業)
	宇ノ木賢一(三菱重工業) 大川豊(船舶技術研究所)
	太田垣由夫(石川島播磨重工業) 岡武秀雄(三井造船)
	小寺山亘(九州大学) 小保方準(住友重機械工業)
	鍾ヶ江官朗(日立造船) 小段範久(日本鋼管)
	小林正典(三井造船) 斎藤公男(大阪大学)
	酒井義男(日本鋼管) 堀由輝(川崎重工業)
	坂尾稔(川崎重工業) 庄司邦昭(東京商船大学)
	鈴木信一(新日本製鐵) 関田欣治(新日本製鐵)
	高木幹雄(広島大学) 田中陽(川崎重工業)
	中西宏(神戸製鋼所) 仲渡道夫(広島大学)
	日笠則明(日本海事協会) 藤野正隆(東京大学)
討議参加者	小川和夫(日本鋼管) 坂田隆司(川崎重工業)
	島田潔(三井造船) 田嶋栄吉(川崎重工業)
	谷村仁司(川崎重工業) 中嶋俊夫(住友重機械工業)
	早崎清志(神鋼鋼線) 馬場哲治(日立造船)
	平林茂樹(日立造船) 山岸直人(石川島播磨重工業)
	山本崇也(三菱重工業)

目 次

第1章 緒 言	1
第2章 基礎調査	3
第3章 浮体の挙動及び係留力の推定法	5
3.1 潮流による索・鎖の大変形及び索・鎖の静的・動的特性	5
3.1.1 文献調査	5
3.1.2 係留用索・鎖要素に働く流体力に関する実験	28
3.1.3 係留ラインに働く張力の3次元推定法	58
3.2 緩係留における長周期運動	87
3.2.1 流体力と運動の計算方法	87
3.2.2 計算結果と考察	89
3.3 複合索・鎖	108
3.3.1 はじめに	108
3.3.2 計算条件	108
3.3.3 計算方法	109
3.3.4 計算結果	109
3.3.5 係留特性に関する一般的な事項	110
3.3.6 係留規模の概略設定法	111
3.4 海洋構造物の深海係留システムにおける運動数値シミュレーション手法の検討	117
3.4.1 運動計算式	117
3.4.2 線形係留系に対する計算結果の比較	117
3.4.3 非線形係留系に対する計算結果の比較	118
第4章 係留用要素機器	123
4.1 現況調査	123
4.1.1 新係留索・鎖	123
4.1.2 深海施工法	126
4.1.3 維持補修及び塗装	136
4.1.4 海底土質及び把駐力	146
4.1.5 高把駐力アンカー	158
4.2 浅海係留と深海係留との相違	158
4.2.1 係留諸元の実績に基づく係留特性の推定	158
4.2.2 索・鎖・アンカー以外の係留用要素機器	161

4.3. 索	164
4.3.1 鋼索の構造とその特性	164
4.3.2 鋼索の強度	168
4.3.3 鋼索の部分片振り張疲労試験	172
4.4 鎖の強度に関する実験	182
4.4.1 文 献 調 査	182
4.4.2 疲労強度に関する実験	182
4.5 索・鎖の生物付着	193
4.5.1 付着生物の種類及び特性	193
4.5.2 生物付着量の実測例	196
第5章 結 言	199

第 1 章 緒 言

わが国は、国土が狭隘で、かつ地勢的にも山地が多く、四方を海で囲まれているため、古くから海岸を通して人類が海洋から多大の恩恵をこうむって来ていると共に、文化形成にも海洋の影響が色濃く残っていて海洋との関係が広く、かつ深いといえる。

一方、近年国際海洋法会議において経済水域を200海里とする提案がなされている。

この様な情勢とわが国が高度に発達した基幹産業を保有すると共に資源のほとんどを海外からの輸入に依存していること等を勘案するとわが国は、現時点における豊かな国民生活と社会経済とを今後とも維持するためには、より一層真の海洋開発を促進することが必要であるといえる。

海洋開発をより一層促進させるためには、これまでの臨海部の埋立といった海洋利用パターンから脱却し、深海域の海洋空間等の高度利用パターンを可能にする技術を早急に開発する必要があるといえる。

それに対処するための最重要課題の一つとして深海域における浮遊式海洋構造物の係留技術の段階的な開発に関して本研究部会は取り組むこととした。

本研究部会が取り組んだ海洋構造物の深海係留に関する調査研究は、昭和56年度から4ヶ年計画で実施しているものであり、本報告書は本研究部会が第2年度目として調査研究した内容をとりまとめたものである。

次に本研究部会が第2度目の昭和57年度において実施した調査研究の概要を以下に記述する。

(1) 基礎調査

基礎調査は、昭和56年度に引き続いて既存及び計画中の浮遊式海洋構造物の係留に関する文献による調査を行うと共に各船級協会等の係留に関する設計基準についての調査を行った。

(2) 浮体の挙動及び係留力の推定法

(1) 潮流による索・鎖の静的・動的特性

まず、既存資料に基づいて索・鎖に働く流体力としては、流入角と抗力係数、潮海流と波浪の共存時の流体力及び生物付着による流体力等を調べた。また、係留ラインに働く張力の静的特性と変動張力特性等に関して文献調査を広範囲に亘って実施した。

つぎに、昭和56年度にまとめた実験方案に基づいて、係留用索・鎖の要素に働く流体力に関する実験としては、スタッド付チェーン、ストランドロープ及びスパイラルロープの模型を用いて一様流中における抵抗及び強制動搖法による流体力を系統的な実験にて究明すると共に既存資料と比較検討した。

最後に、係留ラインに働く張力の3次元推定法を用い、静的張力特性に関しては、係留ラインの要目、係留角度、スコープ、潮流の強さ及びその分布等を系統的に変化させて数値計算し、設計に役立つ図表にして提示した。また、変動張力特性に関しては、2次元計算法を3次元計算法に拡張する方法を確立し、その有効性を水槽模型実験値と比較検討した。

(2) 緩係留における長周期運動

係留浮体の長周期運動を浮体の水平面内の非対称運動として取り扱い、その主な要因の一つが波浪漂流力であるとし、2次元矩形断面を有する浮体について数値シミュレーションにて波浪漂流力の時系列を求め、その結果を用いて浮体の運動の時系列を求めてそのヒストグラムから長周期運動の発生原因を究明した。

(3) 複合索・鎖

現在実用されている索・鎖を用いて係留諸元、水深及び船体動搖等を系統的に変化させ具体的な係留規模の最大係留力を概略設定する図表を作成した。そして、その図表の使用法を示した。

(二) 海洋構造物の深海係留システムにおける運動数値シミュレーション手法の検討

第1段階として簡単な浮体と係留系を用いてメモリー影響関数と動搖速度との積分による流体力係数を用いた時間領域法並びに一般に使用されている周波数依存した流体力係数を用いた周波数領域法とで規則波及び不規則波中における運動シミュレーション計算を行い、両者の比較検討を行うと共に既存の実験結果との比較検討を行った。

(3) 係留用要素機器

(1) 現況調査

まず、新係留索・鎖に関しては大水深海域で使用する索・鎖の強度の増加及び水中重量の低減する方法に関する特許及び実用新案等を調査した。

また、深海施工法に関しては、S A L M, T L P 及びガイドタワーの施工例を示すと共に、それを施工する際に特に必要となる施工技術を抽出して概説した。

つぎに、維持補修及び塗装に関しては、石油掘削リグ等に通常用いられている水中検査法、水中清掃法、水中溶接法、水中切断法及び水中塗装法の現状を調査すると共に、各手法を分類してその手法及び特徴等を比較検討した。

最後に、海底土質及びアンカーの把駐力に関しては、アンカーに要求される性能と条件の抽出、アンカーの種類及びアンカーの装備実績等について文献調査した。また、高把駐力アンカーの種類及びそれの深海係留への適用性を検討した。

(四) 浅海係留と深海係留の相違

まず、係留諸元の実績にもとづく係留特性の推定法に関しては、前述の複合索・鎖の図表を用いて係留系の初期計画を実施する手法を提示した。

つぎに、索・鎖、アンカー以外の係留用要素機器に関しては、大容量のウインチやウイントラス等係留機器の現状を調査した。

(イ) 索

まず、係留用索のキックの発生を防止する非自転索に関しては、その種類、規格、自転特性及び自転トルクとキックの発生等について文献調査結果をまとめた。

つぎに、鋼索の強度に関しては、プレテンション加工が引張特性に及ぼす影響について文献調査結果をまとめた。

一方、昭和56年度に作成した索の強度に関する実験方案に基づいてロープ径及び荷重比を系統的に変化させた15本の係留索の部分片振疲労試験を実施した。その結果、索径が疲労強度に及ぼす影響を明確にすることができた。

(二) 鎖の強度

まず、鎖の腐食疲労強度に関する文献調査結果をまとめた。

つぎに、昭和56年度に作成した鎖の強度に関する実験方案に基づいて、試験用チェーンリンクの静的応力計測試験、試験用チェーンから砂時計形試験片を切り出してチェーン材料の疲労強度試験及び26本の供試体を用いて荷重範囲と応力比を系統的に変化させた疲労試験を実施した。その結果、鎖の強度特性が明確化された。

(三) 索・鎖の生物付着

まず、付着生物の種類及び付着過程と時間的変化について文献調査した。また、付着生物の一般特性となる海域、陸からの距離、水深及び材質等との関連についても文献調査を行った。

つぎに、北米、北海及び日本近海における付着生物量の実測例の文献調査結果をまとめた。

第2章 基礎調査

基礎調査としては、昭和46年度において浮遊式海洋構造物の大きさ、タイプ、稼動水深、稼動海域、係留方式及び設計条件等に関する文献調査を行い、稼動水深と構造物のタイプ及び大きさとの関係、稼動水深と係留水深と設計波高との関係並びに稼動海域と設計波高との関係等の概略を把握した。また、深海係留に適した係留方式と係留装置、各海域や船級協会等の基準における自然環境条件に対応する外力の推算法等に関する文献調査を行った。

昭和57年度においても基礎調査を実施したが、現在浮遊式海洋構造物の計画及び建造等が余り進展していない情況にあるため、目新しい深海用の浮遊式海岸構造物に関する文献が見い出しえなかつた。しかしながら、近年、北海及び北大西洋において浮遊式海洋構造物の事故が発生し、浮遊式海洋構造物の構造強度や係留システムの安全性及び復原性等に関する再検討が呼ばれていた。その一例としてIMO(International Marine Organization)の船舶の設計・設備分科会においてMODU code(Mobile Offshore Drilling Units)の広範囲に亘る改訂案がノルウェーから提案されて現在各国で検討中である。

このノルウェーの提案には、北海の事故を踏えた構造強度、係留システム及び復原性等に相当厳しい条件が示されている。

そこで、本年度の基礎調査としては、係留システムに主眼を置いて各種の設計基準及び指針等の調査を行つた。

なお、係留ラインの要素に働く流体力、係留ラインに働く張力の静的・動的特性及び係留用要素機器等に関する基礎調査及び現況調査結果は、第3章以下において記述することとする。

2.1 係留用索・鎖の規格

2.1.1 索の規格

一般用の索の規格は、日本工業規格のJIS及び日本鋼構造協会の構造用ケーブル材料規格に示されている。

船舶や海洋構造物に用いる索の規格は、各船級協会で規定しているものの曳航索や船舶の一時係留索が主体であり、長期係留索に関しては一時係留索の規定を準用しているに過ぎない。しかしながら、American Petroleum Institute(API)の規格は、索線の径別の機械的性質及び公称強度等極めて詳細に規定している。

2.1.2 鎖の規格

一般用鎖の規格は、索と同様にJIS等で規定されている。

舶用鎖の規格は、各船級協会ではほぼ統一された規定になっているが、これも一時係留用の規定で長期係留用の規定は一時係留用の規定を準用しているに過ぎない。しかしながら、APIの規格は、索と同様にリンクの表面処理、表面検査、スタッドの熔接部の検査等極めて詳細に規定している。

2.2 係留システムの設計

2.2.1 繩装数

各国の船級協会の係留設備に関する規定は、船舶の一時係留用の繩装数にてアンカーや索・鎖等の設備量が決められている。そして、各国の船級協会の間では大略統一されている。しかしながら、長期係留に関しては、繩装数では大略一致しているものの係留設備となると若干の相違が生じて来ている。だが、各国の船級協会の係留システムの設計基準は、係留システムを設計するには極めて精神的なものであり、不十分な規準であるといえる。

2.2.2 各種基準及び指針

各国の船級協会の艤装数という係留システムの設計基準に対して船級協会以外の各種基準及び指針ではある程度係留システムの設計にまで踏み込んでいるが、索・鎖による係留システムに関しては、まだ不十分な面があるといえる。しかしながら、日本造船研究協会の第14基準研究部会及び第179研究部会報告書に示されている係留システムの設計指針は、実際に係留システムを設計する手法等がかなり詳細に示されているといえる。

第3章 浮体の挙動及び係留力の推定法

3.1 潮流による索・鎖の大変形及び索・鎖の静的・動的特性

3.1.1 文献調査

浮遊式海洋構造物が、より深い水深の海域で稼動するようになるに伴って、係留ラインが長くなる。そのため、係留ラインに働く流体力は、浮体に比して無視できなくなる。従って、この流体力を正確に把握することは、浮体を含む係留系全体を設計する際に重要になってくる。また、係留ラインが長くなると、動的影響も顕著になり、準静的な係留計算法では説明が難しくなる。

ここでは、これまでに公表されている文献を調査し、現時点での索・鎖に働く流体力を推定するための有用な資料と実験式を示す。また、係留ラインに影響を与えると思われる要素を抽出し、その静的及び動的効果についてまとめる。

(1) 索・鎖に働く流体力

(a) 流入角の影響

一様な流れの中で、流れに対して角度を持って置かれた索・鎖に作用する流体力を調査した。

Hoerner¹⁾, Nortonら²⁾は円柱に関して、流入角と抗力の関係を示している。それは、いわゆるcross-flow principleであり、円柱の軸に直角方向の力が流入角の cosine の 2乗に比例し、流れと同一方向の力 (Dθ : 抗力)が、流入角の cosine の 3乗に比例する。

Relef³⁾は、smooth wire と 6 stranded wire rope に関して、円柱と同じ関係式を得ている。

宮崎ら^{4), 5)}は、3 stranded fiber rope と鎖に関して円柱と異った関係式を示している。つまり、流れと同一方向の力 (Dθ : 抗力)が、流入角の cosine の 2乗に比例するとしている。

以上の文献をまとめると、流入角と抗力の関係は、表 3.1.1.1 のようになる。

表 3.1.1.1 流入角と抗力係数

索・鎖の種類	円柱	6 stranded	3 stranded	鎖
C _{Dθ}		C _{D0} COSθ		C _{D0} COS ² θ
C _{Lθ}		C _{D0} SinθCOS ² θ		$\frac{1}{4} C_{D0} \sin 2\theta (\sin \theta + \cos \theta)$

但し C_{D0} : 流入角が 0° のときの抗力係数 (= $\frac{D\theta}{\frac{1}{2} \rho A U^2}$)

C_{Lθ} : 流入角が θ のときの揚力係数 (= $\frac{L\theta}{\frac{1}{2} \rho A U^2}$)

C_{D0} : 流入角が 0° のときの抗力係数

D_θ : 流入角が θ のときの抗力

L_θ : 流入角が θ のときの揚力

ρ : 流体密度

A : 流入角が 0° のときの投影面積

鎖の 1 m 当りの投影面積 (mm²) = 2278 d^{0.99}

d : 径び径 (mm)

u : 流速

5) 宮崎らは、索・鎖の抗力係数 $C_{D0} = 1.2$, $C_{D90} = 0.09$ 程度であるとしている。図 3.1.1.1 に実験結果と実験式から得られる曲線を例示する。

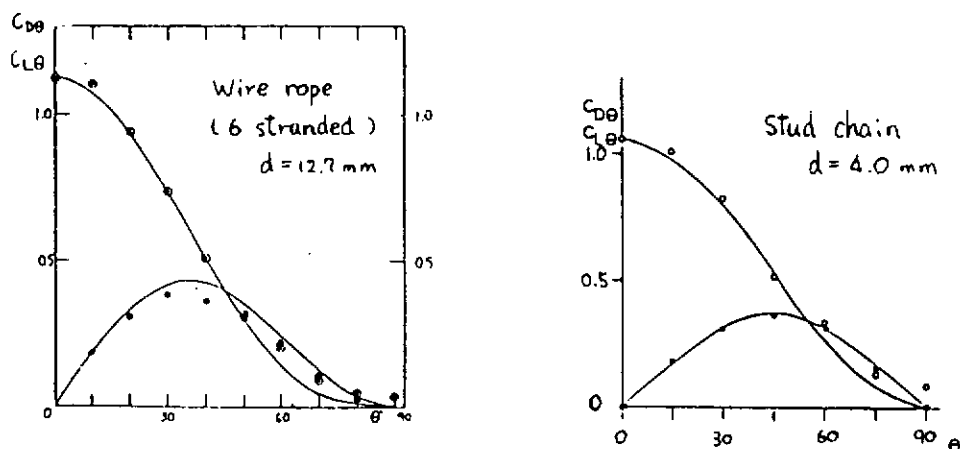
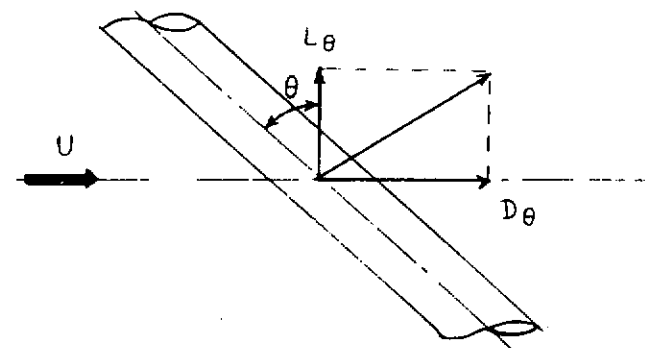


図 3.1.1.1 索・鎖の抗力・揚力係数と流入角⁵⁾

宮崎⁶⁾は、模型試験から、ロープの付加質量を次の実験式で表わしている。

$$M'_\theta = M'_0 \cos^2 \theta + M'_{90} \sin^2 \theta$$

$$\text{但し, } M' = \frac{Mv}{V \cdot \rho}$$

Mv : ロープの付加質量

v : ロープの吸水状態における体積

θ : 流入角

宮崎の実験では、 $M'_0 = 1.0 \sim 2.1$, $M'_{90} = 0.3 \sim 0.8$ である。

図 3.1.1.2 に、実験結果と実験式から得られる曲線を例示する。

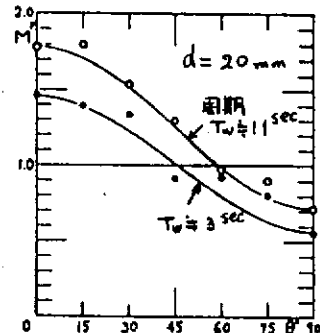


図 3.1.1.2 索の付加質量係数と傾角⁶⁾

(b) 潮海流と波浪の共存影響

一様な流れである潮海流と、周期的に流速が変動する波浪とが同時に索・鎖に作用する場合、または、索・鎖が潮海流中で周期的に運動する場合は、潮海流、波浪、運動が各々単独に存在する場合の流体力の単純和では説明できない。小寺山ら⁷⁾の円柱に関する実験的研究結果を以下に示す。なお、この実験では円柱を曳航している。

(i) 平水中を前進しながら左右揺れる円柱に加わる流体力

(1) 実験状態

$$\text{無次元速度 } U_x = U T_x / D = 1.0 \sim 8.0$$

$$KC \text{ 数 } K_C = 2\pi X_A / D = 4 \sim 71$$

$$\text{レイノルズ数 } R_n = (U^2 + W^2 X_A^2)^{1/2} \cdot D / \nu = 0.4 \sim 3 \times 10^4$$

但し、 U : 前進速度

$$T_x : \text{強制右揺の周期} (w = \frac{2\pi}{T_x})$$

X_A : // 振幅

D : 円柱の直径

A : $D \cdot L$ (L :直さ)

ν : 流体の動粘性係数

(2) 実験結果

$$F_D = -\frac{1}{2} \rho A C_{DY0} \sqrt{U^2 + 0.5 X_A^2 \omega^2 U j}$$

$$+ \frac{1}{2} \rho A C_{DX1} \sqrt{U^2 + 0.5 X_A^2 \omega^2 X_A \omega \cos \omega t i}$$

ここで、 C_{DY0} は、フーリエ解析から得られる前進方向成分の定常力係数であり、 C_{DX1} は左右方向成分の変動力係数である。 C_{DY0} 、 C_{DX1} の実験結果をKC数を横軸にして図3.1.1.3に示す。

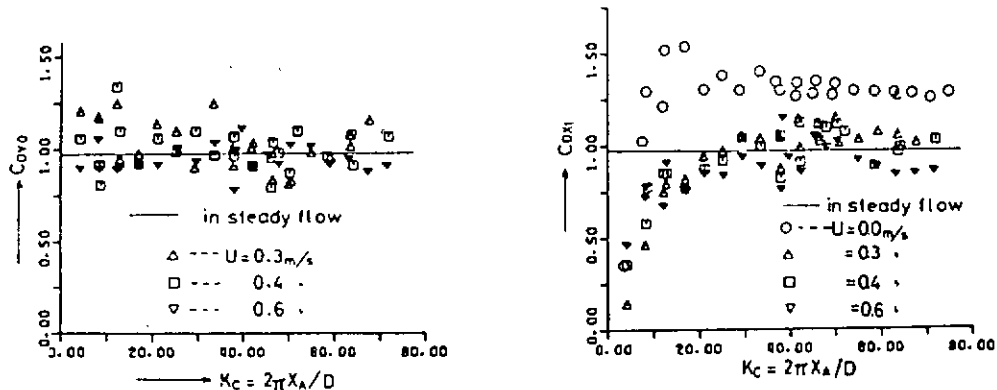


図3.1.1.3 前進方向成分の定常力係数 C_{DY0} と左右方向成分の変動係数 C_{DX1}

図 3.1.1.4 に、 $\rho v \omega^2 X_A$ で無次元化した
左右揺れの付加質量係数 C_{AX} の実験結果を示す。
実験結果をまとめて表 3.1.1.2 に示す。

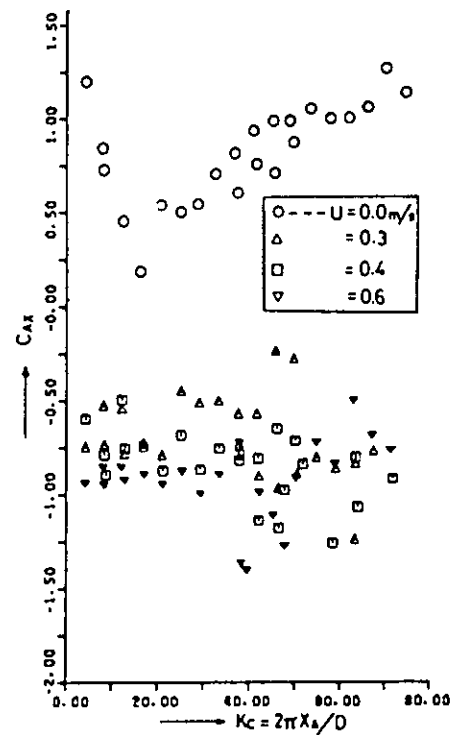


図 3.1.1.4 左右揺れの付加質量係数 C_{AX}

表 3.1.1.2 平水中を前進しながら左右揺れする円柱に加わる流体力

	一般的特徴	速度影響	K_c 数影響
前進方向成分の定常力係数 C_{DYo}	・定常流中の値に近い。	・速度が 0 の時存在しない。 ・速度が大きくなれば値が小さくなる傾向があるが顕著でない。	・それほど変化ない。
左右方向成分の変動力係数 C_{DX1}		・速度が 0 と速度がある場合には、量的な差がある。	・速度がある場合 $K_c > 30$ ではほぼ定常流中の値に一致。 $K_c < 30$ では K_c 数が小さい程 C_{DX1} の値は小。
付加質量係数 C_{AX}		・前進速度がある場合、 C_{AX} は負の値。 ・ U_x が大きいほど絶対値が大きくなる傾向。	・ U_x が非常に大きい領域では、 K_c 数によって、それほど変化ない。
高次成分力	・左右方向の 3 次項以外は主要項に比べて十分小さい。	・速度の影響は少ない。	・左右方向の 3 次項は K_c 数が小さい時に大きい。

(ii) 平水中を前後揺しながら前進する円柱に加わる流体力

(1) 実験状態

$$\text{無次元速度 } U_Y = U T_Y / D = 1.0 \sim 1.20$$

$$KC \text{ 数 } K_C = 2\pi Y_A / D = 4 \sim 10.3$$

$$\text{レイノズル数 } R_n = (U + \omega Y_A) \cdot D / \nu = 0.9 \sim 5 \times 10^4$$

$$\text{但し, } Y_Y : \text{強制前後揺の周期} (\omega = \frac{2\pi}{Y_Y})$$

Y_A : 振幅

(2) 実験結果

抗力 $F_D(t)$ をフーリエ解析し、 2ω 以上の項を省略して、次式で表現する。

$a \geq 1$ の時

$$F_D(t) = -\frac{1}{2} \rho A C_D Y_A^2 \omega^2 \left((a^2 + \frac{1}{2}) - 2a \cos \omega t \right)$$

$a \leq 1$ の時

$$= -\frac{1}{2\pi} \rho A C_D Y_A^2 \omega^2 \left\{ 2(a^2 + \frac{1}{2}) \sin^{-1} a + 3a \sqrt{1-a^2} \right.$$

$$\left. - 4 \left(\frac{1}{3} (a^2 + 2) \sqrt{1-a^2} + a \sin^{-1} a \right) \cos \omega t \right\}$$

ただし、 $a = U / Y_A \omega$

左右揺と同様に定常項から求めた抗力係数を C_{D0} 、1次の項から求められたものを C_{D1} とすると、

実験結果は図 3.1.1.5 のようになる。

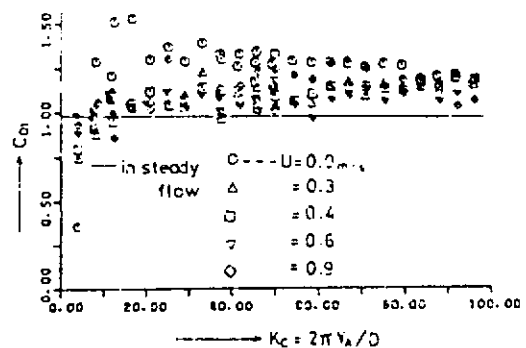
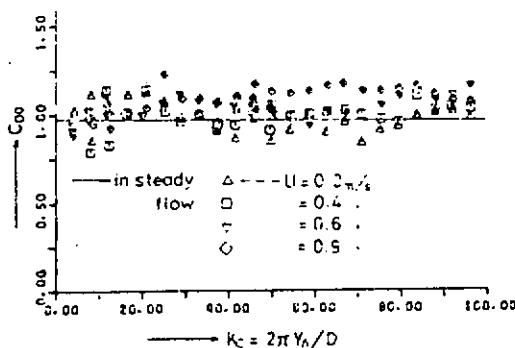


図 3.1.1.5 前後揺れの定常力係数 C_{D0} と変動力係数 C_{D1}

図 3.1.1.6 は、 $\rho v \omega^2 Y_A$ で無次元化した前後揺れの付加質量係数 C_A の実験結果を示す。
実験結果をまとめて表 3.1.1.3 に示す。

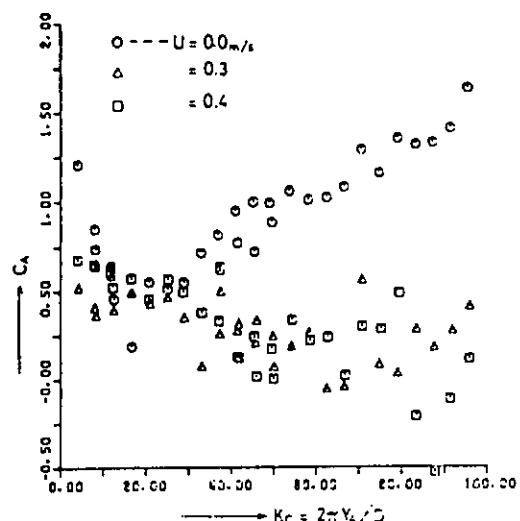


図 3.1.1.6 前後揺れの付加質量係数 C_A

表 3.1.1.3 平水中を前後揺れしながら前進する円柱に加わる流体力

	一般的特徴	速度影響	K_c 数影響
定常力係数 C_{D0}	・定常流中の値に近い。	・ U_Y がある程度 ($U_Y > 8$) 以上になると U_Y によってそれほど変化しない。	・ K_c 数によらずほとんど一定。
変動力係数 C_{D1}		・同上	・ K_c 数が小さい場合 ($K_c < 30$) に若干小さくなる傾向があるが、左右揺の場合ほど顕著でない。
付加質量係数 C_A		・速度が 0 の場合、抗力係数が最大となる K_c 数で最小値をとり、 K_c 数が大きくなるにつれ大きくなっていく。 ・低速度の場合、 K_c 数が大きくなるにつれ単調減少し、やがて 0 に近づく。	
高次成分力	・前進速度が 0 の 3 次の項以外は主要項に比べて小さい。		・3 次項は K_c 数が小さい時に大きい。

(iii) 波浪中と一定速度で前進する円柱に加わる流体力

(1) 実験状態

潮流と波が共存する流場におかれた円柱に加わる流体力と波浪中を前進する円柱に加わる流体力は等価であることが既に掘川ら⁸⁾の研究で証明されているが、ここでは掘川らの研究より K_c 数が大きい範囲 ($6 < K_c < 24$)において調査している。

(2) 実験結果

円柱に加わる抗力 $F_{DW}(t)$ は $b = U/\omega \zeta_A e^{-kd}$ (但し、 ζ_A : 波振幅、 ω : 波の周波数、 K : 波数、 d : 浸水深度) とおき 2ω 以上の項を無視すると次式になる。

$b \geq 1$ の時

$$F_{DW}(t) = -\frac{1}{2} \rho A C_{DW} \omega^2 \zeta_A^2 c^{-2kd} \times \left[(b^2 + \frac{1}{2}) + 2b \sin(KUt + \omega t) \right]$$

$$b \leq 1 \text{ の時}$$

$$F_{DW}(t) = -\frac{1}{2\pi} \rho A C_{DW} \omega^2 \zeta_A^2 c^{-2kd} \times \left\{ 2(b^2 + \frac{1}{2}) \sin^{-1} b + 3b\sqrt{1-b^2} + 4 \left[\frac{1}{3}(b^2+2)\sqrt{1-b^2} + b \sin^{-1} b \right] \times \sin(KUt + \omega t) \right\}$$

これまでと同様に、定常項から求められる抗力係数を C_{DW0} 、1次の項から求められるものを C_{DW1} 、また、質量力係数を C_M とすると、実験結果は図 3.1.1.7 のようになる。

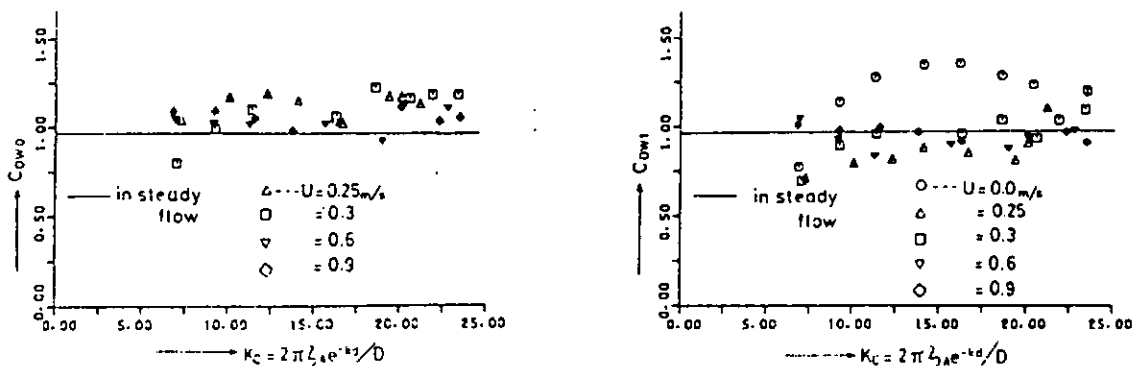


図 3.1.1.7 規則波中の定常力係数 C_{DW0} と変動力係数 C_{DW1}

図 3.1.1.8 ζ_A , $\rho v \omega^2 \zeta_A$ で無次元化した波浪中の質量力係数 C_M の実験結果を示す。

実験結果をまとめて表 3.1.1.4 に示す。

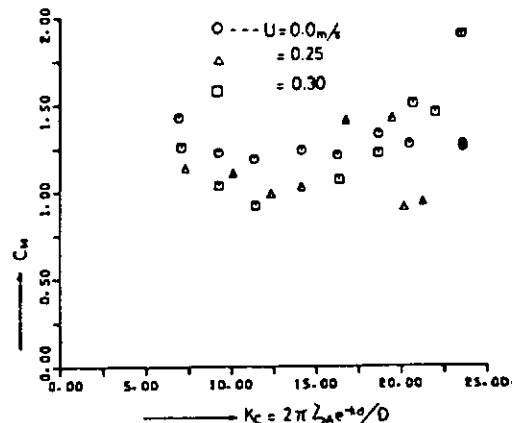


図 3.1.1.8 波浪中の質量力係数 C_M

表 3.1.1.4 波浪中を一定速度で前進する円柱に加わる流体力

	一般的特徴	速度影響	K_C 数影響
定常力係数 C_{DW0}	・定常力中の値よりやや大きい。	・速度の影響はほとんどない	・ K_C 数によってほとんど変化しない。
変動力係数 C_{DW1}		・速度が0の場合、定常流中の値より明らかに大きく、 K_C 数によっても変化する。 ・前進速度がある場合、定常波中の値とはほとんど同じか、わずかに小さい。また、 K_C 数による変化は顕著でない。	
質量力係数 C_M		・低速度の場合、速度が0の場合とほとんど同じ傾向である。	・ K_C 数によって変化する。
高次成分力	・2次の力、3次の力とともに主要項の力と比較して小さい。		

(iv) 比較的小さな前進速度をもつ円柱に加わる流体力

小寺山らは²²⁾、前進速度が比較的小さな没水鉛直円柱の場合について、平水中の強制動搖試験と規則波中の波浪強制試験を実施して、次のような結論を得ている。

- (1) 波力、流体力ともに無次元前進速度が2.0以下の時には、前進速度によって大きな影響を受ける。
- (2) 定常項から求めた抗力係数は、波力、流体力のどちらの場合も、揚力が大きくなる無次元前進速度5.0付近で大きくなり、 K_C 数が2~4の付近では最大2.0にも達する。
- (3) 1次の変動力から求めた抗力係数は、定常力から求めた抗力係数よりも小さいが、前進速度が大きくなれば殆んど等しくなる。
- (4) 1次の変動力から求めた抗力係数は、揚力が大きくなる速度でも特に目立った変化をしない。
- (5) 質量力係数、付加質量係数ともに揚力係数が大きくなる無次元前進速度5.0付近までボテンシャル計算の値から減りつけ、質量力係数は1.0、付加質量係数は0に達する。
- (6) 揚力係数は無次元前進速度が5.0付近で大きくなる。また、その時の揚力の周波数は、波周波数または運動の周波数と一致する。前進速度、波振幅、運動振幅が大きくなれば、2倍・3倍の周波数に移行するが、揚力の値は小さくなる。
- (7) 揚力の周波数は、相対流速で殆んど決まり、定常流での揚力の周波数に近いが、運動中あるいは波浪中でも無次元相対速度が0付近で揚力係数は2.5~2.8にも達する。但し、揚力係数 C_{LW} は、揚力の $\sqrt{10}$ 最大平均値 F_{LY10} から次のように求める。

$$C_{LW} = \frac{F_{LY10}}{\frac{1}{2} \rho A (U + \omega \zeta_A e^{-kd})^2}$$

(c) 生物付着の影響

4.5節索・鎖の生物付着の調査でわかるように、索・鎖は設置後数年で、生物付着が進み、元の形状を判断できないほどになることがある。従って、ここでは生物付着が抗力に与える影響についての文献を紹介する。

(i) 加藤⁹⁾の実験

(イ) 円柱の径と付着量図 3.1.1.9 に示すように、円柱の径が小さくなると単位面積当たりの付着量は増え、しかも平板の付着量より多い。

直径が 1 m 以上の円柱は、平板と同等の付着量を予想することができる。

(ロ) 生物付着と波力

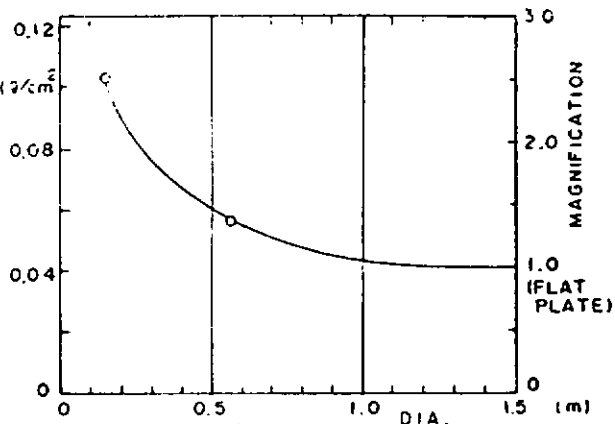
生物が付着した円柱 R (4ヶ月間海中に設置。生物付着の平均厚み 4.6 mm) の C_M , C_D は、生物付着前の滑面円柱 S (直径 $d = 27.4 \text{ mm}$) の約 2 倍になることが図 3.1.1.10 よりわかる。

波力も同様に、生物付着によって約 2 倍の値になることが図 1.1.11 からわかる。

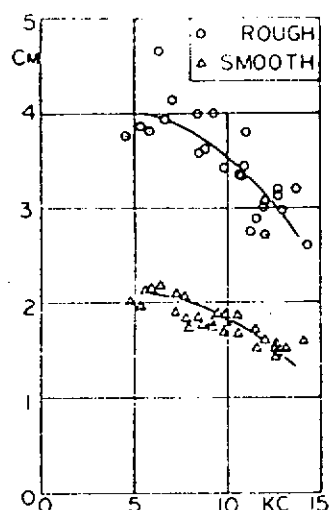
$$\text{但し}, \quad K C = \frac{U_m \cdot T}{d}$$

U_m : 静止水面における最大粒子速度

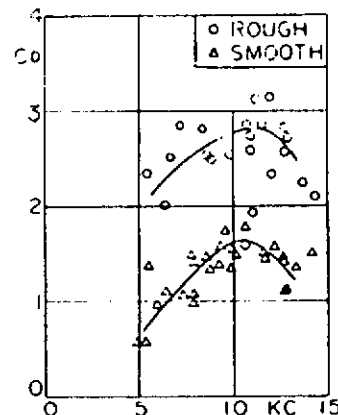
T : 波周期



3.1.1.9 円柱上の単位面積付着量と平板との比較

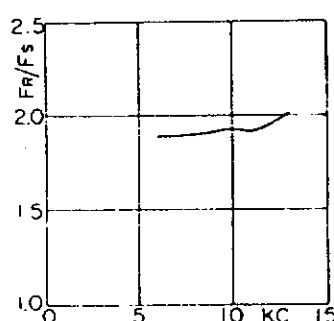


a) 惯性力係数



b) 抗力係数

3.1.1.10 円柱 R と円柱 S の波浪中の流体力係数の比較



3.1.1.11 円柱 R と円柱 S の波力比

一方、解析に当って、有効直径 d^* を次のように定義する。

$$d^* = d + 2\kappa a$$

κ : フジツボ類の厚さ

a : 表面被覆度

そして、 κc^* , C_M^* , C_D^* を有効直径 d^* を用いて定義し、生物付着した 5 種類の円柱の実験結果を整理し直す。この結果、 C_M^* については、5 種類の円柱ともに差は少く、滑面円柱 S の値とほぼ同じ値を示す。 C_D^* については、データのバラツキが大きいが、5 種類とも円柱 S に比べ大きな値を示し、ピーク値が約 1.5 倍となっている。また、ピークに κc^* 数の小さい方に移っている。但し、5 種類の円柱の C_D^* は、それほど顕著な差は表われていない。

(ii) Norton²⁾ の実験

レイノルズ数と相対粗度 ϵ に対する円柱の抗力係数を図 3.1.1.12 に示す。

$$\text{ここで, } \epsilon = \frac{\kappa}{De}$$

De : 表面粗度を含む円柱の有効直径

κ : 付着物の平均高さ

である。実験結果を○, △等で示し、Achenbach¹⁰⁾ の結果を破線で示している。

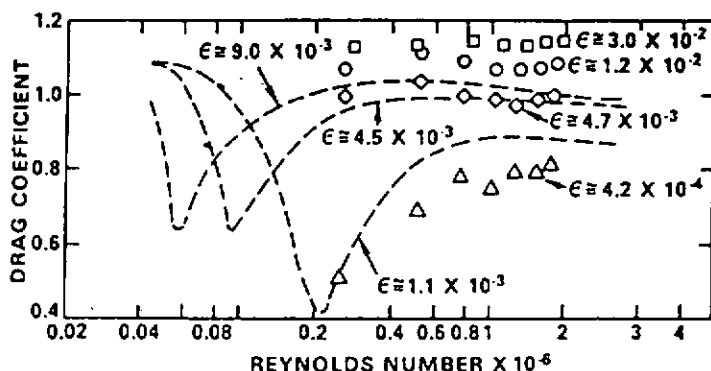


図 3.1.1.12 レイノルズ数と相対粗度の影響²⁾

(iii) 元良ら¹¹⁾ の実験

実際の海水に、ある一定期間供試円柱を浸し、生物（主にフジツボ）を付着させ、流体力を計測した。平均的な生物付着の高さ（ $\epsilon/2$ ）を求め、これを円柱のもとの直径 D で割った値で相対粗度（ ϵ/D ）を定義している。

(1) 抗力係数

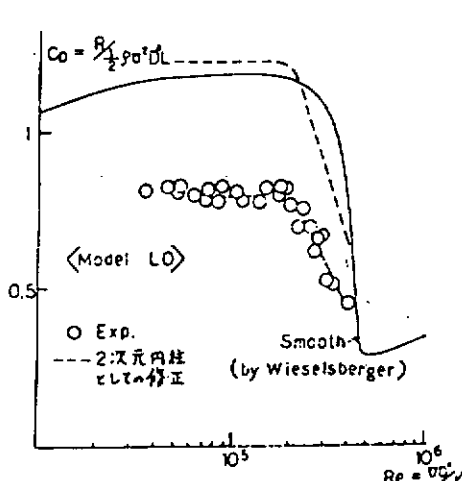
$$\text{代表直径 } D^* = D + \epsilon$$

$$\text{レイノルズ数 } Re = \frac{UD^*}{\nu} \quad (\text{U: 曜行速度, } \nu: \text{動粘性係数})$$

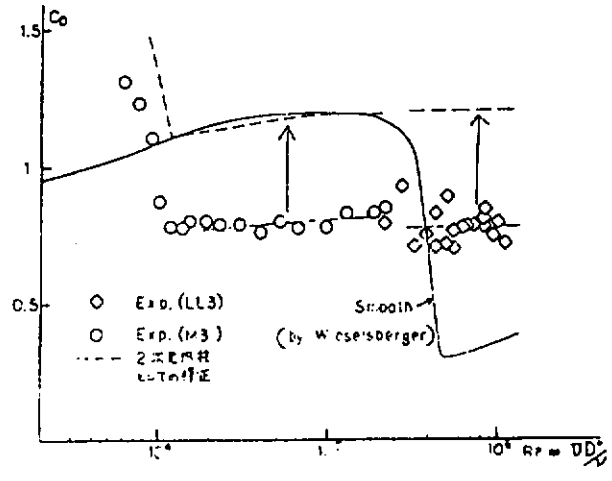
$$\text{抗力係数 } C_D = \frac{R}{\frac{1}{2}\rho U^2 D^* L} \quad (R: \text{抗力, } \rho: \text{流体密度, } L: \text{円柱の長さ})$$

実験結果のうち、代表的な例として、滑面円柱 (LO) と粗面円柱 2 種類 (LL3, M3) の結果を図 3.1.1.13, 図 3.1.1.14 にそれぞれ示す。実験結果を 2 次元円柱に修正した結果の平均線が点線で示されて

いる。M3 モデルでは L0 モデルに比べ、臨界 Re 数が低下していること、乱流へ遷移後、抗力係数 C_D は Re 数によらずほぼ一定していることがわかる。



3.1.1.13 一様中の滑面円柱の抗力係数



3.1.1.14 一様流中の粗面円柱の抗力係数

他の粗面円柱の実験結果について、2次元修正した結果をまとめて図 3.1.15 に示す。図 3.1.15 の横軸は、代表長さとして表面粗さ ϵ を使ったレイノルズ数 ($= U\epsilon/\nu$) で、このようにまとめると、各供試モデルの実験結果は、ほぼ ϵ/D の順に並び、 ϵ/D が小さいほど低い $U\epsilon/\nu$ で遷移が起り、遷移後の $C_{D,0}$ も小さくなることがわかる。遷移後の抗力の大きさを滑面と粗面で比較すると、相対粗度が 10 % 程度で、粗面円柱に働く抗力は滑面円柱の約 1.7 倍になっている。

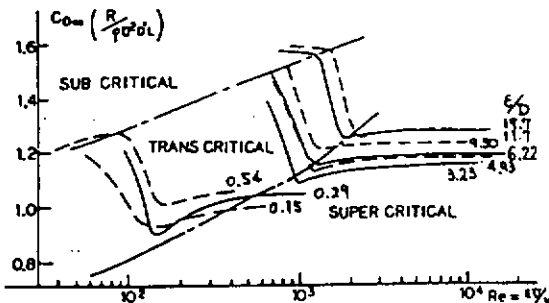


図 1.1.15 一様流中の粗面円柱の抗力係数
(全供試粗面円柱の結果)

(d) 波 力

K_C 数 ($= U_m \cdot T / D^*$, U_m : 水面での波粒子速度の最大水平成分, T : 波周期)

$$r^* = D^*/2, \quad \zeta: \text{波振幅}, \quad K: \text{波数}$$

(実験状態)

波 周 期: 0.8~2.0 sec

入射波高: 短周期で最大 8 cm 程度, 長周期で最大 15 cm 程度

K_C 高 : 高々 5 程度

没水深さ: 5.8.8 cm

本実験の範囲内であれば、水平波力に及ぼす波高影響は小さく、しかも生物付着による直徑増加を考慮した理論計算ともよく一致していることが図 3.1.1.16 からわかる。

相対粗度が 1 %以下で小さい場合、粗面円柱の水平波力は滑面円柱のそれと余り変りないが、粗度の増加にしたがい、水平波力は滑面より増え、その増加率はほぼ相対粗度に比例することが、図 3.1.1.17 からわかる。

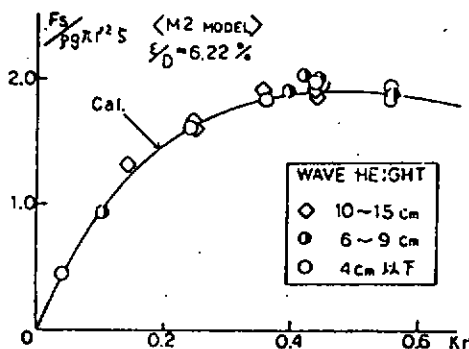


図 3.1.1.16 直立円柱の水平波力

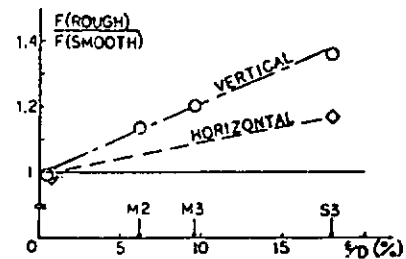


図 3.1.1.17 粗度による水平波力増加の程度

(2) 係留ラインに働く静的影響

(a) 概 要

任意の海底地形を多数の点で結ぶことによって近似的に表現したものを境界条件として、係留ラインを多数のセグメントに分割した差分近似法によって静的計算を行い実験と比較している。

さらに、係留ラインの静的特性に及ぼす係留ラインと海底との摩擦力を始めとして、SCOPE（：ラインの長さ L / ラインの鉛直高さ Z_C），海底傾斜，海底の凹凸，ブイ，シンカーの有無とその大きさおよびラインの伸びの影響を設計図表としてまとめている。

(b) 係留ラインと海底との摩擦力の影響（図 3.1.1.18）

Scope (L/Z_C) = 3.26, 海底平坦として、摩擦係数 (μ) を変化させたときのライン水平距離 (x) とアンカーポイントにおける張力 (T_a) の関係は μ が大きいほど T_a / T_{WL} が小さくなることがわかる（但し、係留ラインが海底に接している部分が存在する範囲で）。このことから摩擦力を考慮することによって、アンカーの把駐力を落とした係留設計が可能なことがわかる。係留ラインが凹凸のある海底に再接地する場合には、張力 (T) の増加時と減少時とでは摩擦力の方向が逆になるために、係留特性にヒステリシスが生じる。但し μ は係留ラインの単重である。

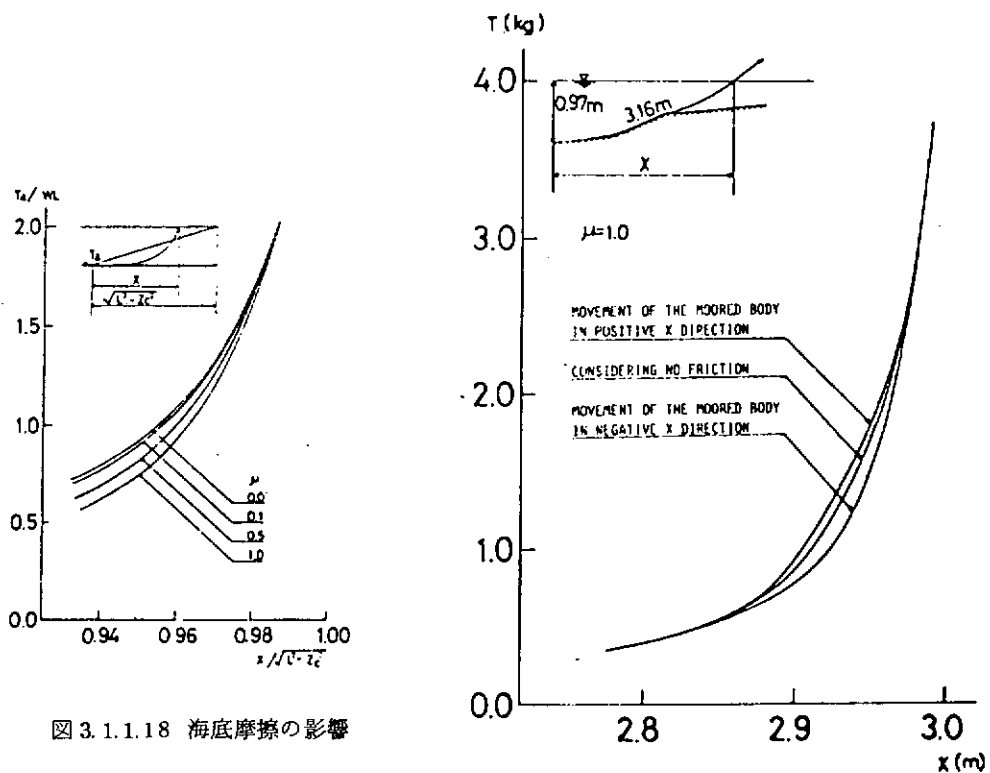


図 3.1.1.18 海底摩擦の影響

(e) Scope (L/Z_c) の影響 (図 3.1.1.19)

Scope が小のとき (水深に比べて係留ラインが短い), 係留ラインは, わずかな $x/\sqrt{L^2 - Z_c^2}$ の変化でアンカー点より立ち上り (鉛直方向力が働き), T/W_L が, 緩かな増加を示す。

Scope が大になるにつれて, ラインの最大水平変位付近で T/ω_L が急激に増加する。

なお, 海底は平坦, 摩擦力はないものとして計算している。

ここで T : 浮体係留点での張力

W : 係留ラインの単重

である。

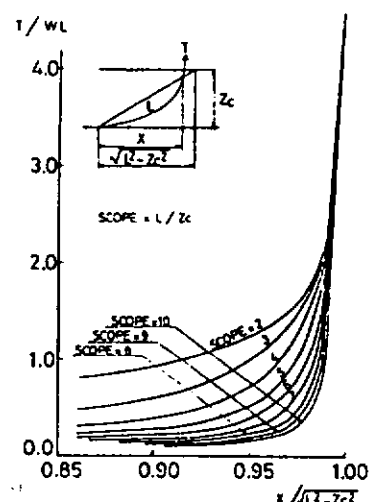


図 3.1.1.19 Scope の影響

(d) 海底傾斜の影響(図 3.1.1.20)

Scope(L/Z_c) = 6, 摩擦力なしとして, 海底に一定の傾斜 β がある場合 β が小さくなる(アンカーポイントの水深に対し浮体係留点側の水深が浅い方より深い方に変化)に従って, Scopeが小さくなるのと同じ傾向を示す。

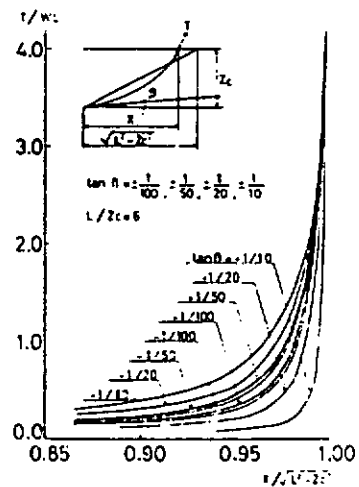


図 3.1.1.20 海底傾斜の影響

(e) 海底地形の凹凸の影響(図 3.1.1.21)

海底に凹凸がある場合, 係留特性は山が 1 つの場合(図の①に対応)の特性曲線と, 谷が 1 つの場合(図の①'に対応)の特性曲線の間で変化する。小の数を増やしていくに従い, 次第に平坦な海底条件の係留特性に近づく。

海底地形の凹凸は, 係留特性にかなり影響を及ぼすことがわかる。

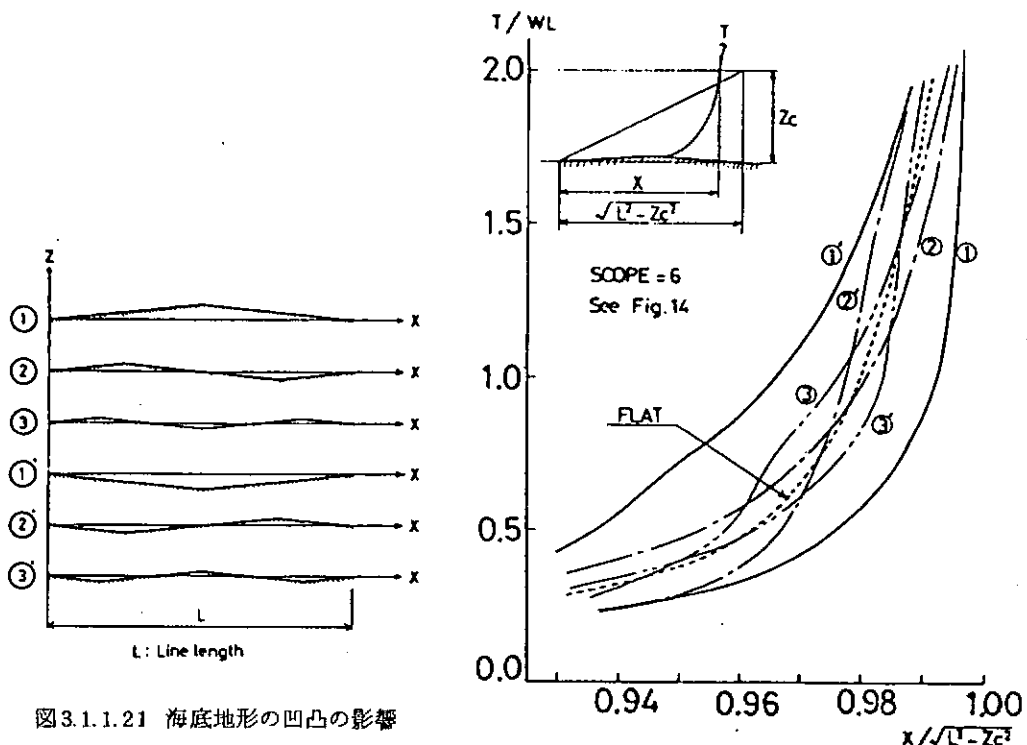


図 3.1.1.21 海底地形の凹凸の影響

(f) シンカー、ブイの影響(図 3.1.1.2 2)

- (i) シンカー：シンカーの重量が増すに従って、
シンカーが海底から離れる水平変位付
近で張力が急激に増加する。シンカー
が海底から離れた後は、より重いシン
カーを付けることが、係留ラインの自
重を増加すること、あるいはScope値
を小さくすることに対応した係留特性
を示す。

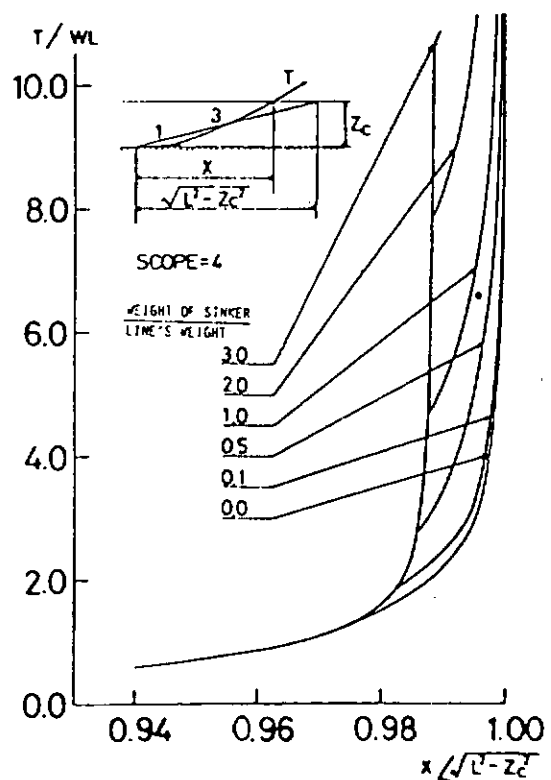


図 3.1.1.2 2 シンカーの影響

- (ii) ブイ：図 3.1.1.2 3 にブイの影響を示す。ブイ付の係留特性は、ブイの浮力が係留ラインの自重と比べて、大きいか否か、そして大きい場合は、ブイが水面上に浮上するか否かで、その特性は表 1.1. 1.5 に示すようになる。

表 3.1.1.5 ブイの影響

ブイ浮力 < ライン自重	<ul style="list-style-type: none"> ・ブイは水面上に出ることはない。 ・係留特性は、係留ラインの自重を軽くすること、あるいはScopeを大きくした時の傾向を示す。 					
ブイ浮力 > ライン自重	<table border="1"> <thead> <tr> <th>水面上の浮上の時</th> <th>水面下に沈下のとき</th> </tr> </thead> <tbody> <tr> <td>・上述の係留特性が反転する。</td> <td>・シンカー付の係留特性と同じ傾向を示す。</td> </tr> </tbody> </table>	水面上の浮上の時	水面下に沈下のとき	・上述の係留特性が反転する。	・シンカー付の係留特性と同じ傾向を示す。	
水面上の浮上の時	水面下に沈下のとき					
・上述の係留特性が反転する。	・シンカー付の係留特性と同じ傾向を示す。					

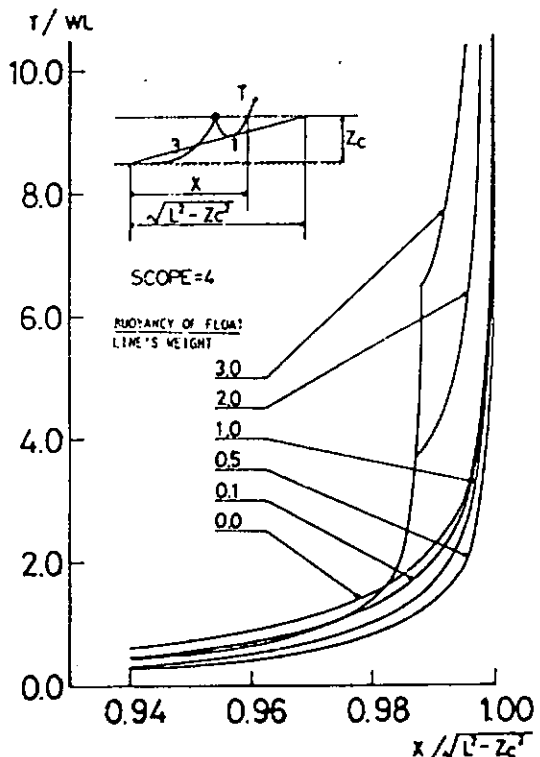


図 3.1.1.2 3 ブイの影響

(g) ラインの伸びの影響(図3.1.1.2-4)

伸びの大きな特性をもつ係留ライン(ここではワイヤーロープ)の場合、係留ラインの張力が小さい時($T/W_L = 2 \sim 3$, $w = ライン単重$)は、伸びの影響は受けないが破断荷重に対する安全率が1.5~2.0に相当する張力($T/\omega_L = 10 \sim 15$)においては、伸びの影響が大きいことがわかる。したがって、伸びを考慮した設計が必要なことがわかる。

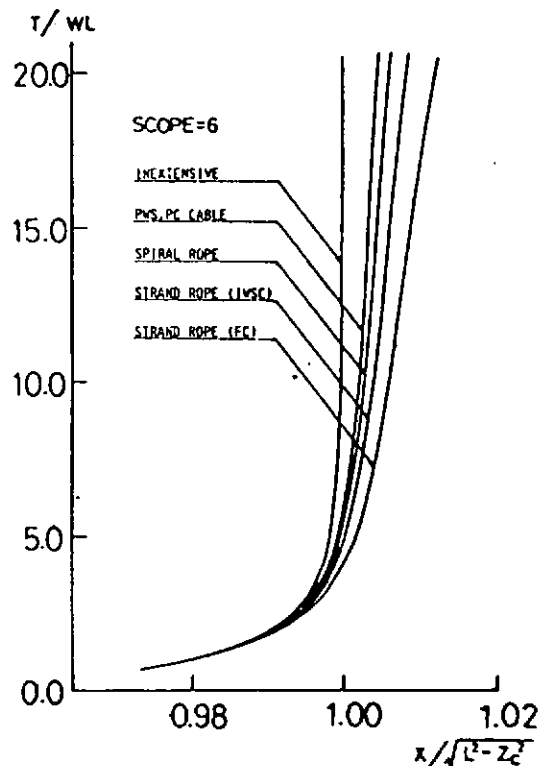


図3.1.1.2-4 ラインの伸びの影響

(3) 係留ラインに働く動的影響

(a) 計算法の適用範囲

係留ラインの張力・挙動を推定する場合、水深、索・鎖の単重、初期張力、運動の振幅・周波数などによる動的影響を考慮する必要がある。

柄原らの研究^{13), 14)}は、浮体係留点の運動加速度によって、4つの状態に大別し、それぞれの特徴と各種の計算法の適用範囲を示している。図3.1.1.2-5および表3.1.1.6に実験結果と計算値を比較し、4つの状態の特徴と計算法の適用範囲を示した。図中の記号は、 Z_m :係留点の上下揺れの振幅、 w :振動周波数、 $T_{H\max}$:水平張力の最大、最小、初期値、 D_C :鎖の直径、 $D = \omega x_0 / T_{H0}$ 、 w :鎖の水中単重、 g :重力加速度、 x_0 :ラインの水平方向長さであり、変動張力の上限と下限を示している。

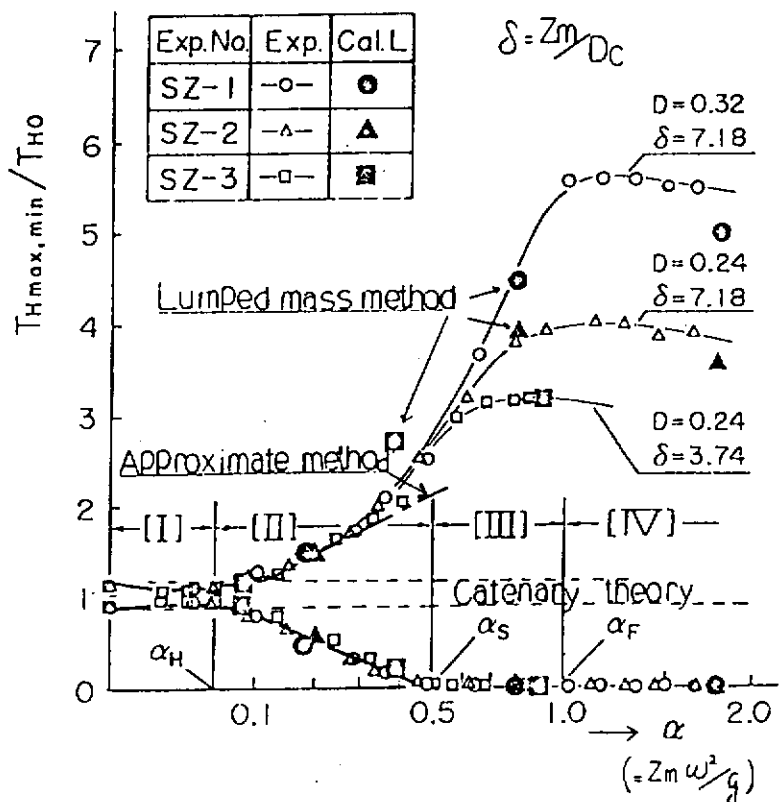


図 3.1.1.2.5 係留鎖動的張力の実験結果と計算値の比較

表 3.1.1.6. 運動加速度と計算法の適用範囲

状 態		I	II	III	IV
		準静的平衡状態 (Quasi-static condition)	調和振動状態 (Harmonic oscillating condition)	弛緩・緊張状態 (Snapping condition)	自由落下・緊張状態 (Free-falling and Snapping Condition)
特 徴	変動張力	実用的には、静的計算で安全側	張力の振幅は初期張力と同じ order である。	張力の最小値は、0 となる(Snap 現象)。張力変動は急激に増大する。	張力変動の増大は頭打となる。ラインは自由落下状態と snap 現象を繰返す。
	係留ライ ンの挙動	係留ラインは、カテナリにはほぼ近い。	係留ラインの中央点の振巾は、静的振幅の約 1.2 倍となる。	係留ラインの中央点の振幅は急激に減少する	係留ラインは、複雑な振動波形を示す。
計算法の適用範囲		静的カテナリー計算 →			
		簡易計算法 →			
		Lumped mass 法, 有限要素法 →			

図 3.1.1.2 5 中の準静的平衡状態〔I〕と調和振動状態〔II〕との境界での加速度 α_H 及び調和振動状態〔II〕と弛緩・緊張状態〔III〕との境界での加速度 α_S は、次式から求められるとしている。

$$\alpha_H = \frac{2(C_{XZ} X_A + C_{ZZ} Z_A)}{S_0 W_a + C_a S_0 \rho_w g \pi D_c^2 / 4}$$

$$1 - \frac{\rho_w}{\rho_c}$$

$$\alpha_S = \left[\left(1 + \frac{\Delta M}{M} \right)^2 + \left(\frac{16 \rho_w C_d \cos^3 \theta_m Z_m}{3 \pi^2 \rho_c D_c} \right)^2 \right]^{1/2}$$

但し、 W_a ：係留ラインの空中単重、 S_0 ：ラインの全長、 C_a ：ラインの垂直方向付加質量係数、 ρ_w ：海水密度、 X_A 、 Z_A ：係留点のX、Z方向成分、 C_{XZ} 、 C_{ZZ} ：ラインの線形バネ定数でカテナリー理論から次のように求められる。

$$C_{XZ} = \frac{W(\cosh D - 1)}{D \sinh D - 2(\cosh D - 1)}$$

$$C_{ZZ} = \frac{W(D \cosh D - \sinh D)}{D \sinh D - 2(\cosh D - 1)}$$

M ：ラインの重量、 ΔM ：付加質量、 C_d ：抗力係数、 θ_m ：ラインの平均傾斜角、 ρ_c ：ラインの密度である。

また、弛緩・緊張状態〔III〕と自由落下・緊張状態〔IV〕との境界での加速度 α_F は、重力加速度と平均運動加速度が等しくなったとするところから

$$\alpha_F = 1.0$$

となる。

(b) 簡易計算法

小寺山¹⁵⁾と島田ら¹⁶⁾の示した簡易計算法によれば、係留ラインに強制的な i 方向の微小変位を与えた場合、係留ラインの上端における i 方向成分の変動張力 $t_{1\xi}$ は次式で表わされる。

$$t_{1\xi} = a_{1\xi} \cdot \xi + a_{1\xi} \cdot \ddot{\xi} + \frac{1}{2} a_{1\xi} \cdot \dot{\xi} |\dot{\xi}|$$

$$= a_{1\xi} \cdot \xi + a_{1\xi} \cdot \ddot{\xi} + \frac{4}{3\pi} \omega \xi_0 \cdot a_{1\xi} \cdot \dot{\xi}$$

ここで、 $a_{1\xi}$ ：線形バネ定数、 $a_{1\xi}$ ：見掛け質量係数、 $a_{1\xi}$ ：抗力係数、 ω ：運動の周波数、 ξ_0 ：変位の振幅。

安藤¹⁷⁾らによると、上式の等価線形化した簡易計算法による変動張力の応答特性は、Lumped mass法による特性と大略よく一致しているとしている。(図3.1.1.26) 同図では簡易計算式の略成分(変位、加速度、速度)が占める割合を調べ、動的効果として、各成分の必要性を示した。安藤らは係留ラインの張力に及ぼす動的効果を充分考慮すれば、簡易計算法でも Lumped mass法に匹敵する精度で実験結果を推定できるとしている。

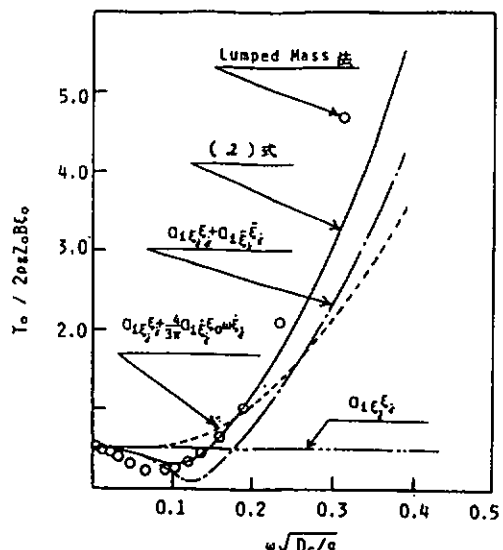


図 3.1.1.26 変動張力の動的効果¹⁷⁾

(c) Lumped mass 法, 有限要素法

簡易計算法は、係留ラインがカテナリー曲線を保持すると仮定し、係留ラインに働く慣性力と線形化された抗力の近似式を用いて動的張力を計算してゆく方法である。従って、大振巾又は高周波数の運動を考える場合において、係留ラインをカテナリー近似してゆく仮定で無理がある。

一方、Lumped mass 法、有限要素法は係留ラインを有限個の要素に分割したモデルで取扱う方法である。中嶋ら^{18), 19)}は、Lumped mass 法で、係留ラインに働く非線形流体力を考慮した係留ラインの動的挙動ならびに係留浮体と係留ラインの相互干渉効果を含めた解析を行ない、この解析法による結果が実験と良好に一致し、その有効性を確認している。本解析法の問題点は、計算時間が長いことである。

Wilhelmy^{20), 21)}は、水深 350 m の北海の異常海象時を想定し、floating concrete platform CONPROD の動的挙動と係留力について研究したので紹介する。

図 3.1.1.2 7 CONPROD の外観・係留システムおよび係留ラインのモデル化を示す。

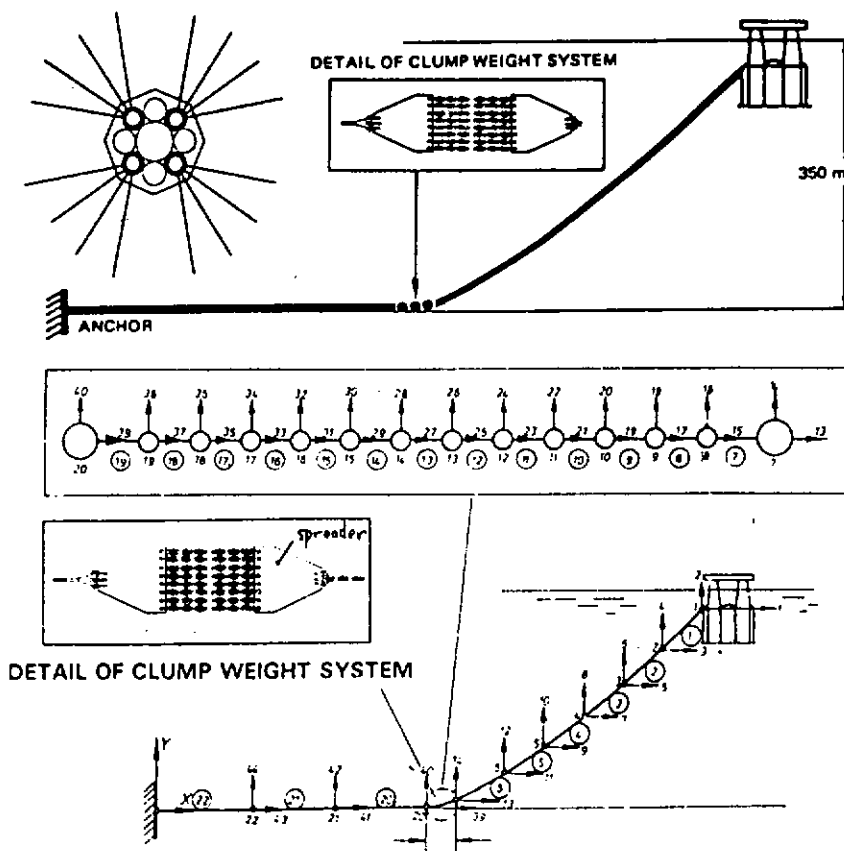


図 3.1.1.2 7 CONPROD の外観・係留システムと係留ラインのモデル化

(i) 係留ラインの分割数の影響

Spreader 間のセグメントの数を 8~16 (Total セグメント数 22~26) に変化させても応答に有意な差は見られない。2 次的振動への影響もない。

(ii) 振巾・周期の影響

動的変動張力を静的変動張力と比較すると、

- (a) 振幅一定の場合、動きが早い (周期 T が短い) ほど静的変動張力との差が大になる。
- (b) 周期一定の場合、振幅 A が大きいほど、静的変動張力との差が顕著になる。

(イ) ここで、

$$\text{dynamic amplification factor} = \frac{\text{動的変動張力の最大値}}{\text{静的変動張力の最大値}}$$

として整理すると図 3.1.1.2 8 の関係がある。

これから振巾影響が顕著で、周期の影響は比較的弱いこと、動的変動張力が静的変動張力の約 1.5 倍となることがわかる。

(ア) 1 周期の間に張力が 0 になるときがある。これは周期の小さい時ほど又、振幅の大きいときに顕著となる。

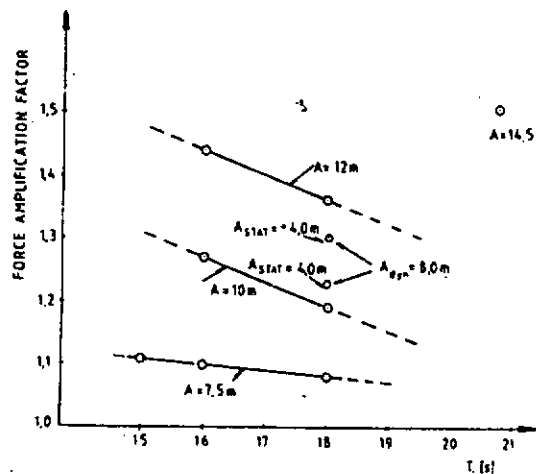


図 3.1.1.2 8 運動振幅と周期による係留ラインの張力の動的影響

(iii) 係留ラインのエネルギー消耗

図 3.1.1.2 9 の変位ー張力図の loop 内の面積は、1 周期における係留ラインのエネルギー消耗である。

エネルギー消耗は、周期が大きくなるにつれ、ほぼ linear に減少することが図 3.1.1.3 0 よりかかる。

エネルギー消耗は構造物の総エネルギーの約 25~40% に達する。

定常外力が作用して、静的変位（振動中心）が 0（中立位置）でないとき、leeside の張力は、weatherside の張力よりずっと小さく、張力が 0 になる状態もある。しかしエネルギー消耗（loop 内面積）はほとんど同じであることが図 3.1.1.2 9 からわかる。両者のエネルギーは、振動中心 0 の係留ラインのエネルギーより若干大きいことが図 3.1.1.3 0 からわかる。

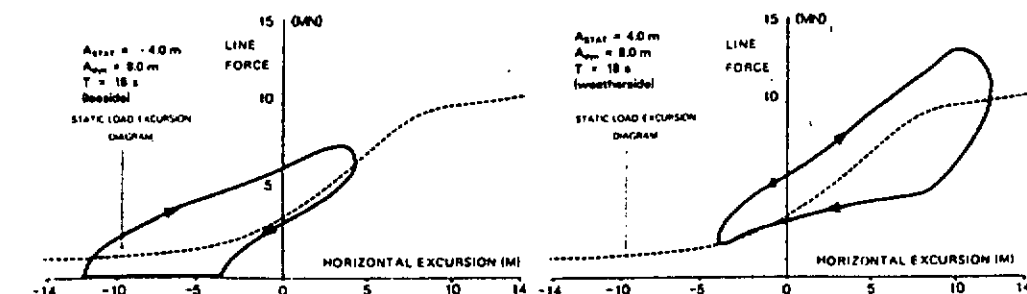


図 3.1.1.2 9 定常外力が作用したときの係留ライン（leeside, weather side）の動的変位と張力

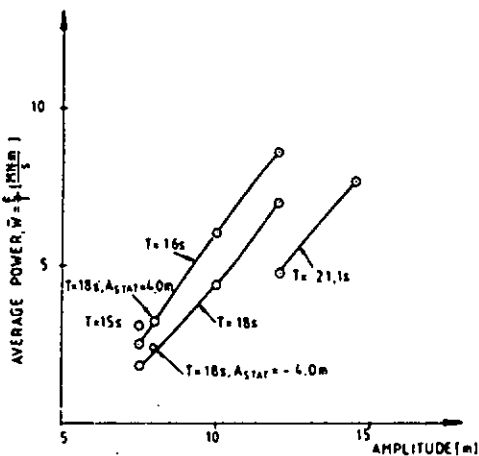


図 3.1.1.3 0 動搖振幅と周期による 1 本の係留ラインのエネルギー消耗

(iv) 海底摩擦の影響

- (1) 本論の係留ラインは長い。従って等価的に弾性の低い係留系となるために、係留ライン(Clump w)は大きな水平運動を行い、海底面から摩擦力を受ける。
- (2) 計算例では、張力が 0 になった後、clump weight の浮体側にスナップ荷重(jerles)が働く。この力は瞬間的な力であるため、係留ラインの慣性と減衰によって浮体にはほとんど伝わらない。
(しかし、clump weight の詳細設計にはスナップ荷重が重要である。)
- (3) 海底摩擦を考慮すると、2 次的振動は少なくなることが図 3.1.1.3 1, (c), (d)からわかる。(2 次的振動は係留ラインの疲労強度の面で重要である。)
- (4) 摩擦力と係留ラインの軸方向の抗力とは、ほぼ同じ Order の力となる。しかし、両者は法線方向の抗力と比較して、ずっと小さいことが図 3.1.1.3 2 よりわかる。これは海底摩擦が系全体にはほとんど影響を与えていないことからも説明できる。
- (5) 一方、海底摩擦はエネルギーの消耗に係っている。つまり、海底面を浸食し、係留ライン(clump)を摩耗さす。直接的には、見掛け上の水深を増し、初期張力を変化させることになる。また、海底吸着の原因となる。

(v) 海底吸着

- (1) データ不足から海底での吸着は難しい問題であるが、ここでは水中重量の 2 倍の吸着力があるものとした。従って、水中重量の 3 倍の張力が作用するまで clump は持ち上がらない。
- (2) 計算の結果、海底摩擦と吸着とがある場合には、海底摩擦のみの場合より張力はさらに早い立ち上りを起こし、大きなスナップ荷重が働くことが図 3.1.1.3 1, (b)からわかる。また、全体的に張力の peak も大きくなるが、この場合も浮体にスナップ荷重は伝わらない。
- (3) 海底吸着は海底面の浸食を増大させる原因になる。

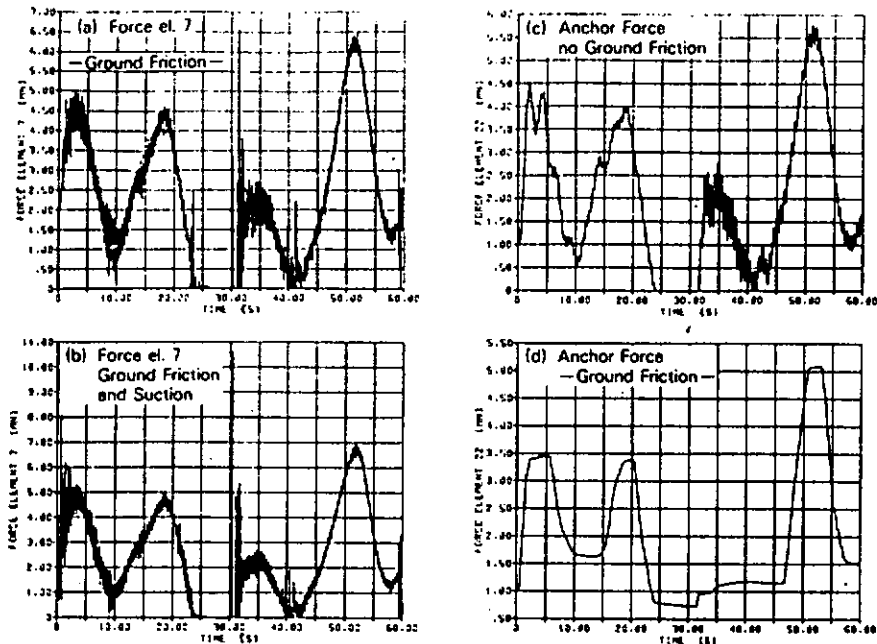


図 3.1.1.3-1 海底摩擦・吸着の張力への影響

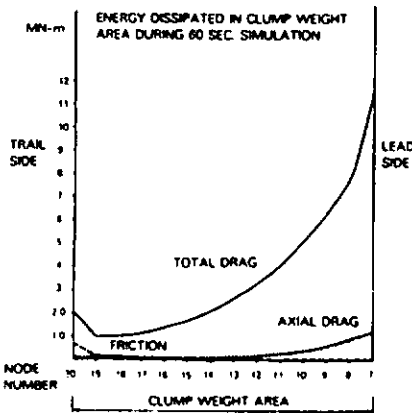


図 3.1.1.3-2 海底摩擦と流体力のエネルギー消耗

(4) 究明すべき課題

文献調査を通して、今後究明すべき課題が大略把握できたので、それらを以下にまとめる。

- 係留索・鎖の生物付着量が、流体力の推定に大きく影響を与えるので、その経年進行を把握する必要がある。
- 栖原ら^{13), 14)}が示したように、運動振幅、周期、水深、係留索・鎖の長さ、水中単重、初期張力などの係留系に動的影響を与えるパラメータに対して、各種計算法の適用範囲などを case study する。また、実験的な確認も必要である。
- 実験と理論計算に基づいて、計算時間が短く、かつ動的影響を精度よく推定することができる実用的係留計算法の確立が必要である。
- その他、深海域での潮海流の速度分布、時間的変動など係留系の設計に重要な環境条件を調査する必要がある。

参考文献

- 1) Signard F. Hoerner, Fluid-Dynamic Drag, 1958
- 2) David J. Norton, John C. Heideman and W. Wade Mallard, Wind Tunnel Tests of Inclined Circular Cylinders, OTC 4122, 1981
- 3) E. F. Relf and C. H. Powell, Test on Smooth and stranded Wires Inclined to the Wind Direction, and a Comparison of Results on Standed Wires in Air and Water, A. R. C. R&M. 1917
- 4) 宮崎芳夫, 網地の流体抵抗に関する基礎的研究(Ⅳ), 一様な流れの中に傾けて置かれたロープの抵抗について, Journal of the Tokyo University of Fisheries, Vol. 50, No. 2, 1964
- 5) 宮崎芳夫, 小池孝知, 佐藤要, 一様な流れの中に置かれた錨鎖の形状と張力に関する研究—I, 一錨鎖の流体的特性についてー, 日本航海学会論文集, 第 6 号, 昭和 55 年 1 月
- 6) 宮崎芳夫, 網地の流体抵抗に関する基礎的研究—(IX), ロープの付加質量について, Journal of the Tokyo University of Fisheries, Vol. 50, No. 2, 1964
- 7) 小寺山亘, 田代昭正, 波浪中を前進する鉛直円柱に加わる流体力についての実験的研究, 日本造船学会論文集, 第 151 号, 昭和 57 年 7 月
- 8) 掘川清司, 水口優, 北沢修, 他, 波と流れが度存する場における流体力について(1), (2), 第 23 回, 第 24 回海岸工学講演会論文集, 1976, 1977
- 9) 加藤直三, 付着生物の基礎調査と直立円柱に加わる波力への影響について, 第 6 回海洋工学シンポジウム, 昭和 57 年 12 月
- 10) E. Achenbach, Influence of Surface Roughness on the Cross-flow around a Circular Cylinder, Journal of Fluid Mechanics, Vol. 46, 1971
- 11) 元良誠三, 藤野正隆, 重松健司, 円柱部材の流体力に及ぼす生物付着影響, 第 6 回海洋工学シンポジウム, 昭和 57 年 12 月
- 12) 井上義行, 中川清七, 海底影響を考慮した係留ライン特性と係留設計図表, 日本造船学会論文集, 第 151 号, 昭和 57 年 7 月
- 13) 栖原寿郎, 小寺山亘, 田才福造, 肥山央, 渡辺邦夫, 振動する繩鎖の挙動と張力, 日本造船学会論文集 148 号, 1980
- 14) 栖原寿郎, 小寺山亘, 田才福造, 肥山央, 佐尾邦夫, Dynamic Behavior and Tension of Oscillating Mooring Chain, OTC 4053, 1981
- 15) 小寺山亘, 係留浮体の運動と係留鎖張力について, 西部造船会々報, 第 53 号, 1977
- 16) 島田潔, 小林正典, 日根野元裕, 係留ラインの張力に対する動的影響について, 西部造船会々報 第 60 号, 1980
- 17) 安藤定雄, 加藤俊司, 係留ラインに働く張力の動的効果について, 船研講演集, 第 40 回, 1982, 12
- 18) 中嶋俊夫, 元良誠三, 藤野正隆, 係留浮体の運動を考慮した係留ラインの動的挙動について, 日本造船学会論文集, 第 150 号, 昭和 56 年 12 月
- 19) 中嶋俊夫, 元良誠三, 藤野正隆, On the Dynamic Analysis of Multi Component Mooring Lines, OTC 4309, 1982

- 20) Viktor Wilhelmy and Svein Fjeld, Non-Linear Response Analysis of Anchorage Systems for Compliant Deep Water Platforms, OTC 4051, 1981
- 21) Viktor Wilhelmy and Svein Fjeld, Assessment of Deep-Water Anchorings Based on Their Dynamic Behavior, OTC 4174, 1982
- 22) 小寺山亘, 田代昭正, 波浪中を前進する鉛直円柱に加わる流体力についての実験的研究(第2報), 西部造船会々報, 第64号, 昭和57年8月

3.1.2 係留用索・鎖要素に働く流体力に関する実験

深海域における浮遊式海洋構造物の係留では、係留ラインの長さが浅海の場合に比べて非常に長くなるので、係留ラインの運動および変位が大きくなり、係留ラインに大きな流体力が作用することが考えられる。したがって、係留浮体および係留ラインを含めた係留全体の挙動を推定するためには、係留ライン自身に作用する流体力の特性を正確に把握しておく必要がある。

そこで、係留索鎖の要素模型を用いて、一様流中における抵抗試験および強制動搖試験を実施し、抵抗係数、付加質量係数、抗力係数等の流体力係数に対する流入角、Reynolds数、Keulegan Carpenter数等の影響について調査を行った。

3.1.2.1 一様流中抵抗試験

(1) 供試模型

供試模型は、係留索鎖を対象とした要素模型であり、呼び径が12mmのスタッド付チェーンを10リンク並べたチェーン模型と、外径が33.3mmのストランドロープおよび29.8mmのスパイラルロープの2種類の索模型である。

チェーン模型はアルミ製であり、実験時に動かないように各リンクを溶接して固着した。一方、索模型は合成樹脂(MB170)製であり、両端部をアルミ製とした。なお、索模型の両端部における流れの不連続性を極力少なくするために、両端部付近の索のヨリを細くし、索形状が両端部で完全な円断面となるように模型を整形した。これらの模型の要目を表3.1.2.1に、形状を図3.1.2.1に示す。

(2) 実験方法

図3.1.2.2に示すように、一対の3分力計の組み込まれた模型支持枠を介して供試模型を曳航台車上の回転架台に固定し、曳航することによって供試模型に作用する流体反力を計測した。3分力計は3方向の軸力が計測できるものであり、それぞれの定格は5Kgである。また、実験結果に自由表面の影響が含まれないように、模型の没水深度は55cmとした。

なお、実験は三井造船昭島研究所小水槽(長さ100m、幅5m、水深2.15m)において実施した。

(3) 実験状態

索鎖要素の抵抗係数および揚力係数に対する Reynolds 数影響および流入角影響を調べるために実施した2種類の実験の実験状態を、それぞれ表3.1.2.2および表3.1.2.3に示す。

表3.1.2.2 実験状態(Reynolds数影響に関する実験)

	チェーン模型	ストランドロープ模型	スパイラルロープ模型
R_e 数($\times 10^4$)	0.2~2.7	0.7~7.4	0.6~6.7
U (m/s)	0.2 ~ 2.2		
χ	90° , 45°		

表3.1.2.3 実験状態(流入角影響に関する実験)

	チェーン模型	ストランドロープ模型	スパイラルロープ模型
R_e 数($\times 10^4$)	1.218	3.381	3.025
U (m/s)	1.0		
χ	0° ~ 90°		

なお、Reynolds数は、

$$R_e = UD/\nu$$

U : 流速

D : 索の外径(チェーン模型では呼び径)

ν : 水の動粘性係数

と定義し、流入角 χ は図3.1.2.3に示す方向にとった。

チェーン模型の流れに対する姿勢は図3.1.2.4に示す「+」型、「×」型の2種類の状態について考え、「+」型を中心的に実施した。

なお、実験実施時の水温は、 21.1°C であった。

(4) 解析方法

実験によって得られた各々の検力計のデータは、すべて 30 Hz のローパスフィルタを用いて高周波成分を取り除き、データレコーダに記録した。本実験の計測システムを図3.1.2.5に示す。

各々の検力計で計測された10秒間のデータを電算処理し、接線方向の抵抗成分 F_x 、法線方向の抵抗成分 F_y 、揚力成分 F_z としてまとめた。ここで用いた座標系を図3.1.2.3に示す。

なお、3分力の無次元化を次に示す。

$$F_x / \frac{1}{2} \rho S U^2, F_y / \frac{1}{2} \rho S U^2, F_z / \frac{1}{2} \rho S U^2$$

ここで ρ : 水の密度

S : $\chi = 90^\circ$ の場合の模型の投影面積

である。

(5) 実験結果および考察

図3.1.2.6～図3.1.2.9に各索鎖模型に対する実験結果を示す。図中、曳航台車の進行方向の違いによって実験値の記号を区別した。

1) R_e 数影響

索鎖模型の法線方向抵抗係数に及ぼす R_e 数の影響について、実験結果を図3.1.2.6に示す。

チェーン模型の法線方向抵抗数は、今回実験を行った R_e 数範囲で $\chi = 90^\circ$ および 45° の場合とも R_e 数に依存せず、ほぼ一定値となる傾向を示している。

なお、チェーン模型のリンクの姿勢角を変えた実験では、「×」型の方が「+」型に比べて投影面積が10%程度大きいにもかかわらず、抵抗の絶対量はほぼ一致する結果が得られた。したがって、図3.1.2.6を含めたチェーン模型に対する結果はすべて「+」型に対する値を示した。

一方、今回実験を行った R_e 数範囲における $\chi = 90^\circ$ の索模型の法線方向抵抗係数は、 R_e 数が大きくなるのに伴って減少する傾向を示している。但し、ストランドロープが単調な減少傾向を示しているのに対して、スパイラルロープでは、 R_e 数に対して若干の変動が見られる。 $\chi = 45^\circ$ の場合では、ストランドロープの法線方向抵抗係数は R_e 数に依存せず、ほぼ一定の値を示している。また、スパイラルロープでは R_e 数に対して抵抗係数が、緩やかに減少しており、 $\chi = 90^\circ$ で見られた変動も現れていない。

2) 流入角影響

索鎖模型の抵抗係数および揚力係数に及ぼす流入角の影響について、実験結果を図3.1.2.7～図3.1.2.9に示す。

(i) 法線方向抵抗係数

図3.1.2.7によると、3種類の索鎖模型の法線方向抵抗係数は、流入角 χ の増加に対してほぼ単調増加する傾向を示しているが、チェーン模型の抵抗係数は索模型の場合に比べて立ち上がりが早いことがわかる。また、チェーン模型の場合には、 $\chi = 55^\circ$ 付近で抵抗係数の増加に停留点が見られる。

(ii) 接線方向抵抗係数

図3.1.2.8によると、チェーン模型の接線方向抵抗係数は、流入角 χ によって大きく変化することがわかる。この原因を明らかにすることは難しいが、各リンク間の複雑な相互干渉も一つの原因と考えられる。

一方、索模型の接線方向抵抗係数は、チェーン模型に比べて全般的に小さな値であり、また流入角に対して単調減少する傾向を示している。

(iii) 揚力係数

図3.1.2.9によると、チェーン模型は上下対称であり、揚力は作用していない。

一方、索模型のうちスパイラルロープは、ロープのヨリが細いためほとんど揚力は作用しないが、ストランドロープの場合には、ヨリが太いためかなり大きな揚力が作用していることがわかる。特に $\chi = 60^\circ$ 付近で揚力係数の絶対値は最大となり、 $\chi = 90^\circ$ で生じる法線方向抵抗係数の最大値の1/3にもなっている。

3) 変動成分

一般に円柱を定常流中に置いた場合、カルマン渦の発生により周期的な変動流体力が作用することが知られている。今回実験を行った3種類の模型のうち、チェーン模型およびストランドロープ模型については、この変動成分はほとんど見られなかつたが、スパイラルロープ模型の場合には、 $\chi = 90^\circ$ 揚力に周期的な変動成分が顕著に現れた。

この変動成分のストローハル数($S_N = D \cdot f_v / U$; D :外径, f_v :変動成分の周波数, U :流速)は、本実験の R_e 数範囲では、円柱の場合の値(約0.19)とよく一致しており、実機換算では数 H_2 の振動となる。これは、係留系の固有振動数や波周波数等に比べて高周波となるため、係留系全体の挙動にはあまり影響を及ぼさないと考えられる。なお、揚力の変動成分は、流入角 χ が減少するにつれて急激に小さくなり、 $\chi = 45^\circ$ や 0° の場合では、変動成分はほとんど現れなかつた。

図3.1.2.6に示すスパイラルロープの法線方向抵抗係数の実験結果の中で、 R_e 数が 1.5×10^4 付近において抵抗係数が急激に落ち込む特異な現象が見られている。このとき、揚力の変動振幅が小さくなり、かつ振動の周波数が高くなるという顕著な差異が見られており、渦の発生状況が急激に変化しているものと考

えられるが、この現象については、今後検討を行う必要がある。

(6) 既存データとの比較

1) R_e 数影響

図 3.1.2.6 の中で、チェーン模型の場合に示してある各線は、 $\chi = 90^\circ$ の場合の実験値である。このうち破線は宮崎¹⁾の実験結果を示し、一点鎖線は安藤²⁾の実験結果（呼び径 5mm）を示す。なお、実線は今回の実験結果の平均線である。これらの実験結果を比べると、低い R_e 数範囲では、今回の実験結果と安藤の実験結果はよく一致している。これに対して宮崎の実験結果は、一割ほど小さい値を示している。また R_e 数が大きくなると、今回の実験結果と安藤の実験結果は離れる傾向にある。

ストランドロープの実験結果の中に示す各線は、 $\chi = 90^\circ$ の場合の既存のストランドロープの実験値である。このうち破線は宮崎³⁾の 3ストランドロープに対する実験結果、一点鎖線は Baker の 6ストランドスロープに対する実験結果、二点鎖線は Melville の 3ストランドおよび 6ストランドロープに対する実験結果である。なお実線は、今回の実験結果の平均線である。これらの実験結果を比べると、大略の傾向は一致しているものの、抵抗係数の値には若干の差が見られる。これは供試模型のタイプや実験方法の差異等によるものと考えられる。

2) 流入角影響

(i) 法線方向抵抗係数

図 3.1.2.7 の中で、チェーン模型の場合に示す破線は、宮崎の実験式¹⁾

$$C_Y = C_Y (\chi=90^\circ) \sin^3 \chi + \frac{1}{4} C_Y (\chi=90^\circ) \sin 2\chi \cos \chi (\sin \chi + \cos \chi) \quad (3.1.2.1)$$

$$C_Y = F_Y / \frac{1}{2} \rho S U^2$$

を用いて計算したものである。宮崎の実験式は、今回の実験値の傾向を大略説明しており、チェーン模型の法線方向抵抗係数の流入角影響を表す有効な実験式であることがわかる。

索模型の場合に示す実線は、層流域が成立つとされている Cross-Flow Principle⁴⁾ に従って $C_Y (\chi=90^\circ) \sin^2 \chi$ を示したものである。

この実線は 2種類の索模型に対する実験結果を良く説明しており、実機係留索に対する R_e 数も高々 10^5 程度の層流域にあることを考えると、Cross-Flow Principle は係留索に対しても十分適用可能と考えられる。なお、Norton⁵⁾らの粗円柱に対する実験結果では、一様流の R_e 数が乱流域の場合でも Cross-Flow Principle が成立つことが示されている。

(ii) 接線方向抵抗係数

図 3.1.2.8 の中で、チェーン模型の場合に示す破線は宮崎の実験式¹⁾

$$C_X = C_Y (\chi=90^\circ) \sin^2 \chi \cos \chi - \frac{1}{4} C_Y (\chi=90^\circ) \sin 2\chi \sin \chi (\sin \chi + \cos \chi) \quad (3.1.2.2)$$

$$C_X = F_X / \frac{1}{2} \rho S U^2$$

を用いて計算したものであり、実線な実験値の平均線である。宮崎の実験式は、 χ が大きい範囲では今回の実験結果を大略説明しているものの、 χ が小さい範囲では推定精度が悪くなっている。特に宮崎の実験式は、 $\chi = 0^\circ$ で $C_X = 0$ となるが、これは合理的とは言えない。なお、参考のために図 3.1.2.8 に示した宮崎の実験値（▲印）は、今回の実験値とはほぼ一致している。

3.1.2.2 一様流中強制動搖試験

(1) 供試模型

供試模型は、チェーン、ストランドロープおよびスパイラルロープの要素模型であり、「3.1.2.1.一様中抵抗試験」で使用したものと同じ模型である。これらの要素模型の要目を表3.1.2.1に、形状を図3.1.2.1に示す。

(2) 実験方法

図3.1.2.2に示すように、一对の3分力計が組み込まれた模型支持枠を介して供試模型を強制動搖装置に取り付け、一様流中において供試模型を前後、左右および上下方向に正弦的に動搖させた時の、一様流速、動搖変位および模型に働く3分力を計測した。また、供試模型の平均没水深度は5.5cmとした。

なお、実験は三井造船昭島研究所回流水槽（計測部長さ5.5m、幅2m、水深1.2m）で実施した。

(3) 実験状態

強制動搖の振幅、動搖速度および一様流の流速と流入角度が要素模型の流体力に及ぼす影響を調査するため表3.1.2.4に示す状態で実験を実施した。

なお、強制動搖はKeulegan-Carpenter数として、強制動搖の動搖速度および一様流の流速はReynolds数として、それぞれ

$$K_C = \frac{2\pi\xi}{D} \quad R_{ex} = \frac{\omega\xi D}{\nu} \quad R_{ee} = \frac{UD}{\nu}$$

のように無次元化した。ただし、模型の動搖変位は $\xi \cdot \sin \omega t$ なる正弦運動である。

なお、チェーン模型を用いた実験は、図3.1.2.4に示す「+」型の状態で実施した。また、実験実施時の水温は13.5°Cであった。

(4) 解析方法

一对の3分力計で計測した4周期分のデータを電算機でフーリエ解析した後、模型自身の慣性力を差引いて図3.1.2.3に示す3方向の流体力として、

$$\left. \begin{aligned} F_x &= F_{x0} + F_{x1} \cdot \sin(\omega t - \epsilon_{x1}) + F_{x2} \cdot \sin(2\omega t - \epsilon_{x2}) + F_{x3} \cdot \sin(3\omega t - \epsilon_{x3}) \\ F_y &= F_{y0} + F_{y1} \cdot \sin(\omega t - \epsilon_{y1}) + F_{y2} \cdot \sin(2\omega t - \epsilon_{y2}) + F_{y3} \cdot \sin(3\omega t - \epsilon_{y3}) \\ F_z &= F_{z0} + F_{z1} \cdot \sin(\omega t - \epsilon_{z1}) + F_{z2} \cdot \sin(2\omega t - \epsilon_{z2}) + F_{z3} \cdot \sin(3\omega t - \epsilon_{z3}) \end{aligned} \right\} \quad (3.1.2.3)$$

のように3次高周波成分まで求めた。これらのうち、定常抗力成分、基本周波数の付加質量成分および変動抗力成分は、それぞれ

$$\begin{aligned} F_{x0} / \frac{1}{2}\rho SU^2 \cos^2 \chi, \quad F_{y0} / \frac{1}{2}\rho SU^2 \sin^2 \chi \\ F_{x1} \cos \epsilon_{x1} / \rho v \xi \omega^2, \quad F_{y1} \cos \epsilon_{y1} / \rho v \xi \omega^2, \quad F_{z1} \cos \epsilon_{z1} / \rho v \xi \omega^2 \\ F_{x1} \sin \epsilon_{x1} / \frac{1}{2}\rho S(\xi \omega)^2, \quad F_{y1} \sin \epsilon_{y1} / \frac{1}{2}\rho S(\xi \omega)^2, \quad F_{z1} \sin \epsilon_{z1} / \frac{1}{2}\rho S(\xi \omega)^2 \end{aligned}$$

v : 供試模型の体積

のように無次元化した。高周波成分については、基本周波数成分との比

$$\begin{aligned} F_{x2}/F_{x1}, \quad F_{x3}/F_{x1} \\ F_{y2}/F_{y1}, \quad F_{y3}/F_{y1} \\ F_{z2}/F_{z1}, \quad F_{z3}/F_{z1} \end{aligned}$$

として無次元化した。ただし、基本周波数成分がないときは、

$$F_{z2}^2 / \frac{1}{2}\rho SU^2, \quad F_{y2}^2 / \frac{1}{2}\rho SU^2, \quad F_{z2} / \frac{1}{2}\rho SU^2$$

として無次元化した。

(5) 実験結果および考察

実験結果は、無次元化した各成分の流体力係数を縦軸に、 K_C 数を横軸にとり、 Re_c および Rex をパラメータとして図 3.1.2.1.0～図 3.1.2.6.5 にまとめた。

図中、右上の記号 \downarrow , \leftarrow , \cdot は、それぞれ x 方向、 y 方向および Z 方向の強制動揺を示し、 \leftarrow は一様流の流入方向を示す。

1) y 方向の定常抗力

図 3.1.2.1.0～図 3.1.2.1.5 にチェーン模型の、図 3.1.2.1.6～図 3.1.2.1.9 にストランドロープ模型の図 3.1.2.2.0 にスパイラルロープ模型の y 方向の定常抗力の実験結果を示す。

これらの図によると、 y 方向の定常流速で無次元化を行ったにもかかわらず、 y 方向の定常抗力の無次元値は、強制動揺による振動流速の影響のため、 Rex が大きく、 $Re_{c\sin y}$ が小さいほど大きくなることがわかる。また、ストランドロープとスパイラルロープの y 方向の定常抗力の無次元値はほぼ等しい。

2) x 方向の定常抗力

図 3.1.2.2.1～図 3.1.2.2.5 にチェーン模型の、図 3.1.2.2.6～図 3.1.2.2.8 にストランドロープ模型の x 方向の定常抗力の実験結果を示す。

x 方向の定常抗力の無次元値は、 y 方向の定常抗力の無次元値より小さくなっています。特に、ストランドロープ模型の場合は、ほぼゼロと考えてよいと思われる。

3) y 方向の付加質量

図 3.1.2.2.9～図 3.1.2.3.1 にチェーン模型の、図 3.1.2.3.2～図 3.1.2.3.4 にストランドロープ模型の図 3.1.2.3.5 にスパイラルロープ模型の y 方向の付加質量の実験結果を示す。

今回の実験では K_C 数の大きい範囲を対象としたので、変動流体力の中に占める付加質量の割合は抗力に比べて全般に小さくなっています。 K_C 数が最も大きい場合には高々数パーセントである。

一様流がない時、チェーン模型の付加質量係数は、 K_C 数および Rex によらずほぼ一定値を示しています。一方、2種類の索模型の付加質量係数は、 Rex には依存していないものの、 K_C 数に大きく依存しており、 K_C が 1.0 付近で極端に小さくなり、 K_C 数の増加と共に若干増加する傾向がある。

一様流が存在する時、 y 方向の付加質量係数は、 Rex , Re_c および一様流の流入角度に依存して複雑に変化しており、スパイラルロープ模型に対する実験結果では負となる場合もある。

4) x 方向の付加質量

図 3.1.2.3.6～図 3.1.2.3.8 にチェーン模型の x 方向の付加質量の実験結果を示す。ストランドロープ模型の x 方向の付加質量係数は、ほとんどゼロであったので省略した。

x 方向の付加質量は、 y 方向の付加質量に比べると小さいことがわかる。

5) Z 方向の付加質量

図 3.1.2.3.9～図 3.1.2.4.0 にチェーン模型の、図 3.1.2.4.1～図 3.1.2.4.2 にストランドロープ模型の Z 方向の付加質量係数を示す。

Z 方向の付加質量係数は、 Rex が小さいほど一様流の影響を大きく受け、負の値となることがある。

6) y 方向の変動抗力

図 3.1.2.4.3～図 3.1.2.4.6 にチェーン模型の、図 3.1.2.4.7～図 3.1.2.4.9 にストランドロープ模型の図 3.1.2.5.0 にスパイラルロープ模型の、 y 方向の変動抗力の基本周波数成分の実験結果を示す。

一様流がない時、チェーン模型の y 方向の変動抗力は、 Rex および K_C 数によらず、ほぼ一定値となって

いる。一方、索模型の場合は、 R_{ex} には依存しないが、 K_c 数によって変化しており、 $K_c > 10$ では K_c 数の増加と共に単調減少する傾向を示している。

一様流が存在する時、3種類の模型とも、y方向の定常流速と変動速度の比($Re \sin \chi / R_{ex}$)が大きくなるほど、y方向の変動抗力の無次元値は大きくなっている。

図3.1.2.4～6に、 $\chi = 45^\circ$ でチェーン模型をx方向に強制動搖させた時の、y方向の変動抗力の実験結果を示す。この図から、チェーン模型については、斜めから一様流が作用する場合には、x方向の動搖によってもy方向に変動抗力が作用することがわかる。一方、ストランドロープ模型については、同様の条件で実験を行ったが、y方向の変動流体力はほとんど作用しなかった。

7) x方向の変動抗力

図3.1.2.5.1～図3.1.2.5.3にチェーン模型に対するx方向の変動抗力の基本周波数成分の実験結果を示す。これらの図から、チェーン模型のx方向の変動抗力は、y方向の変動抗力に比べて十分小さいとはいえないことがわかる。

一方、索模型のx方向の変動抗力はほとんどゼロであったので、省略した。

8) Z方向の変動抗力

図3.1.2.5.4～図3.1.2.5.5にチェーン模型の、図3.1.2.5.6にストランドロープ模型の、図3.1.2.5.7にスパイラルロープ模型の、Z方向の変動抗力の基本周波数の成分の実験結果を示す。

y方向の変動抗力と同様に、y方向の定常流速と変動速度の比($Re \sin \chi / R_{ex}$)が大きくなるほど、Z方向の変動抗力も大きくなっているが、y方向の変動抗力に比べると一様流の影響は小さい。

9) 高周波成分

高周波成分の一例として、図3.1.2.5.8～図3.1.2.5.9に、チェーン模型のy方向流体力の高周波成分を基本周波数成分と比較して示す。高周波成分は基本周波数分に比べて十分小さく、無視できると考えられる。

10) 抗力係数の評価

「3.1.2.1一様流中抵抗試験」の結果から、索模型の場合はCross-Flow Principleを適用することができ、一様流中で索が受ける索に直角な方向の抗力 F_n は、y方向およびZ方向の一様流の分速度 U_y 、 U_z を用いて

$$F_n = \frac{\rho}{2} S C_D \left| \chi = 90^\circ (U_y^2 + U_z^2) \right. \quad (3.1.2.4)$$

と表すことができる。また、(3.1.2.4)式をy方向とZ方向に分離して考えると、

$$\left. \begin{aligned} F_Y &= \frac{\rho}{2} S C_D \left| \chi = 90^\circ \sqrt{U_Y^2 + U_Z^2} \cdot U_Y \right. \\ F_Z &= \frac{\rho}{2} S C_D \left| \chi = 90^\circ \sqrt{U_Y^2 + U_Z^2} \cdot U_Z \right. \end{aligned} \right\} \quad (3.1.2.5)$$

のようになる。

一様流中ににおいて索を強制動搖した場合も、 K_c 数が大きい時は、流場は準定常状態であるから(3.1.2.5)式を適用することが考えられる。y方向およびZ方向に $\xi \cdot \sin \omega t$ なる強制動搖を行った場合、それぞれの動搖に対する U_Y および U_Z は、

$$\left. \begin{aligned} U_Y &= U \cdot \sin \chi - \omega \xi \cdot \cos \omega t \\ U_Z &= 0 \end{aligned} \right\} \quad (y \text{方向の強制動搖}) \quad (3.1.2.6)$$

$$\left. \begin{aligned} U_Y &= U \cdot \sin \chi \\ U_Z &= -\omega \xi \cdot \cos \omega t \end{aligned} \right\} \quad (Z \text{方向の強制動搖}) \quad (3.1.2.7)$$

で表され、(3.1.2.6)式または(3.1.2.7)式を(3.1.2.5)式に代入してフーリエ余弦展開を施し、2次以上の高周波成分を無視すると、 F_Y および F_Z は、y 方向の強制動揺に対して、

$$\left. \begin{aligned} F_Y &= \frac{\rho}{2} S C_D \left(\frac{a_{Y0}}{2} + a_{Y1} \cdot \cos \omega t \right) \\ F_Z &= 0 \end{aligned} \right\} \quad (3.1.2.8)$$

$\alpha = U \sin \chi / \omega \xi \geq 1$ の時

$$a_{Y0} = (\xi \omega)^2 (2\alpha^2 + 1)$$

$$a_{Y1} = 2\xi \omega \cdot U$$

$\alpha < 1$ の時

$$\left. \begin{aligned} a_{Y0} &= \frac{2}{\pi} (\xi \omega)^2 \left\{ 2(\alpha^2 + \frac{1}{2}) \sin^{-1} \alpha + 3\alpha \sqrt{1-\alpha^2} \right\} \\ a_{Y1} &= \frac{4}{\pi} (\xi \omega)^2 \left\{ \frac{1}{2}(\alpha^2 + 2) \sqrt{1-\alpha^2} + \alpha \sin^{-1} \alpha \right\} \end{aligned} \right\}$$

Z 方向の強制動揺に対して、

$$\left. \begin{aligned} F_Y &= \frac{\rho}{2} S C_D \left(\frac{a_{Z0}}{2} \right) \\ F_Z &= \frac{\rho}{2} S C_D (a_{Z1} \cdot \cos \omega t) \end{aligned} \right\} \quad (3.1.2.9)$$

$$a_{Z0} = \frac{4}{\pi} U \cdot \omega \xi \sqrt{\alpha^2 + 1} \cdot E\left(\frac{1}{\sqrt{\alpha^2 + 1}}\right)$$

$$a_{Z1} = \frac{4}{3\pi} (\omega \xi)^2 \sqrt{\alpha^2 + 1} \left[\left\{ E\left(\frac{1}{\sqrt{\alpha^2 + 1}}\right) + K\left(\frac{1}{\sqrt{\alpha^2 + 1}}\right) \right\} + (\alpha^2 + 1) \left\{ E\left(\frac{1}{\sqrt{\alpha^2 + 1}}\right) - K\left(\frac{1}{\sqrt{\alpha^2 + 1}}\right) \right\} \right]$$

$E\left(\frac{1}{\sqrt{\alpha^2 + 1}}\right), K\left(\frac{1}{\sqrt{\alpha^2 + 1}}\right)$: 第1種および第2種完全橢円積分

と表せる。

(3.1.2.8)式と(3.1.2.9)式を(3.1.2.3)式に示す実験解析結果と比較して、対応する項を等置すると、定常成分と基本周波数成分のそれぞれから抗力係数 C_D が求まり、y 方向の強制動揺試験からは、

$$\left. \begin{aligned} C_{D0} &= \frac{F_{Y0}}{\frac{\rho}{4} S a_{Y0}} \\ C_{D1} &= \frac{F_{Y1} \cdot \sin \epsilon_{Y1}}{\frac{\rho}{2} S a_{Y1}} \end{aligned} \right\} \quad (3.1.2.10)$$

Z 方向の強制動揺試験からは、

$$\left. \begin{aligned} C_{D0} &= \frac{F_{Y0}}{\frac{\rho}{4} S a_{Z0}} \\ C_{D1} &= \frac{F_{Y1} \cdot \sin \epsilon_{Y1}}{\frac{\rho}{2} S a_{Z1}} \end{aligned} \right\} \quad (3.1.2.11)$$

のようになる。

ストランドロープの場合について、実験結果から(図 3.1.2.10)式と(3.1.2.11)式を使って抗力係数を求めた結果を図 3.2.6.1 に示す。ただし、定常抗力と変動抗力は、素に直角な方向の合成速度 U_n が支配するので、横軸の Keulegan-Carpenter 数 K_C' として

$$K'_C = \frac{U_{\max} \cdot 2\pi}{\omega \cdot D}$$

$$U_{\max} = \begin{cases} U \sin x + \omega \xi & : y \text{ 方向の強制動搖試験} \\ \sqrt{U^2 \sin^2 x + (\omega \xi)^2} & : Z \text{ 方向の強制動搖試験} \end{cases}$$

をとった。

図から、 K'_C 数が 50 以上では、実験結果から (3.1.2.1.0) 式あるいは (3.1.2.1.1) 式を使って求めた抗力係数はほぼ一定値となっており、一様中抵抗試験から得られた抗力係数ともおおむね一致していることがわかる。

実海域における係留ラインに働く流体力を考える場合、問題となるのは K'_C 数がかなり大きな範囲であるから、付加質量の寄与は小さくほとんどが抗力成分であるといえる。従って、一様流中で動搖する係留ラインに働く流体力は、抵抗試験で得られた抗力係数 C_D を使って、(3.1.2.5) 式を適用することにより、実用上十分な精度で推定することができると考えられる。

係留鎖の場合も、鎖に直角な方向から一様流が流入する時には (3.1.2.5) 式を適用して鎖に働く流体力を推定することができると思われる。

(6) 既存データとの比較

一様流中で動搖する円柱に働く流体力に関する研究は、小寺山ら⁶⁾により既に実施されている。小寺山らによれば、抗力成分の定常力と基本周波数成分のそれから抗力係数を求めることができ、y 方向の強制動搖を行った時は (3.1.2.1.0) 式で、Z 方向の強制動搖を行った時は、

$$\left. \begin{aligned} C_{Dy0} &= \frac{F_{y0}}{\frac{1}{2} \rho S U \sqrt{U^2 + 0.5(\xi \omega)^2}} \\ C_{Dz1} &= \frac{F_{z1} \cdot \sin \epsilon_{z1}}{\frac{1}{2} \rho S (\xi \omega) \sqrt{U^2 + 0.5(\xi \omega)^2}} \end{aligned} \right\} \quad (3.1.2.12)$$

で表せる。本報告でも、ストランドロープに対する実験結果の一部について (3.1.2.1.0) 式および (3.1.2.1.2) 式を使って無次元化を行ってみた。図 3.1.2.6.0～図 3.1.2.6.1 および図 3.1.2.6.2～図 3.1.2.6.3 に、それぞれ y 方向および Z 方向の強制動搖試験から得られた抗力係数と付加質量係数を、横軸に K'_C 数 ($= 2\pi \xi / D$) をとつて示す。図中、破線と一点鎖線は、小寺山らによる実験結果の内、本報告で実施した実験と同様の条件に対する結果の平均線である。

今回の実験から得られた抗力係数は、一様流がない時は、定常波中の水平没水円柱に対する Keulegan-Carpenter の実験値⁷⁾とほぼ一致しており、小寺山らによる実験値よりは大き目となっている。

また、一様流が存在する時、抗力係数は「3.1.2.1 一様中抵抗試験」で得られた値とよく一致しており、また小寺山らによる実験値ともほぼ一致している。

付加質量係数についての今回の実験値は、一様流がない時は小寺山らによる実験値とほぼ一致しているが、一様流が存在する時には小寺山らによる実験との一致度が悪くなっている。この原因として、模型形状の差異等が考えられる。

参考文献

- 1) 宮崎芳夫他：一様な流れの中に置かれた錨鎖の形状と張力に関する研究—I, 日本航海学会論文集 62 号,

- 2) 安藤定雄：索・鎖の流体について、西部造船会会報第50号、昭和50年
 3) 宮崎芳夫他：網地の流体抵抗に関する基礎的研究—II, Journ. Tokyo Univ. Fish., 50(2), 1964
 4) Hoerner, S. F.: Fluid Dynamic Drag, 1958
 5) Norton, D. J. 他 : Wind Tunnel Tests of Inclined Circular Cylinders, OTC4122, 1981
 6) 小寺山亘他：波浪中を前進する鉛直円柱に加わる流体力についての実験的研究、日本造船学会論文集151

1982

- 7) Keulegan, G. H., Carpenter, L. H. : Forces on Cylinders and Plates in an Oscillating Fluid, Journal of Research of the National Bureau of Standards Vol. 60-5, 1958

3.1.2. 係留用索要素に働く流体力に関する実験(図表)

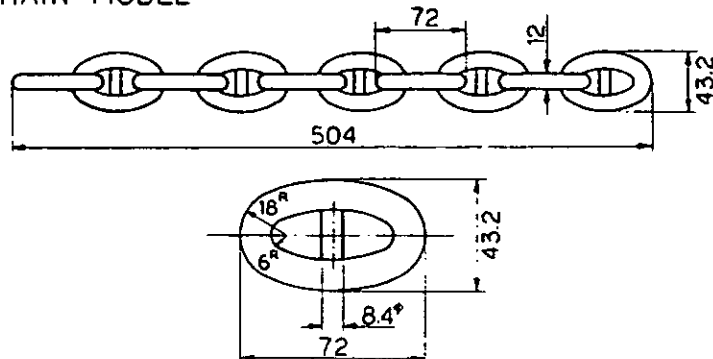
表3.1.2.1 供試模型の要目

模型 要目	チェーン模型	ストランドロープ模型	スパイラルロープ模型
長さ (mm)	504	612	
呼び径・外径 (mm)	12.0	33.3	29.8
空中重量 (g)	490	380	400
法線方向の投影面積 (cm ²)	125	204	182
体積 (cm ³)	184	400	391

表3.1.2.4 一様流中強制動搖実験の実験状態

模 型	K _C	R _{ex} (= $\frac{\omega \xi D}{v}$)	R _{ec} (= $\frac{UD}{v}$)	x	動 摆 方 向
チエーン	15 7 80	0.6 × 10 ⁴ 1.2 × 10 ⁴	0	90°	x, y
			0.5 × 10 ⁴	90°, 45°	x, y, z
				0°	x, y
			1.0 × 10 ⁴	90°	y
ストランド ロープ	5 7 30	0.6 × 10 ⁴ 1.2 × 10 ⁴ 2.4 × 10 ⁴	0	90°	y
			1.0 × 10 ⁴	90°, 45°	y, z
				0°	y
			2.0 × 10 ⁴	90°	y, z
	1.0 × 10 ⁴		90°	y	
スパイラル ロープ					

CHAIN MODEL



STRAND ROPE MODEL



SPIRAL ROPE MODEL



UNIT : mm

図 3.1.2.1 供試模型

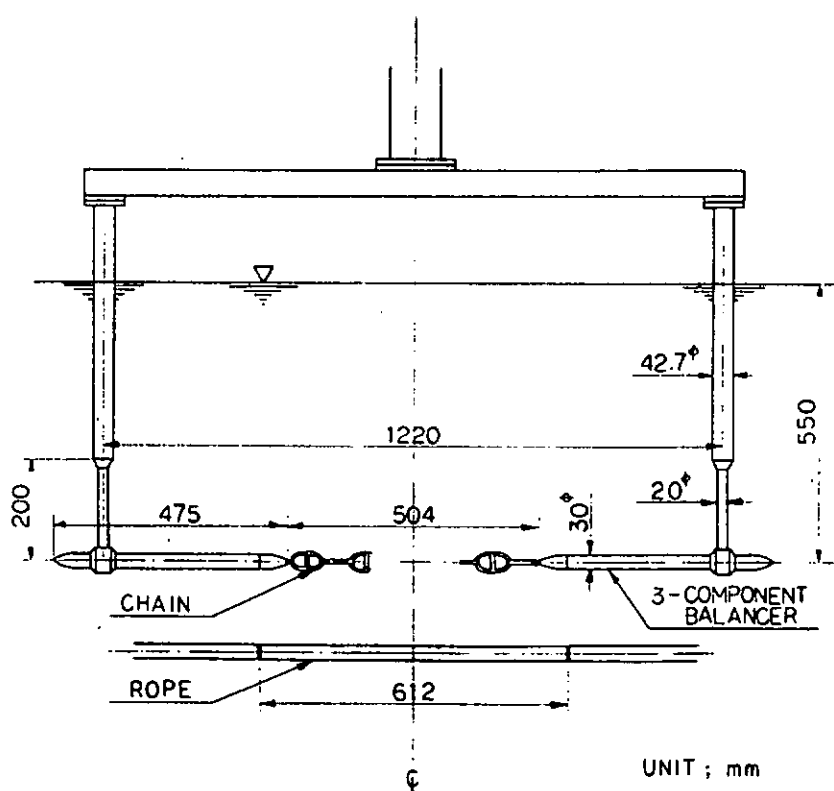


図 3.1.2.2 供試模型の取付状況

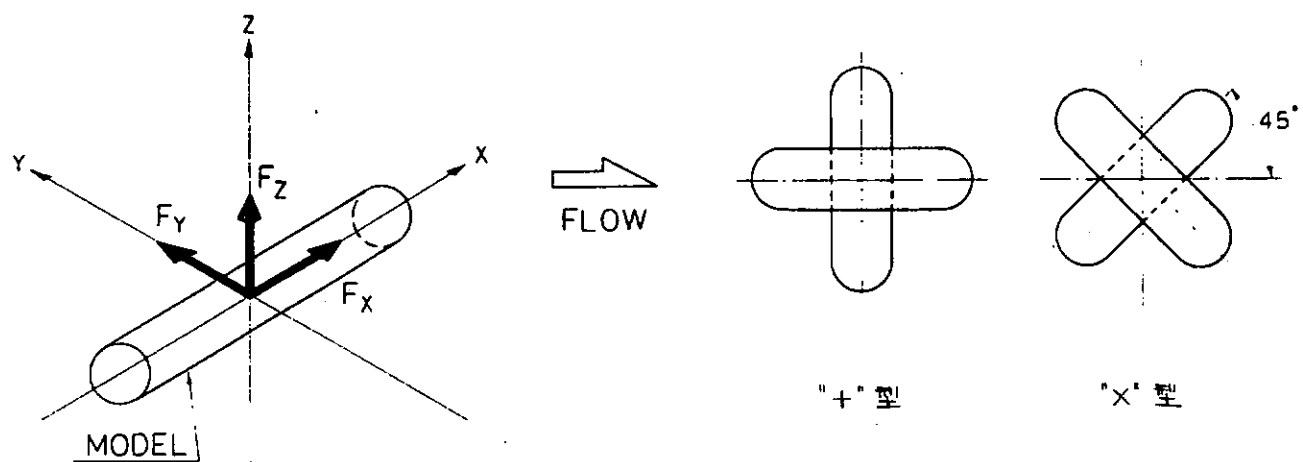


図 3.1.2.4 チェーン模型の流れに対する姿勢

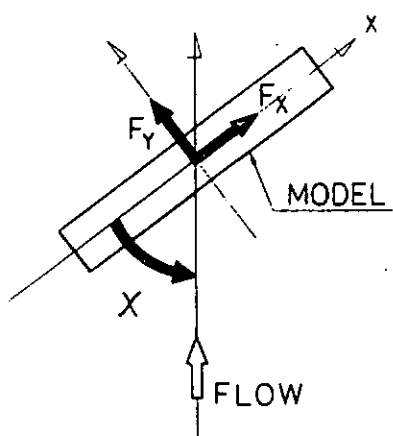


図 3.1.2.3 座標系

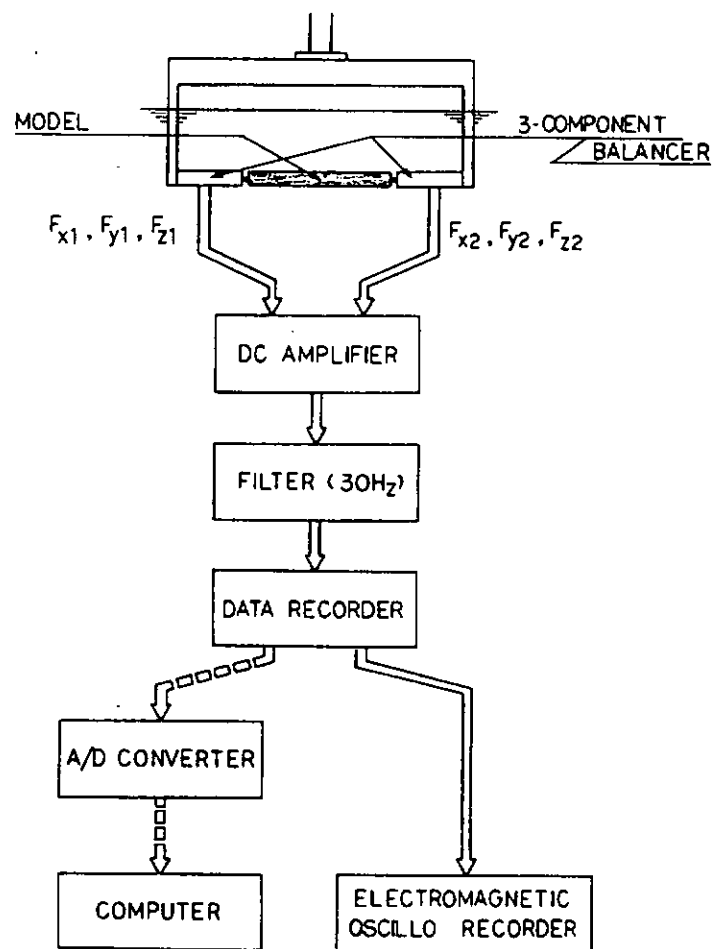


図 3.1.2.5 計測システム

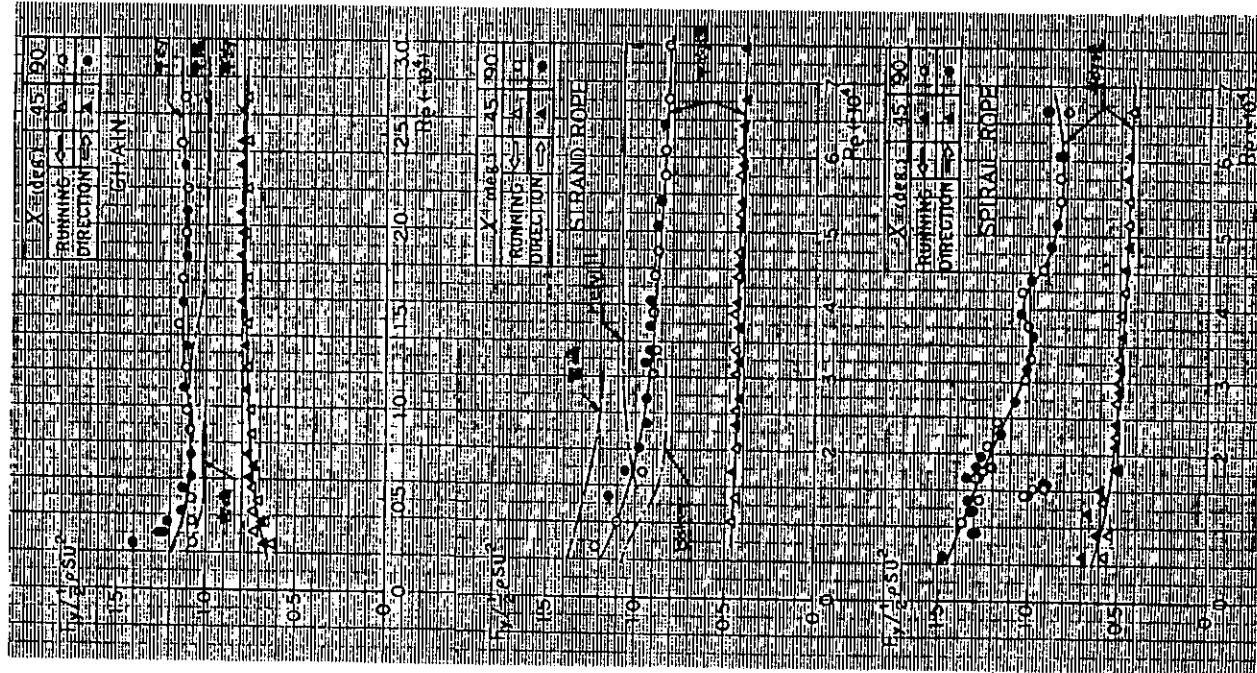


図 3.1.2.6 法線方向抵抗係数の Re 数影響

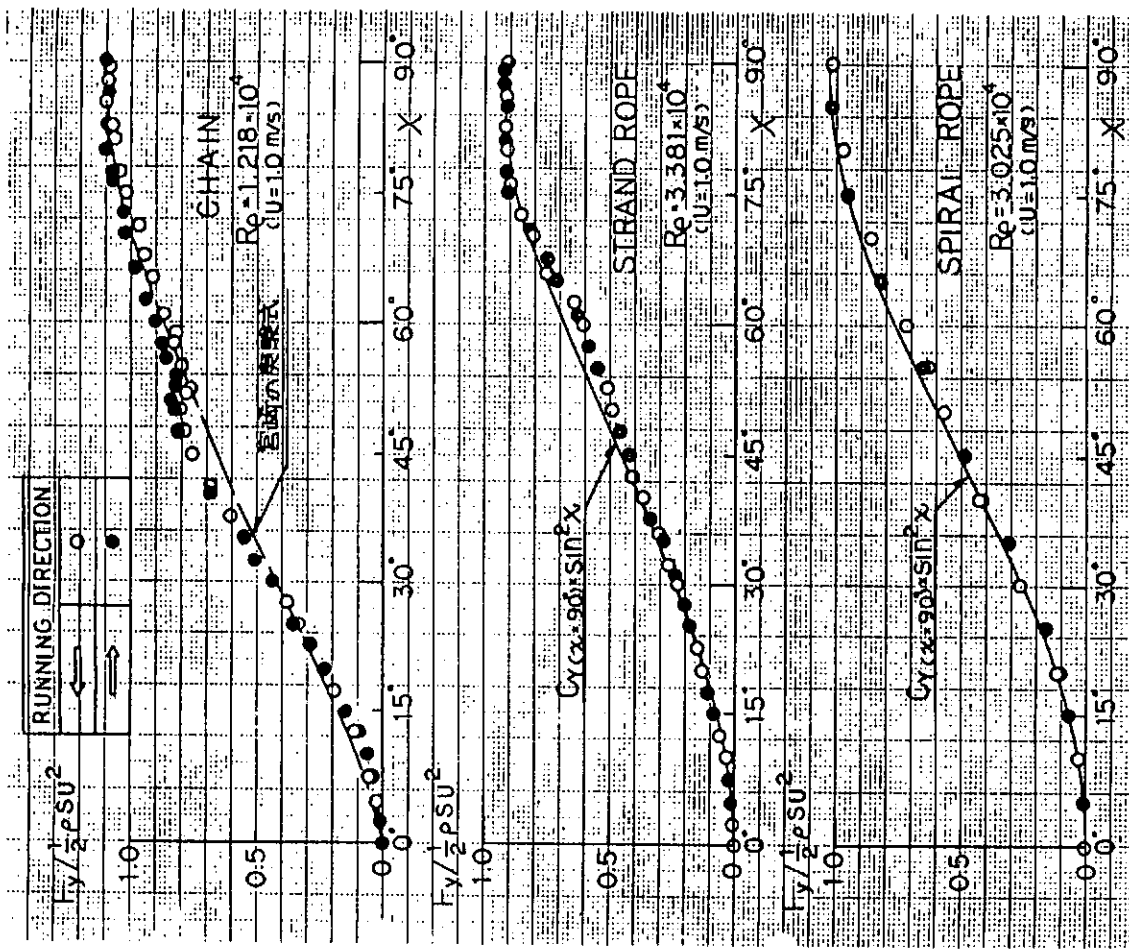


図 3.1.2.7 法線方向抵抗係数の流入角影響

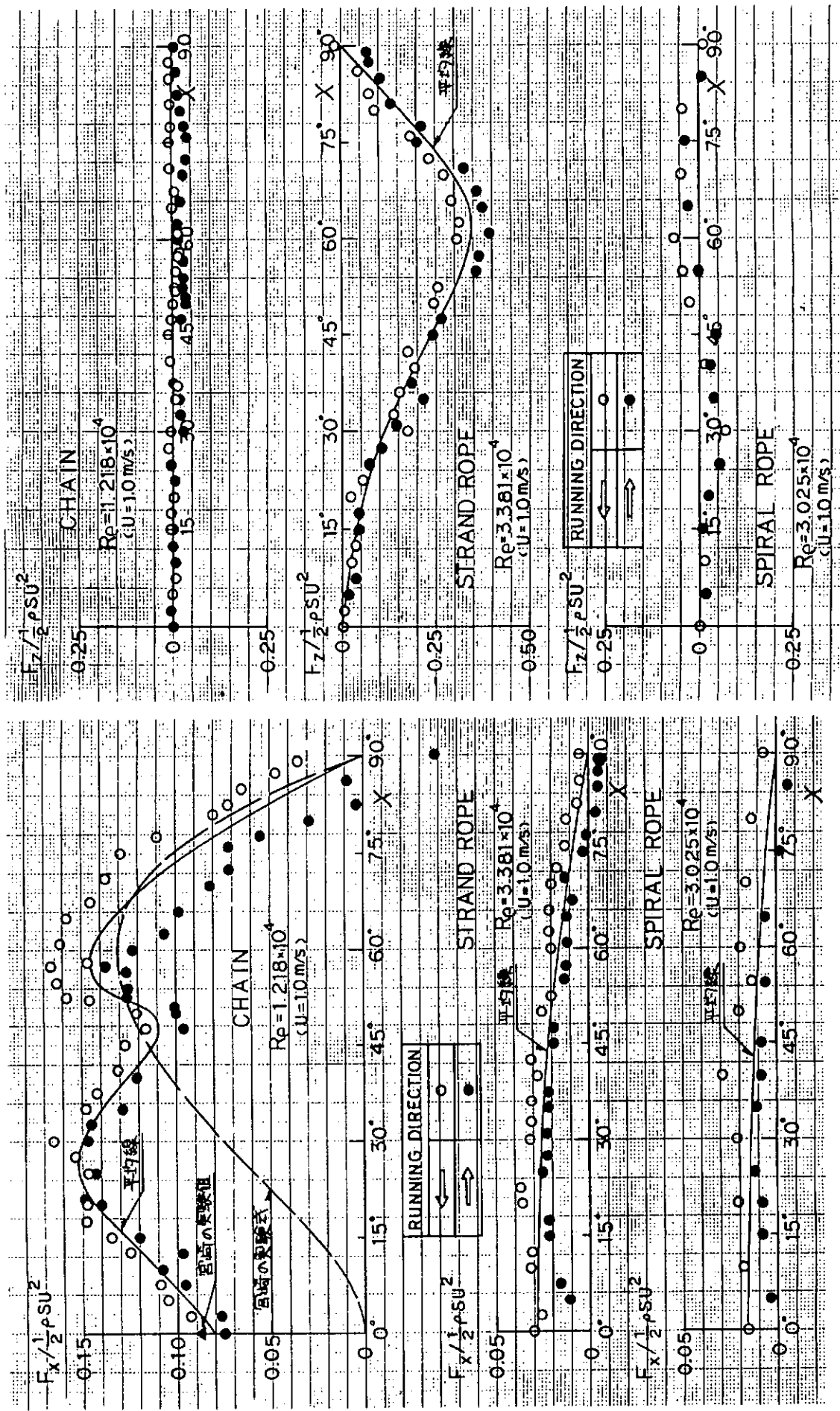


図 3.1.2.8 接触方向抵抗係数の流入角影響

図 3.1.2.9 摩擦係数の流入角影響

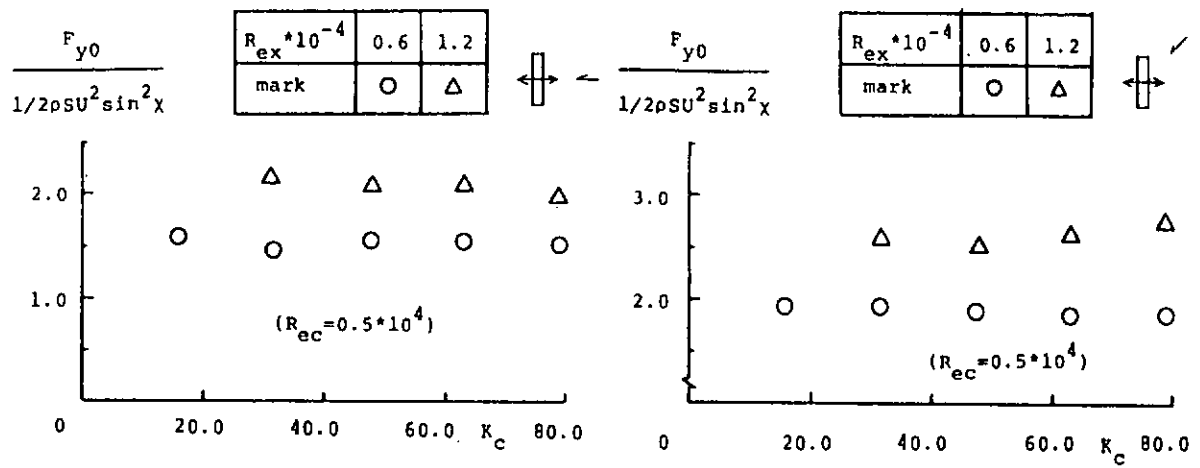


図 3.1.2.11 y 方向の定常抗力(チェーン)

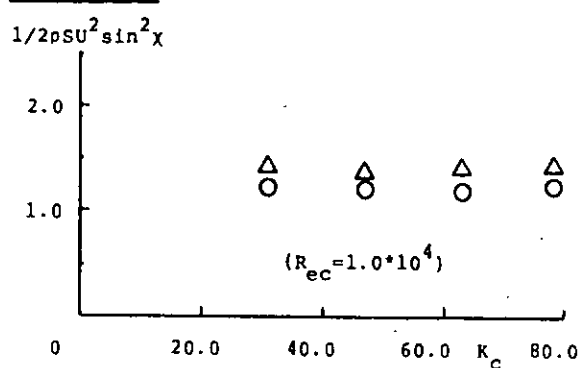


図 3.1.2.10 y 方向の定常抗力(チェーン)

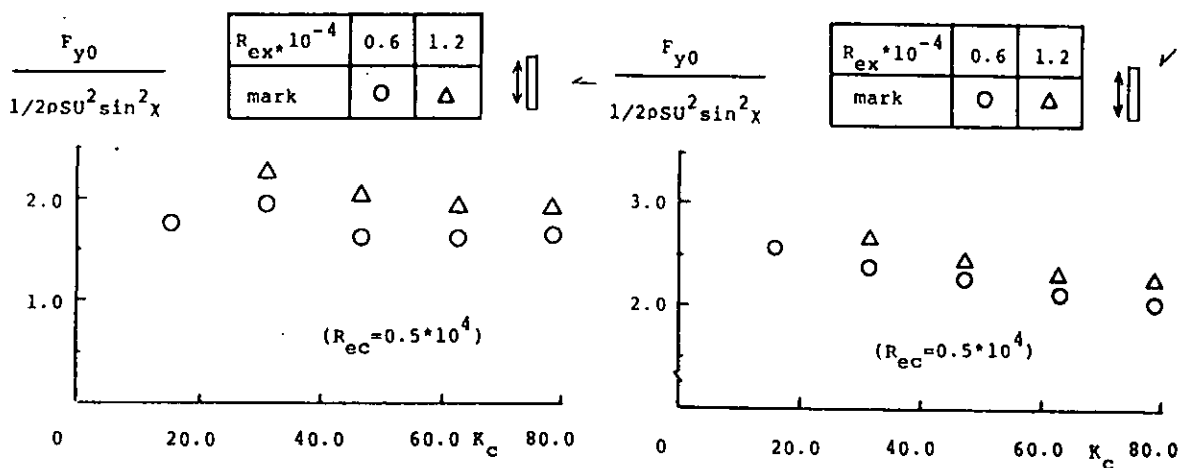


図 3.1.2.12 y 方向の定常抗力(チェーン)

図 3.1.2.13 y 方向の定常抗力(チェーン)

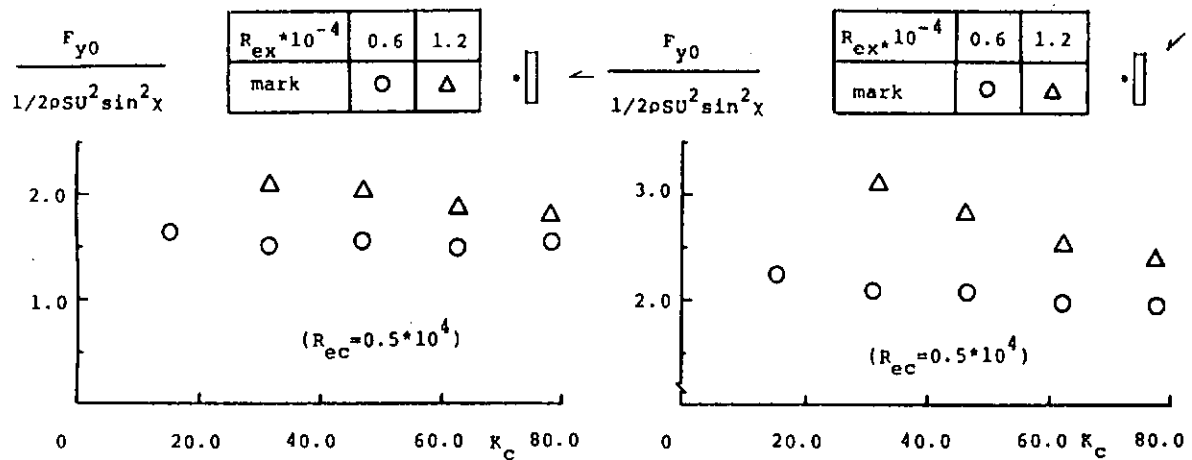


図 3.1.2.14 y 方向の定常抗力(チェーン)

図 3.1.2.15 y 方向の定常抗力(チェーン)

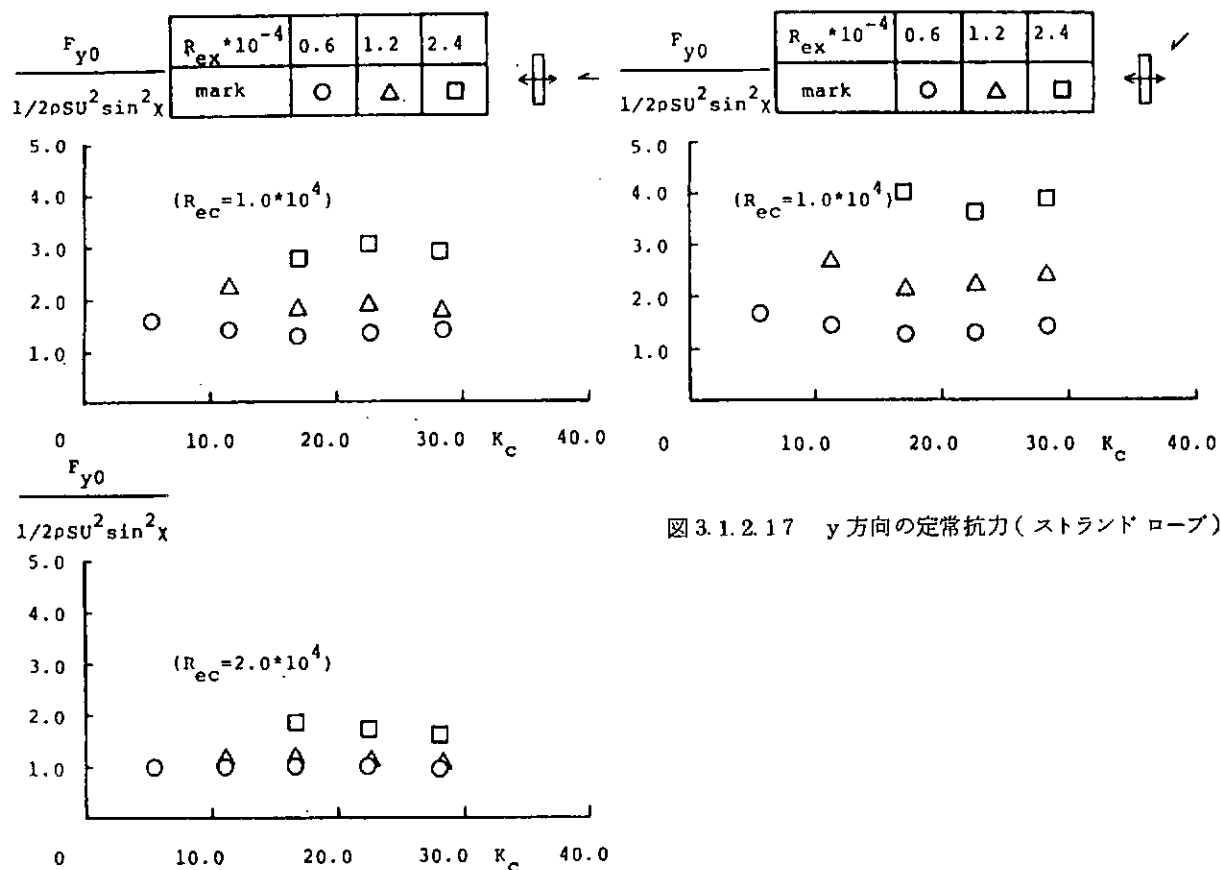


図 3.1.2.16 y 方向の定常抗力(ストランドロープ)

図 3.1.2.17 y 方向の定常抗力(ストランドロープ)

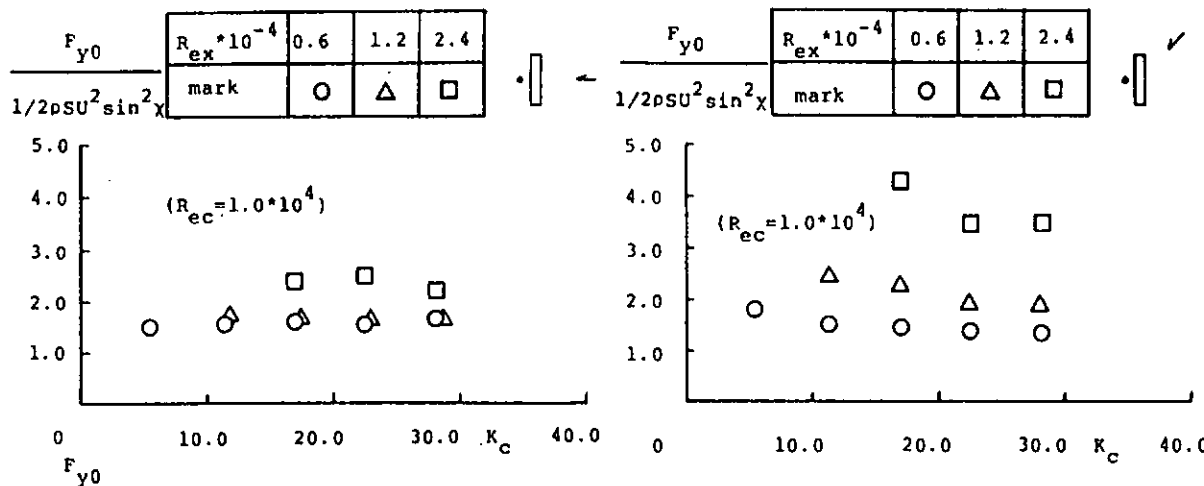


図 3.1.2.19 y 方向の定常抗力(ストランド ロープ)

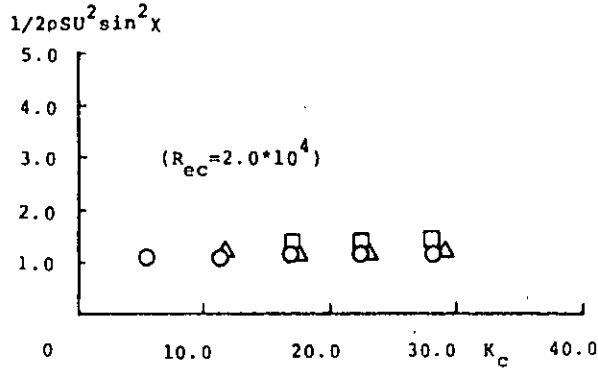


図 3.1.2.18 y 方向の定常抗力(ストランド ロープ)

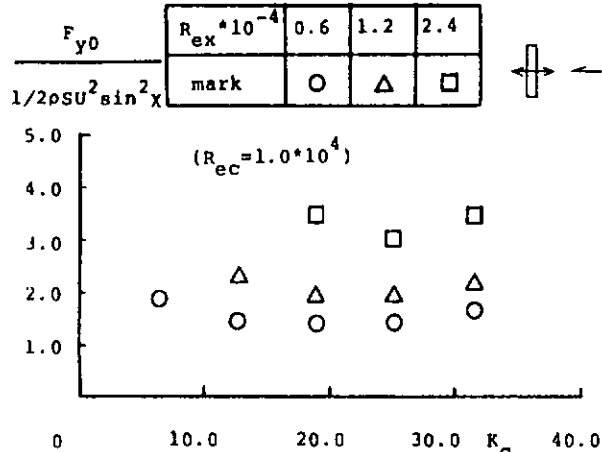


図 3.1.2.20 y 方向の定常抗力(スパイラル ロープ)

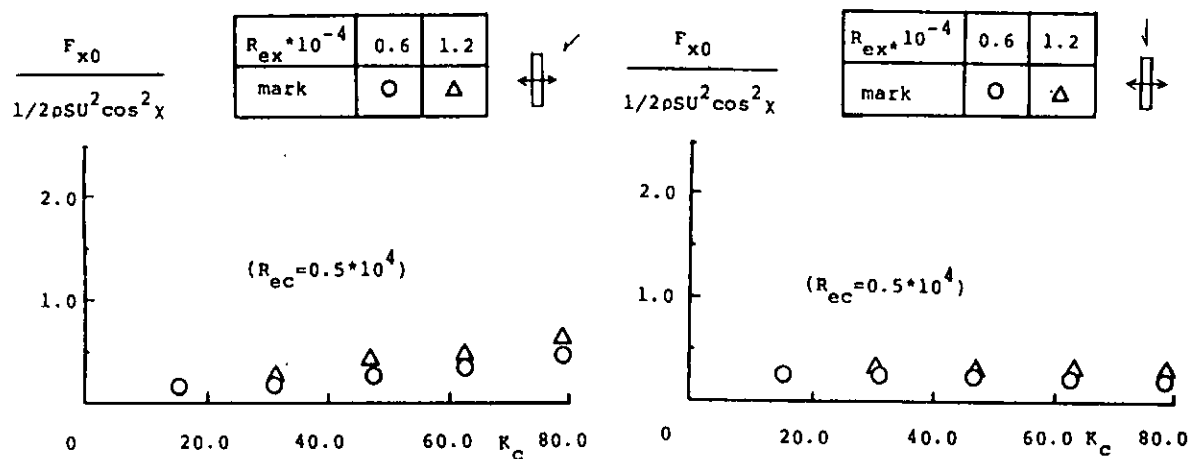


図 3.1.2.21 x 方向の定常抗力(チェーン)

図 3.1.2.22 x 方向の定常抗力(チェーン)

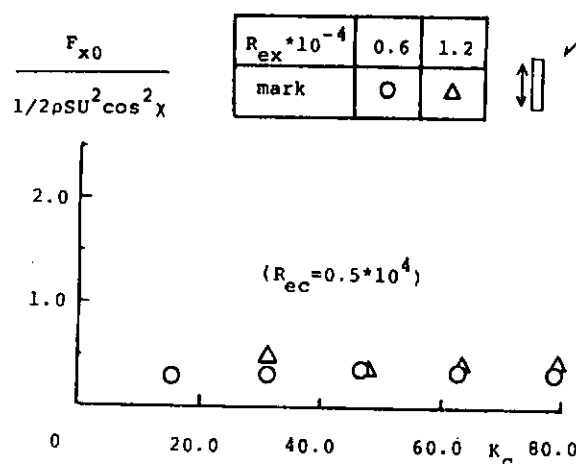


図 3.1.2.23 x 方向の定常抗力(チェーン)

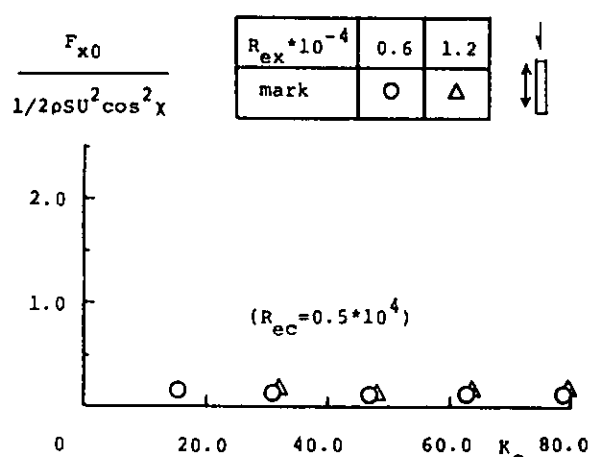


図 3.1.2.24 x 方向の定常抗力(チェーン)

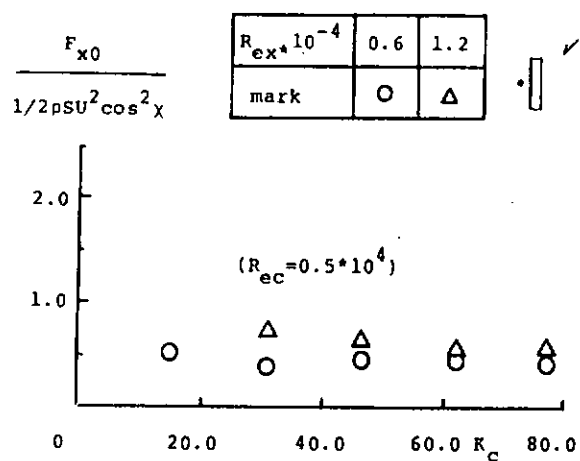


図 3.1.2.25 x 方向の定常抗力(チェーン)

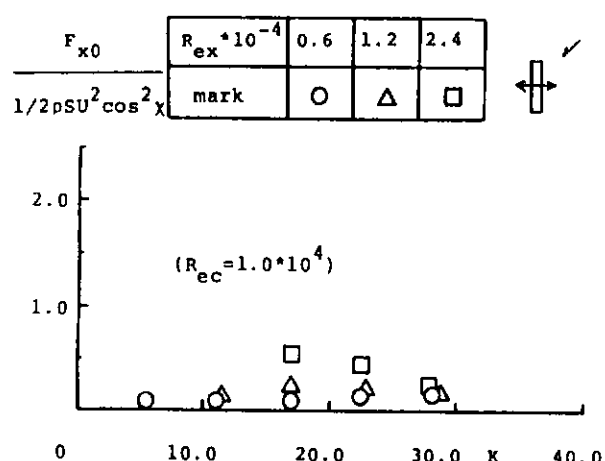


図 3.1.2.26 x 方向の定常抗力(ストランド ロープ)

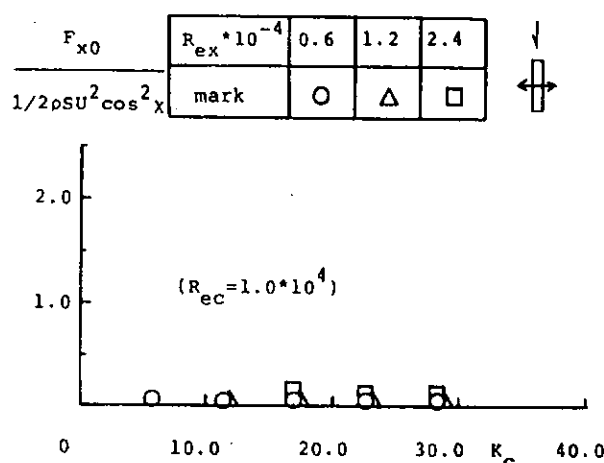


図 3.1.2.27 x 方向の定常抗力(ストランド ロープ)

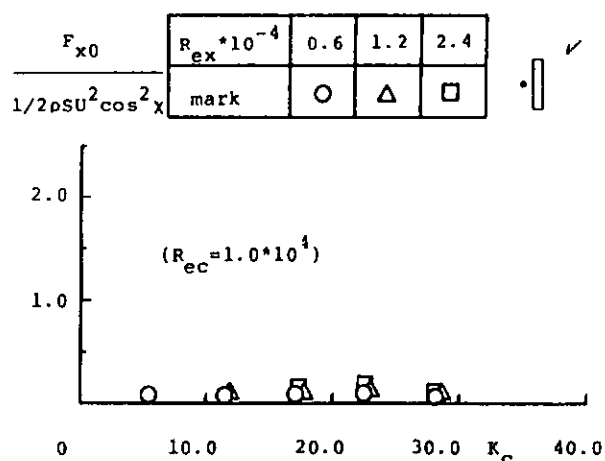


図 3.1.2.28 x 方向の定常抗力(ストランド ロープ)

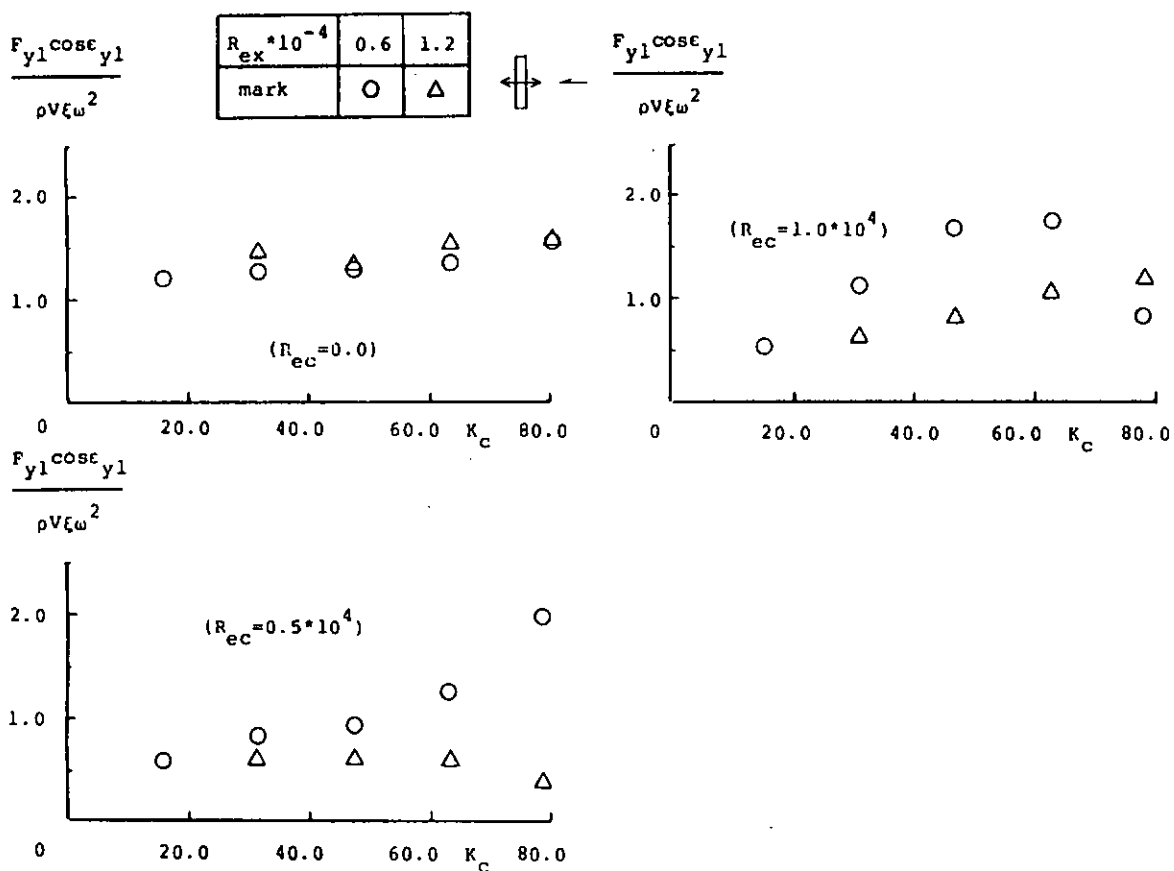


図 3.1.2.29 y 方向の付加質量係数(チェーン)

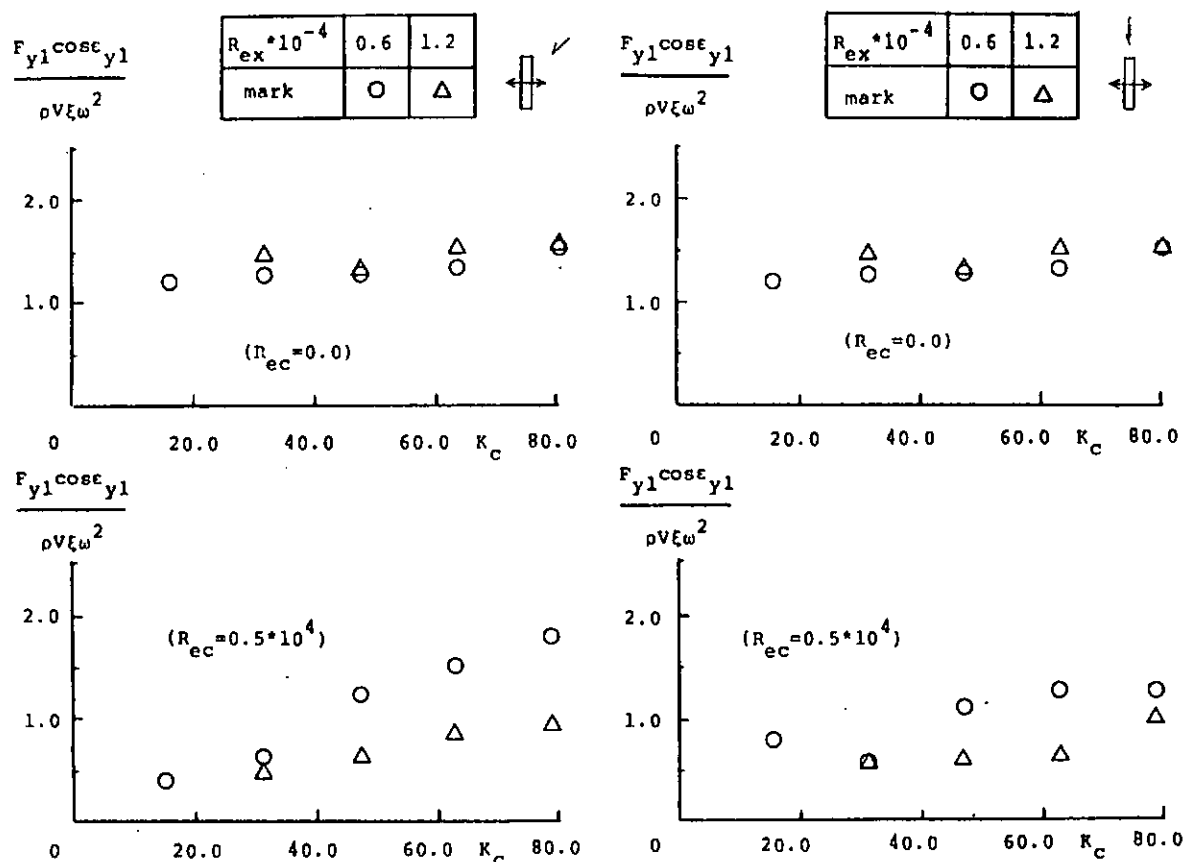


図 3.1.2.30 y 方向の付加質量係数(チェーン)

図 3.1.2.31 y 方向の付加質量係数(チェーン)

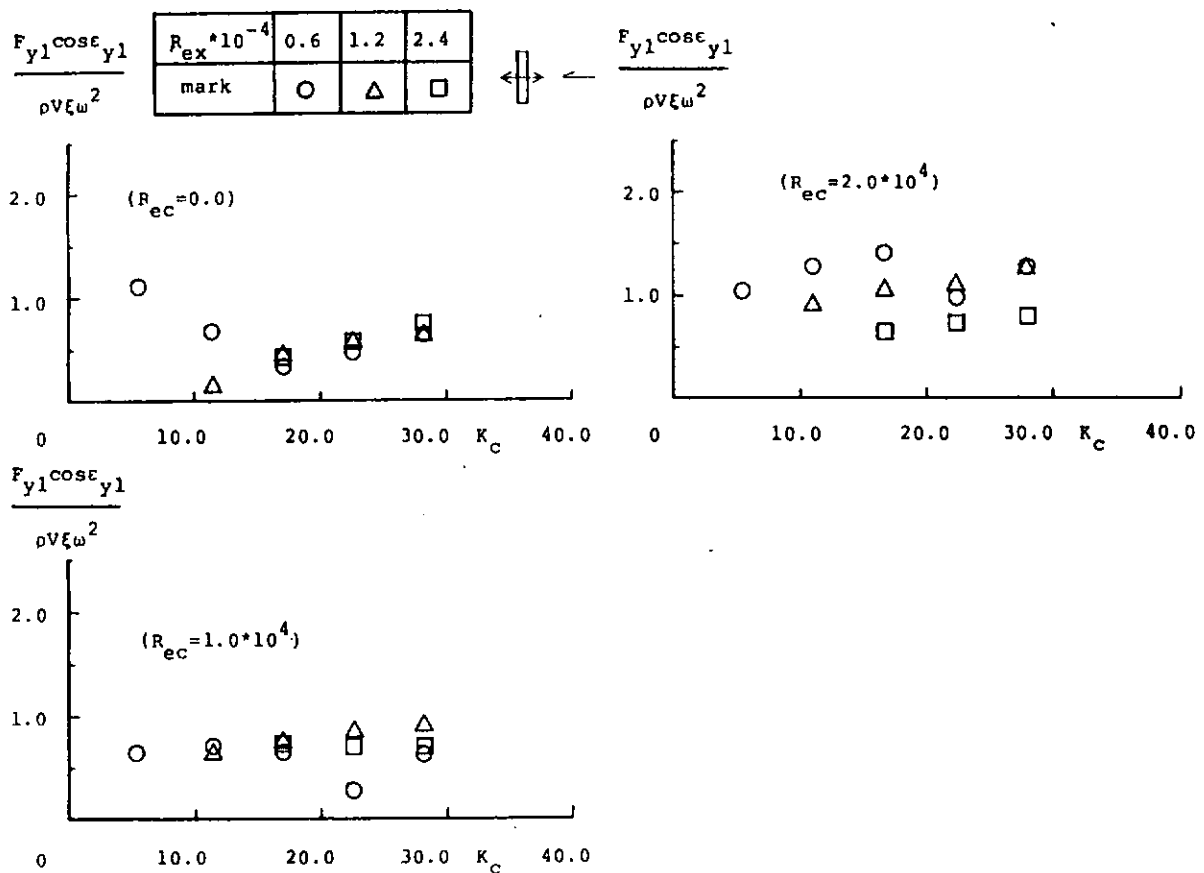


図 3.1.2.32 y 方向の付加質量係数(ストランド ロープ)

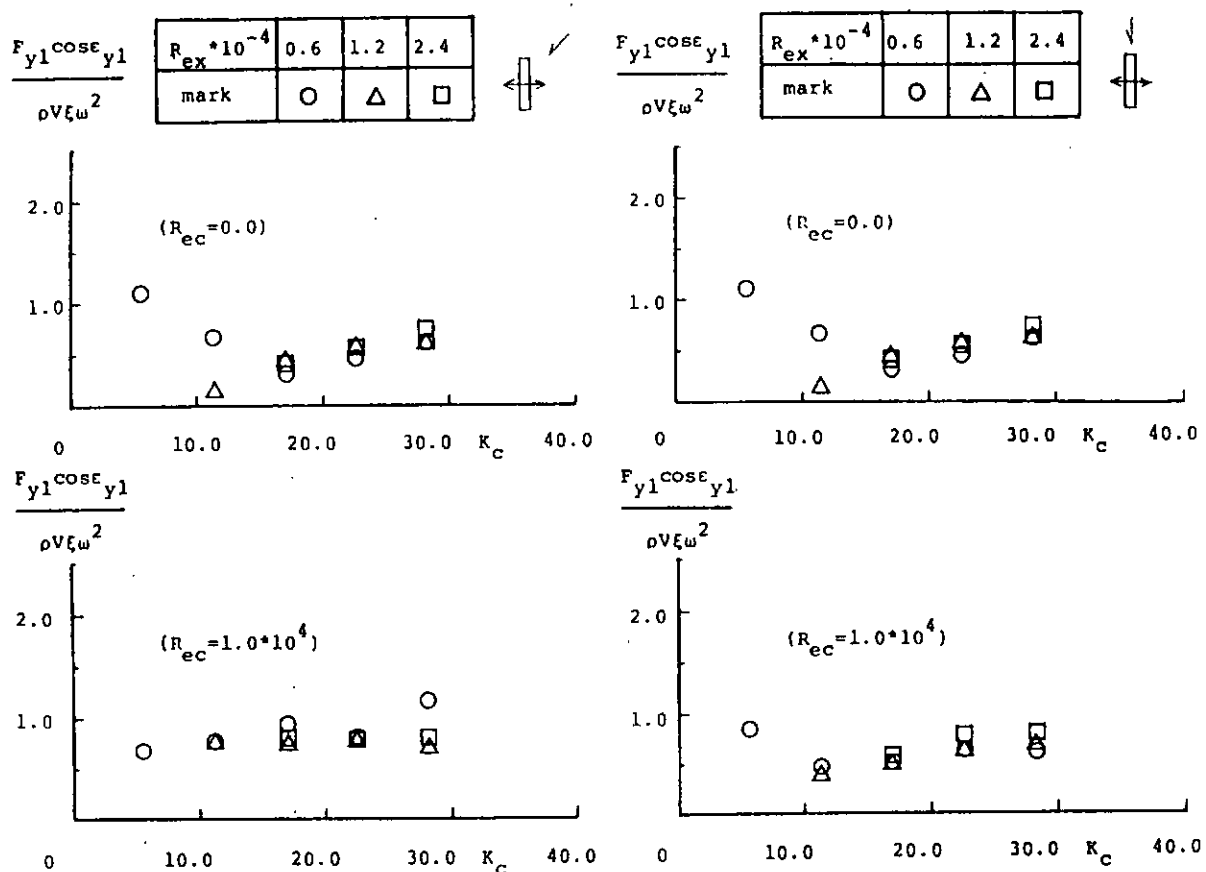


図 3.1.2.33 y 方向の付加質量係数(ストランド ロープ)

図 3.1.2.34 y 方向の付加質量係数(ストランド ロープ)

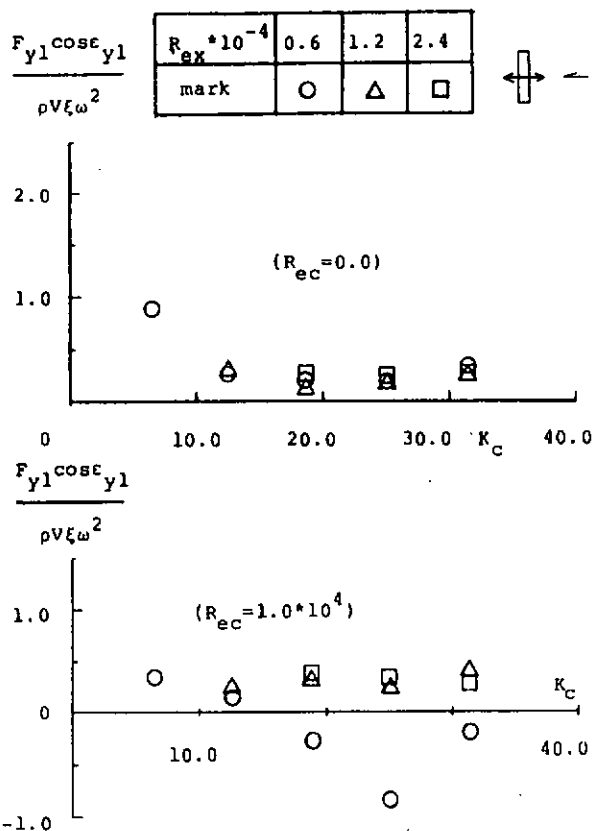


図 3.1.2.35 y 方向の付加質量係数(スパイラル ロープ)

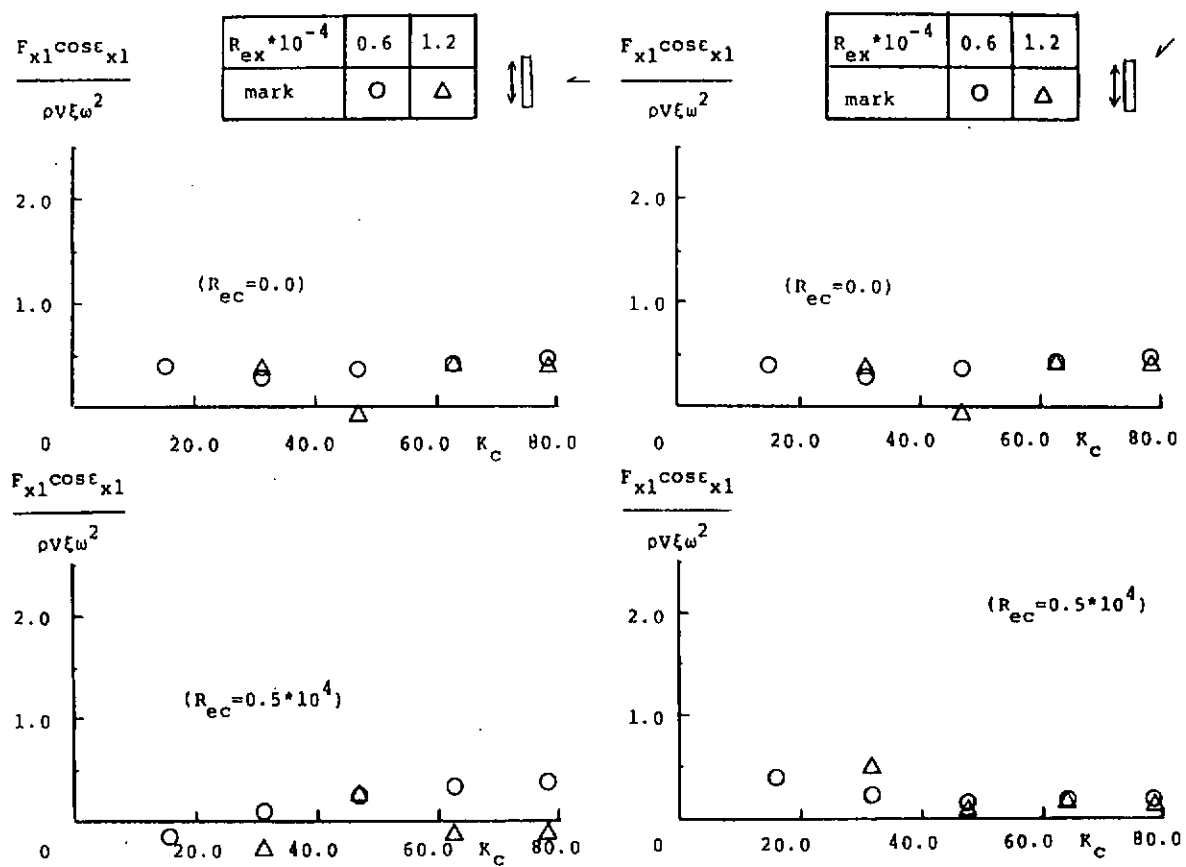


図 3.1.2.36 x 方向の付加質量係数(チェーン)

図 3.1.2.37 x 方向の付加質量係数(チェーン)

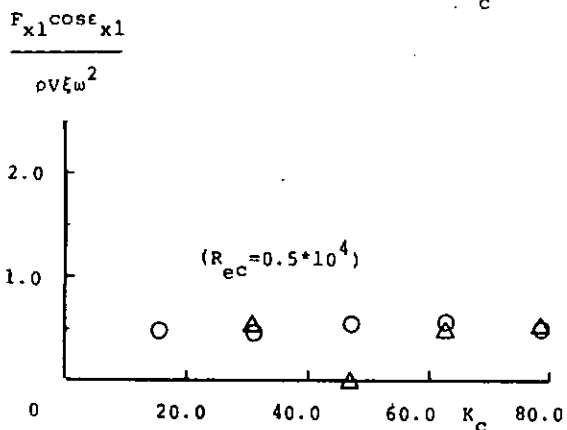
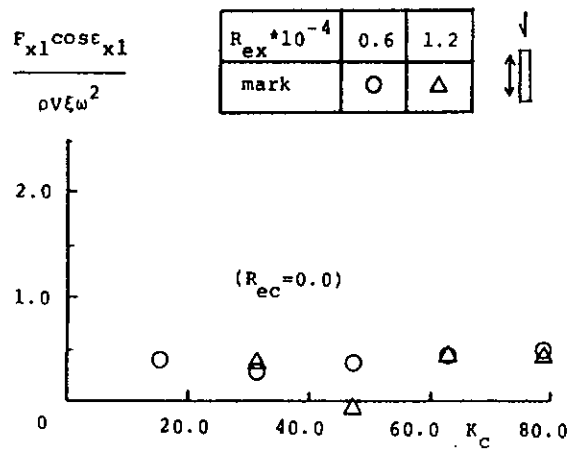


図 3.1.2.38 x 方向の付加質量係数(チエーン)

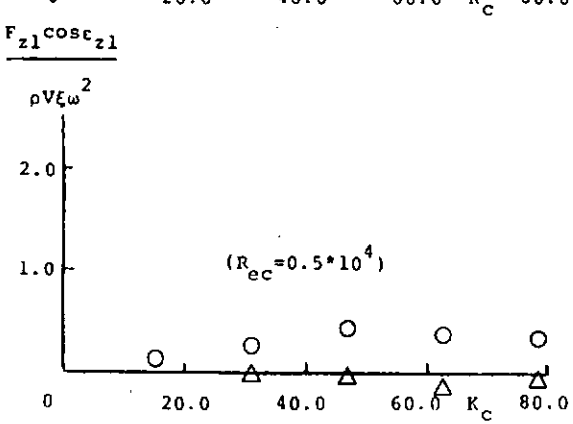
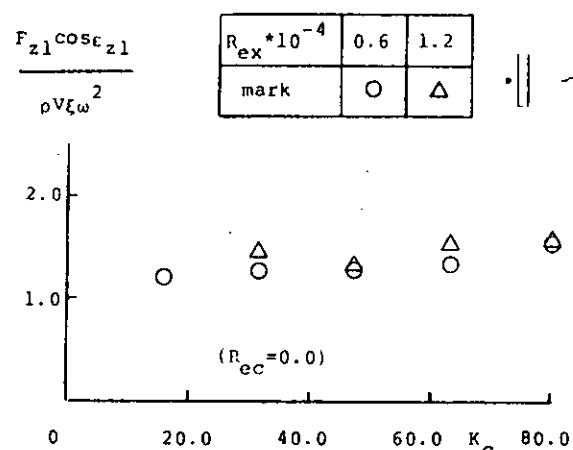


図 3.1.2.39 z 方向の付加質量係数(チエーン)

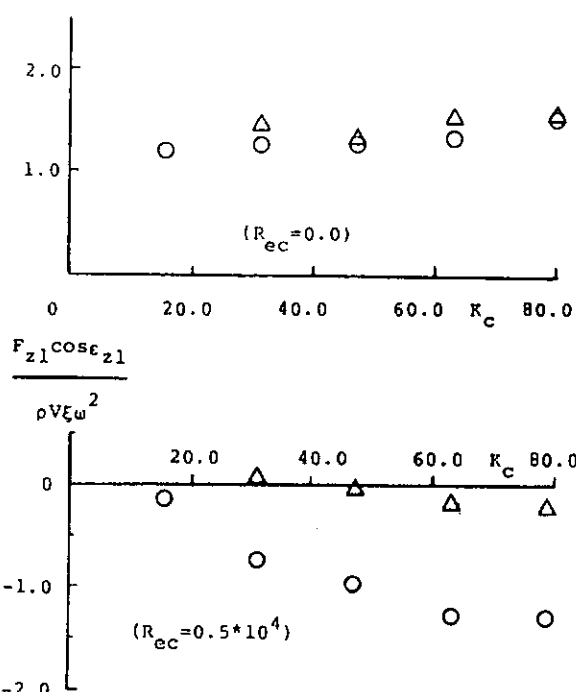
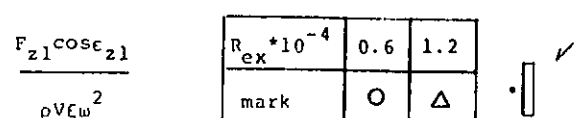


図 3.1.2.40 z 方向の付加質量係数(チエーン)

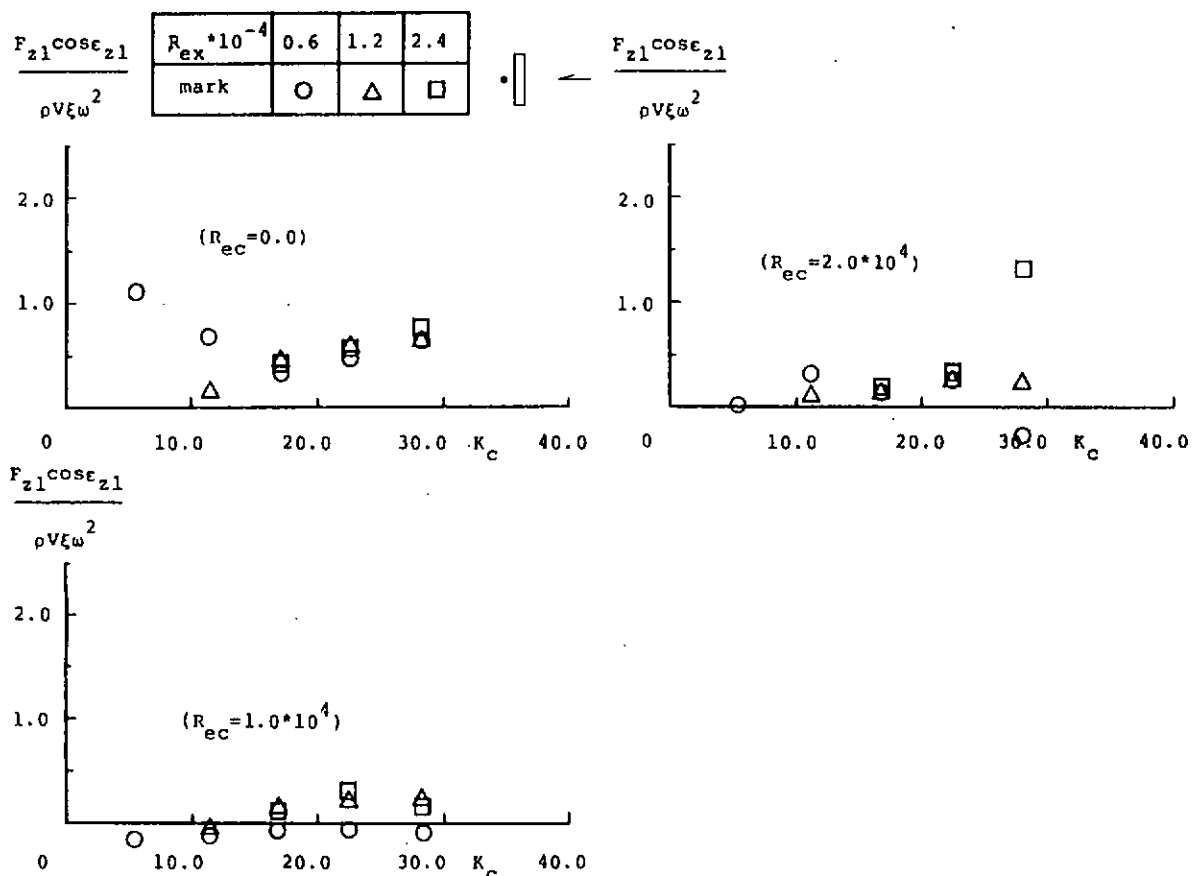


図 3.1.2.4.1 z 方向の付加質量係数(ストランド ロープ)

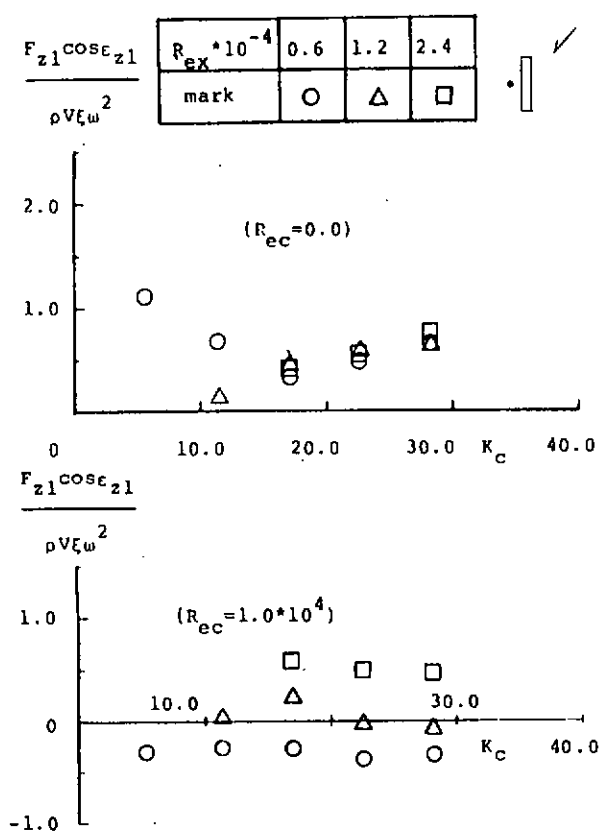


図 3.1.2.4.2 z 方向の付加質量係数(ストランド ロープ)

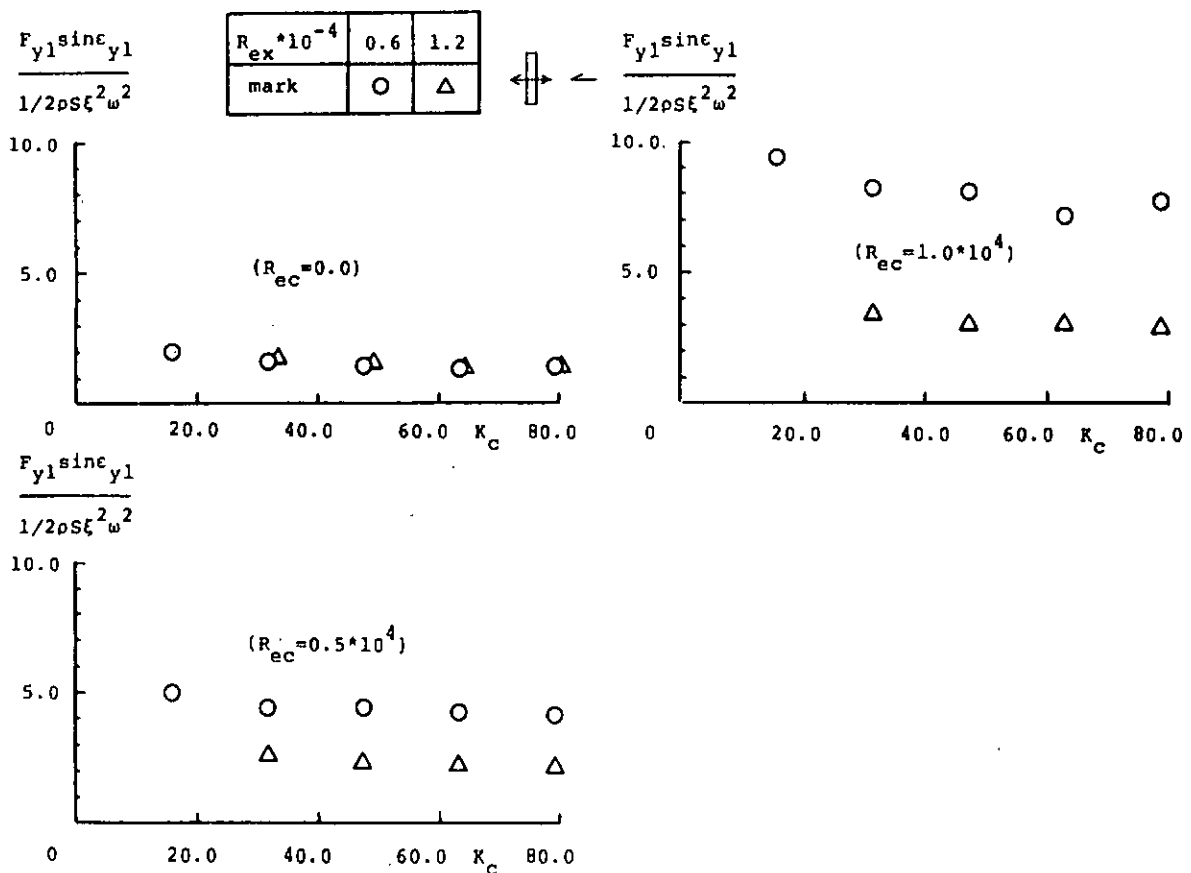


図 3.1.2.43 y 方向の変動抗力の基本周波数成分(チーン)

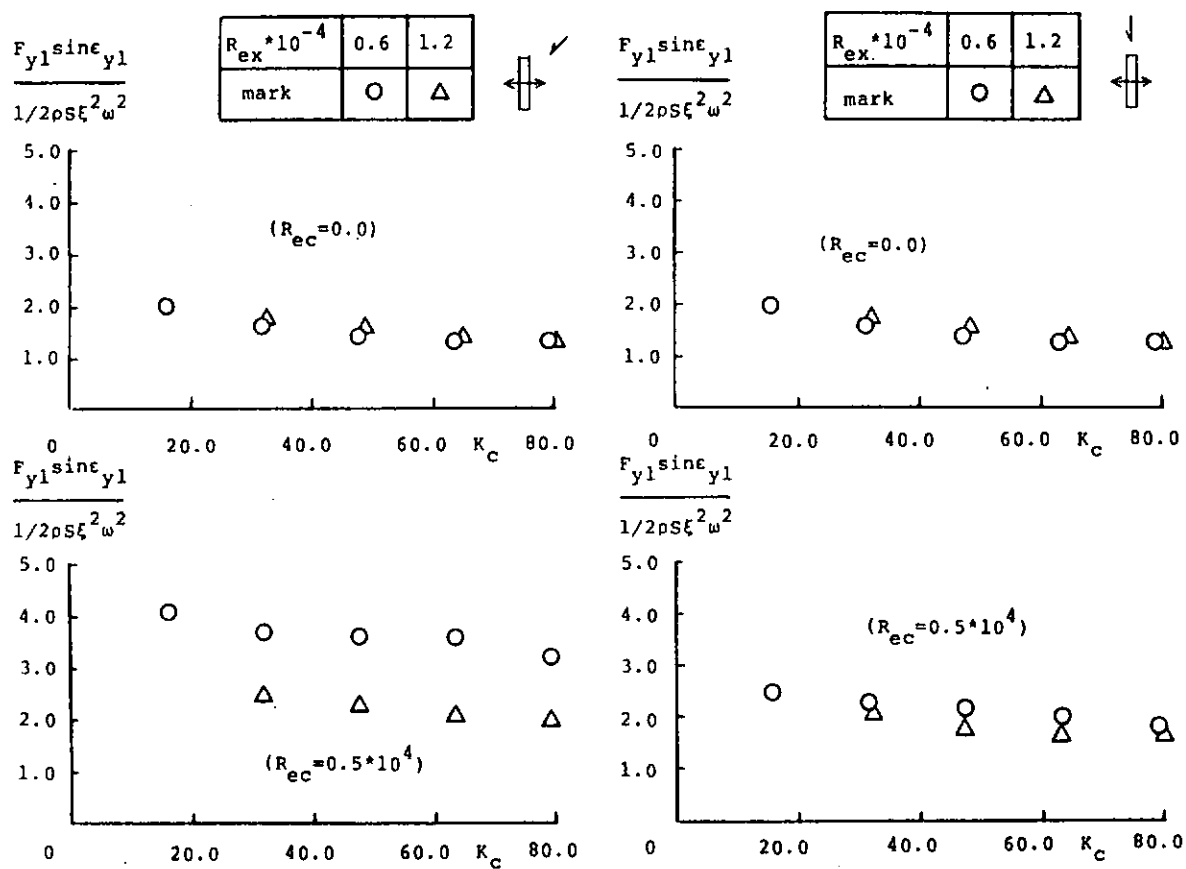


図 3.1.2.44 y 方向の変動抗力の基本周波数成分
(チーン)

図 3.1.2.45 y 方向の変動抗力の基本周波数成分
(チーン)

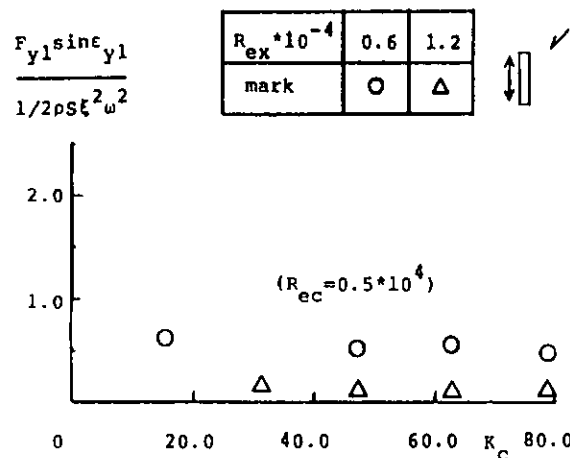


図 3.1.2.46 y 方向の変動抗力の基本周波数成分(チェーン)

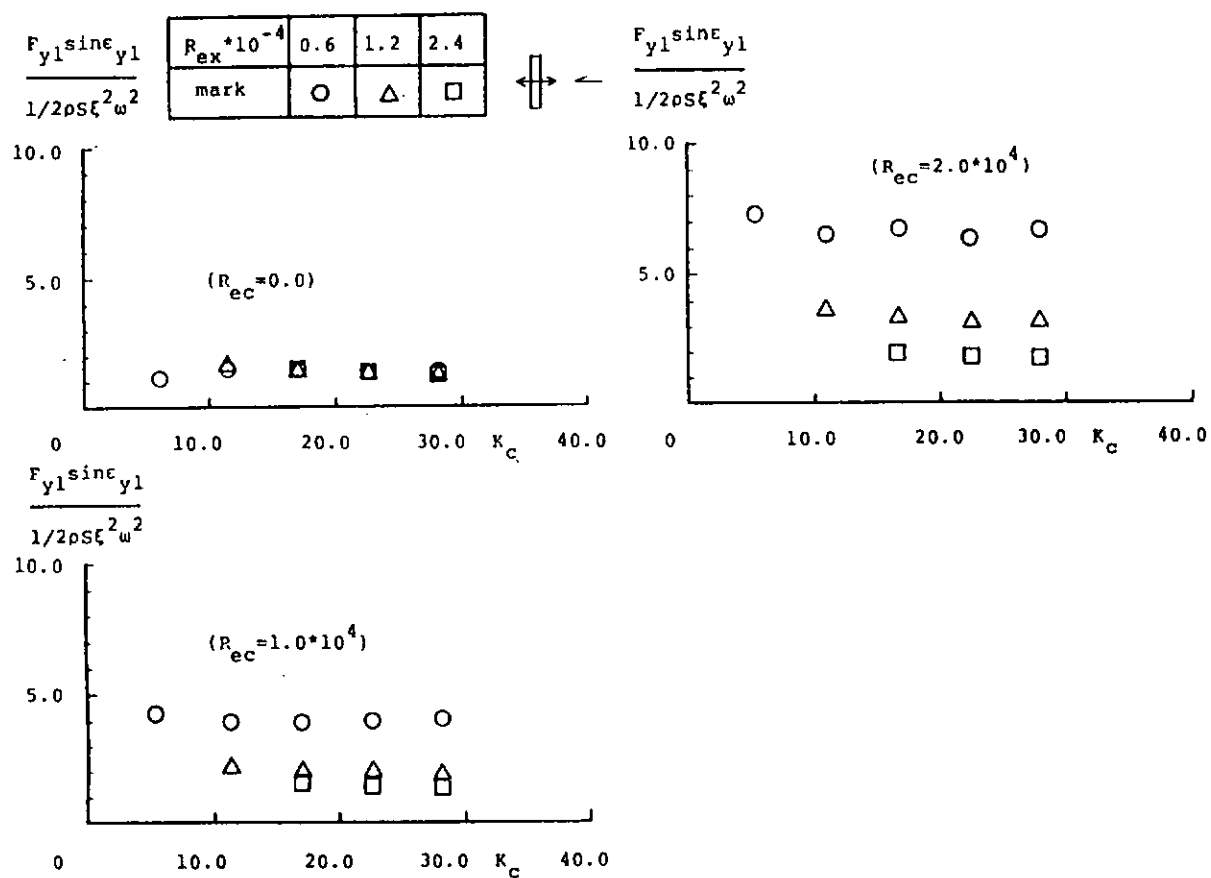


図 3.1.2.47 y 方向の変動抗力の基本周波数成分(ストランド ロープ)

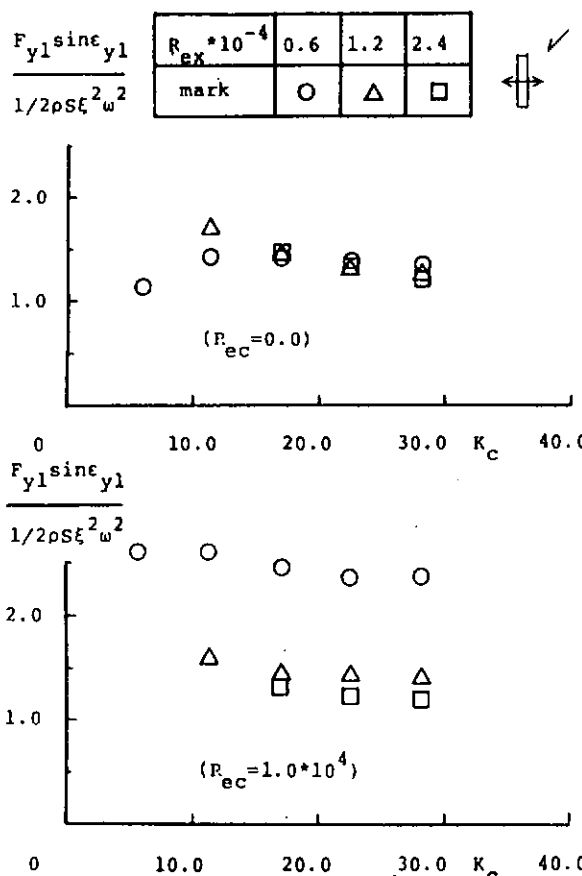


図 3.1.2.48 y 方向の変動抗力の基本周波数成分
(ストランド ロープ)

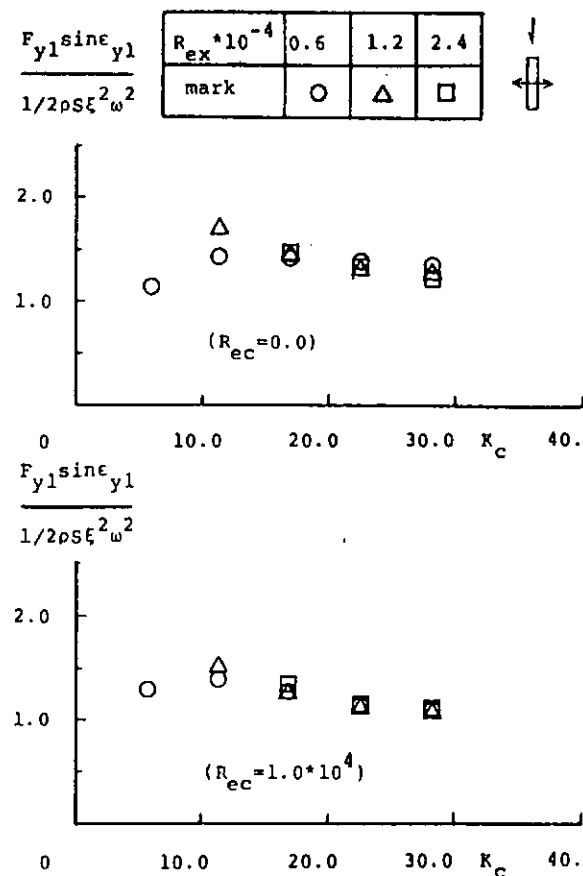


図 3.1.2.49 y 方向の変動抗力の基本周波数成分
(ストランド ロープ)

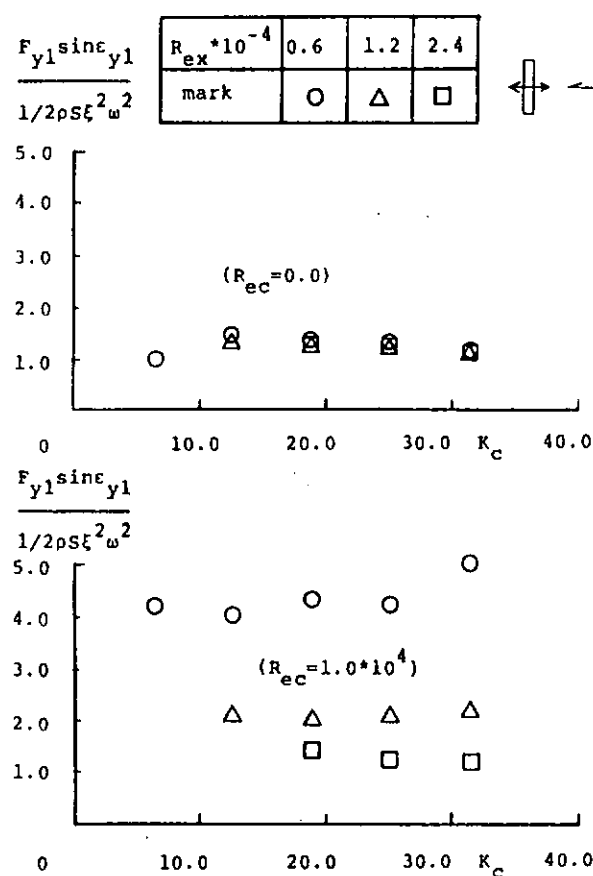


図 3.1.2.50 y 方向の変動抗力の基本周波数成分
(スパイラル ロープ)

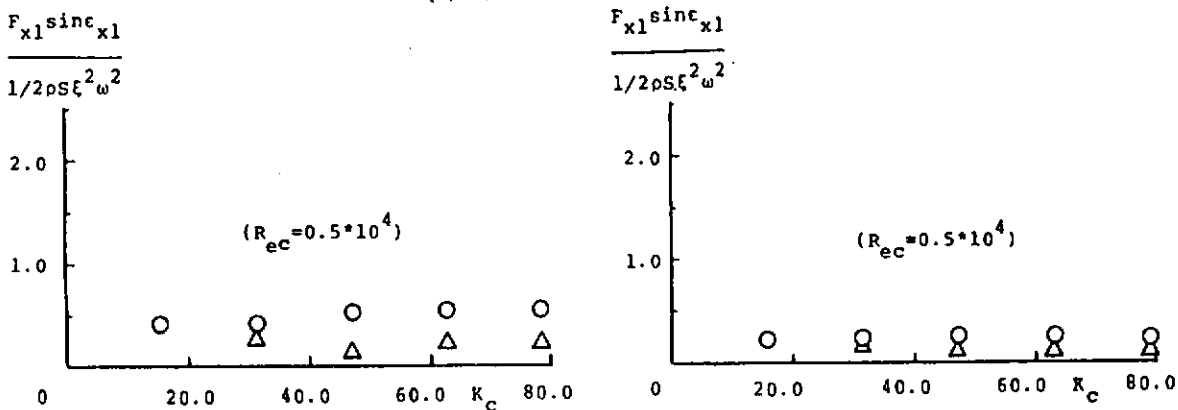
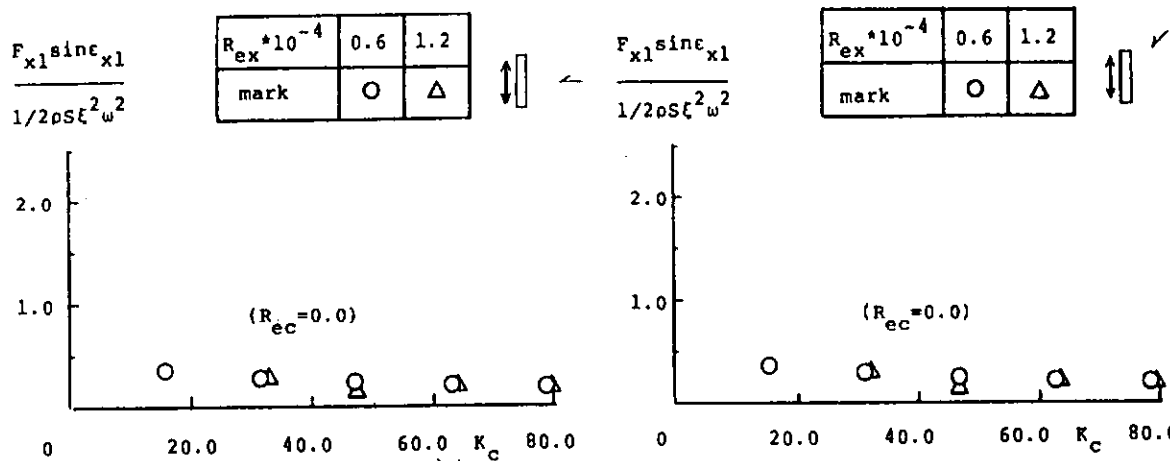


図 3.1.2.51 x 方向の変動抗力の基本周波数成分
(チエーン)

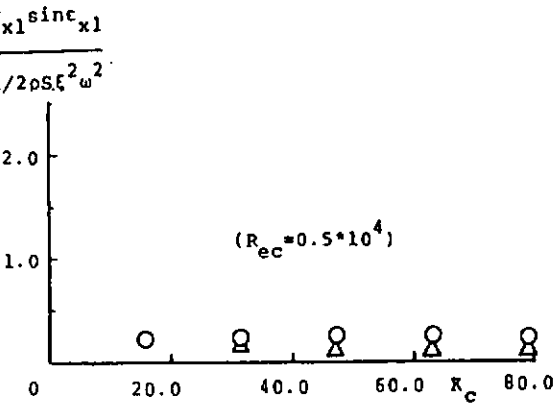


図 3.1.2.52 x 方向の変動抗力の基本周波数成分
(チエーン)

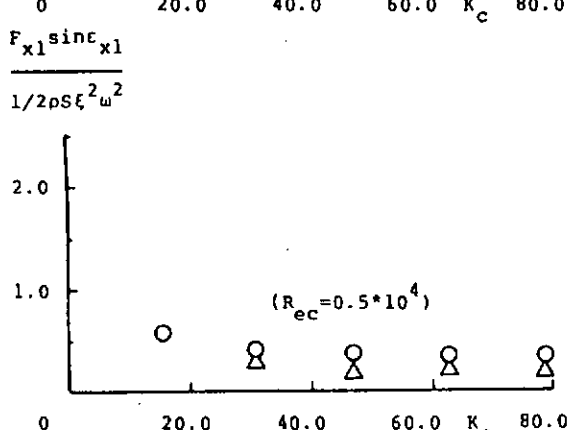
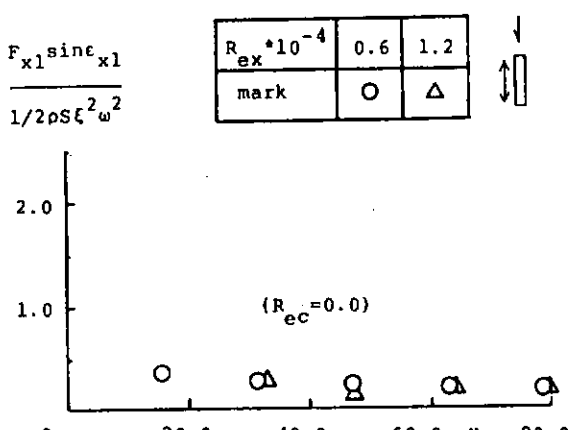


図 3.1.2.53 x 方向の変動抗力の基本周波数成分
(チエーン)

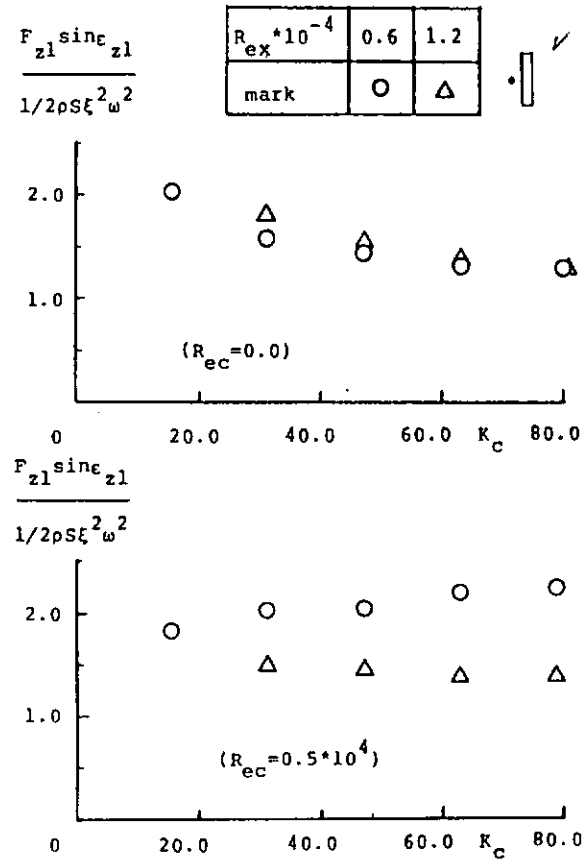
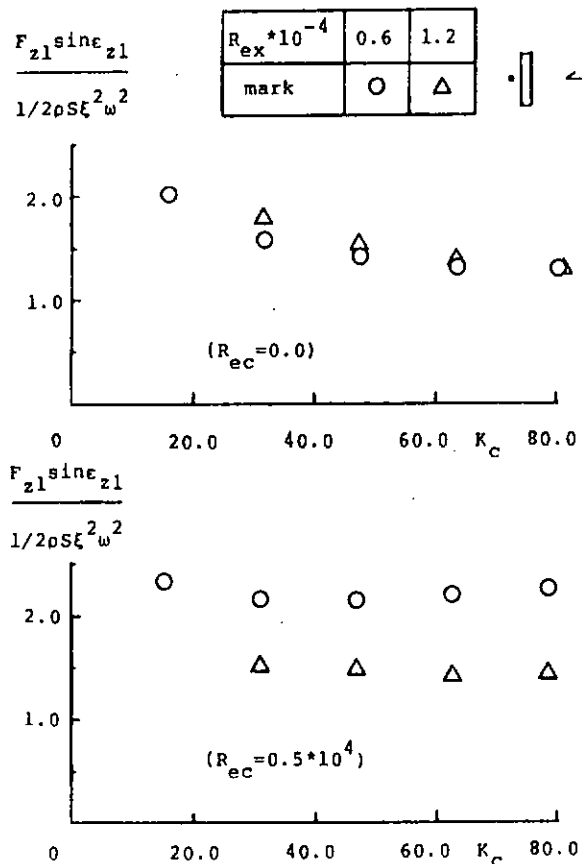


図 3.1.2.54 z 方向の変動抗力の基本周波数成分
(チェーン)

図 3.1.2.55 z 方向の変動抗力の基本周波数成分
(チェーン)

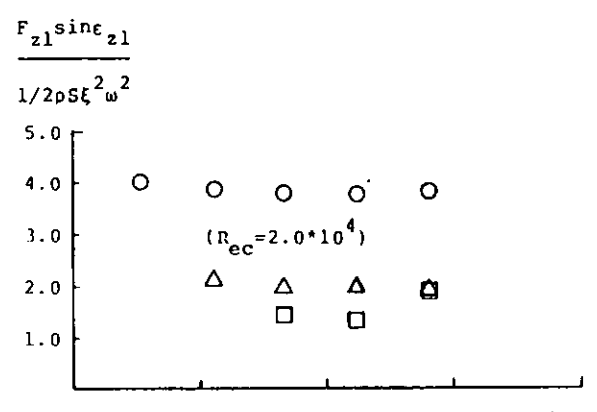
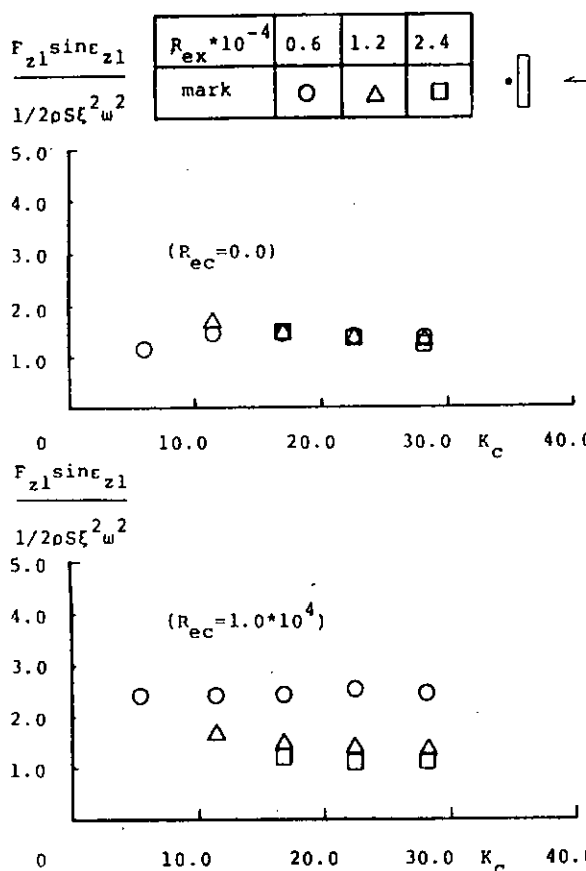


図 3.1.2.56 z 方向の変動抗力の基本周波数成分 (ストランド ロープ)

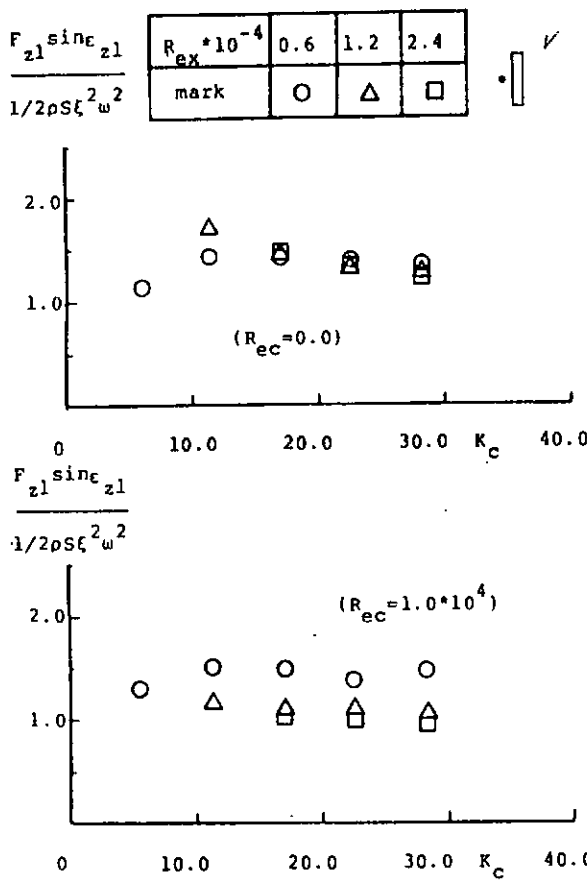


図 3.1.2.57 z 方向の変動抗力の基本周波数成分
(ストランド・ロープ)

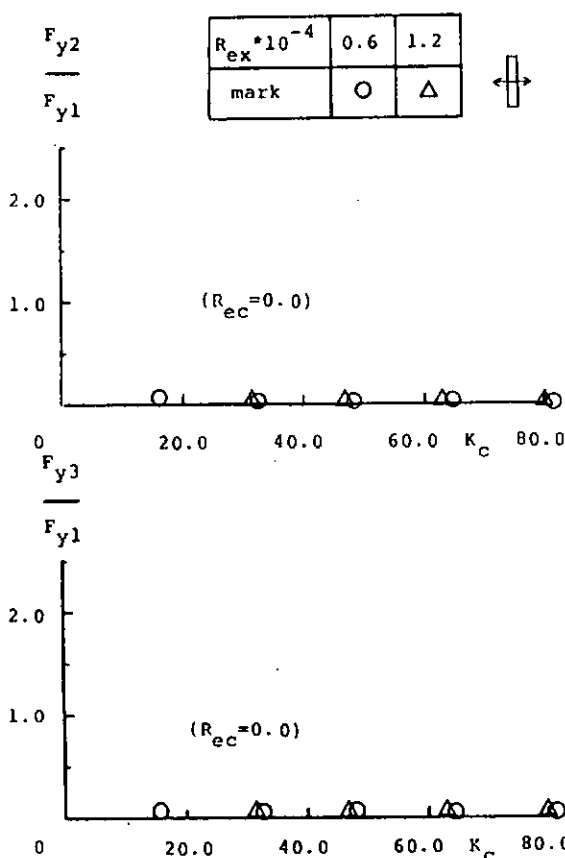


図 3.1.2.58 y 方向の流体力の高周波成分(チューイン)

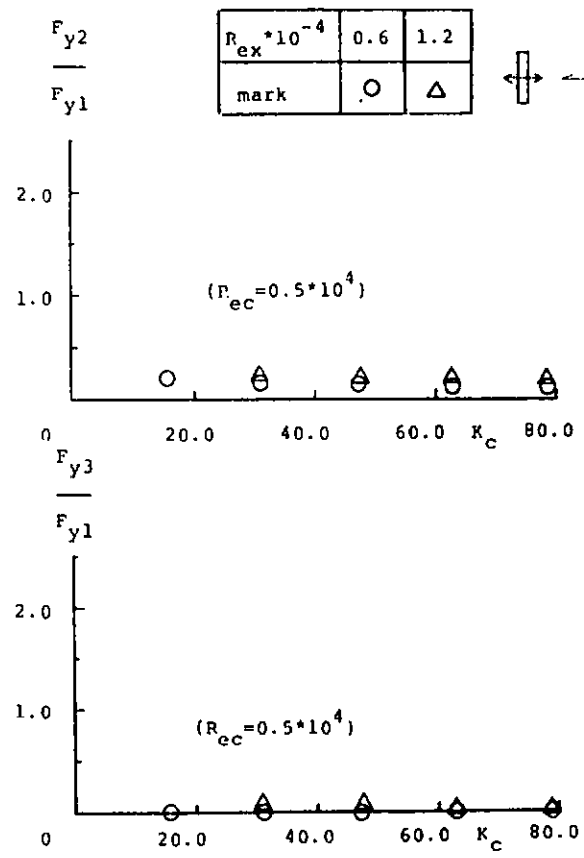


図 3.1.2.59 y 方向の流体力の高周波成分(チューイン)

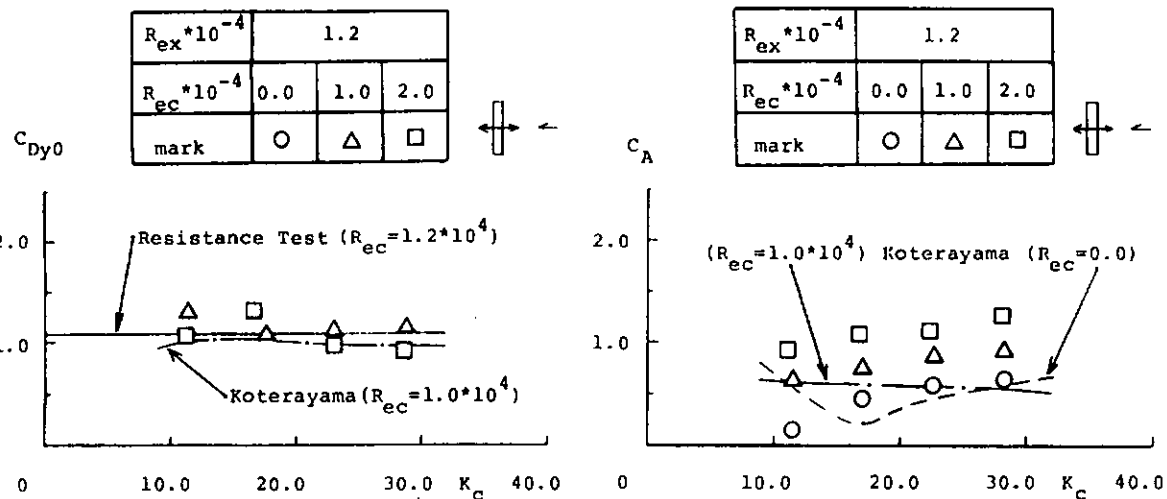


図 3.1.2.61 ストランド ロープの抗力係数
(z 方向の強制動搖試験)

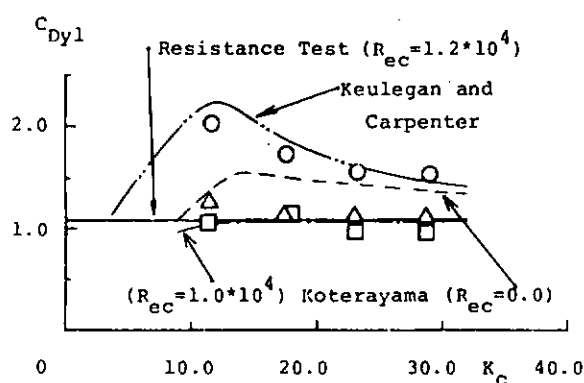


図 3.1.2.60 ストランド ロープの抗力係数
(y 方向の強制動搖試験)

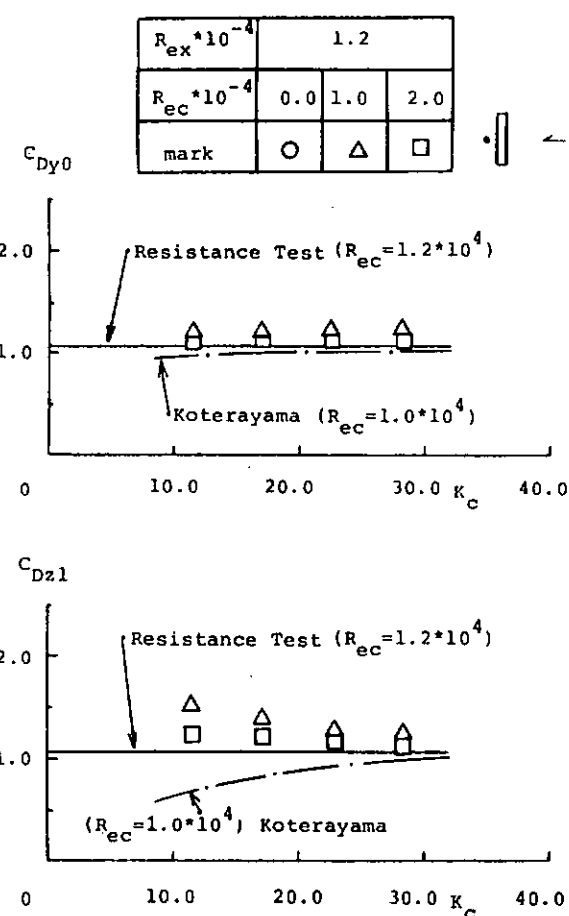


図 3.1.2.62 ストランド ロープの付加質量係数
(z 方向の強制動搖試験)

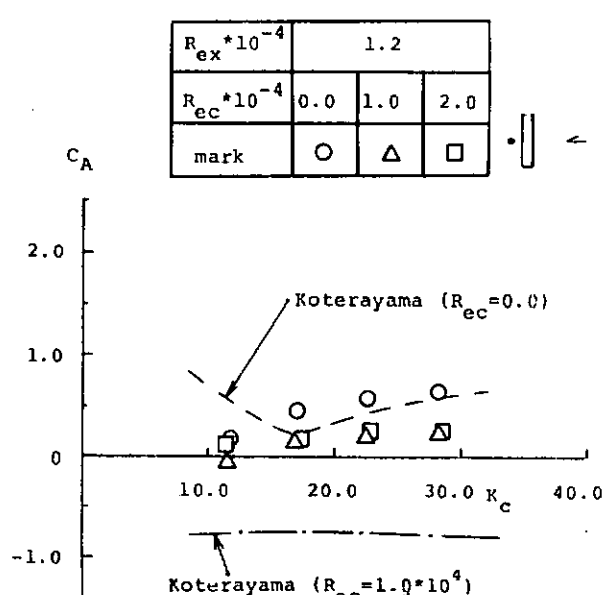


図 3.1.2.63 ストランド ロープの付加質量係数
(y 方向の強制動搖試験)

3.1.3 係留ラインに働く張力の3次元推定法

(1) 静的特性

(a) 目的及び概要

2次元の任意係留ラインの静的特性に関する研究¹⁾の応用として、これを3次元に拡張すると共に深海係留に供する事を目的として任意の方向と強さを有する潮流荷重の影響を計算で求められるようになる。それによって、潮流の強さ、及びその分布、角度、ライン要目、scope等のパラメータが係留特性に与える影響について調査する。

(b) 理論計算

カテナリー解はその解法上、係留ラインの伸びやそれに作用する流体力を無視するために、深海係留などには適当でない。ここでは係留ラインの微小部分についての平衡方程式を、係留ライン端部で仮定した初期条件の下に積分し、他端での境界条件が一致するように初期条件を変えて収束計算を行ういわゆる伝達マトリックス法によって計算を行うこととする。

(I) 理論式

図3.1.3.1に示すように鉛直方向にY軸を、水平方向にXおよびZ両軸をとり、係留ラインの微小部分に働く力のつりあいを考える。微小部分の下端に作用する張力をT、下端部において微小部分を含む鉛直面とX軸のなす角をθ、微小部分を含む鉛直面上で微小部分とXZ平面とのなす角をφとすると、上端部におけるそれらの値は、 $T + \alpha T$, $\theta + d\theta$, $\phi + d\phi$ であり、微小部分の長さ(ds)は張力(T)の作用で($ds + T ds/AE$)に伸びる。(ナイロン等の繊維索では張力の大きさにより伸び率が一様でないので破断荷重に対する張力の割合と伸び率の関係式からその点における伸び率を決定し計算を行う。²⁾) 係留ラインに張力が働かない状態での単位長さ当たりの重量をwとし、微小部分に働く潮流による流体力をF(dsに平行の方向), H(dsとdsを含む鉛直面に垂直の方向), G(dsを含む鉛直面内でdsに垂直の方向)とすると、図3.1.3.1からF, H, Gの各々の方向に働く力の平衡条件から次の各式が導かれる。

$$dT = (w \sin \phi - F(1 + T/AE)) ds \quad (3.1.3.1)$$

$$d\phi = \frac{1}{T} (w \cos \phi - G(1 + T/AE)) ds \quad (3.1.3.2)$$

$$d\theta = -\frac{H}{T \cos \phi} (1 + T/AE) ds \quad (3.1.3.3)$$

$$dX = (1 + T/AE) \cos \phi \cos \theta ds \quad (3.1.3.4)$$

$$dY = (1 + T/AE) \sin \phi ds \quad (3.1.3.5)$$

$$dZ = (1 + T/AE) \cos \phi \sin \theta ds \quad (3.1.3.6)$$

$1/AE$ ：係留ラインの伸び率

ここで(3.1.3.1)～(3.1.3.6)の各式をライン(S)に沿って積分すればそれからT, θ, φ, X, Y, Zが求められる。

(II) 数値計算

前節で求められた微分方程式を差分方程式で近似すれば、

$$\Delta T_i = \left\{ w_i \sin \phi_{i-1} - F_i (1 + T_{i-1}/AE_i) \right\} \Delta S_i \quad (3.1.3.7)$$

$$\Delta \phi_i = \frac{1}{T_{i-1}} \left[w_i \cos \phi_{i-1} - G_i (1 + T_{i-1}/AE_i) \right] \Delta S_i \quad (3.1.3.8)$$

$$\Delta \theta_i = \frac{-H_i}{T_{i-1} \cos \phi_{i-1}} (1 + T_{i-1}/AE_i) \Delta S_i \quad (3.1.3.9)$$

$$\Delta X_i = (1 + T_{i-1}/AE_i) \cos \phi_{i-1} \cos \theta_{i-1} \Delta S_i \quad (3.1.3.10)$$

$$\Delta Y_i = (1 + T_{i-1}/AE_i) \sin \phi_{i-1} \Delta S_i \quad (3.1.3.11)$$

$$\Delta Z_i = (1 + T_{i-1}/AE_i) \cos \phi_{i-1} \sin \theta_{i-1} \Delta S_i \quad (3.1.3.12)$$

と書ける。係留ラインをN個のセグメントに分割し、端部（アンカーポイント）における境界条件を T_0 、 ϕ_0 、 θ_0 、 X_0 、 Y_0 、 Z_0 とすればn番目のセグメントにおける各々の値は

$$T_n = T_0 + \sum_{i=1}^n \Delta T_i \quad (3.1.3.13)$$

$$\phi_n = \phi_0 + \sum_{i=1}^n \Delta \phi_i \quad (3.1.3.14)$$

$$\theta_n = \theta_0 + \sum_{i=1}^n \Delta \theta_i \quad (3.1.3.15)$$

$$X_n = X_0 + \sum_{i=1}^n X_i \quad (3.1.3.16)$$

$$Y_n = Y_0 + \sum_{i=1}^n Y_i \quad (3.1.3.17)$$

$$Z_n = Z_0 + \sum_{i=1}^n Z_i \quad (3.1.3.18)$$

により求められる。 $(3.1.3.13) \sim (3.1.3.18)$ 式から明らかなように端部の境界条件を定めれば係留ライン上のすべての点における値が順次求まることになる。

(iii) 境界条件

数値計算は係留ラインの端部から出発し、他端部（浮体側係留点）まで順次同一計算を繰り返すことになる。境界条件として以下を考慮した。

(1) 係留ライン端部の条件

アンカーポイントをラインセグメント番号の始点とし、ここをラインの座標原点($X_0 = 0$, $Y_0 = 0$, $Z_0 = 0$)とする。

① 1点係留の場合

1点係留の場合には、水平面内での拘束は存在しないのでアンカーポイントにおいて水平方向の角度を仮定し、浮体側係留点高さ($= Y_F$)に終点(N番目)のラインセグメント番号のYの値($= Y_N$)が一致するよう初期条件を決める。

② 多点係留の場合

多点係留の場合には、水平面内での拘束があるために浮体側係留点高さ($= Y_F$)と浮体のZ軸方向の拘束位変($= Z_F$)に対して終点のラインセグメント番号における値が同時に満足するよう初期条件を決める。結果として、浮体側係留点の位置(X_F , Y_F , Z_F)とライン張力等の関係が得られる。

(d) 海底の条件

ラインは海底以下にはならず、海底上にある時には、 $w_i = 0$ とし $\Delta \phi_i = 0$, $\Delta Y_i = 0$ となり、ラインは海底上を這うことになる。又海底上にあるラインは潮流による流体力は受けないと仮定

する。

(i) 海面の条件

浮体側の保留点が水面より上にある場合には、そこを係留点高さとする。水面上に出たラインは流体力は受けないものとする。

(ii) 流体力の算定

(3.1.3.1)～(3.1.3.3)式中のF, H, Gはラインに働く流体力を表わしている。次にこれらの値の算定法を述べる。ある水深における潮流の水平方向の角度を θ 、鉛直方向の角度を Ψ 、流速をVとすると、流速のX, Y, Z軸方向成分は

$$V_x = V \cos \Psi \sin \theta \quad (3.1.3.19)$$

$$V_y = V \sin \Psi \quad (3.1.3.20)$$

$$V_z = V \cos \Psi \sin \theta \quad (3.1.3.21)$$

で与えられる。V_x, V_y, V_zを用いてF, H, G方向への速度成分(U_F, U_H, U_G)を表わすと次式の如くなる。

$$U_F = V_x \cos \phi \cos \theta + V_y \sin \phi + V_z \cos \phi \sin \theta \quad (3.1.3.22)$$

$$U_H = -V_x \sin \theta + V_z \cos \theta \quad (3.1.3.23)$$

$$U_G = -V_x \sin \phi \cos \theta + V_y \cos \phi - V_z \sin \phi \sin \theta \quad (3.1.3.24)$$

図3.1.3.2はライン断面とH, Gを含むdsに垂直な面内での速度成分である。この面内での合速度U及び合力Nは次式で得られる。

$$U = (U_H^2 + U_G^2)^{\frac{1}{2}} \quad (3.1.3.25)$$

$$N = (H^2 + G^2)^{\frac{1}{2}} \quad (3.1.3.26)$$

図3.1.3.3はライン微小部分dsと速度ベクトルを含む面である。速度成分U_FとU及び力の成分NとFを示してある。NはU方向でHとGの合力の方向に働く。流体力NとFの推定法については種々の方法がある。⁵⁾ここでは本報告書の3.1.2の実験結果に基いてstrand rope, spiral rope chainに働く流体力の算定式として以下のものを採用した。

$$\text{strand rope} \quad N = R \cdot 0.92 \sin^2 \Psi \quad (3.1.3.27-A)$$

$$F = R \cdot 0.03 \cos \Psi \quad (3.1.3.27-B)$$

$$\text{spiral rope} \quad N = R \cdot 1.02 \sin^2 \Psi \quad (3.1.3.28-A)$$

$$F = R \cdot 0.015 \cos \Psi \quad (3.1.3.28-B)$$

$$\text{chain} \quad N = R (0.5 \sin^2 \Psi + 0.65 \sin \Psi) \quad (3.1.3.29-A)$$

$$F = R \cdot 0.16 \sin (\frac{5}{3}\Psi + \frac{\pi}{6}) \quad (3.1.3.29-B)$$

但し、

$$R = \frac{1}{4} \rho D \cdot V^2 \quad (3.1.3.30)$$

ρ : 流体密度

D : ライン直径 V : 流速

(チェーンの場合にはDのかわりに単位長さ当たりの面積の値を使用する。⁶⁾)

図3.1.3.3から

$$\sin \Psi = U / V \quad (3.1.3.31)$$

$$\cos \Psi = U_F / V \quad (3.1.3.32)$$

H, Gは図3.1.3.2から次式で得られる。

$$H = N U_M / U \quad (3.1.3.3)$$

$$G = N U_G / U \quad (3.1.3.4)$$

以上の関係式により任意の深さにおけるラインに働く流体力が計算できる。ナイロン等の繊維索には形状が rope と同一の場合と (3.1.3.2) 式を使用して計算を行う。

(V) 係留特性計算

ここでは、係留特性を代表して張られた係留ラインの X 軸方向水平距離、Z 軸方向水平距離及び係留ライン張力の 3 者の関係を求める。

① 1 点係留の場合

浮体側保留点高さ ($= Y_F$) をあらかじめ与え、ラインが海底からくり出す平面内角度を一定とした上で水平面内でのライン端部(アンカーポイント)における X 方向の張力成分 ($= T_{X_0}$) を与え、これに対して浮体側保留点における X, Z 座標、ラインの水平及び鉛直方向の角度、さらにライン張力を計算しテーブルとしてプリントアウトさせる。

② 多点係留の場合

1 点係留の場合の $Y_F = \text{const}$ の条件の他に $Z_F = \text{const}$ の条件をつけ加える。水平面内でのライン端部で X 方向の張力成分の値を与えるのは 1 点係留の場合と同様であるが、ラインが海底からくり出す平面内角度を一定とせずに変化させて $Z_F = \text{const}$ の条件を満たすようにする。ラインが taut の場合には、アンカーポイントにおいてラインの水平方向、鉛直方向の角度を一定に仮定できるが slack の場合には、ラインが海底をどのように這っていたかはそれまでの履歴により、一義的に決定できないので、係留特性に変化が生じる可能性がある。ここではラインはアンカーポイントから浮体側へまっすぐに敷設されたものと仮定して計算を行う。多点係留の場合には $Z_F = \text{const}$ なので浮体側保留点における X 座標、ラインの水平及び鉛直方向角度、ライン張力を計算し、テーブルとして表わす。

(VI) 数値計算プログラム

係留ラインの 3 次元静的特性計算プログラムの流れを図3.1.3.4に示す。

(c) 計算結果

以上に述べた方法により行った計算のアウトプット例を表3.1.3.1に示す。これらのアウトプット結果を用いて係留における種々のパラメーターの影響を調べる。

(i) 潮流

潮流は局地性が非常に強いので、構造物の設置点における実測のものを用いるべきである。又潮流の鉛直方向分布は海底地形、海底摩擦、水温、塩分等によって変化し、表層と成層では流向が逆向きになることもあるので実測調査が望ましい。各船級協会規則^{7)~12)}による潮流の扱い方を見ると、潮流形について算式が与えられているのは D. N. V. と G. L. であり、他の規則においては潮流は波に加算するという副次的な扱いしか受けていない。

(ii) 潮流の分布形状

分布形状が規則に算式として記載されているのは、D. N. V. と G. L. であり、それらの分布形状の算式は以下の如く与えられている。

$$D. N. V. \quad U_z = (U_h)_1 \cdot (z/d)^{\frac{1}{9}} + (U_h)_2 \cdot (z/d) \quad (3.1.3.5)$$

U_Z : Z における流速 Z : 海底からの距離

$(U_h)_1$: 潮流 $(U_n)_2$: 吹送流

d : 水深

$$G.L. \quad \text{tidal current} \quad U(Z) = (Z/d)^{0.1} \bar{U} \quad (3.1.3.3.6-A)$$

\bar{U} : 海面での平均潮流速 d : 水深 Z : 海底からの距離

surface current $\bar{U}_S = 0.1\sqrt{T}$

$$\bar{U}_S(Z) = \exp(-8\bar{Z}/T^2) \bar{U}_S \quad (3.1.3.3.6-B)$$

T : 波周期 \bar{Z} : 静水面からの距離

G.L. の分布形状は (3.1.3.3.6-A) 式と (3.1.3.3.7-B) 式の和として考える。両者の比較は (3.1.3.3.5) 式の 1 項と (3.1.3.3.6-A) 式、2 項と (3.1.3.3.6-B) 式を一致させて考える。さらに文献 13) にも潮流の式として、次式

$$U = 2.52 U_S \bar{Z}^{-0.4} \quad (3.1.3.3.7)$$

U_S : 海面での平均潮流速

\bar{Z} : 静水面からの距離 ($\bar{Z} \geq 10m$)

($0 < \bar{Z} < 10m$ では $U = U_S (-\text{const})$ と考える。)

が示されているので、これもあわせて比較する。3 者について海面における流速の値を一定 (= 5 knot) として形状を示すと図 3.1.3.5 のようになる。(図に使用した入力データーを表 3.1.3.2 に示す。) このように異なる形状の潮流が係留ラインに作用した場合の係留特性の相違を 3 種類のラインについて計算した。水深を 1000m として統一し、索鎖の要目として以下のものを選び、

8.3 mm φ wire rope 4500m

7.6 mm φ chain 2000m

7.6 mm φ chain 1000m - 8.3 mm φ wire rope 1500m

それらの係留特性を示したものが図 3.1.3.6 ~ 3.1.3.8 である。これらの図より G.L. と D.N.V. においては分布形状による特性の差はほとんど見られないが、(3.1.3.3.7) 式の分布形状の特性とは差が見られる。以下の計算においては潮流の形状を D.N.V. に統一して他のパラメーターについて考察を行う。

(d) 潮流の強さ

潮流の強さの影響を見るため、ラインの張力、水平変位、潮流による流体力を無次元化した値を用いて種々の材質のラインに対して図表を作成した。無次元化の方法は

$$T/B.S. \quad (3.1.3.3.8)$$

T : 張力 $B.S.$: 破断荷重

$$X/\sqrt{L^2 - Y^2} \quad (3.1.3.3.9)$$

X : 水平変位 L : ラインの全長

Y : 浮体側係留点高さ

$$\frac{1}{2} \rho U^2 C_D D d / B.S. \quad (3.1.3.4.0)$$

ρ : 流体密度 U : 海面における流速

C_D : 抗力係数 D : ラインの直径

d : 水深 B . S . : 破断荷重

であり計算は表3.1.3.3に示した条件に対して行い、その結果を図3.1.3.9～図3.1.3.24に示す。これらの図は潮流の強さをパラメーターとして、種々の係留ラインに対して scope を変化させて示したものである。計算に使用した索の要目及び流体力の無次元値に相当する海面における流速を表3.1.3.4及び表3.1.3.5に示す。水深はすべて1000mとして統一し、複合索鎖の構成比は図に記号で示した左にあるものがアンカー点側で、索長比1:2として計算を行った。なお、より大水深への適用を考慮し、表3.1.3.5に示すように、水深1000mとしてはやや過大な潮流速度についても検討した。図に使用した係留ラインの記号は下記の通りである。

W. (S T.) wire rope (strand)
W. (S P.) wire rope (spiral)
C H. (2) chain (2種)
C H. (3) chain (3種)
N Y. nylon rope

(i) 潮流の流入角

係留ラインに対して潮流が一定方向から流入するとは限らないので、潮流のラインに対する流入角をパラメーターに取ってその角度の影響を調べる図表を作成した。無次元化の方法は、変位については先ほどと同様で、ライン張力及び潮流の流体力については、

$$T / wL \quad (3.1.3.41)$$

T : 張力 w : ラインの単位長さ当たり重量

L : ラインの全長

$$\frac{1}{2} \rho U^2 C_D D / w \quad (3.1.3.42)$$

ρ : 流体密度 U : 海面における流速

C_D : 抗力係数 D : ラインの直径

w : ラインの単位長さ当たり重量

である。計算条件を表3.1.3.6に、結果を図3.1.3.25～図3.1.3.39に示す。計算に使用した索の要目及び水深は(i)の計算と同一である。流体力の無次元値に相当する海面における流速を表3.1.3.7に示す。

(ii) 索の種類

前項において行った計算から索の種類の影響を見るために、scope 及び潮流による流体力の無次元値を統一して図表を作成した。それらの結果を図3.1.3.40～図3.1.3.49に示す。又複合索鎖の場合に索の構成要素のうち索長比が変化した場合に、係留特性にどのような影響を及ぼすかを見るための図も作成した。その計算はchain (3種) - wire rope (strand) に対して行い、索要目は表3.1.3.4のものを使用し、scope = 3.0 で潮流の無次元値は 0.5 (表3.1.3.5参照)とした。結果を図3.1.3.50に示す。

参 考 文 献

- 1) 井上, 中川: 海底影響を考慮した係留ライン特性と係留設計図表, 日本造船学会論文集, Vol 151 (1982), p 147 ~ p 156
- 2) John. M Niedzweki : A Comparison of Non-Metallic Ropes with With Rope and Chain Mooring Line for Deep Water Application OTC-3207 (1978)
- 3) J. W. Bedardender : Three-Dimensional Boundary Value Problems for Flexible Cables OTC-1281 (1970)
- 4) P. Y. Chang, W. D. Pilky : The Analysis of Mooring Lines OTC-1502 (1971)
- 5) Casarella M. J., Parsons M : A Survey of Investigation and Motion of Cable Systems Under Hydrodynamic Loading MTS Journal (1970)
- 6) 宮崎 他: 一様な流れの中に置かれた錨鎖の形状と張力に関する研究 I, 日本航海学会論文集, Vol 61 (1979)
- 7) Rules for the construction and classification of mobile offshore units, Lloyd's Register of Shipping (1972)
- 8) Rules for Building and Classing Offshore Mobile Drilling Units, American Bureau of Shipping (1980)
- 9) Rules and Regulations for the Construction and Classification of Offshore Platform, Bureau Veritas (1975)
- 10) Rules for the Design Construction and Inspection of Offshore Structures, Det Norske Veritas (1977)
- 11) Rules for the Construction and Inspection of Offshore Installation, Germanischer Lloyd, (1976)
- 12) Rules for Mobile Offshore Units, Nippon Kaigi Kyokai (1978)
- 13) H. O. Berteaux, : Design of Deep-Sea Mooring Lines, MTS Journal (1970)

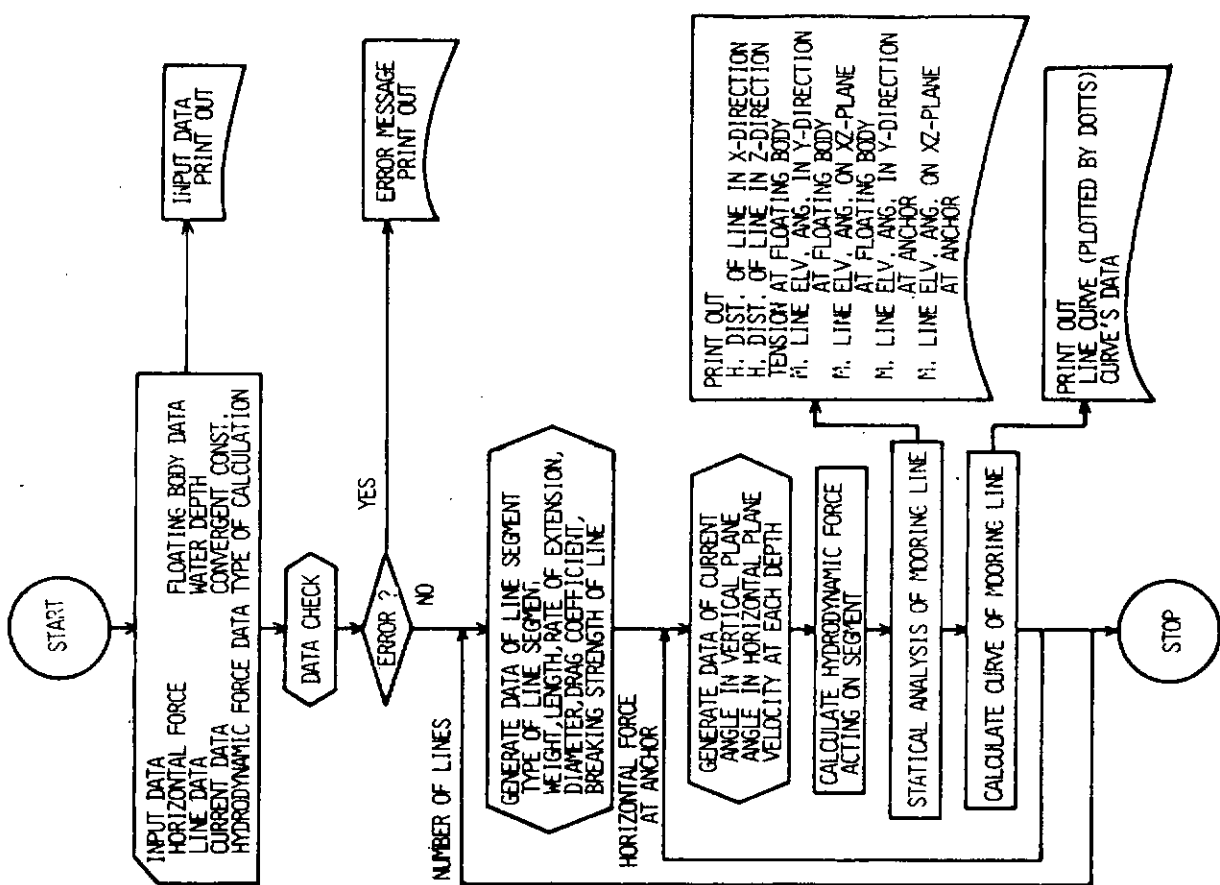


図 3.1.3.4

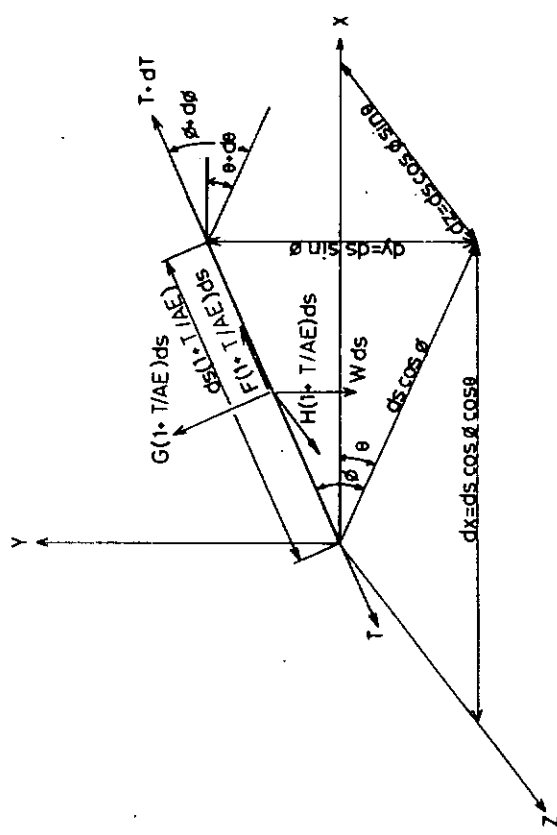


図 3.1.3.1

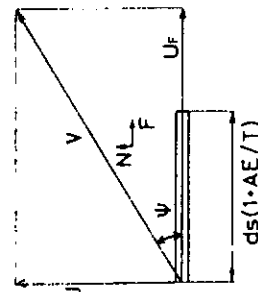


図 3.1.3.3

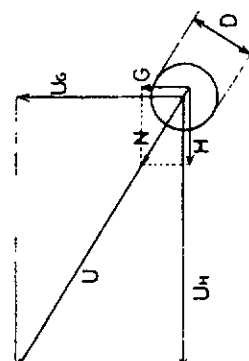


図 3.1.3.2

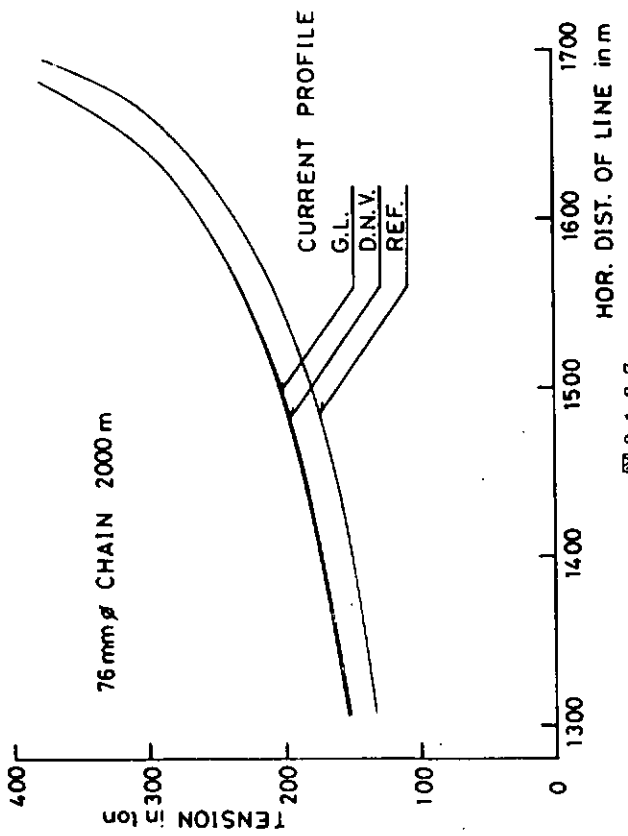


図 3.1.3.7

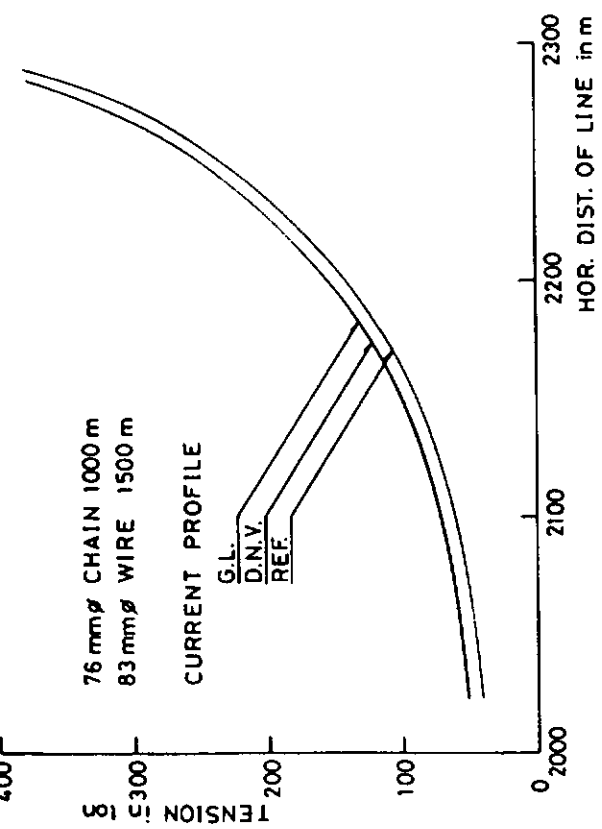


図 3.1.3.8

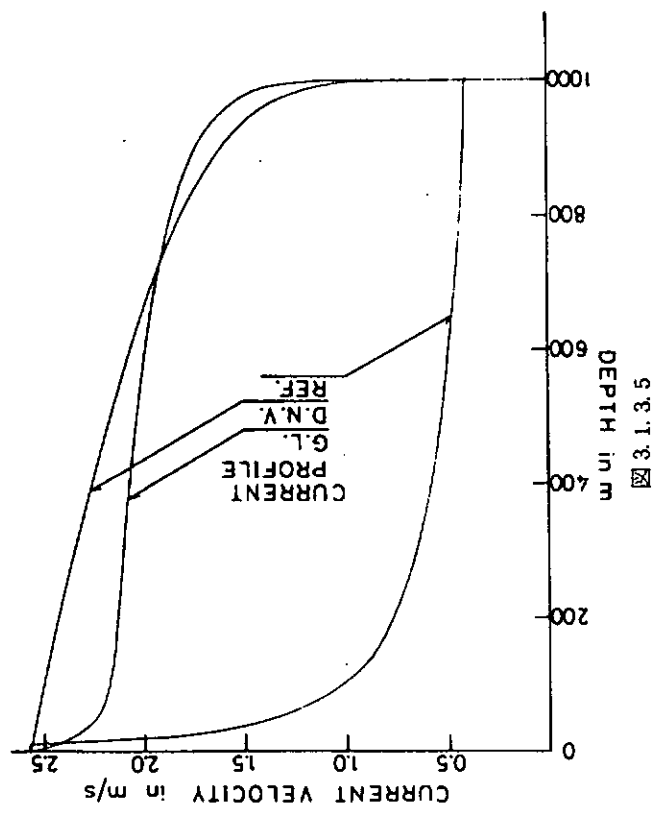


図 3.1.3.5

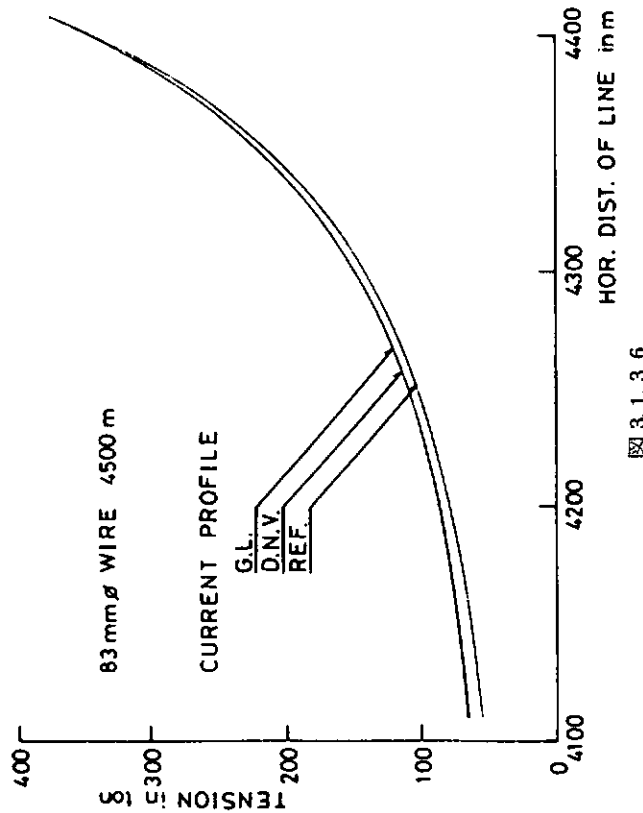


図 3.1.3.6

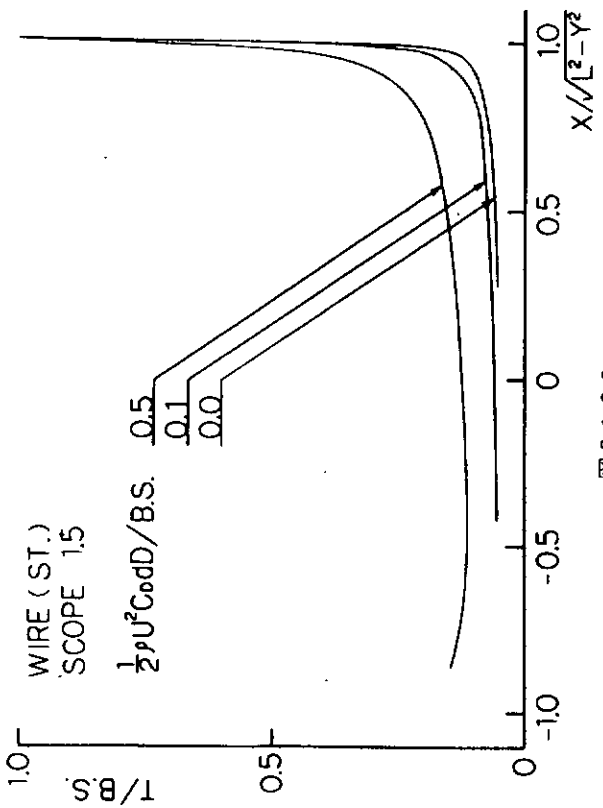


図 3.1.3.9

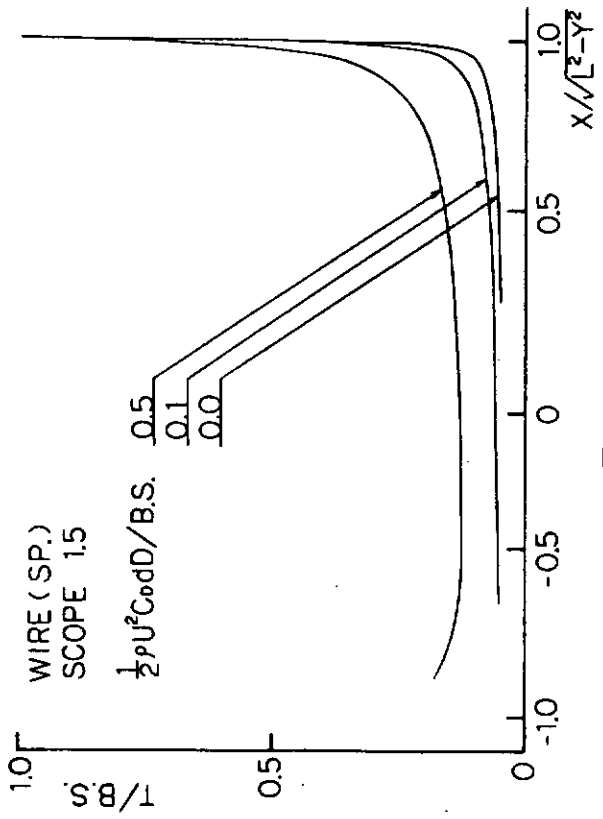


図 3.1.3.11

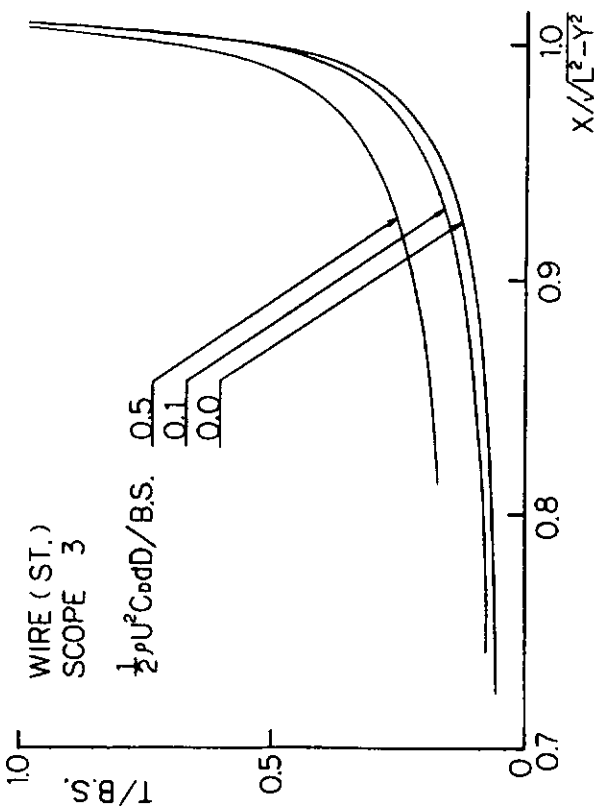


図 3.1.3.10

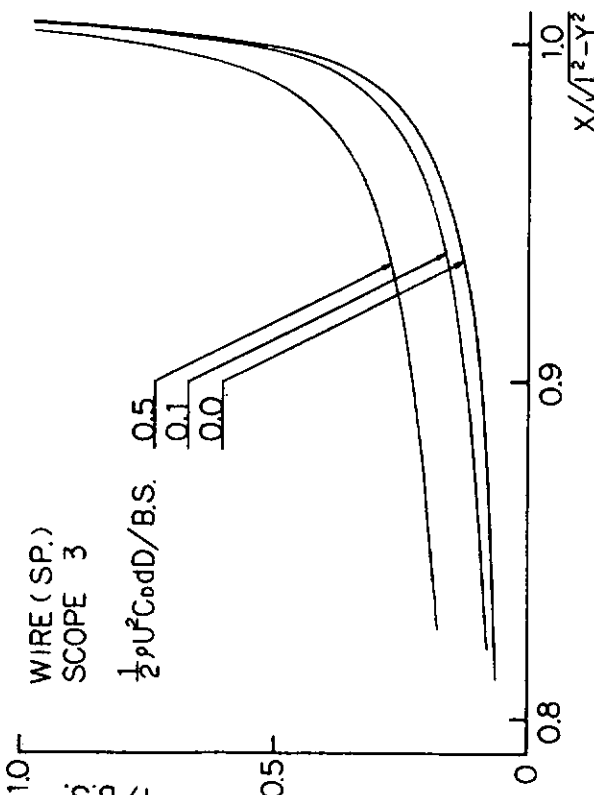


図 3.1.3.12

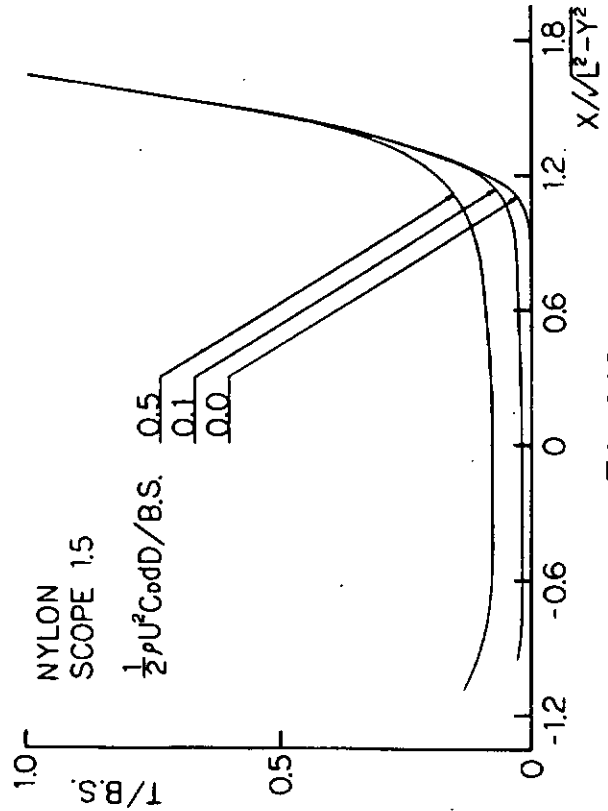


図 3.1.3.15

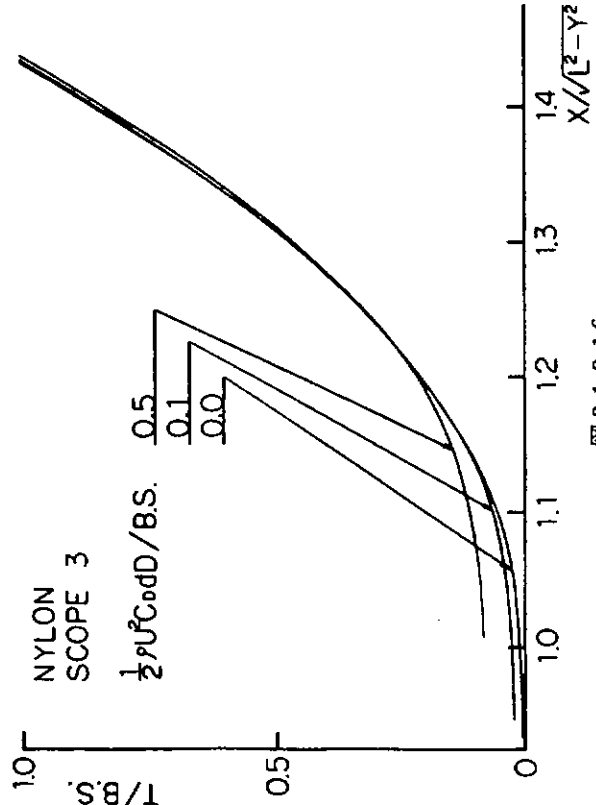


図 3.1.3.16

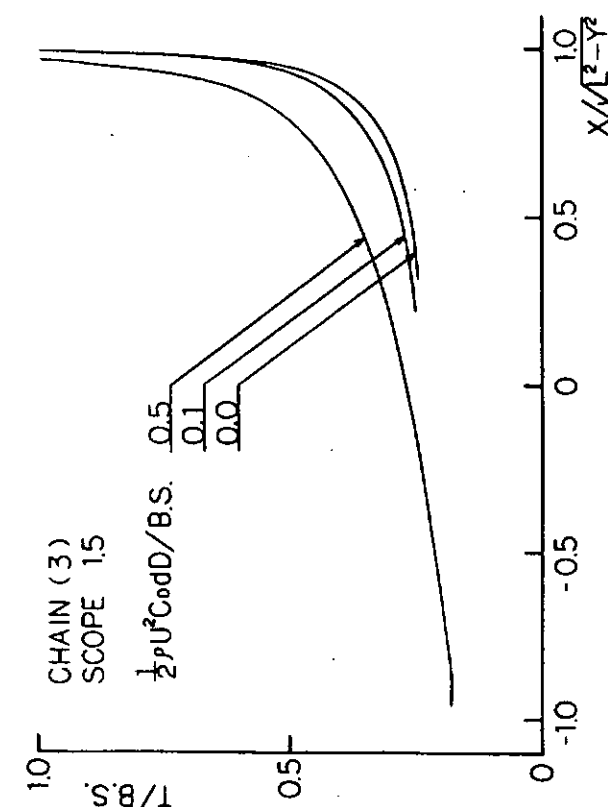


図 3.1.3.13

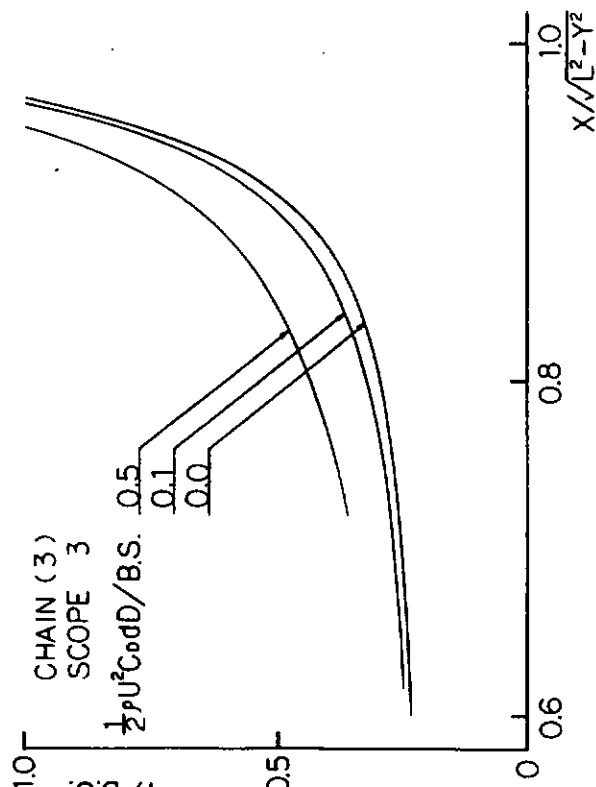


図 3.1.3.14

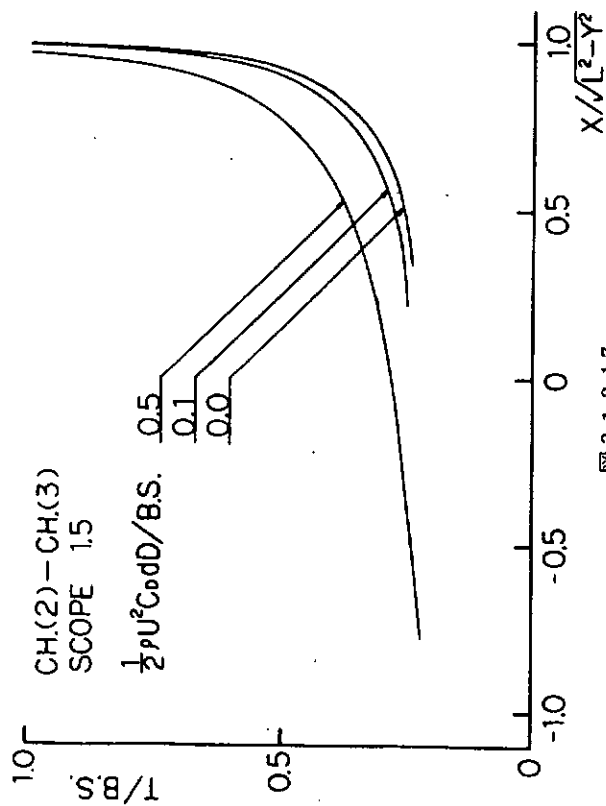


図 3.1.3.17

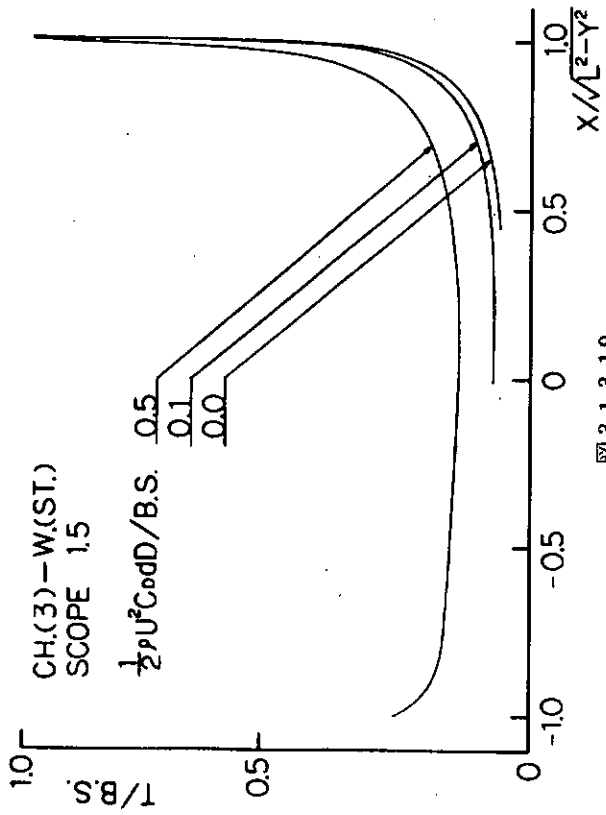


図 3.1.3.19

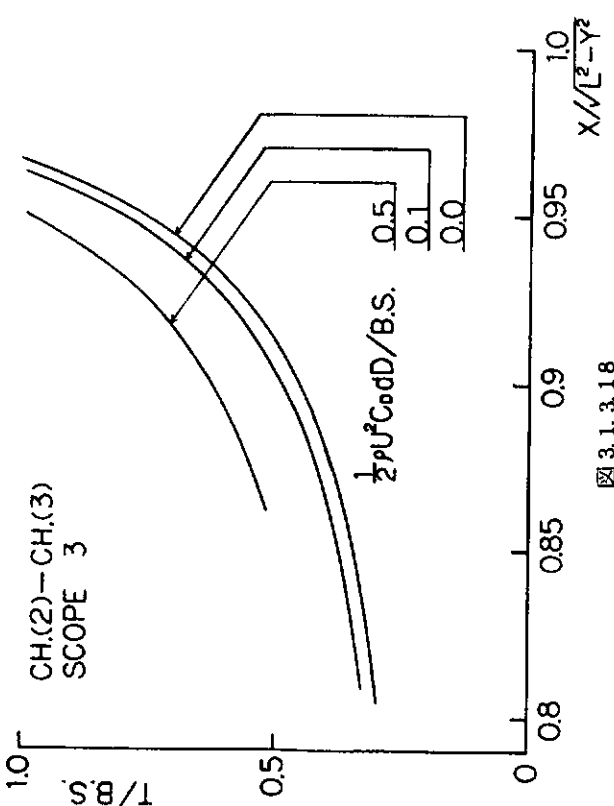


図 3.1.3.18

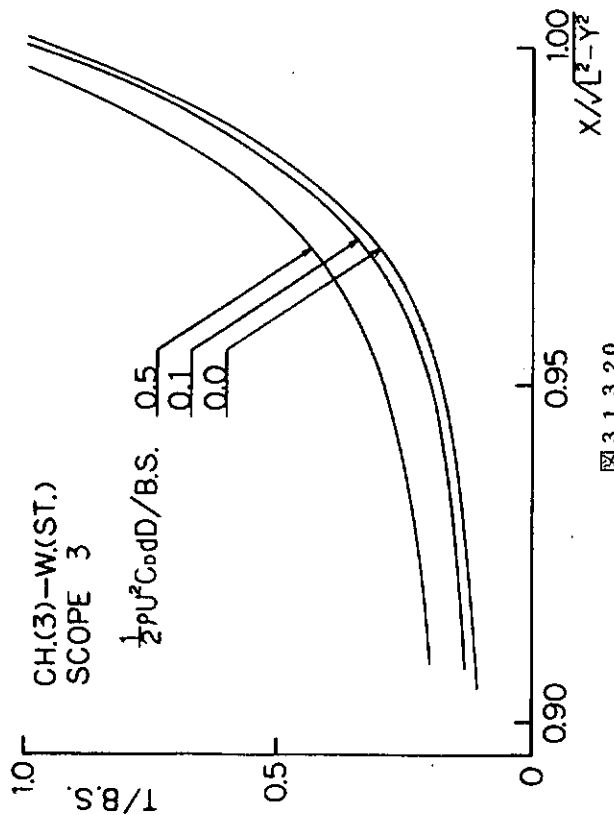


図 3.1.3.20

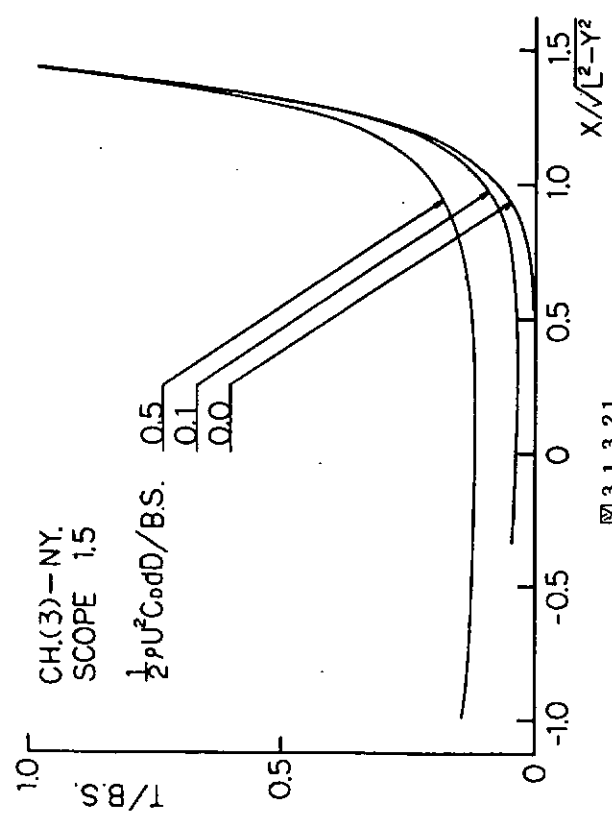


図 3.1.3.21

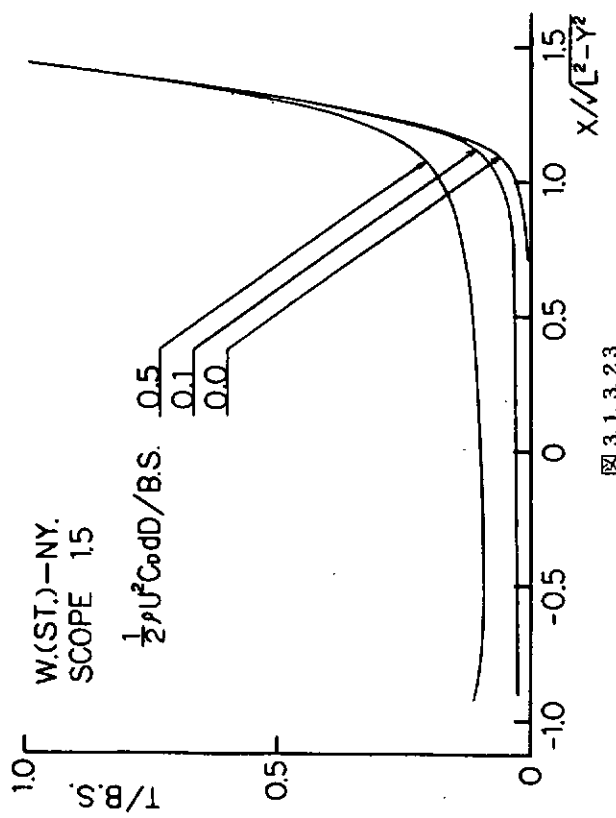


図 3.1.3.23

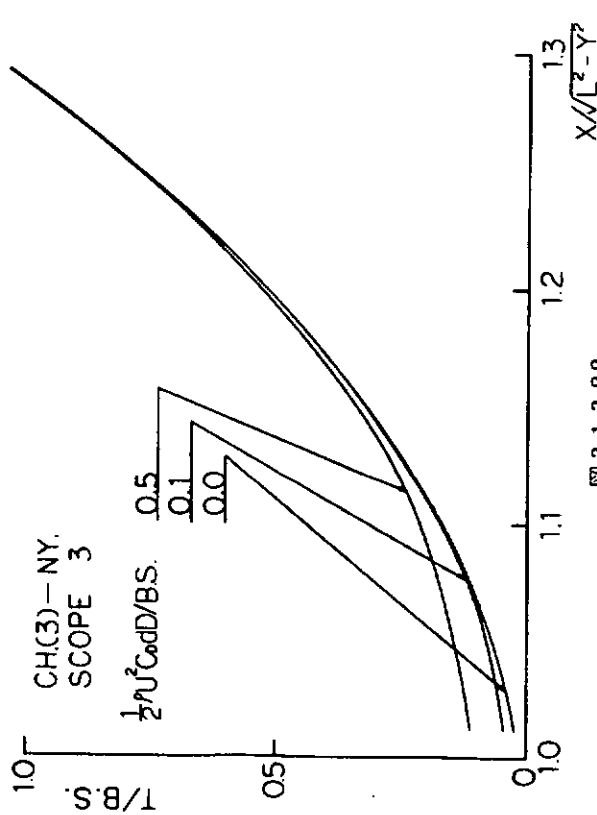


図 3.1.3.22

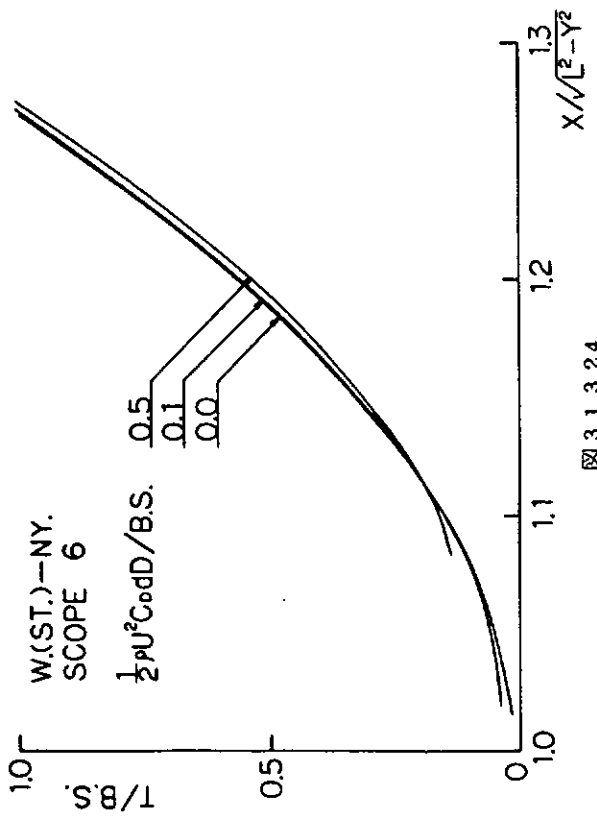


図 3.1.3.24

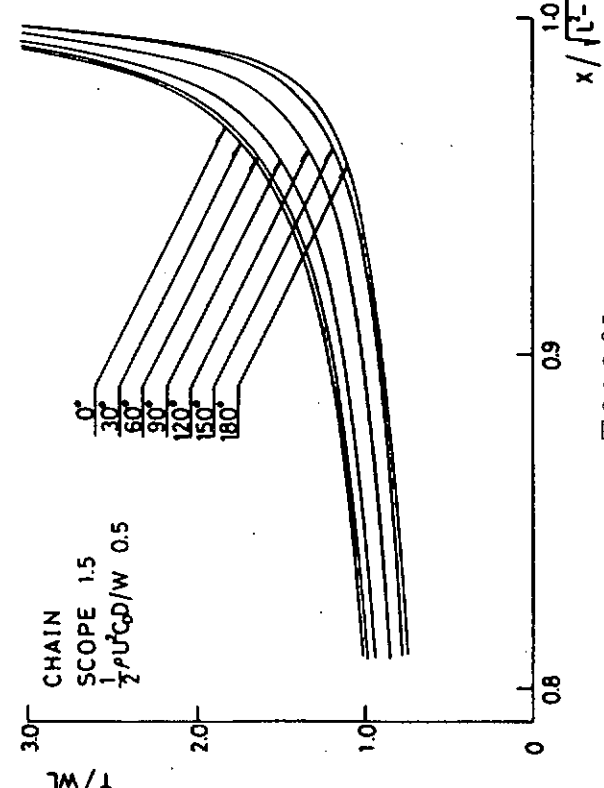


図 3.1.3.25

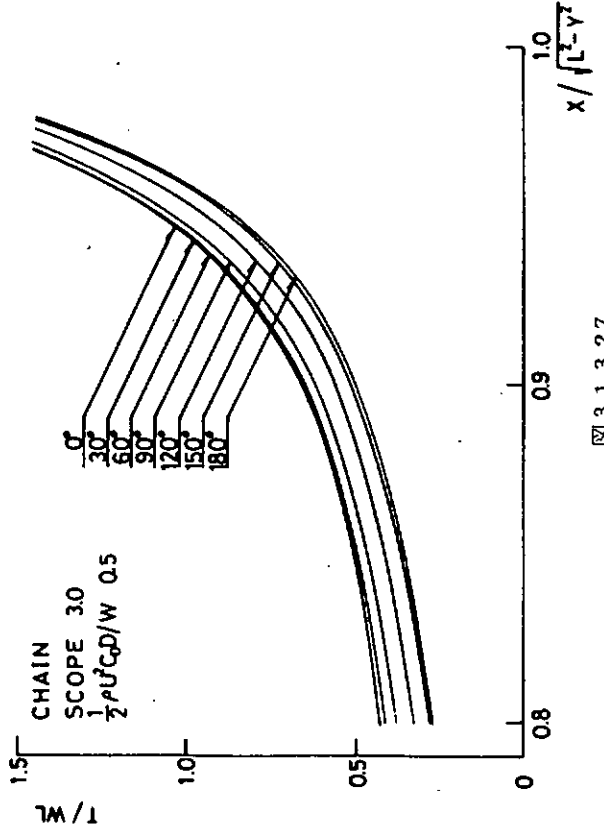


図 3.1.3.27

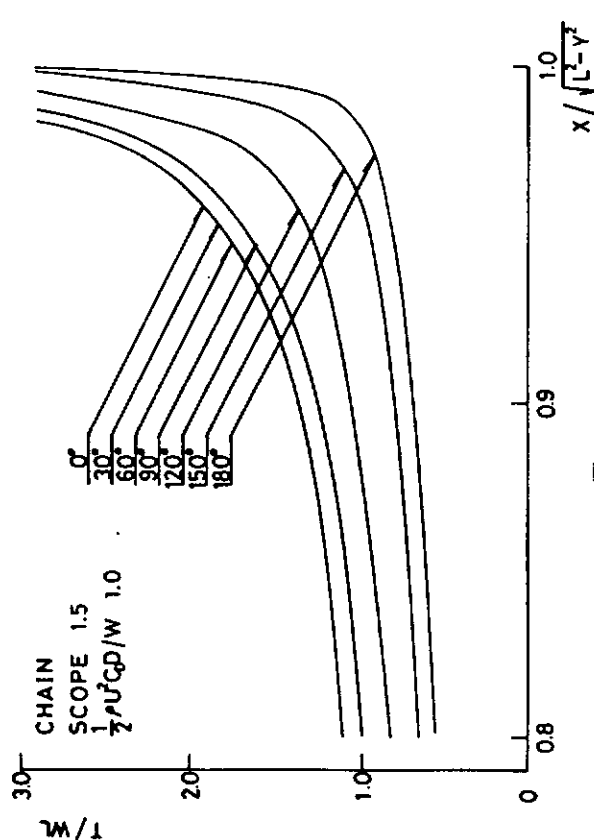


図 3.1.3.26

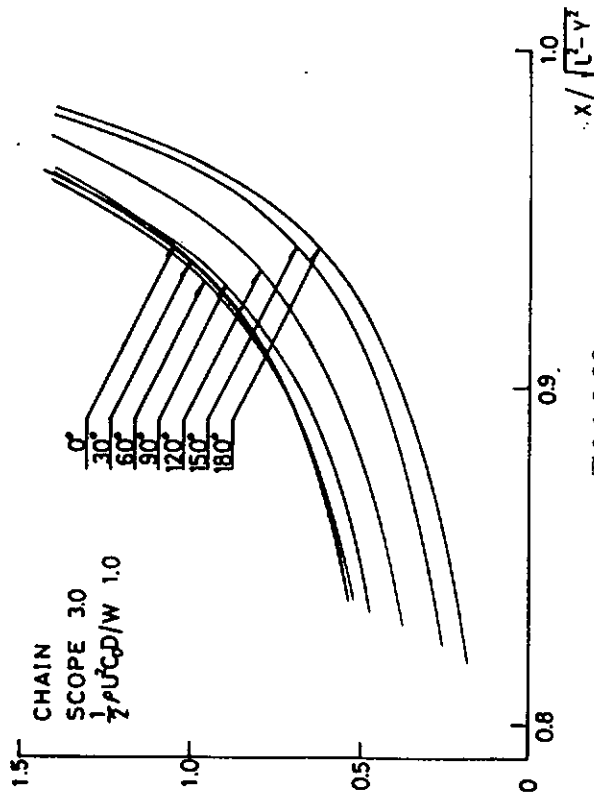


図 3.1.3.28

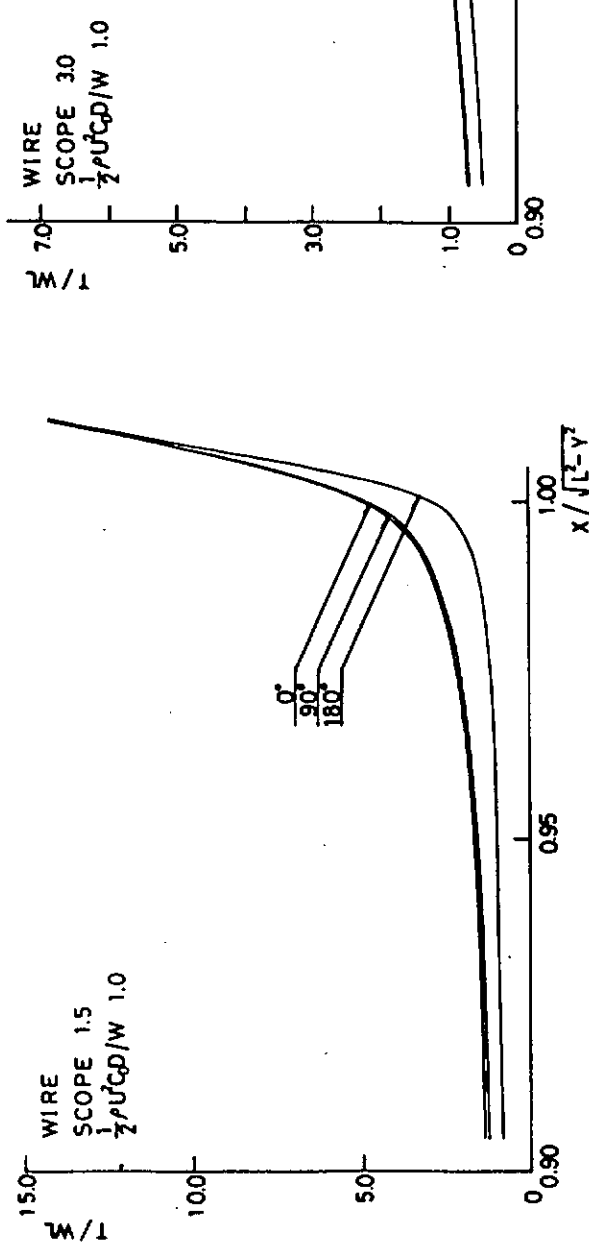


図 3.1.3.29

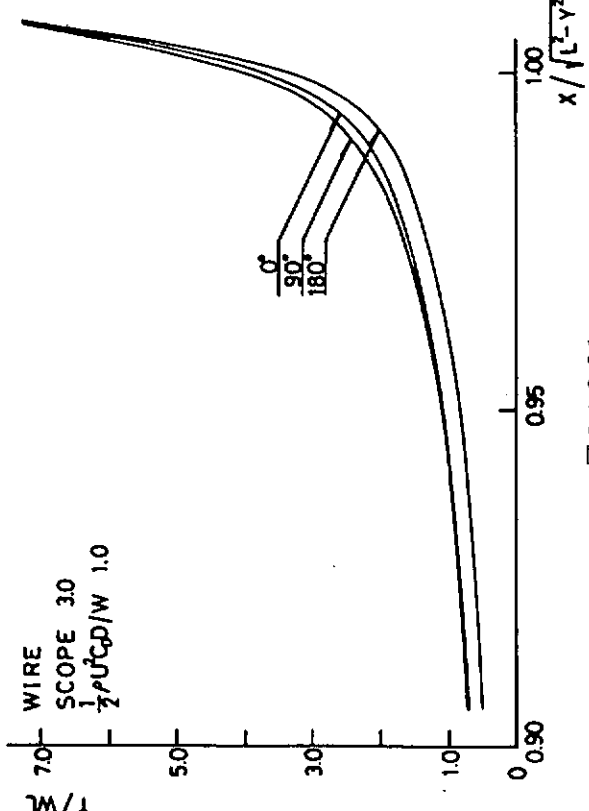


図 3.1.3.31

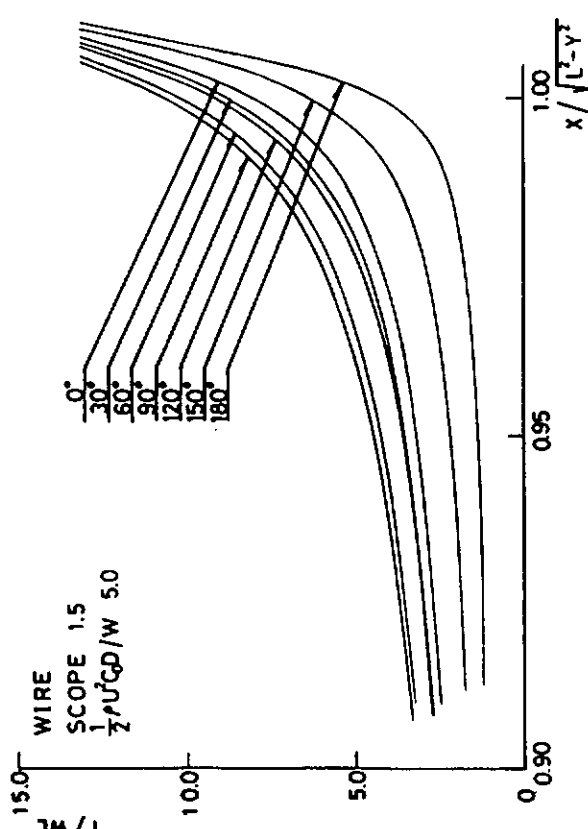


図 3.1.3.30

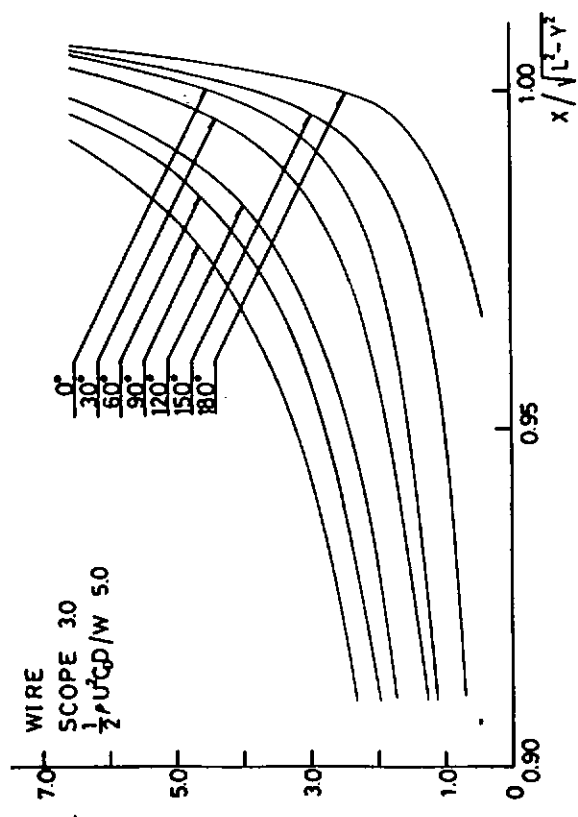


図 3.1.3.32

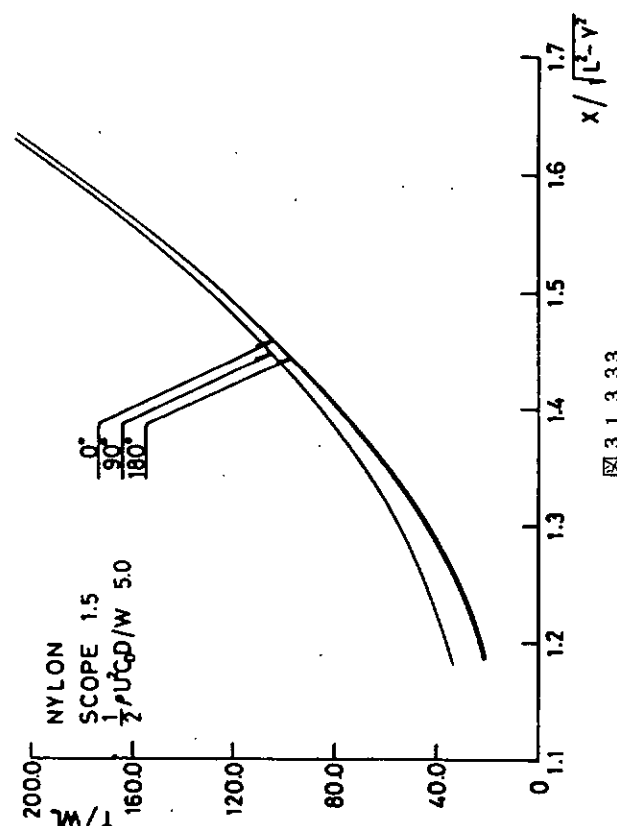


図 3.1.3.33

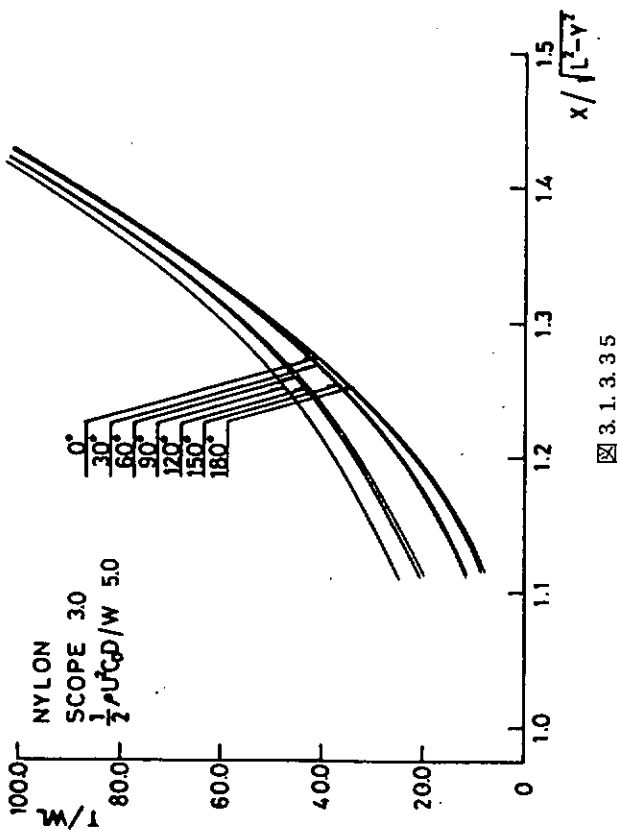


図 3.1.3.35

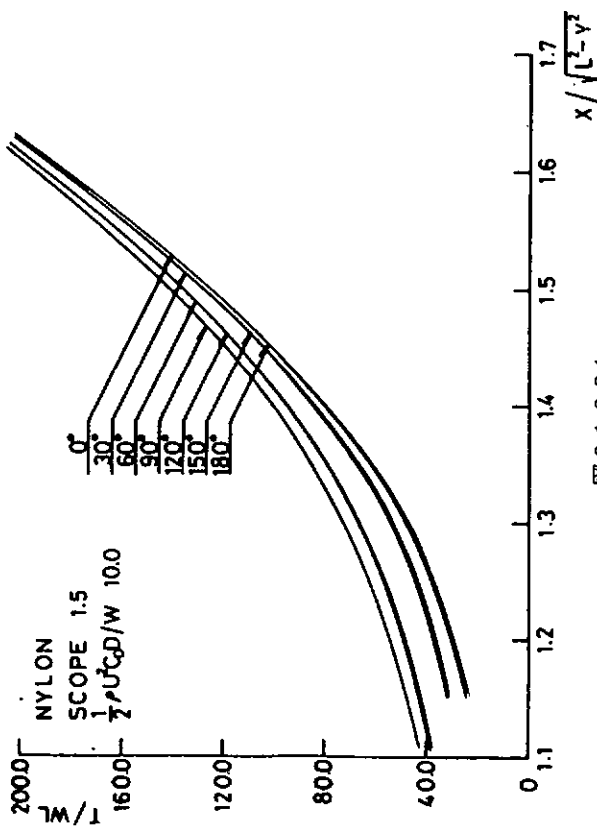


図 3.1.3.34

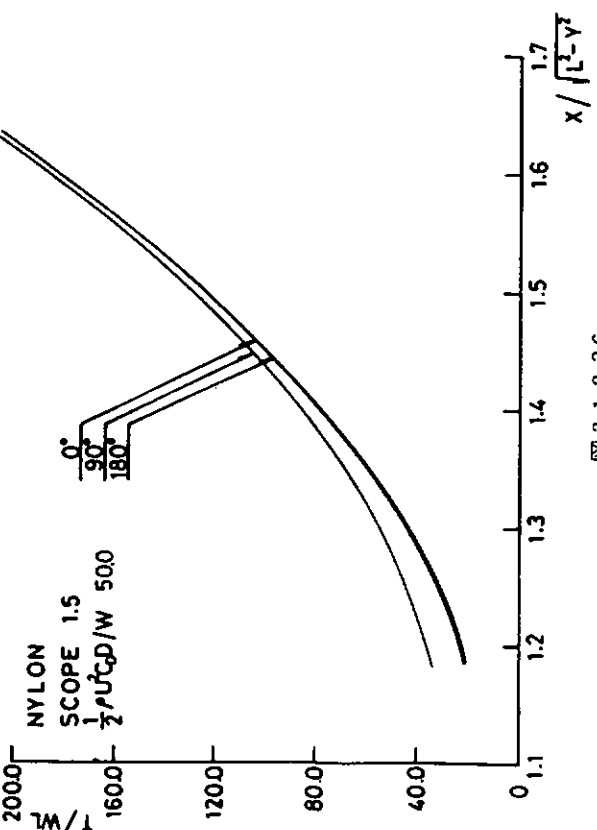


図 3.1.3.36

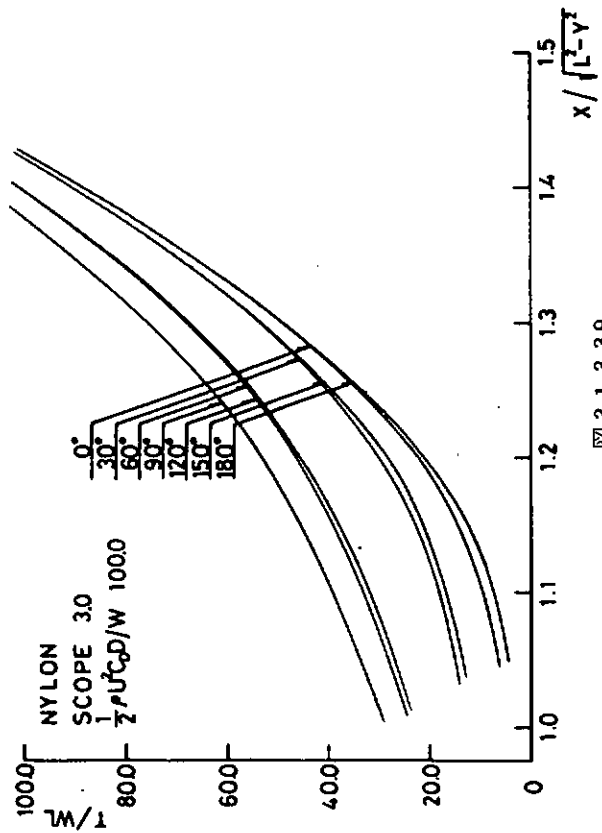


図 3.1.3.37

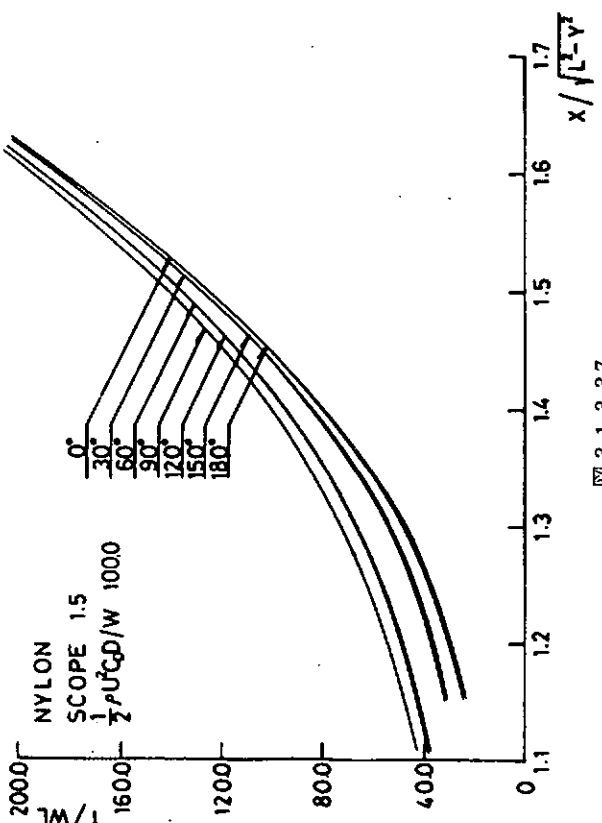


図 3.1.3.38

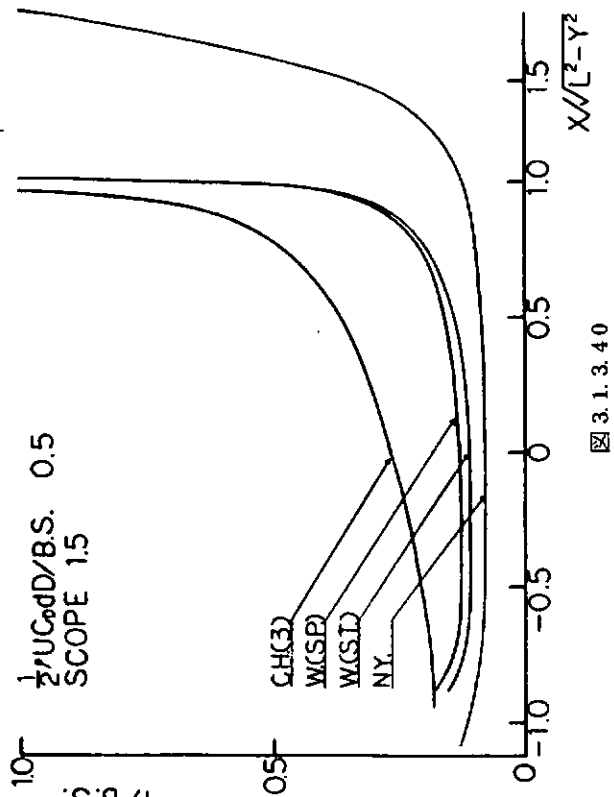


図 3.1.3.39

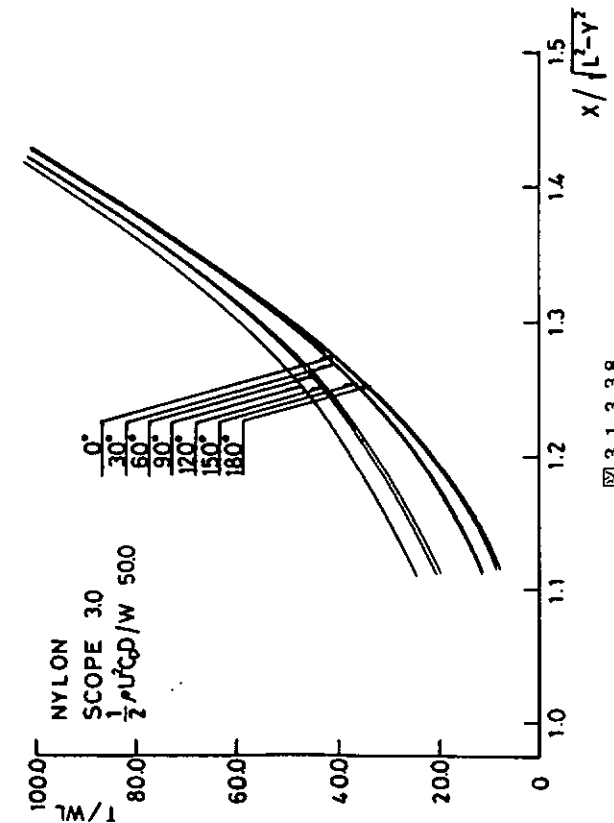


図 3.1.3.40

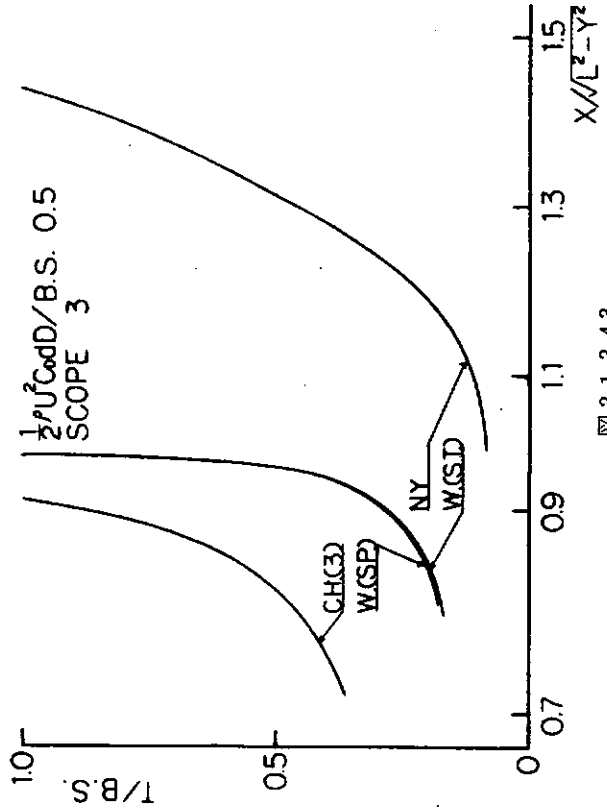


図 3.1.3.4.3

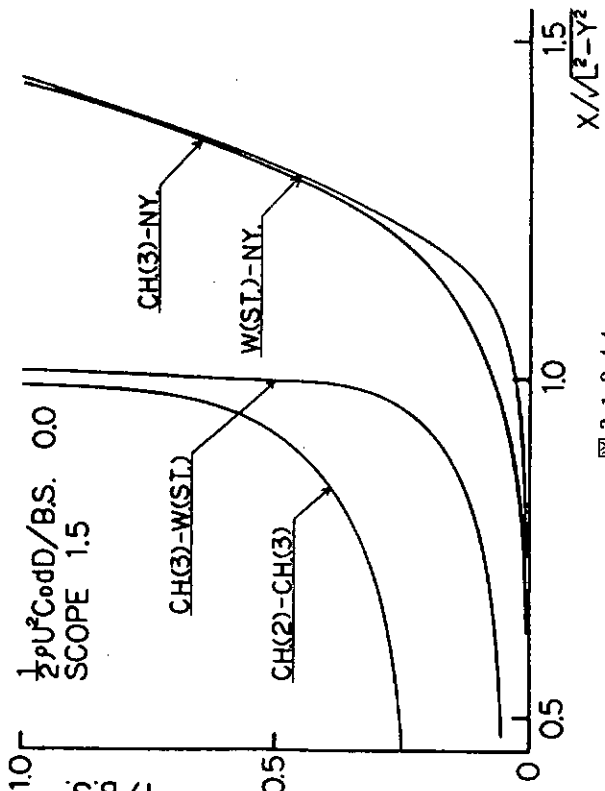


図 3.1.3.4.4

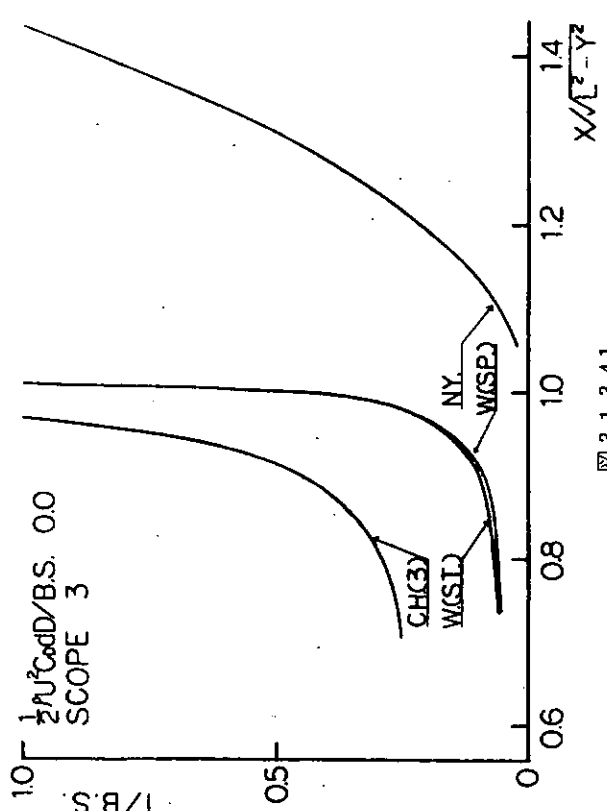


図 3.1.3.4.1

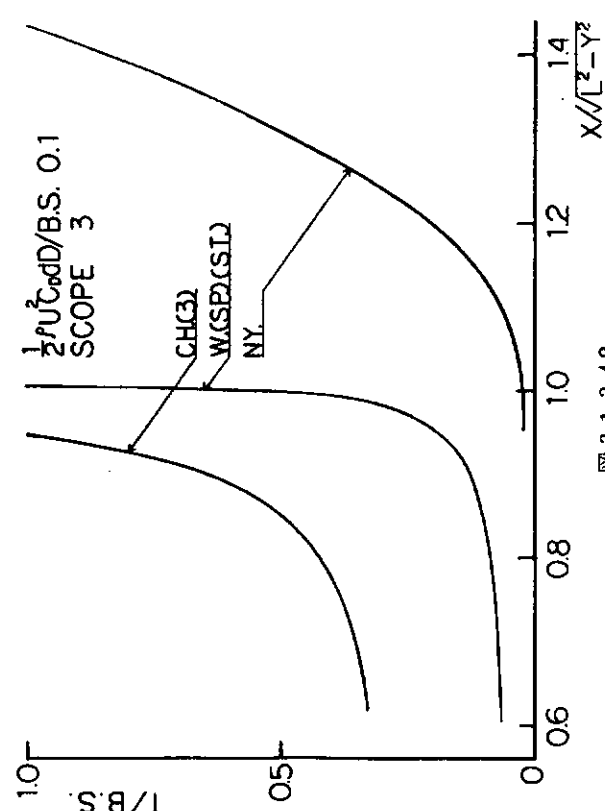


図 3.1.3.4.2

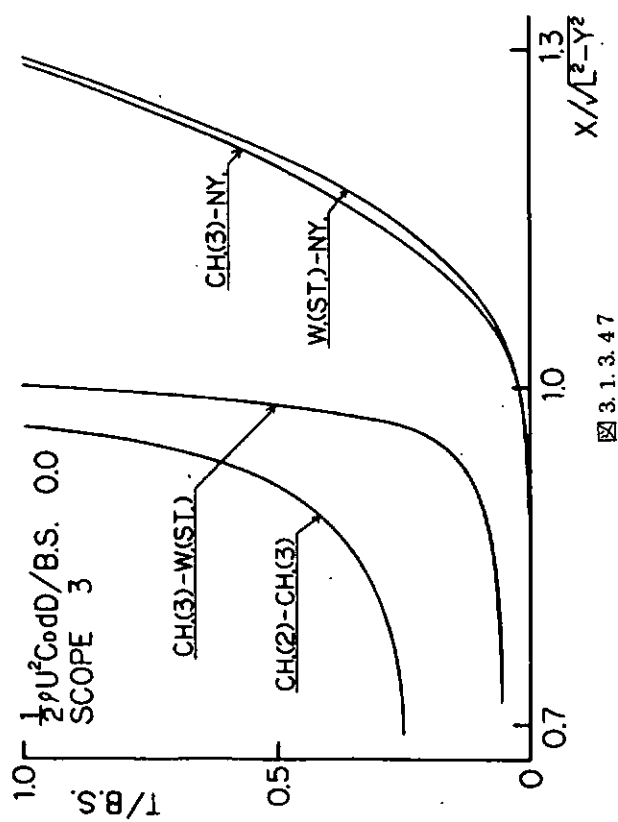


図 3.1.3.47

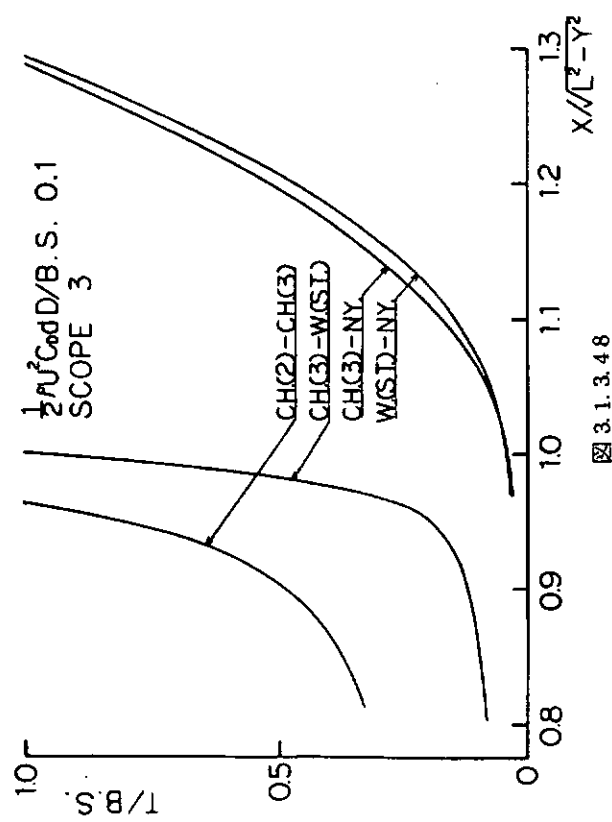


図 3.1.3.48

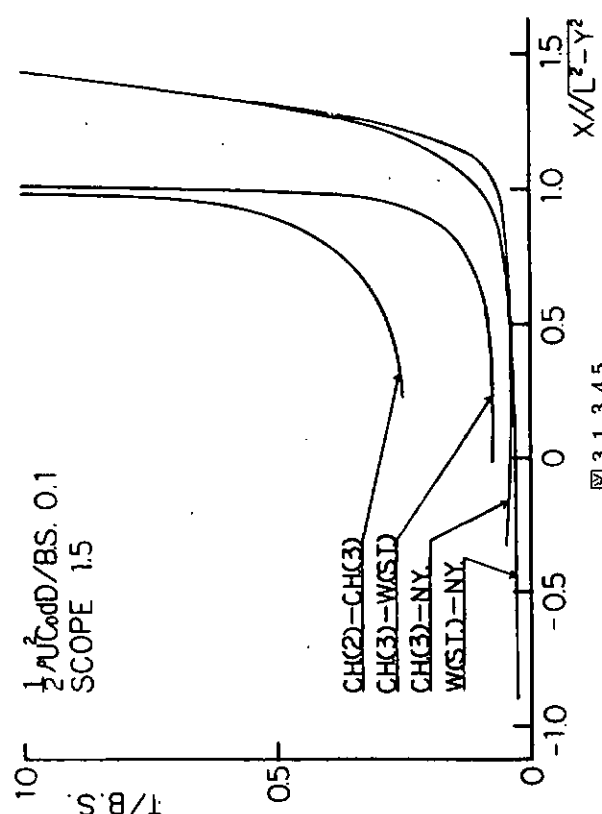


図 3.1.3.45

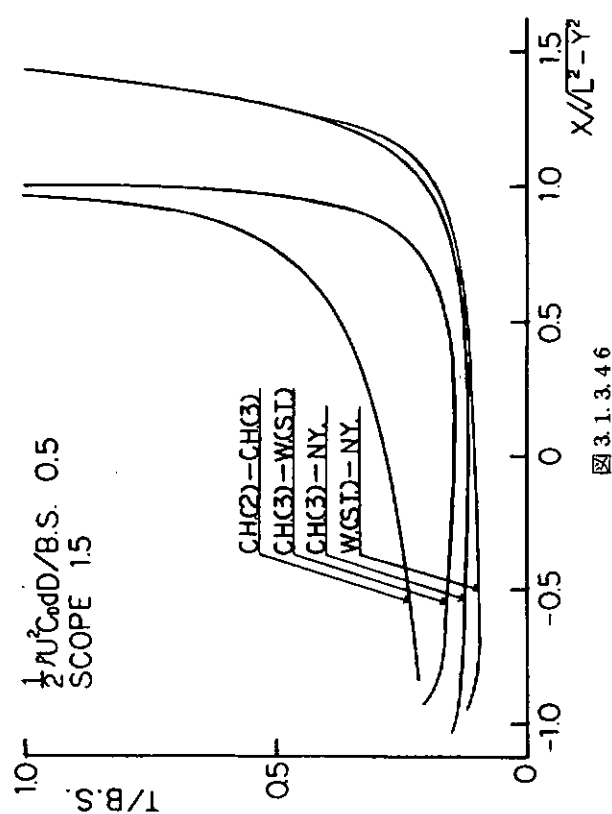


図 3.1.3.46

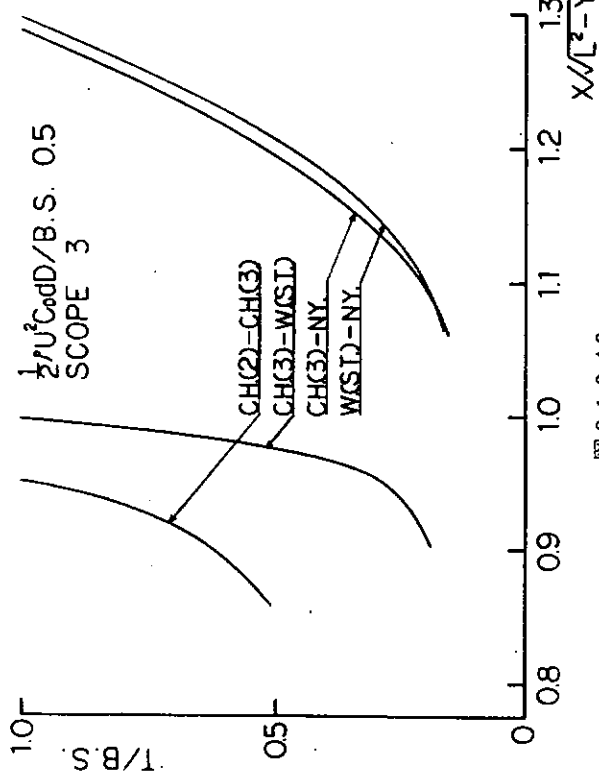


图 3.1.3.49

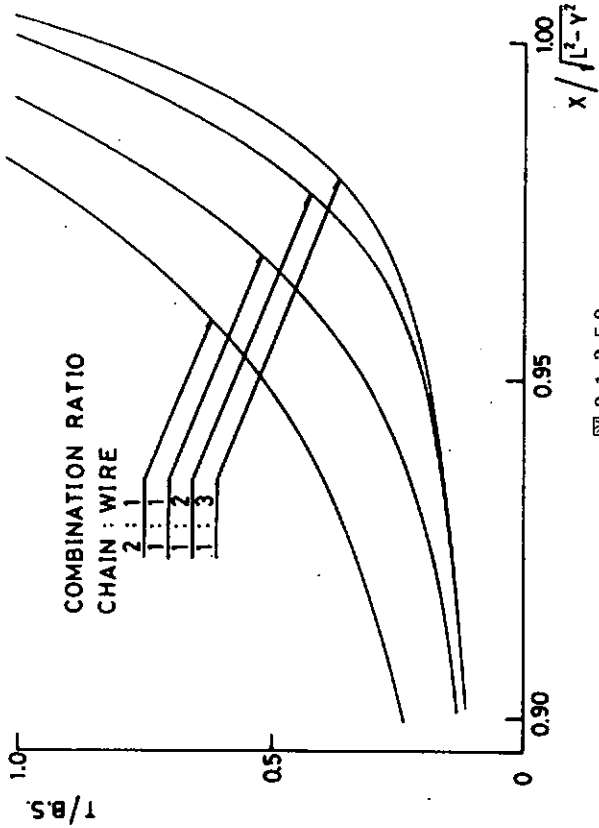


图 3.1.3.50

表 3.1.3.1

TABLE 3.1.3.1 - SPECIAL STATIC ANALYSIS OF SPECIAL MAST-LINES

EXAMINE LINE 2

DATE: DEC 15, 1960 BY: J. L. COOPER

* * * TABLE OF MAST-LINE CHARACTERISTICS *

TYPE OF MAST-LINE: V-21ST. OF LINE #: 500,0000

MDB. FORCE, F _x	DISTANCE IN X-DIRECTION	MAST-LINE ELV.	MAST-LINE ELV.	TENSION	M ₁ -LINE ELV.	M ₂ -LINE ELV.	M ₃ -LINE ELV.
AT ANCHOR (T.O.)	(M)	ANG. FOR K7-PLA, ANG. IN V-0IR, AT SHIP (DEG.)	ANG. FOR K7-PLA, ANG. IN V-0IR, AT S-IP (DEG.)	AT SHIP (TON)	ANG. ON Y2-PLA, ANG. AT ANCHOR (DEG.)	ANG. ON Y2-PLA, ANG. AT ANCHOR (DEG.)	ANG. ON Y2-PLA, ANG. AT ANCHOR (DEG.)
60,0000	1147.81812	687.69482	1.02093	61.45465	115.0145	0.0	0.0
120,00000	1193.91964	485.56321	14.09623	47.07687	159.26289	32.01297	2.32022
150,00000	1249.82543	487.56122	16.62651	49.12937	195.33412	31.59920	5.41179
200,00000	1223.15242	553.67165	20.11394	35.37350	250.44940	31.14279	8.58610
250,00000	1230.25547	554.51664	21.94617	32.01793	307.61763	30.82664	10.54706
300,00000	1234.74623	553.51355	23.12550	29.62102	364.79346	30.50575	11.88855
400,00000	1240.61045	493.49747	24.54656	27.11404	479.05347	30.23424	13.60701
500,00000	1244.76572	595.49976	25.50460	593.17334	29.98329	29.78966	16.65985
600,00000	1246.14425	662.59646	25.97451	24.43153	707.16431	26.2103023	15.87502
700,00000	1251.23561	629.49555	26.25463	23.56240	621.03023	29.63190	15.87502

表 3.1.3.2

D.H.V.	G.L.	REFERENCE
$(U_1) = 2.183$	$T = 15.0$	
$(U_2) = 0.387$	$U = 0.387$	$U_3 = 2.570$

表 3.1.3.3

SCOPE	HYDRODYNAMIC FORCE (NON-DIMENSIONAL VALUE)	QUALITY OF LINE		
		WIRE (STRAND)	WIRE (SPIRAL)	CHAIN (3)
1.5	0.0	NYLON	CHAIN (2)-CHAIN (3)	
3.0	0.1	CHAIN (3)-WIRE (STRAND)		
6.0	0.5	WIRE (STRAND)-NYLON	CHAIN (3)-WIRE (STRAND)	

表 3.1.3.4

DIA METER	WEIGHT FOR UNIT LENGTH	A.E.	B.S.
WIRE (STRAND)	86.0 mm	27.251 kg/m	52279.241 t
WIRE (SPIRAL)	76.2	24.447	72965.88
CHAIN (2)	98.0	182.985	480.6
CHAIN (3)	80.0	121.939	486.2
NYLON	206.0	1.530	481.3
			481.5

表 3.1.3.5

QUALITY OF LINE	$\frac{1}{2} \rho U^2 C_D D / B.S.$	0.1	0.5
	3.4 m/s		
WIRE (STRAND)	3.4	7.6 m/s	7.7
WIRE (SPIRAL)	2.1		4.8
CHAIN (3)	2.2		4.9
NYLON	2.1		4.6
CHAIN (2)-CHAIN (3)	2.8		6.2
CHAIN (3)-WIRE (STRAND)	2.2		4.9
CHAIN (3)-NYLON	2.5		5.5
WIRE (STRAND)-NYLON			

表 3.1.3.6

SCOPE	QUALITY OF LINE	HYDRODYNAMIC FORCE (NON-DIMENSIONAL VALUE)			ANGLE
		0.5, 1.0	1.0, 5.0	50.0, 100.0	
1.5	CHAIN	0.5	1.0	50.0	0°
3.0	WIRE (SPIRAL)				30°
6.0	NYLON				60°

表 3.1.3.7

$\frac{1}{2} \rho U^2 C_D D / W$	CHAIN	WIRE (SPIRAL)			NYLON
		2.4 m/s	3.4	7.6	
0.5	1.0	2.5	5.5	7.8	0.28 m/s
	5.0				0.39
	10.0				0.88
	50.0				1.2
	100.0				2.8
					3.9

(2) 動的特性

係留ラインに働く動的張力特性は図3.1.1.2.5及び表3.1.1.6に示すように係留点の運動加速度の大きさに依り、その小さい方から順に(I)準静的平衡状態、(II)調和振動状態、(III)弛緩、緊張状態、(IV)自由落下、緊張状態に分類される^{1), 2)}。2次元の動的計算方法として、簡易計算法^{3), 4)}、ランプドマス法^{1), 5), 6), 7)}、有限要素法⁸⁾等が確立されている。3次元計算法は2次元計算法と考え方は同様であり、以下に中嶋らが示したランプドマス法^{5), 6), 7)}を3次元に拡張した方法⁹⁾について説明する。

(a) 係留ラインの3次元運動方程式

図3.1.3.5.1に示す座標系において、質点jが任意に運動する場合を考える。係留ラインに加わる外力は各質点に集中して加える様にし、各質点間は直線とする。図3.1.3.5.2において、質点jの3次元運動方程式は(3.1.3.4.3')式で与えられる。

$$\begin{bmatrix} I_{1j} & I_{2j} & I_{3j} \\ J_{1j} & J_{2j} & J_{3j} \\ K_{1j} & K_{2j} & K_{3j} \end{bmatrix} \cdot \begin{bmatrix} \ddot{x}_j \\ \ddot{y}_j \\ \ddot{z}_j \end{bmatrix} = \begin{bmatrix} F_{xj} \\ F_{yj} \\ F_{zj} \end{bmatrix} \quad (3.1.3.4.3')$$

(j = 2, 3, \dots, N)

ここで

$$\begin{aligned} F_{xj} &= T_j \sin \alpha_j - T_{j-1} \sin \bar{\alpha}_{j-1} + f_{dxj} \\ F_{yj} &= T_j \sin \beta_j - T_{j-1} \sin \bar{\beta}_{j-1} + f_{dyj} \\ F_{zj} &= T_j \sin \gamma_j - T_{j-1} \sin \bar{\gamma}_{j-1} + f_{dzj} - \delta_j \end{aligned}$$

又、

$$\begin{aligned} I_{1j} &= M_j + A_{nj} \cos^2 \bar{\alpha}_j + A_{tj} \sin^2 \bar{\alpha}_j \\ I_{2j} &= (A_{tj} - A_{nj}) \sin \bar{\beta}_j \sin \bar{\alpha}_j \quad (= J_{1j}) \\ I_{3j} &= (A_{tj} - A_{nj}) \sin \bar{\gamma}_j \sin \bar{\alpha}_j \quad (= K_{1j}) \\ J_{2j} &= M_j + A_{nj} \cos^2 \bar{\beta}_j + A_{tj} \sin^2 \bar{\beta}_j \\ J_{3j} &= (A_{tj} - A_{nj}) \sin \bar{\beta}_j \sin \bar{\gamma}_j \quad (= K_{2j}) \\ K_{3j} &= M_j + A_{nj} \cos^2 \bar{\gamma}_j + A_{tj} \sin^2 \bar{\gamma}_j \end{aligned}$$

(3.1.3.4.3')式で $\ddot{x}_j, \ddot{y}_j, \ddot{z}_j$ は質点jの、x, y 及び z 方向加速度、 $\delta_j, M_j, A_{nj}, A_{tj}$ はそれぞれ、質点jの水中重量、質量、法線方向及び接線方向付加質量である。一方、係留ラインに加わる抗力のx, y, z 方向成分 $f_{dxj}, f_{dyj}, f_{dzj}$ は次式に示す様に法線方向及び接線方向抗力 f_{dnj}, f_{dtj} で表わす事ができるので法線方向及び接線方向の抗力係数が分れば、抗力は容易に求められる。

$$\left. \begin{aligned} f_{dxj} &= -(\sin \bar{\beta}_j \cos \bar{\theta}_j - \cos \bar{\theta}_j \sin \phi_j + \sin \bar{\theta}_j \cos \phi_j) f_{dnj} \\ &\quad + (\cos \bar{\beta}_j \cos \bar{\theta}_j) f_{dtj} \\ f_{dyj} &= (\cos \bar{\beta}_j \cos \theta_j) f_{dnj} + (\sin \bar{\beta}_j) f_{dtj} \\ f_{dzj} &= -(\sin \bar{\beta}_j \sin \bar{\theta}_j \cos \phi_j - \cos \bar{\theta}_j \sin \phi_j) f_{dnj} \\ &\quad + (\cos \bar{\beta}_j \sin \bar{\theta}_j) f_{dtj} \end{aligned} \right\} \quad (3.1.3.4.4)$$

一方、 $\bar{\alpha} = (\alpha_j + \alpha_{j-1})/2, \bar{\beta}_j = (\beta_j + \beta_{j-1})/2, \bar{\gamma}_j = (\gamma_j + \gamma_{j-1})/2, \bar{\theta}_j = (\theta_j + \theta_{j-1})/2$ 。 $\alpha_j, \beta_j, \gamma_j$ 及び θ_j の正弦、余弦は次の様になる。(図3.1.3.5.2参照)。 θ_j はライン要素の接線方向に一つの軸を持つ座標系での力の法線方向を示す。

$$\left. \begin{aligned} \sin \alpha_j &= (x_{j+1} - x_j) / \ell_j \\ \cos \alpha_j &= \sqrt{(x_{j+1} - x_j)^2 + (y_{j+1} - y_j)^2} / \ell_j \\ \sin \beta_j &= (y_{j+1} - y_j) / \ell_j \\ \cos \beta_j &= \sqrt{(x_{j+1} - x_j)^2 + (z_{j+1} - z_j)^2} / \ell_j \\ \sin \gamma_j &= (z_{j+1} - z_j) / \ell_j \\ \cos \gamma_j &= \sqrt{(x_{j+1} - x_j)^2 + (y_{j+1} - y_j)^2} / \ell_j \\ \sin \theta_j &= (z_{j+1} - z_j) / \sqrt{(x_{j+1} - x_j)^2 + (z_{j+1} - z_j)^2} \\ \cos \theta_j &= (x_{j+1} - x_j) / \sqrt{(x_{j+1} - x_j)^2 + (z_{j+1} - z_j)^2} \end{aligned} \right\} (3.1.3.4.5)$$

ここで、

$$\ell_j = \sqrt{(x_{j+1} - x_j)^2 + (y_{j+1} - y_j)^2 + (z_{j+1} - z_j)^2}$$

(b) 係留ライン運動の解法

係留ラインの運動方程式 (3.1.3.4.3) 式を、それぞれの方向の加速度で表わすと次の様になる。

$$\left. \begin{aligned} \ddot{x}_j &= (R_j T_j - P_j T_{j-1} + U_j) / \Delta t^2 \\ \ddot{y}_j &= (O_j T_j - H_j T_{j-1} + V_j) / \Delta t^2 \\ \ddot{z}_j &= (S_j T_j - Q_j T_{j-1} + W_j) / \Delta t^2 \end{aligned} \right\} (3.1.3.4.6)$$

(j = 2, 3, …, N)

ここで、 Δt は計算の時間刻み幅、 $R_j, S_j, P_j, Q_j, O_j, H_j, U_j, V_j, W_j$ は (3.1.3.4.3) 式より出てくる係数であるが詳細な説明は省略する。

また、係留ラインが伸びないと仮定した場合の拘束条件式は次式で与えられる。

$$(x_j - x_{j-1})^2 + (y_j - y_{j-1})^2 + (z_j - z_{j-1})^2 = \bar{\ell}^2 \quad (3.1.3.4.7)$$

(j = 2, 3, …, N+1)

ここで、 $\bar{\ell}$ は係留ラインのセグメント長さであるが、係留ラインの伸びを考慮する場合は次の様になる。

$$\begin{aligned} (x_j - x_{j-1})^2 + (y_j - y_{j-1})^2 + (z_j - z_{j-1})^2 \\ = \bar{\ell}^2 (1 + \frac{T_{j-1}}{A \cdot E})^2 \quad (3.1.3.4.8) \end{aligned}$$

(j = 2, 3, …, N+1)

係留ラインの伸びを考慮する解法については、2次元問題と同様な Houbolt 法⁶⁾を利用すると (3.1.3.4.9) 式が得られる。

$$\left. \begin{aligned} x_j^{n+1} &= \frac{5}{2} x_j^n - 2 x_j^{n-1} + \frac{1}{2} x_j^{n-2} \\ &\quad + (R_j^{n+1} \cdot T_j^{n+1} - P_j^{n+1} \cdot T_{j-1}^{n+1} + U_j^{n+1}) / 2. \end{aligned} \right\}$$

$$y_j^{n+1} = \frac{5}{2}y_j^n - 2y_j^{n-1} + \frac{1}{2}y_j^{n-2} \\ + (O_j^{n+1} \cdot T_j^{n+1} - H_j^{n+1} \cdot T_{j-1}^{n+1} + V_j^{n+1})/2.$$

(3.1.3.4.9)

$$z_j^{n+1} = \frac{5}{2}z_j^n - 2z_j^{n-1} + \frac{1}{2}z_j^{n-2} \\ + (S_j^{n+1} \cdot T_j^{n+1} - Q_j^{n+1} \cdot T_{j-1}^{n+1} + W_j^{n+1})/2.$$

(j = 2, 3 … N)

ここで、次式に示す様な関数 ψ_j^{n+1} を考える。

$$\psi_j^{n+1} = (x_j^{n+1} - x_{j-1}^{n+1})^2 + (y_j^{n+1} - y_{j-1}^{n+1})^2 + (z_j^{n+1} - z_{j-1}^{n+1})^2 \\ - \bar{\ell}^2(1 + T_{j-1}^{n+1}/E \cdot A)^2 \\ = \psi^{n+1}(T_{j-2}^{n+1}, T_{j-1}^{n+1}, T_j^{n+1}) \equiv 0 \quad (3.1.3.5.0)$$

張力 T_j^{n+1} を $T_j^{n+1} = \tilde{T}_j^{n+1} + \Delta T_j^{n+1}$ として (3.1.3.5.0) 式をテーラー展開し、かつ、 \tilde{T}_j^{n+1} は T_j^{n+1} に充分近いとすれば次の (3.1.3.5.1) 式が導かれる。

$$\tilde{E}_j^{n+1} \cdot \Delta T_{j-2}^{n+1} - \tilde{F}_j^{n+1} \cdot \Delta T_{j-1}^{n+1} + \tilde{G}_j^{n+1} \cdot \Delta T_j^{n+1} = -\psi_j^{n+1} \quad (3.1.3.5.1)$$

(j = 2, 3 …, N+1)

ここで、 \tilde{E}_j^{n+1} , \tilde{F}_j^{n+1} 及び \tilde{G}_j^{n+1} は (3.3.1.0) 式で与えられる。

$$\tilde{E}_j^{n+1} = \frac{\partial \tilde{\psi}_j^{n+1}}{\partial T_{j-2}^n} = P_{j-1}^{n+1}(\tilde{x}_j^{n+1} - \tilde{x}_{j-1}^{n+1}) + H_{j-1}^{n+1}(\tilde{y}_j^{n+1} - \tilde{y}_{j-1}^{n+1}) \\ + Q_{j-1}^{n+1}(\tilde{z}_j^{n+1} - \tilde{z}_{j-1}^{n+1})$$

$$\tilde{F}_j^{n+1} = \frac{\partial \tilde{\psi}_j^{n+1}}{\partial T_{j-1}^n} = (P_j^{n+1} + R_{j-1}^{n+1})(\tilde{x}_j^{n+1} - \tilde{x}_{j-1}^{n+1}) \\ + (H_j^{n+1} + O_{j-1}^{n+1})(\tilde{y}_j^{n+1} - \tilde{y}_{j-1}^{n+1}) \\ + (Q_j^{n+1} + S_{j-1}^{n+1})(\tilde{z}_j^{n+1} - \tilde{z}_{j-1}^{n+1}) \\ + 2\bar{\ell}^2(1 + \tilde{T}_{j-1}^{n+1}/E \cdot A)/E \cdot A \quad (3.1.3.5.2)$$

$$\tilde{G}_j^{n+1} = \frac{\partial \tilde{\psi}_j^{n+1}}{\partial T_j^n} = R_j^{n+1}(\tilde{x}_j^{n+1} - \tilde{x}_{j-1}^{n+1}) + O_j^{n+1}(\tilde{y}_j^{n+1} - \tilde{y}_{j-1}^{n+1}) \\ + S_j^{n+1}(\tilde{z}_j^{n+1} - \tilde{z}_{j-1}^{n+1})$$

(j = 2, 3, … N+1)

また、(3.1.3.5.2) 式中で x_j^{n+1} , y_j^{n+1} , z_j^{n+1} の上側の~印は、張力 T_j^{n+1} のかわりに T_j^{n+1} のかわりに T_j^{n+1} の予測値 \tilde{T}_j^{n+1} を用いたものであることを示す。同様に $\tilde{\psi}_j^{n+1}$ では \tilde{x}_j^{n+1} , \tilde{y}_j^{n+1} ,

\tilde{z}_j^{n+1} , \tilde{T}_j^{n+1} を用いている。

一方、係留ラインの伸びを考慮しない場合は Walton et al¹⁰⁾ が使っている (3.1.3.5.3 式) の差分公式を使って x_j^{n+1} , y_j^{n+1} 及び z_j^{n+1} を求め、以下略々同様な手順で \tilde{E}_j^{n+1} , \tilde{F}_j^{n+1} 及び \tilde{G}_j^{n+1} を求めることができる。

$$\left. \begin{aligned} \dot{s}_j^n &= (s_j^{n+1} - 2s_j^n + s_j^{n-1}) / \Delta t^2 \\ \ddot{s}_j^n &= (s_j^{n+1} - s_j^{n-1}) / 2\Delta t \end{aligned} \right\} \quad (3.1.3.5.3)$$

解法の手順を次に示すと、

- (i) 各質点の初期状態及び各質点間に働く張力を静的計算によって求め $t = 0$ 時の条件とする。
- (ii) 次の時間ステップにおける上端の点 P (x_{N+1}^{n+1} , y_{N+1}^{n+1} , z_{N+1}^{n+1}) を与える。計算の都合上、P 点を急激に移動させない様に次式を用いる。

$$\left. \begin{aligned} x_{N+1}^{n+1} &= x_{N+1}^0 + \{1 - \exp(-\nu t)\} \cdot \bar{\eta}_x \sin(\omega t + \epsilon_x) \\ y_{N+1}^{n+1} &= y_{N+1}^0 + \{1 - \exp(-\nu t)\} \cdot \bar{\eta}_y \sin(\omega t + \epsilon_y) \\ z_{N+1}^{n+1} &= z_{N+1}^0 + \{1 - \exp(-\nu t)\} \cdot \bar{\eta}_z \sin(\omega t + \epsilon_z) \end{aligned} \right\} \quad (3.1.3.5.4)$$

ここで、 ω は運動周波数、 ϵ_x , ϵ_y , ϵ_z は運動の位相差、 $\bar{\eta}_x$, $\bar{\eta}_y$, $\bar{\eta}_z$ は、P 点の運動振巾、 ν は任意の適当な値である。

- (iii) 要素分割の非連続性が地面に近い要素で大きく表われるため、地面に近い質点の重量を増減させる。
- (iv) 計算式の係数を求める (R_j , S_j , P_j , Q_j , O_j , H_j etc.)。
- (v) 質点 j の適当な運動速度を与えて抗力を計算する (初期値にゼロ又は前の時間ステップの速度を用いる)。
- (vi) 各質点間の張力を計算する。まず求める張力を適当に仮定し、より正確な張力との差 $\{ \Delta T_j \}$ を次式により算出する。

$$\{ \Delta T_j^n \} = \{ E_{j+1}^{n+1}; -F_{j+1}^{n+1}; G_{j+1}^{n+1} \}^{-1} \cdot \{ -\tilde{E}_{j+1}^{n+1} \} \quad (3.1.3.5.5)$$

又は

$$\{ \Delta T_j^{n+1} \} = \{ E_{j+1}^{n+1}; -F_{j+1}^{n+1}; G_{j+1}^{n+1} \}^{-1} \cdot \{ -\tilde{E}_{j+1}^{n+1} \} \quad (3.1.3.5.6)$$

張力の補正値 $\{ \Delta T_j \}$ が求まれば、仮定した張力に加える事により、より正確な張力を求める。繰返し演算により充分な精度の張力を計算する。

張力の初期値には、前の時間ステップにおける値を用いる。

- (vii) 各質点 j の次の時間ステップの位置を計算する。同時に各質点 j の運動速度を求めて、ステップ (vi) に戻る。各質点 j の運動速度が収束するまで繰返し計算を行なう。
- (viii) 次の時間ステップの計算に移る。(ステップ (vi) に戻る。)
- (c) 係留ラインの動的解析結果と実験結果との比較

2次元の係留ラインに働く動的張力に関する理論解析結果と実験結果との比較は、各所で実施されており^{1), 5), 6), 7), 11)}その計算方法の有効性は実証されている。ここでは3次元解析法についても中嶋らの研究結果⁹⁾を引用してその有効性を調査する。

図3.1.3.5.3に示すように強制動搖装置を用いてslack状態のチェーン上端をチェーンの方向と45°をなす方向($x = 45^\circ$)に水平振動させた。このときのチェーン上端における張力の各方向成分の時系列を計算と実験とで比較したものを図3.1.3.5.4に示す。動搖振幅は7cm(両振幅)、チェーンの要目は表3.1.3.8に示す。又、計算に用いた流体力係数は文献6)による値を用いた。文献6)による抗力係数は、法線方向、接線方向がそれぞれ、 C_{DN} (法線方向抗力/ $\frac{4}{3\pi}\rho \cdot D_C \cdot \bar{\ell} u^2$)=2.18、 C_{DT} (接線方向抗力/ $\frac{4}{3\pi}\rho D_C \bar{\ell} v^2$)=0.17、又付加質量係数は、それぞれ C_{HN} (法線方向付加質量/ $\rho D_C^2 \pi \bar{\ell} / 4$)=1.98、 C_{HT} (接線方向付加質量/ $\rho D_C^2 \pi \bar{\ell} / 4$)=0.2であり、これらの値は、3.1.2に示したチェーン模型の流体力計測結果ともほぼ一致している。計算結果は、動搖周波数だけでなく動搖周波数よりも高次の張力変動分まで実験結果を良く説明している。

尚、この計算ではラインの分割数Nを16としている。次に分割数影響を図3.1.3.5.5に示す。分割数Nを少なくしていくと高周波成分が消える傾向にあると共に、動搖周期が短かい場合には動搖周波数の変動振幅が増大する傾向にあることがわかる。分割数は、多い程計算精度は良好であるが計算時間との兼ね合いから適当な分割数を設定する必要がある。しかし、現時点では分割数を決めるための基準となるものは不明である。図3.1.3.5.6に初期張力で無次元化した変動張力を無次元周波数毎に示す。実線が理論計算結果で黒丸が実験結果である。この結果3次元解析法による計算値と実験値が良く一致することがわかった。なお、ここでの計算値はチェーンの伸びは考慮していない。

参考文献

- 1) 棚原寿郎、小寺山亘、田才福造、肥山央、渡辺邦夫：振動する繫留鎖の挙動と張力、日本造船学会論文集、第148号
- 2) 棚原寿郎、小寺山亘、田才福造、肥山央、渡辺邦夫、佐尾邦久：Dynamic Behavior and Tension of Oscillating Mooring Chain, Offshore Technology Conference (1981)
- 3) 小寺山亘：係留浮体の運動と係留鎖張力について、西部造船会会報、第53号
- 4) 小林正典、島田潔、日根野元裕：係留ラインの張力に対する動的影響について、西部造船会会報、第60号
- 5) 中嶋俊夫、元良誠三、藤野正隆：係留浮体の運動を考慮した係留ラインの動的挙動について、日本造船学会論文集、第150号
- 6) 中嶋俊夫、元良誠三、藤野正隆：特殊係留ラインの動的特性について、第5回海洋工学シンポジウム、日本造船学会(1981)
- 7) 中嶋俊夫、元良誠三、藤野正隆：On the Dynamic Analysis of Multi-Component Mooring Lines, O. T. C. paper 4309 (1982)
- 8) 片山正敏、則松康文、三和英一：浮遊式海洋構造物の係留解析法、三菱重工技報 Vol. 13, No.4
- 9) 中嶋俊夫、元良誠三、藤野正隆：質点系モデルによる係留ラインの3次元動的解析法、日本造船学会秋季講演会発表予定 (1983)

10) Walton J. S., Polacheck H.: Calculation of Transient Motions of Submerged Cables, Mathematics of Computation, Vol. X|V (1960)

11) 安藤定雄, 加藤俊司: 鎮係留ラインの静的・動的特性について, 第38回船舶技術研究所発表会講演集 (1981)

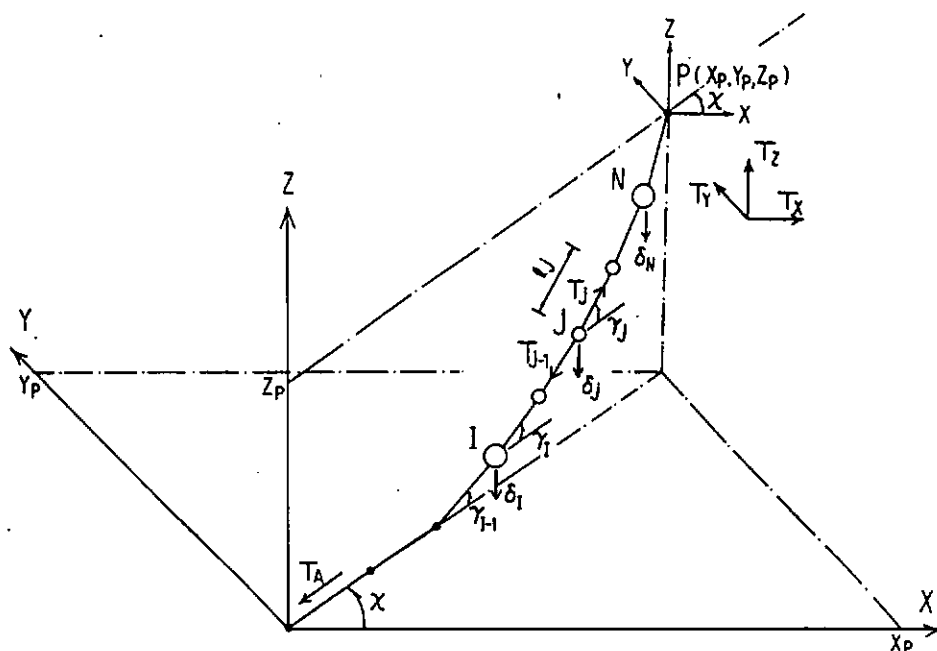


図 3.1.3.51 3次元ランプドマス法の座標系

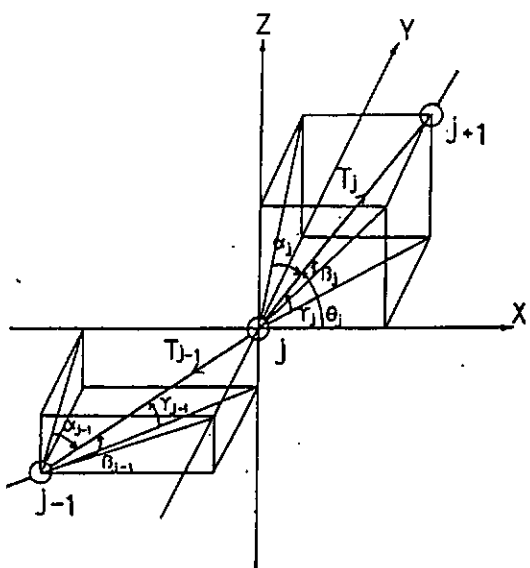


図 3.1.3.52 j番目質点における座標系

表 3.1.3.8 動揺試験に使用したチェーン要目

Weight per Length (in water) W_w	0.234 kg/m
(in air) W_a	0.271 kg/m
Ave. Diameter D_c	6.9 mm
Total Length L	10.0 m
Pretensions at Upper End	
(x-direc.) T_{x0}	1.792 kg
(y-direc.) T_{y0}	1.792 kg
(z-direc.) T_{z0}	1.823 kg
Pretension at Anker T_A	2.53 kg
Distance of Upper End	
(x-direc.) X_p	6.677 m
(y-direc.) Y_p	6.677 m
(z-direc.) Z_p	2.50 m

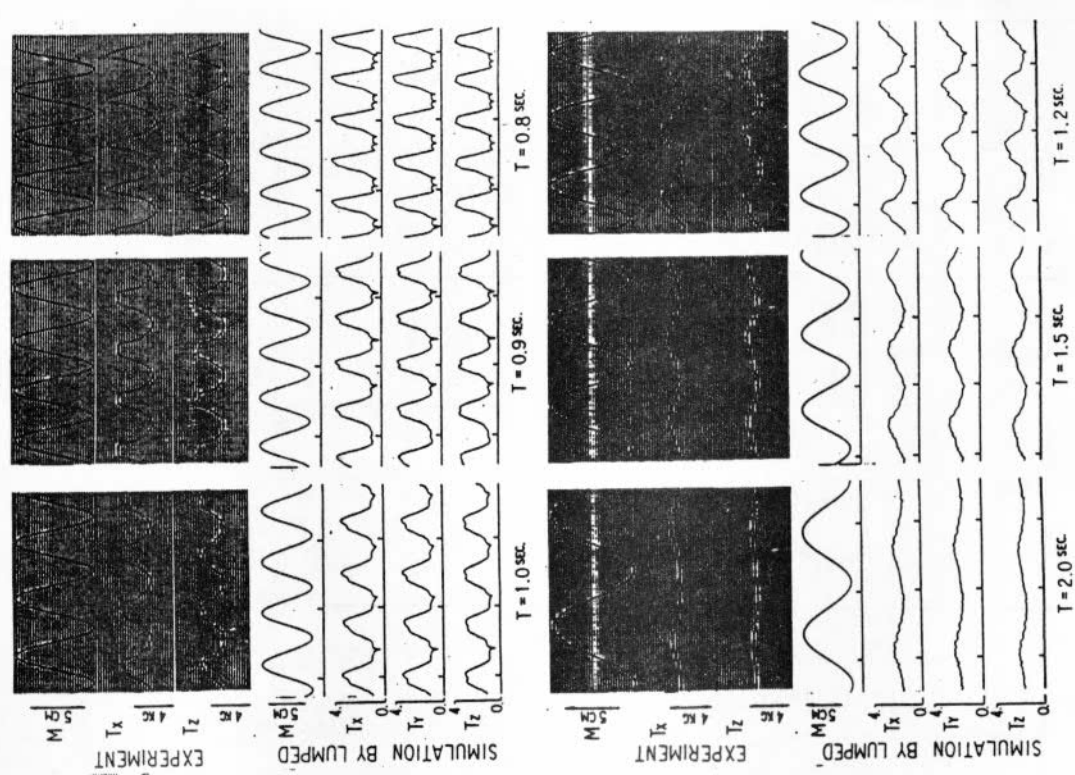


図 3.1.3.54 3次元解析結果と実験結果との時系列比較

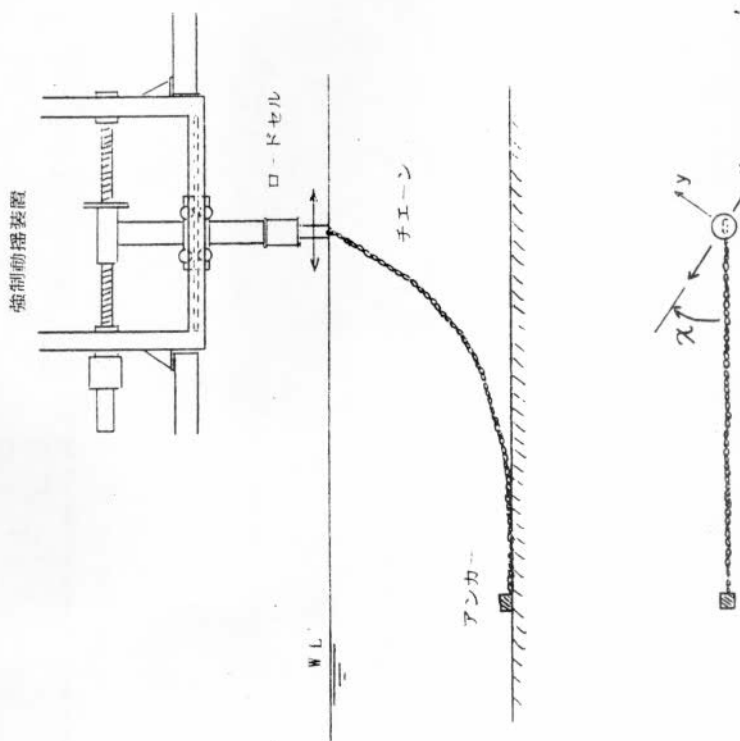


図 3.1.3.53 係留ライシンの強制動揺試験装置

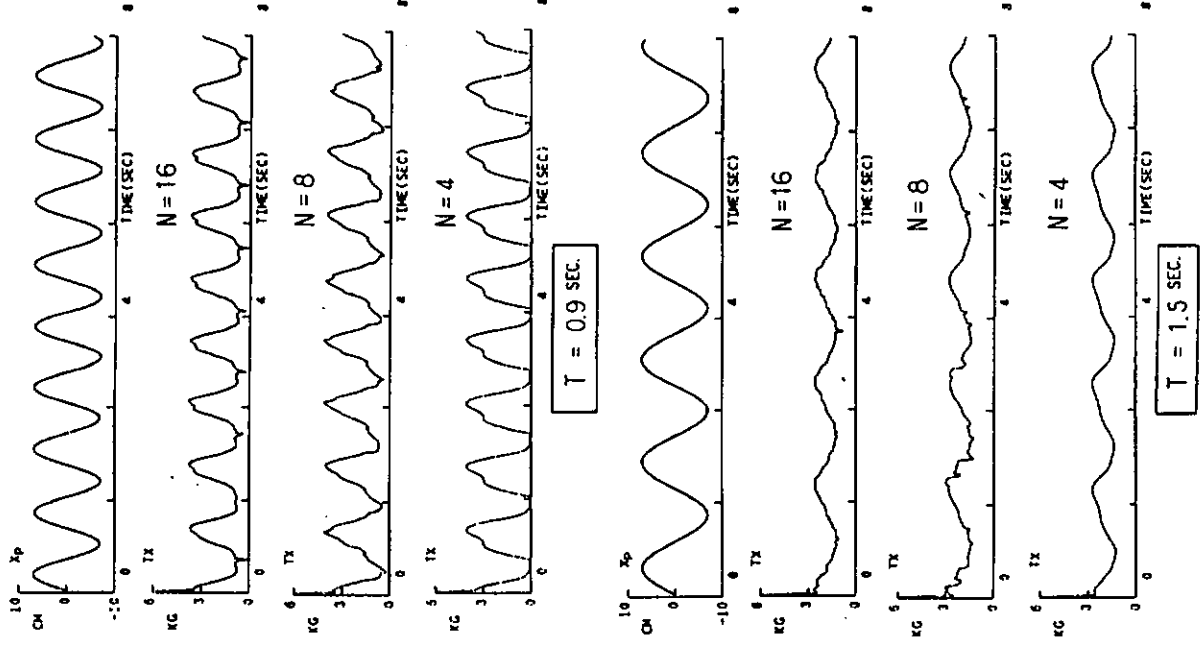


図 3.1.3.55 分割数の影響

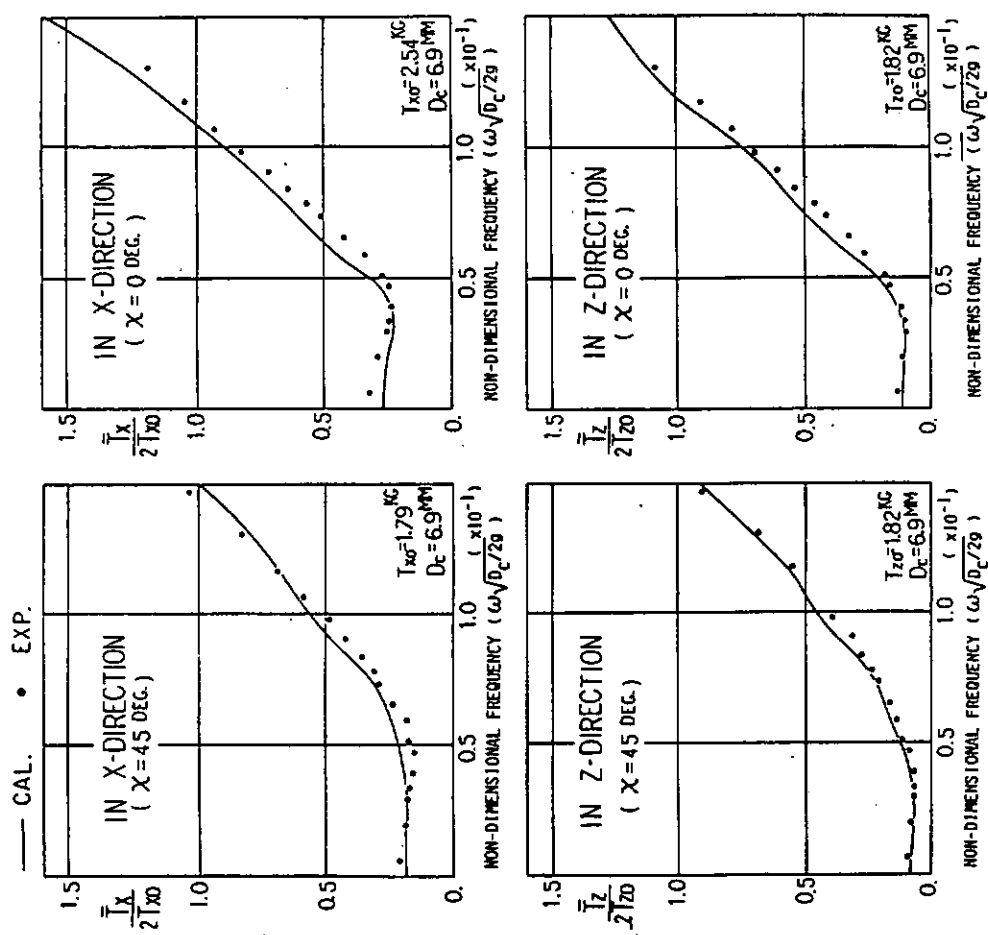


図 3.1.3.56 強力の動的特性、無次元振幅の比較

3.2 継続留における長周期運動

海洋に浮体を係留すると、風、波による変動外力により、浮体に長周期の水平動揺が励起されることは周知のことである。その中で、不規則波浪中の浮体運動に着目すると、浮体の水平方向運動（Surge 又はSway）に非対称性が現われることがある¹⁾。この現象を明らかにしていくことは、浮体運動の最大値の推定、さらには最大係留力の推定を行なうにあたり、重要なことである。

運動の非対称性の発生原因としては、係留力の非線形性と漂流力の性質の2つが考えられるが、ここではその後者を調べるために、係留力は線形力として取り扱う。また漂流力は、その時々刻々の値を求めるために、浮体表面の圧力積分から求める方法をとる。このようにして求めた漂流力の時系列を $H_s u^{2)}$ の仮定による力と比較するとともに、浮体の運動のヒストグラムを調べてみる。

なお、取り扱った浮体は2次元矩形断面浮体である。

3.2.1 流体力と運動の計算方法

座標系を図3.2.1のごとくとる。ここに、

$O - Y Z$: 空間固定座標

$G - y z$: 浮体固定座標。Gは浮体重心で静止時には0と一致

である。

m を浮体表面外向き法線の単位ベクトル、 α をそのy軸とのなす角度、 φ を浮体のRollとする。またy、z方向の単位ベクトルを \vec{I} 、 \vec{J} とし、Y、Z方向のそれを \vec{I} 、 \vec{J} とする。すると、 φ を微小量であるとすると、次式が得られる。

$$\begin{aligned} m &= \cos \alpha \cdot \vec{I} + \sin \alpha \cdot \vec{J} \\ &= \cos \alpha \cdot \vec{I} + \sin \alpha \cdot \vec{J} \\ &\quad + \{ -\varphi \sin \alpha \cdot \vec{I} + \varphi \cos \alpha \cdot \vec{J} \} \\ &\quad + \{ \frac{1}{2} \varphi^2 \cos \alpha \cdot \vec{I} + \frac{1}{2} \varphi^2 \sin \alpha \cdot \vec{J} \} \\ &\quad + \dots \end{aligned} \quad (3.2.1)$$

浮体表面要素 ds が運動状態でOからみてベクトル R にあるとする。この面における圧力はベルヌイの式により

$$P(R) = -\rho g(Z-d) - \rho \frac{\partial}{\partial t} \Phi(Y, Z) - \frac{1}{2} \rho |\nabla \Phi(Y, Z)|^2 \quad (3.2.2)$$

である。この ds が、静止状態の時に、O又はGからみてベクトル R_0 の位置にあったとする。すなわち、運動 Y_G, Z_G, φ をする時 R_0 は R になるとする。この時 $P(R)$ を R_0 のまわりにテーラー展開をすることにより次式を得る。

$$P(R) = P^{(0)}(R_0) + P^{(1)}(R_0) + P^{(2)}(R_0) + \dots \quad (3.2.3)$$

ここに

$$P^{(0)}(R) = -\rho g(z-d) \quad (3.2.4)$$

$$P^{(1)}(R_0) = -\rho g(Z_G + \varphi Y) - \rho \frac{\partial}{\partial t} \Phi^{(1)}(y, z) \quad (3.2.5)$$

$$\begin{aligned} P^{(2)}(R_0) &= -\rho \frac{\partial}{\partial t} \Phi^{(2)}(y, z) \\ &\quad - \rho \left[(Y_G - \varphi Z) \frac{\partial}{\partial y} + (Z_G + \varphi Y) \frac{\partial}{\partial z} \right] \frac{\partial}{\partial t} \Phi^{(1)}(y, z) \\ &\quad - \frac{1}{2} \rho |\nabla \Phi^{(1)}(y, z)|^2 \end{aligned} \quad (3.2.6)$$

また、ここに、 ϵ を微小量パラメータとして

$$\Phi = \epsilon \Phi^{(0)} + \epsilon^2 \Phi^{(2)} + \dots \quad (3.2.7)$$

とおいている。

いま、

S_0 : 静水中における浮体浸水面積

$S_0 + S$: 波浪中における浮体浸水面積

とすると、浮体に働く流体力 F は

$$|F| = - \int_{S_0} P \cdot m \, ds - \int_S P_m \, ds \quad (3.2.8)$$

から求まるが、ここで波と運動が微小であるとして ϵ を用いて

$$F = |F^{(0)} + \epsilon |F^{(1)} + \epsilon^2 |F^{(2)} + \dots$$

$$P = |P^{(0)} + \epsilon |P^{(1)} + \epsilon^2 |P^{(2)} + \dots$$

$$m = |m^{(0)} + \epsilon |m^{(1)} + \epsilon^2 |m^{(2)} + \dots$$

のようく表わすと、 y 方向の力を表わす式として、以下の式を得る。

$$F_y^{(0)} = \int_{S_0} \rho g (z - d) \cos \alpha \, ds = 0 \quad (3.2.9)$$

$$F_y^{(1)} = \int_{S_0} \rho \frac{\partial}{\partial t} \Phi^{(1)} \cos \alpha \, ds \quad (3.2.10)$$

$$\begin{aligned} F_y^{(2)} &= \int_S \left\{ \rho g (z - d) + \rho g (Z_G + \varphi Y) + \rho \frac{\partial}{\partial t} \Phi^{(1)} \right\} \cos \alpha \, ds \\ &\quad + \int_{S_0} \rho g (Z_G + \rho \frac{\partial}{\partial t} \Phi^{(1)}) \varphi (-\sin \alpha) \, ds \\ &\quad + \int_{S_0} \left\{ \rho \left[(Y_G - \varphi Z) \frac{\partial}{\partial y} + (Z_G + \varphi Y) \frac{\partial}{\partial z} \right] \frac{\partial}{\partial t} \Phi^{(1)} \right. \\ &\quad \left. + \frac{1}{2} \rho \left| \nabla \Phi^{(1)} \right|^2 + \rho \frac{\partial}{\partial t} \Phi^{(2)} \right\} \cos \alpha \, ds \end{aligned} \quad (3.2.11)$$

(3.2.10) 式が 1 次のオーダーの波力で、いわゆる Exciting Force と Radiation Force を表わす。(3.2.11) 式が 2 次のオーダーの波力で、いわゆる波漂流力を表わす。波面を ζ 、浮体自身の質量を M 、 Z 方向係留バネ定数を K_Z として、(3.2.11) 式を整理すると、

$$\begin{aligned} F_y^{(2)} &= -\frac{\rho g}{2} \left\{ \left[\zeta - (Z_G + \varphi Y) \right]_{y=b}^2 - \left[\zeta - (Z_G + \varphi Y) \right]_{y=-b}^2 \right\} \\ &\quad - \varphi \cdot \left[M \frac{d^2}{dt^2} Z_G + K_Z Z_G \right] \\ &\quad + \int_{S_0} \left\{ (Y_G - \varphi Z) \frac{\partial}{\partial y} + (Z_G + \varphi Y) \frac{\partial}{\partial z} \right\} \frac{\partial}{\partial t} \Phi^{(1)} \cos \alpha \, ds \\ &\quad + \frac{\rho}{2} \int_{S_0} \left| \nabla \Phi^{(1)} \right|^2 \cos \alpha \, ds \\ &\quad + \rho \int_{S_0} \frac{\partial}{\partial t} \Phi^{(2)} \cos \alpha \, ds \end{aligned} \quad (3.2.12)$$

となる。この式は Faltinsen 他³⁾、Pinlester 他⁴⁾ が与えた結果と同じ結果を与える。

さて、入射波が次式のように成分波の重ね合せで与えられるとする。

$$\zeta_i(t) = \sum_{m=1}^{m_0} \zeta_m \cos (\omega_m t - k_m y + \epsilon_m) \quad (3.2.13)$$

ここに ϵ_m はランダムな位相, k_m は波数, ω_m は角周波数である。すると、1次の力 $F^{(1)}$ とそれによる浮体の運動 $X^{(1)}$ は、係留力を線形としているため、周知の方法で求めることができ。

$$F_{am}^{(1)}(t) = \sum_{m=1}^{m_0} \zeta_m F_{am}^{(1)} \cos(\omega_m t + \epsilon_m + \delta_{Fm}) \quad (3.2.14)$$

$$y_G^{(1)}(t) = \sum_{m=1}^{m_0} \zeta_m X_{am}^{(1)} \cos(\omega_m t + \epsilon_m + \delta_{Xm}) \quad (3.2.15)$$

である。ここに $(F_{am}^{(1)}, \delta_{Fm})$ は1次の波力の、また $(X_{am}^{(1)}, \delta_{Xm})$ は1次の運動の、単位振幅入射波に対する応答振幅と位相進みを意味する。

さて、2次の波力を求めるには $\dot{y}^{(2)}$ を求める必要があるが、Faltinsen 他³⁾によれば、波が狭帯域波の場合には小さい力になるので、ここでは無視することにする。すると (3.2.12) 式は計算することができて、次の型に求まる。

$$\begin{aligned} F^{(2)}(t) &= \sum_{m=1}^{m_0} \sum_{n=1}^{m_0} \zeta_m \zeta_n T_{mn}^c \cos((\omega_m - \omega_n)t + (\epsilon_m - \epsilon_n)) \\ &\quad + \sum_{m=1}^{m_0} \sum_{n=1}^{m_0} \zeta_m \zeta_n T_{mn}^s \sin((\omega_m - \omega_n)t + (\epsilon_m - \epsilon_n)) \end{aligned} \quad (3.2.16)$$

ただし、ここに $(\omega_m + \omega_n)t$ の成分は浮体の運動に影響を及ぼさない高周波数の力として省略している。 T_{mn}^c と T_{mn}^s は漂流力の応答関数のごときものであって、 ω_m と ω_n の成分の波によるこれらの値を求めておけば、漂流力の時系列は (3.2.16) 式から求めることができる。

$F^{(2)}(t)$ による運動は、係留力が線形であることと、 $F^{(2)}(t)$ が (3.2.16) 式の形をしていることから、

(3.2.15) 式と同様の方法で求められるが、今回は計算プログラム上の都合から

$$(M + A(\omega_N)) \ddot{y}_G^{(2)} + B(\omega_N) \dot{y}_G^{(2)} + K_y y_G^{(2)} = F^{(2)}(t) \quad (3.2.17)$$

にて求める。ここで

$A(\omega_N)$: 固有周期における流体付加質量

$B(\omega_N)$: " 減衰係数

K_y : 水平方向バネ定数

である。

また $F^{(1)}(t)$ による運動 $y_G^{(1)}$ は (3.2.15) 式から求める。

よって、全体の運動は、次式になる。

$$y_G = y_G^{(1)} + y_G^{(2)} \quad (3.2.18)$$

3.2.2 計算結果と考察

(1) 調査対象モデル

$\dot{y}^{(2)}$ の効果は小さいという仮定が保たれるよう、浮体モデルとして図 3.2.2 に示す Faltinsen 他³⁾のモデルを採用する。ただし、水深は 300m とする。またバネ定数 K_y は任意にとる。

入射波のスペクトルとしては ISSC 型スペクトルを選び有義波高を 8m とする。その時のスペクトルが図 3.2.3 に示してある。これを同図中に示してあるように 20 成分に分割し、(3.2.13) 式により不規則波を作成する。

なお、流体力の計算には級数展開法（領域分割法）⁵⁾を用いる。

(2) 規則波中の浮体の運動と波漂流力

参考のため、無係留時の浮体の規則波中における運動と波漂流力を図3.2.4から3.4.7に示す。流体力計算のプログラムの精度については、SR179の計算例との比較により調べてみた。その結果を表3.2.1に示すが、本法の流体力は十分な精度を有する。なお、表中の記号はSR179報告書⁶⁾を参照いただきたい。図3.2.7の漂流力のうち、黒丸は(3.2.12)式から求めたもの、すなわち浮体表面の圧力積分から求めたものである。実線は丸尾⁷⁾の反射波高から求める方法による結果である。この図から、 $\hat{\omega} = 0.8$ で両者に差異がみられるものの、全体的にはよく一致しているといえる。Faltinsen他³⁾による表面圧力積分結果を三角印で示しておく。

(3) T_{mn}^c と T_{mn}^s

無係留時の T_{mn}^c と T_{mn}^s の結果の一部を表3.2.2と3.2.3に示す。Faltinsen他³⁾は T_{mn}^s は小さく \sin 成分は無視してもよいとしているが、この表の結果をみるとそもそも言えないことがわかる。特に ω が大きい所でそれが顕著である。 \sin 成分が ω が大きい所で無視できない事実は以下の考察で裏づけられよう。

すなわち、 ω が大きい所では浮体の運動は微小で入射波がほぼ完全に反射してしまうことから、図3.2.8に示すような垂直壁による反射として近似することができる。この場合の速度ポテンシャルは解析的に決定され、漂流力も容易に求めることができる。まず、入射波のポテンシャルを

$$\Psi_i = \operatorname{Re} \left\{ i \frac{g}{\omega} \zeta_a \frac{\cosh k(z+h)}{\cosh kh} e^{i(\omega t+kx)} \right\} \quad (3.2.19)$$

とおくと、反射波のそれは、

$$\Psi_r = \operatorname{Re} \left\{ i \frac{g}{\omega} \zeta_a \frac{\cosh k(z+h)}{\cosh kh} e^{i(\omega t-kx+2k\ell)} \right\} \quad (3.2.20)$$

となる。従って、壁面での波面 ζ と水粒子速度 v は以下のようなになる。

$$\zeta_{x=\ell} = \operatorname{Re} \left\{ 2 \zeta_a e^{i(\omega t+k\ell)} \right\} \quad (3.2.21)$$

$$\begin{aligned} v_{x=\ell} &= \operatorname{Re} \left\{ \frac{\alpha}{\alpha z} (\Psi_i + \Psi_r) \right\} \\ &= \operatorname{Re} \left\{ i \frac{g}{\omega} \cdot 2 \zeta_a \cdot \frac{k \sinh k(z+h)}{\cosh kh} e^{i(\omega t+k\ell)} \right\} \end{aligned} \quad (3.2.22)$$

今、 ω_1 と ω_2 の波が同時にきたとして、(3.2.12)式より漂流力を計算すると結局次の式を得る。つまり、入射波を

$$\zeta_i = \zeta_{a1} \cos(\omega_1 t + k_1 x) + \zeta_{a2} \cos(\omega_2 t + k_2 x + \epsilon_2) \quad (3.2.23)$$

とすると

$$\begin{aligned} F_y^{(2)} &= -\frac{\rho g}{2} \zeta_{x=\ell}^2 + \frac{\rho}{2} \int_{-h}^0 v_{x=\ell}^2 dz \\ &= -\frac{\rho g}{2} \left\{ 2\zeta_{a1}^2 + 2\zeta_{a2}^2 + 4\zeta_{a1}\zeta_{a2} \cos((\omega_1 - \omega_2)t + (k_1 - k_2)\ell - \epsilon_2) \right\} \\ &\quad + \frac{\rho}{2} \left\{ \left(\frac{1}{8k_1} \sinh 2k_1 h - \frac{h}{2} \right) \alpha_1^2 + \left(\frac{1}{8k_2} \sinh 2k_2 h - \frac{h}{2} \right) \alpha_2^2 \right. \\ &\quad \left. + \alpha_1 \alpha_2 \left[\frac{\sinh(k_1 + k_2)h}{2(k_1 + k_2)} - \frac{\sinh(k_1 - k_2)h}{2(k_1 - k_2)} \right] \right. \\ &\quad \left. \times \cos((\omega_1 - \omega_2)t + (k_1 - k_2)\ell - \epsilon_2) \right\} \end{aligned} \quad (3.2.24)$$

ここに

$$d_n = -\frac{g}{\omega} \cdot 2 \zeta_a n \cdot \frac{k_n}{\cosh k_n h}, \quad n = 1, 2 \quad (3.2.25)$$

である。また、(3.2.24)式で $\omega_1 + \omega_2$ の成分は省略している点に注意されたい。

(3.2.24)式は、要するに

$$F_y^{(2)} = \cos st + A \cos [(\omega_1 - \omega_2)t + (k_1 - k_2)\ell - \epsilon_2] \quad (3.2.26)$$

の形であり、これは

$$\begin{aligned} F_y^{(2)} &= \cos st + A \cos [(k_1 - k_2)\ell] \times \cos [(\omega_1 - \omega_2)t - \epsilon_2] \\ &\quad - A \sin [(k_1 - k_2)\ell] \times \sin [(\omega_1 - \omega_2)t - \epsilon_2] \end{aligned} \quad (3.2.27)$$

であるから、 $(k_1 - k_2)\ell$ の値により、sin成分とcos成分の大小関係が定まることがわかる。よって、

表3.2.2と3.2.3において、 ω の大きい所でsin成分も無視できない値になることが了解される。

(4) 2成分波中の漂流力の時系列

波周波数 ω_1 と ω_2 の成分をもつ2成分波を考える。簡単化のため、成分波の波振幅が等しい場合を考える。すなわち2成分波は

$$\begin{aligned} \zeta &= \zeta_a \cos(\omega_1 t + \epsilon_1) + \zeta_a \cos(\omega_2 t + \epsilon_2) \\ &= 2 \zeta_a \cos\left(\frac{\omega_1 - \omega_2}{2}t + \frac{\epsilon_1 - \epsilon_2}{2}\right) \cos\left(\frac{\omega_1 + \omega_2}{2}t + \frac{\epsilon_1 + \epsilon_2}{2}\right) \end{aligned} \quad (3.2.28)$$

であるとする。

今、 $\zeta_a = 20 \text{ m}$ とし、 ω_1 と ω_2 の組合せを変えると図3.2.9～図3.2.10に示すとき波が得られる。それらの波による漂流力も同図中に示す。実線（曲線）が本法である（3.2.1.6）式より求めたものである。一方、階段状の実線は $H_{su}^{(2)}$ の方法から求めた漂流力で、よく使われるものである。

これら2種類の力を比較してみると、漂流力の振幅においては両者ともほぼ同一と考えられるが、その力の位相の面をみると、 ω_1 と ω_2 の組合せによっては両者の力の違いが明らかになる。この2種類の力の相互の位相の差は、 $y_G^{(1)}$ に対する $y_G^{(2)}$ の位相の差異となって現われるから、その和である y_G の統計的性質を調べる場合には注意を要する点である。すなわち、sin成分 T_m^s を無視すべきではないと思われる。

(5) 不規則波中における y_G とその分布

波のスペクトルは、前出の図3.2.3のごとくである。表3.2.4に示すケースについて、それぞれ4,242秒の時系列を求めた。その時系列を図3.2.12～16に示す。図中、 ζ は波、 $F_y^{(2)}$ は波漂流力、 $y_G^{(2)}$ は漂流力による運動成分、 y_G は $y_G^{(2)}$ と一次の運動 $y_G^{(1)}$ との和でトータルの水平運動をそれぞれ意味する。また、運動の時系列の分布と、その極値の分布を図3.2.18～22に示す。これらの図の見方は図3.2.17に示してある。

これらの結果によると以下のことがわかる。

ケース1,2,3は係留バネ力を順に弱くしていった場合であるが、ケース1では $y_G^{(2)}$ よりも $y_G^{(1)}$ が大きく、ケース2ではそれぞれが同程度、ケース3では $y_G^{(2)}$ が $y_G^{(1)}$ よりも大きくなっている。ヒストグラムの図からもわかるように、ケース3では $y_G^{(2)}$ が卓越し、正弦波的な特徴が現われている。これらのケースには、その分布において、有意な非対称性はみられない。

ケース4は、ケース3に対して水平動搖の減衰力を増やした場合である。周知のごとく、完全流体の仮定のもとに計算した減衰力は実際よりもかなり小さく求まり、浮体の固有周期付近の運動を求め

る際には何んらかの修正を必要とするが、その修正法は現在のところ確定していない。そこで、ここでは、2次元矩形断面浮体についての実験的修正係数¹⁾を用いることにした。それが表3.2.4に示されている値であり、この△Bを(3.2.17)式のB(ω_n)に加えた結果がケース4である。この結果、 $y_G^{(2)}$ が小さくなり、 $y_G^{(1)}$ と同程度になったことがわかるが、この時、図3.2.2.1からわかるように、 $y_G^{(1)}$ と $y_G^{(2)}$ にそれほど強く見られない運動の非対称性が、それぞれの和である y_G にはより強く現われていることが認められる。

ケース5は、ケース4に対して乱数である位相 ϵ_m の組み合せを変えたものである。これもケース4と同様の傾向がみられ、 y_G の非対称性がさらにはっきりと現われていることがわかる。

今回は計算のケースが少ないので、今後、より多くのケースを計算し、それを整理する必要があるけれども、今回の結果をまとめると以下のようになる。 $y_G^{(1)}$ と $y_G^{(2)}$ が同程度の大きさの運動をする時で固有周期が比較的長い場合に、 y_G の非対称性が大きくなる傾向がみられる。この y_G の非対称性は $y_G^{(2)}$ のそれよりも強い。 $y_G^{(1)}$ はほぼ対称性を有する現象であることから、これは、 $y_G^{(1)}$ と $y_G^{(2)}$ の間に何らかの相関がありそれを無視できない、ということを意味する。

以上、 y_G に非対称性のあることが確認されたので、今後、その非対称性の程度を定量的に把握するための調査が必要と思われる。

参 考 文 献

- 1) 新井信一、他：不規則波中の係留浮体の運動に関する研究、日本造船学会論文集、第140号、1976
- 2) Hsu, F. A. et al. : Analysis of Peak Mooring Forces by Slow Vessel Drift Oscillation in Random Seas, OTC 1959, 1970
- 3) Faltinsen, O. M. et al. : Slow Drift Oscillation of a Ship in Irregular Waves, Applied Ocean Research, Vol. 1, No. 1, 1979
- 4) Pinkster, J. A. et al. : Computation of the First and Second Order Wave Forces on Oscillating Bodies in Regular Waves, Proc. 2nd Int. Conf. Numerical Ship Hydrodynamics, Berkley, 1977
- 5) 新井信一：箱型浮体の運動の簡易計算方法、土木学会第33回年次学術講演概要集 第2部、1978
- 6) SRI 79 : 箱型海洋構造物の運動特性及び係留システムに関する研究報告書、研究資料No 346、昭和57年3月
- 7) Maruo, H. : The Drift of a Body Floating on Wave, J. of Ship Research, Vol. 4, No. 3, 1960

表3.2.1 「SR 179- 表2.1.3.13 2次元流体力テーブル」との比較

ξ_B	\bar{M}_H	\bar{N}_H	\bar{M}_S	\bar{N}_S	\bar{M}_R	\bar{N}_R	\bar{M}_{SR}	\bar{N}_{SR}
0.10	1.829 (1.835)	6.952 (6.958)	0.787 (0.790)	0.313 (0.311)	0.387 (0.388)	0.069 (0.069)	-0.230 (-0.228)	-0.145 (-0.146)
0.40	1.888 (1.894)	3.071 (3.071)	0.558 (0.560)	0.472 (0.474)	0.323 (0.324)	0.083 (0.082)	-0.103 (-0.101)	-0.198 (-0.197)
1.00	2.056 (2.062)	1.407 (1.405)	0.298 (0.300)	0.494 (0.496)	0.279 (0.281)	0.047 (0.047)	0.014 (0.016)	-0.153 (-0.152)

() が本法の値

表3.2.1 の続き

ξ_B	\bar{E}_H	ϵ_H	\bar{E}_S	ϵ_S	\bar{E}_R	ϵ_R
0.10	1.905 (1.905)	-16.9 (-16.9)	0.404 (0.403)	-80.6 (-80.6)	0.189 (0.189)	99.4 (99.4)
0.40	1.632 (1.632)	-36.1 (-36.2)	0.640 (0.642)	-77.0 (-77.0)	0.268 (0.267)	103.0 (103.1)
1.00	1.158 (1.157)	-66.0 (-66.0)	0.686 (0.687)	-85.9 (-85.9)	0.212 (0.211)	94.1 (94.1)

() が本法の値

表3.2.2 $T_{mn}^c / \rho g$

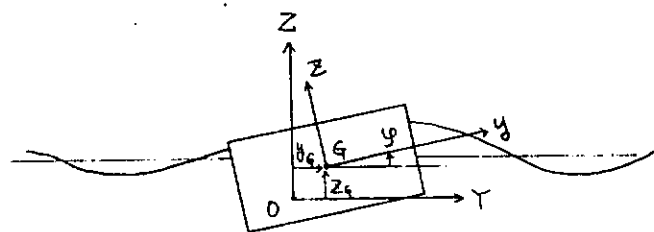
$\hat{\omega}_m \backslash \hat{\omega}_n$	2.0	1.5	1.1	1.0	0.8	0.7	
2.0	-0.495	0.044	0.412	0.446	0.347	0.138	0.79
1.5	0.044	-0.461	-0.275	-0.222	-0.247	0.035	1.40
1.1	0.412	-0.275	-0.364	-0.351	-0.387	-0.340	2.60
1.0	0.446	-0.222	-0.351	-0.346	-0.407	-0.162	3.14
0.8	0.347	-0.247	-0.387	-0.407	-0.538	-0.328	4.90
0.7	0.138	0.035	-0.340	-0.162	-0.328	-0.133	6.37
	0.79	1.40	2.60	3.14	4.90	6.37	$\lambda_m / 2\ell$

表3.2.3 $T_{mn}^s / \rho g$

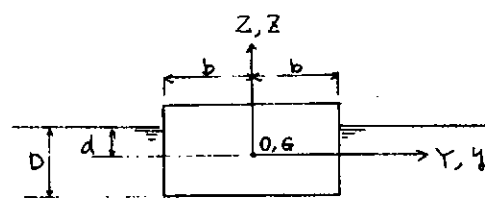
$\hat{\omega}_m \backslash \hat{\omega}_n$	2.0	1.5	1.1	1.0	0.8	0.7	
2.0	0	0.500	0.292	0.231	0.262	0.669	0.79
1.5	-0.500	0	0.330	0.360	0.283	0.184	1.40
1.1	-0.292	-0.330	0	0.089	0.023	-0.033	2.60
1.0	-0.231	-0.360	-0.089	0	-0.024	-0.095	3.14
0.8	-0.262	-0.283	-0.023	0.024	0	-0.125	4.90
0.7	-0.669	-0.184	0.033	0.095	0.125	0	6.37
	0.79	1.40	2.60	3.14	4.90	6.37	$\lambda_n / 2\ell$

表3.2.4 不規則波中の運動の計算ケース

	$\omega_N = \sqrt{K_y/M + A(\omega_N)}$ (ω_N)	$\Delta B/M\sqrt{2g/B}$
ケース 1	0.791 rad/s (0.253)	0
ケース 2	0.618 rad/s (0.197)	0
ケース 3	0.412 rad/s (0.132)	0
ケース 4	0.412 rad/s (0.132)	0.1
ケース 5	0.412 rad/s (0.132)	0.1
備考 1	ランダムな位相 ϵ_m [(3.2.13)式] の組合せは ケース 1 ~ ケース 4 は同じ, ケース 5 は異なる。	
備考 2	K_y : y 方向の係留バネ定数, M : 浮体の質量, A : 付加質量 , ΔB : 付加減衰力係数, g : 重力加速度 , B : 浮体全幅	



[運動状態]



[静止状態]

図 3.2.1 座標系

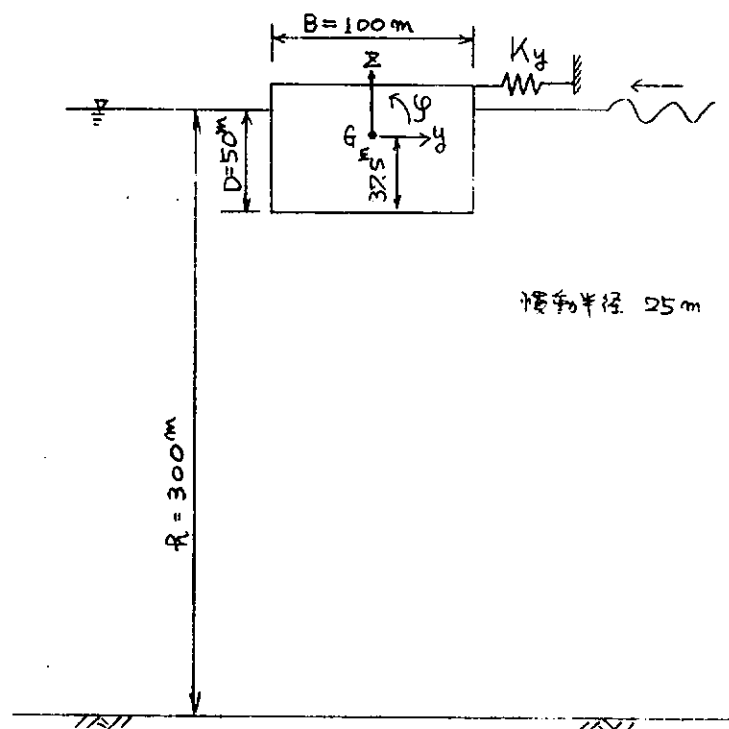
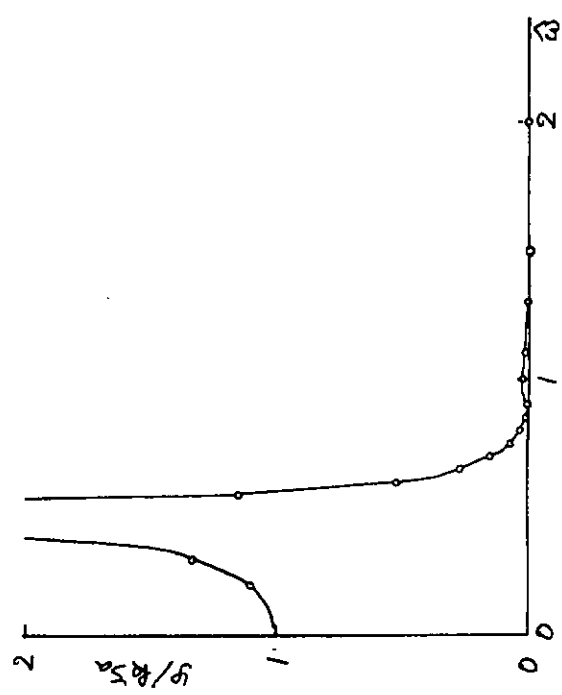
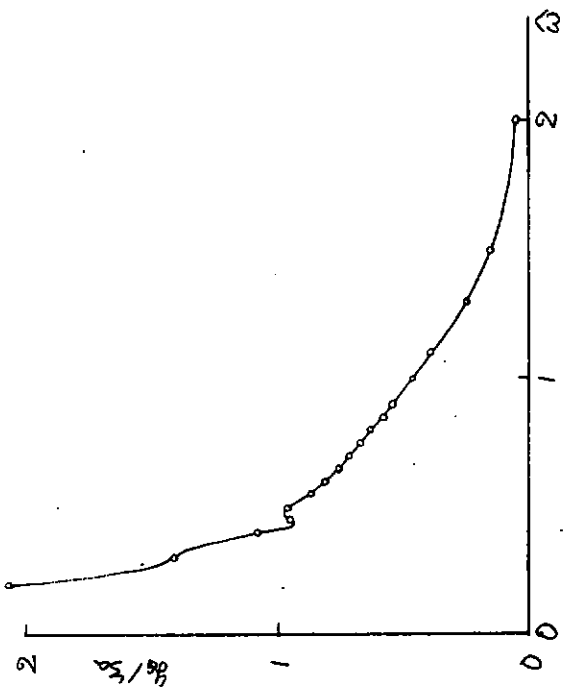
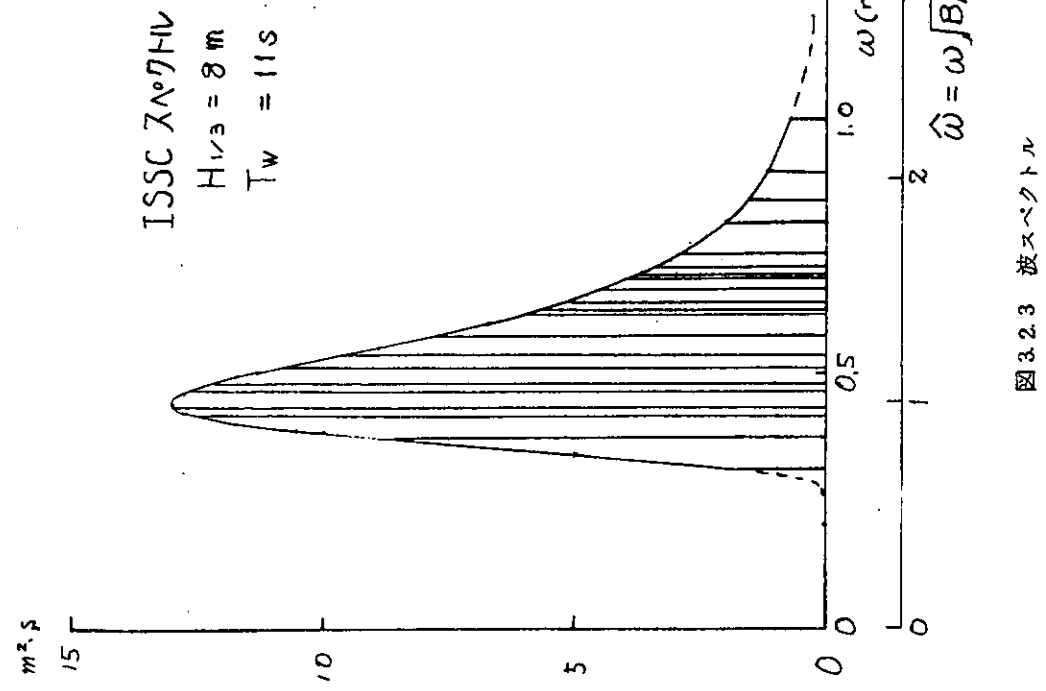


図 3.2.2 計算モデル



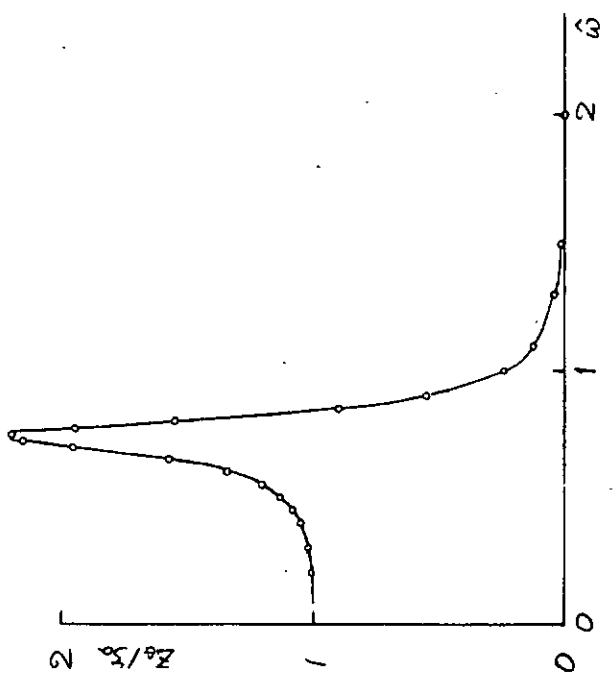


図 3.2.6 Heave の振幅

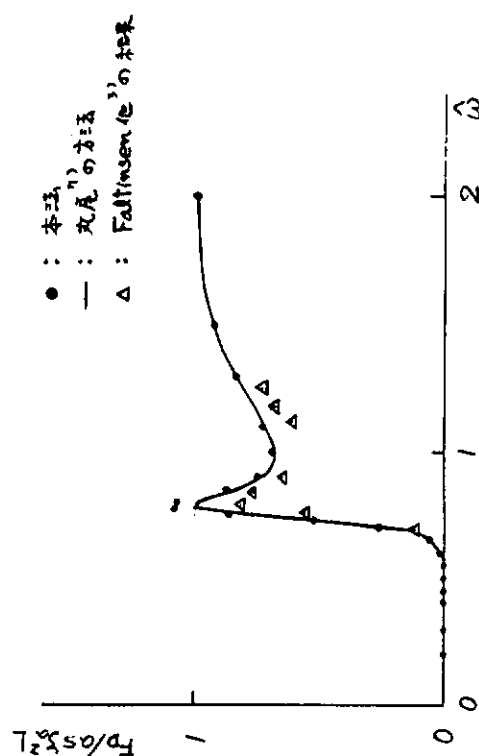


図 3.2.7 波抵抗力

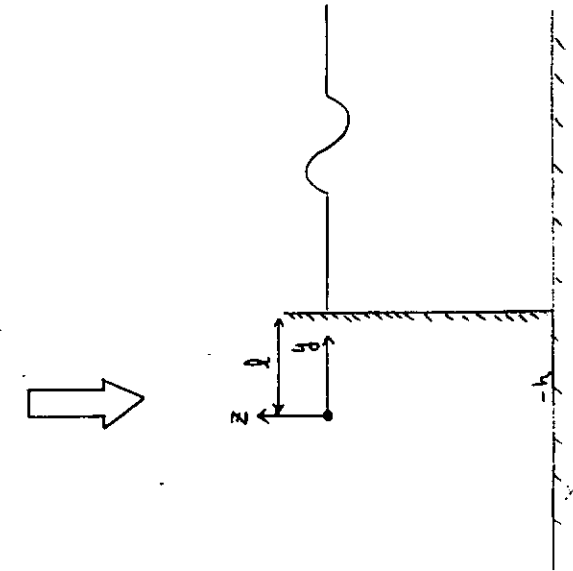
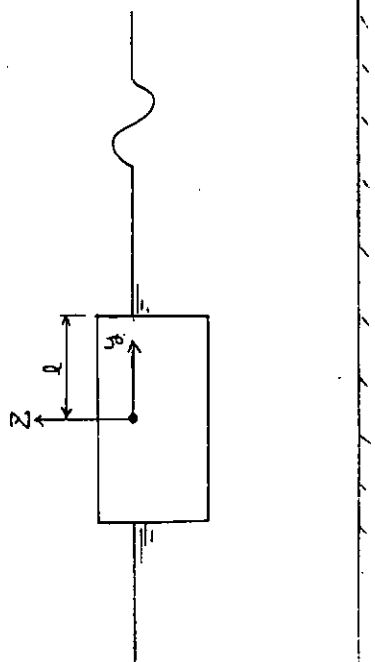


図 3.2.8 短波長でのモデルの置換

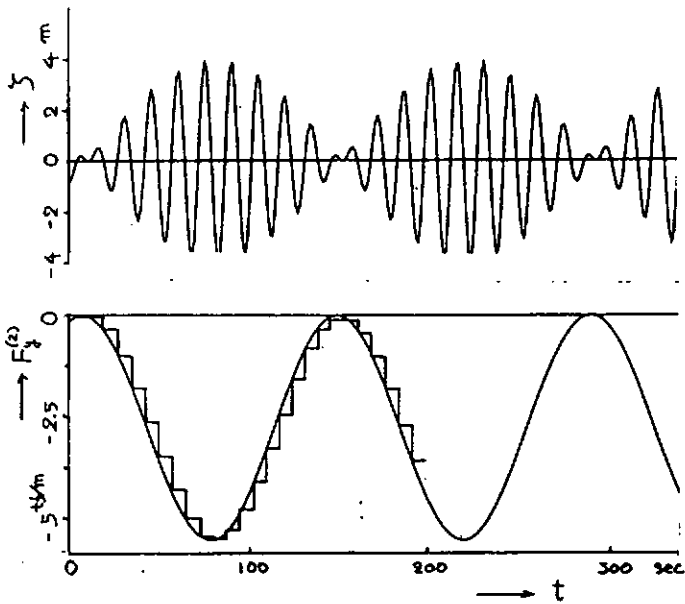


図 3.2.9 2成分波と波漂流力
($\hat{\omega}_1=0.9$, $\hat{\omega}_2=1.0$)

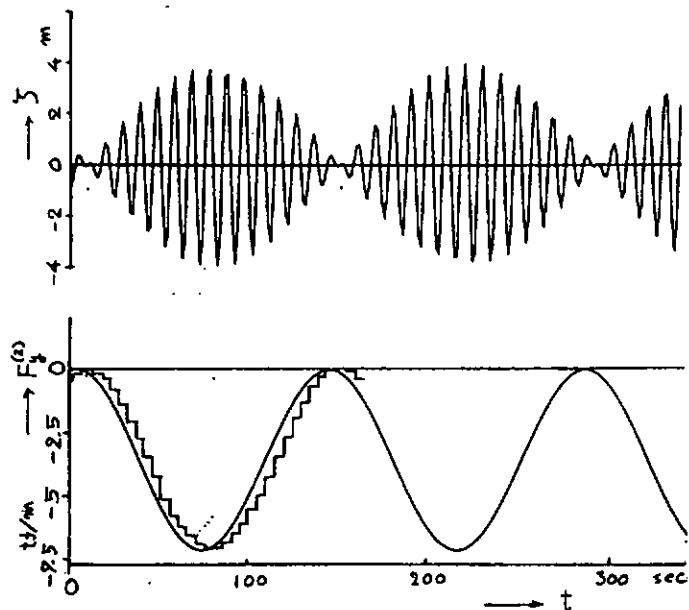


図 3.2.10 2成分波と波漂流力
($\hat{\omega}_1=1.4$, $\hat{\omega}_2=1.5$)

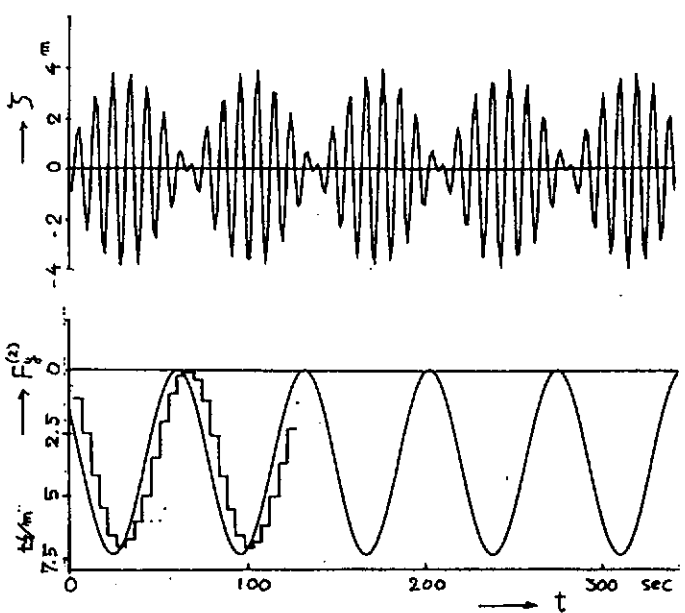


図 3.2.11 2成分波と波漂流力
($\hat{\omega}_1=1.4$, $\hat{\omega}_2=1.6$)

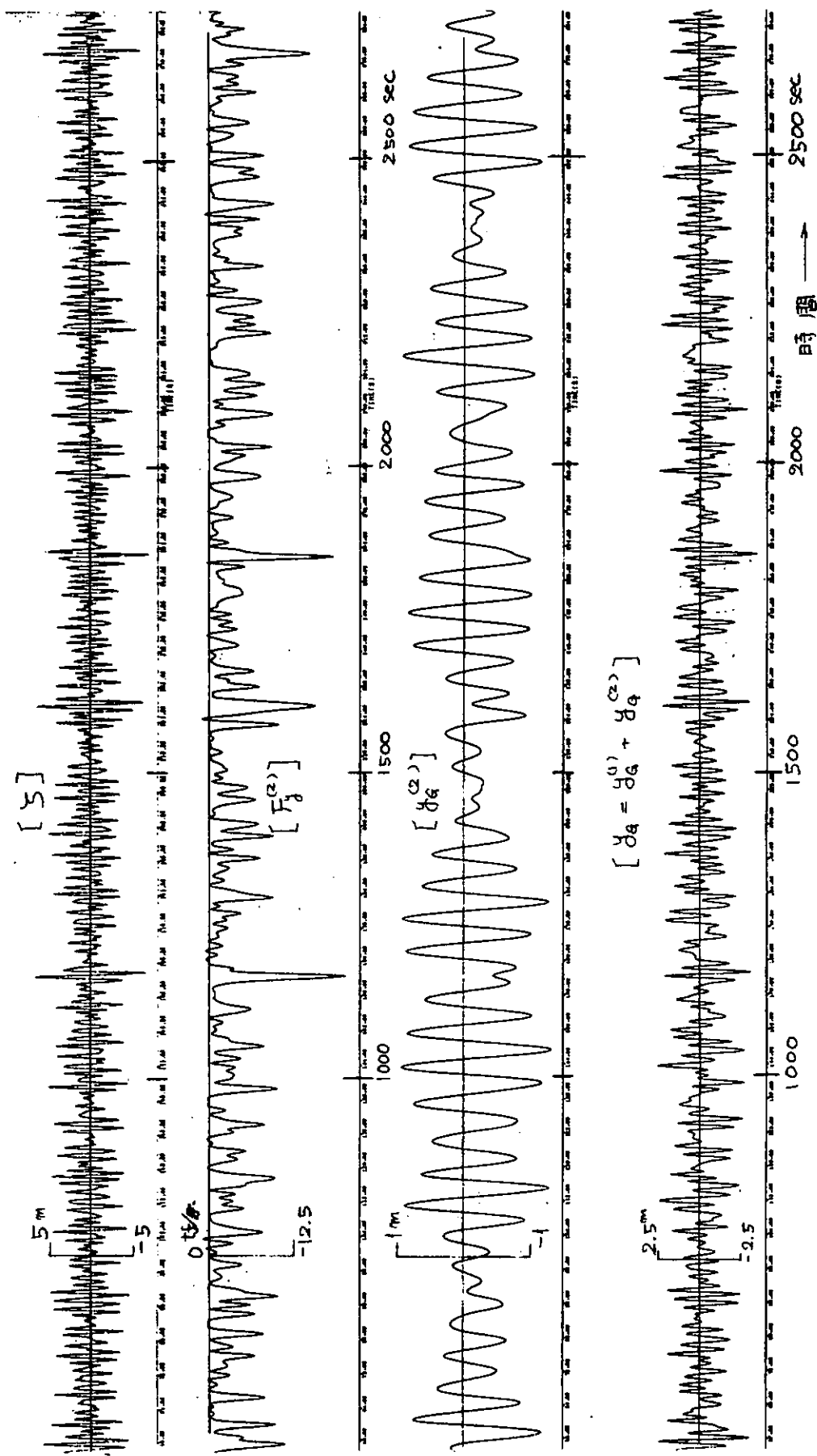


図 3.2.12 ケース 1, 時系列

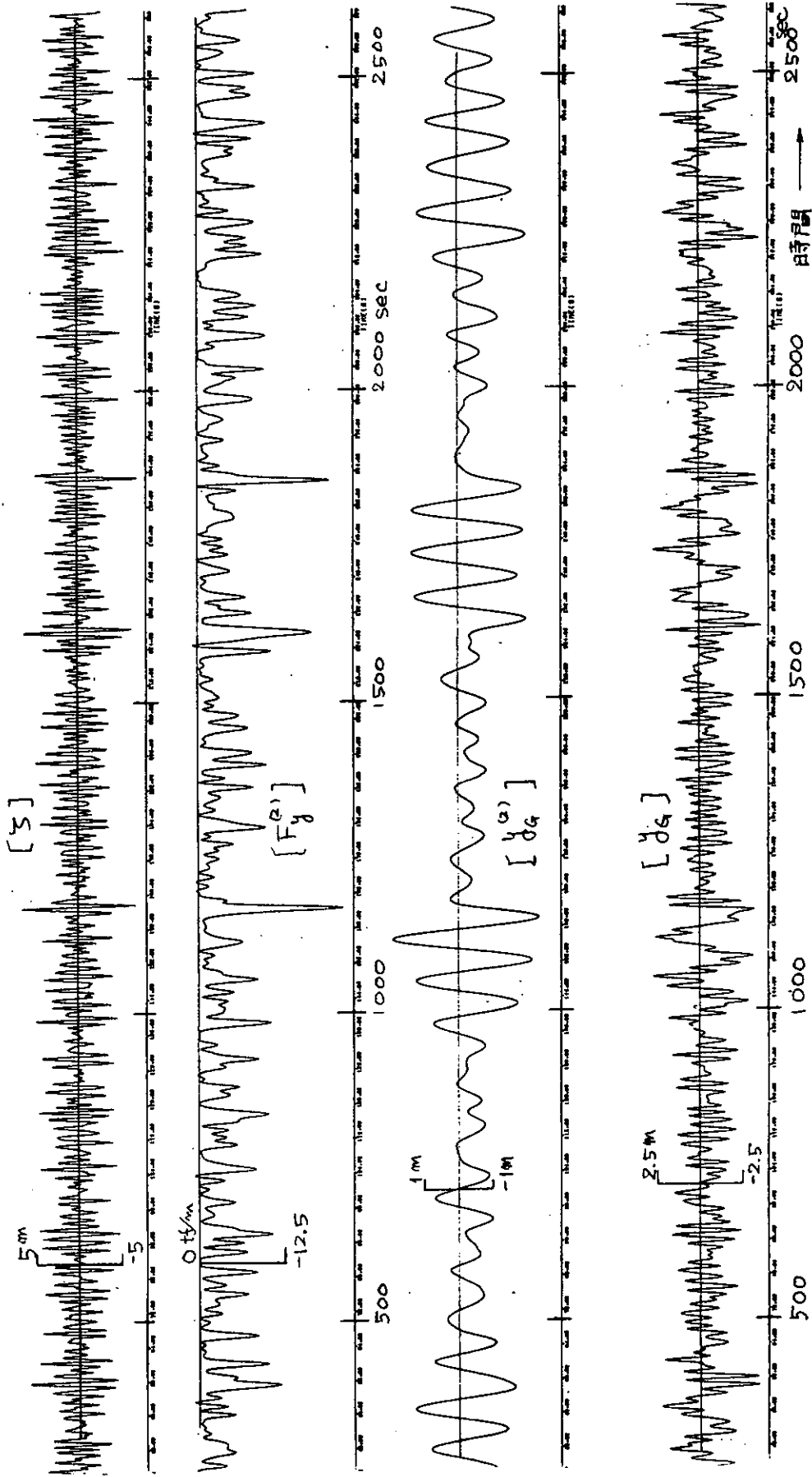


図 3.2.13 ケース 2, 時系列

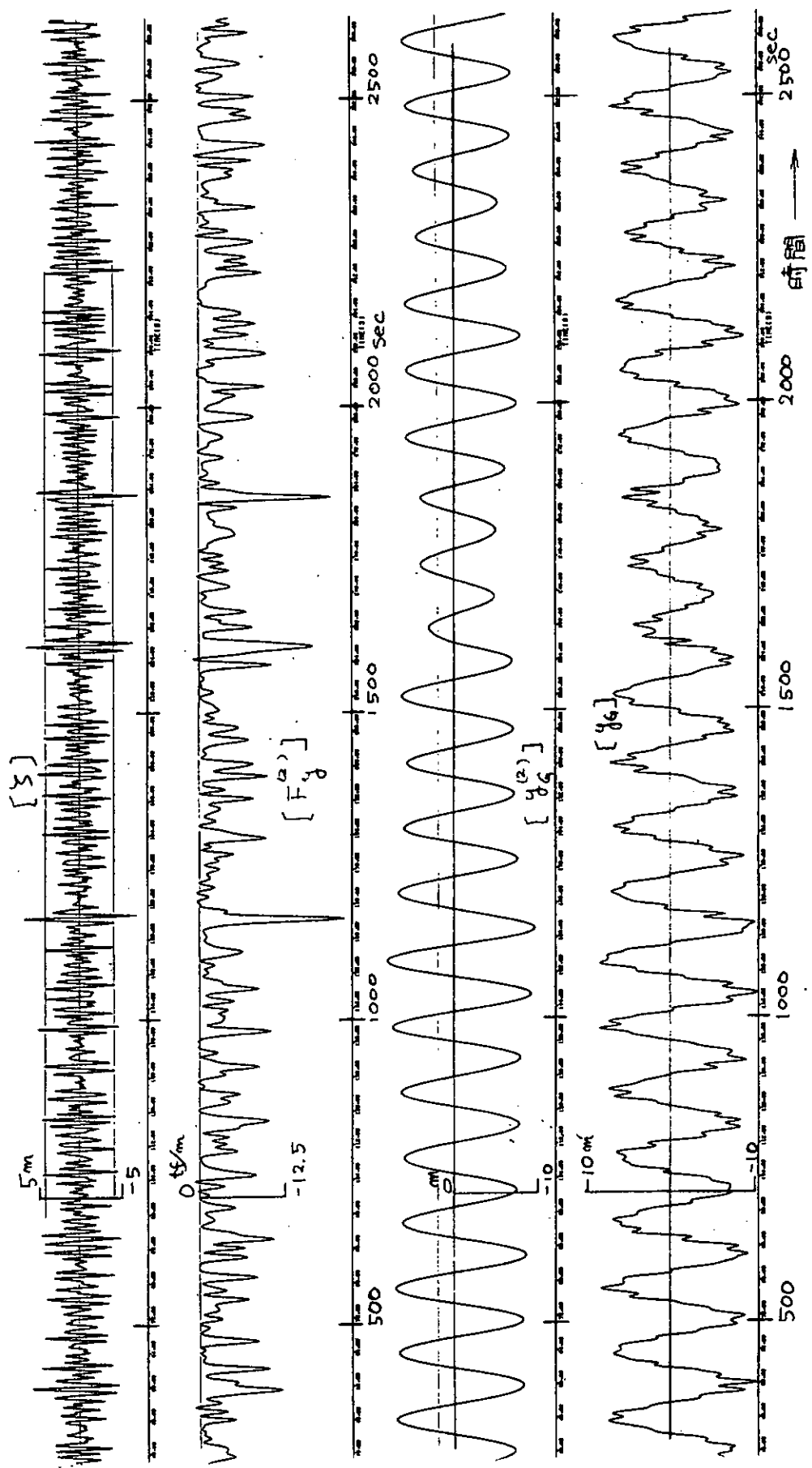


図 3.2.14 ケース3, 時系列

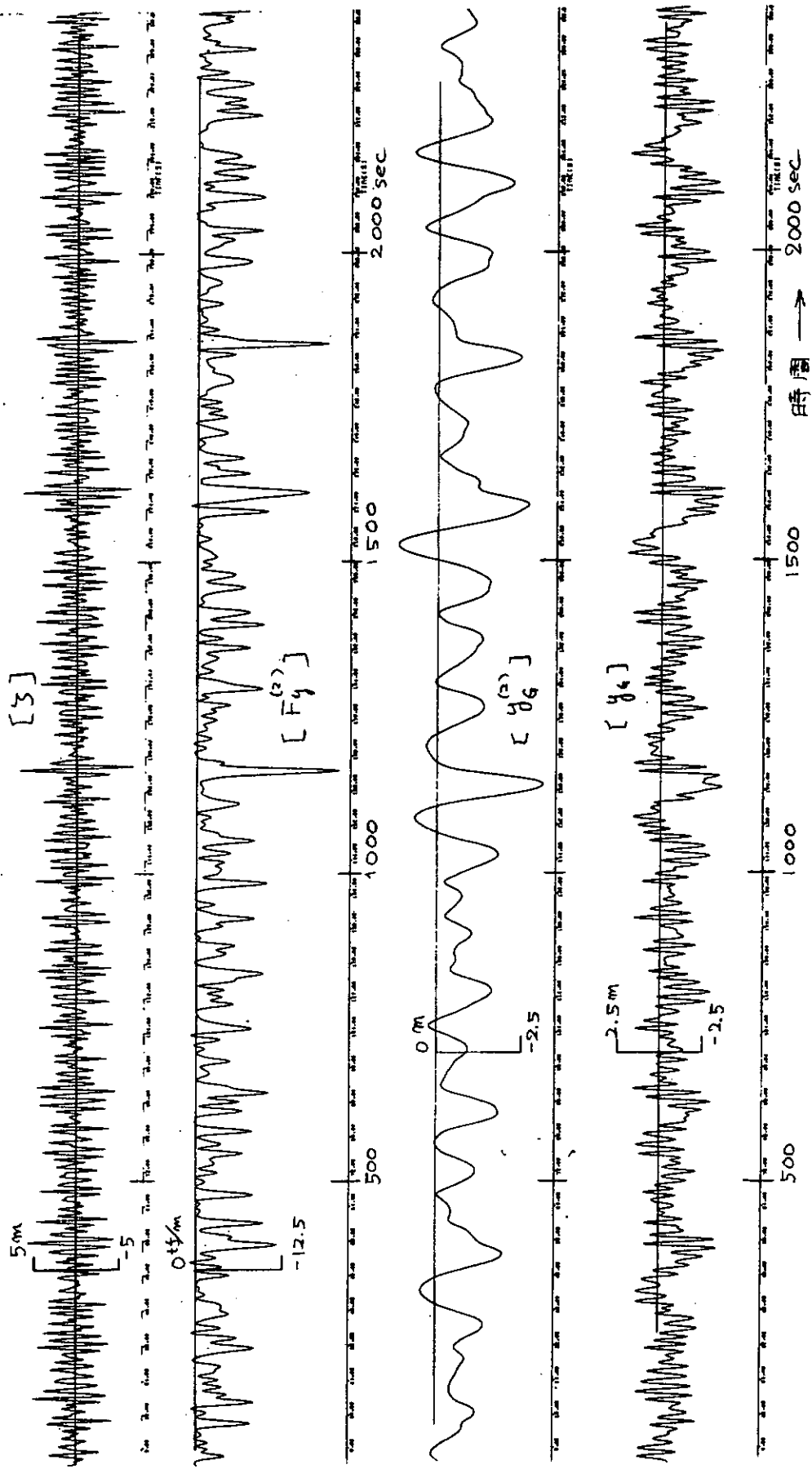


図 3.2.15 ケーブル4, 時系列

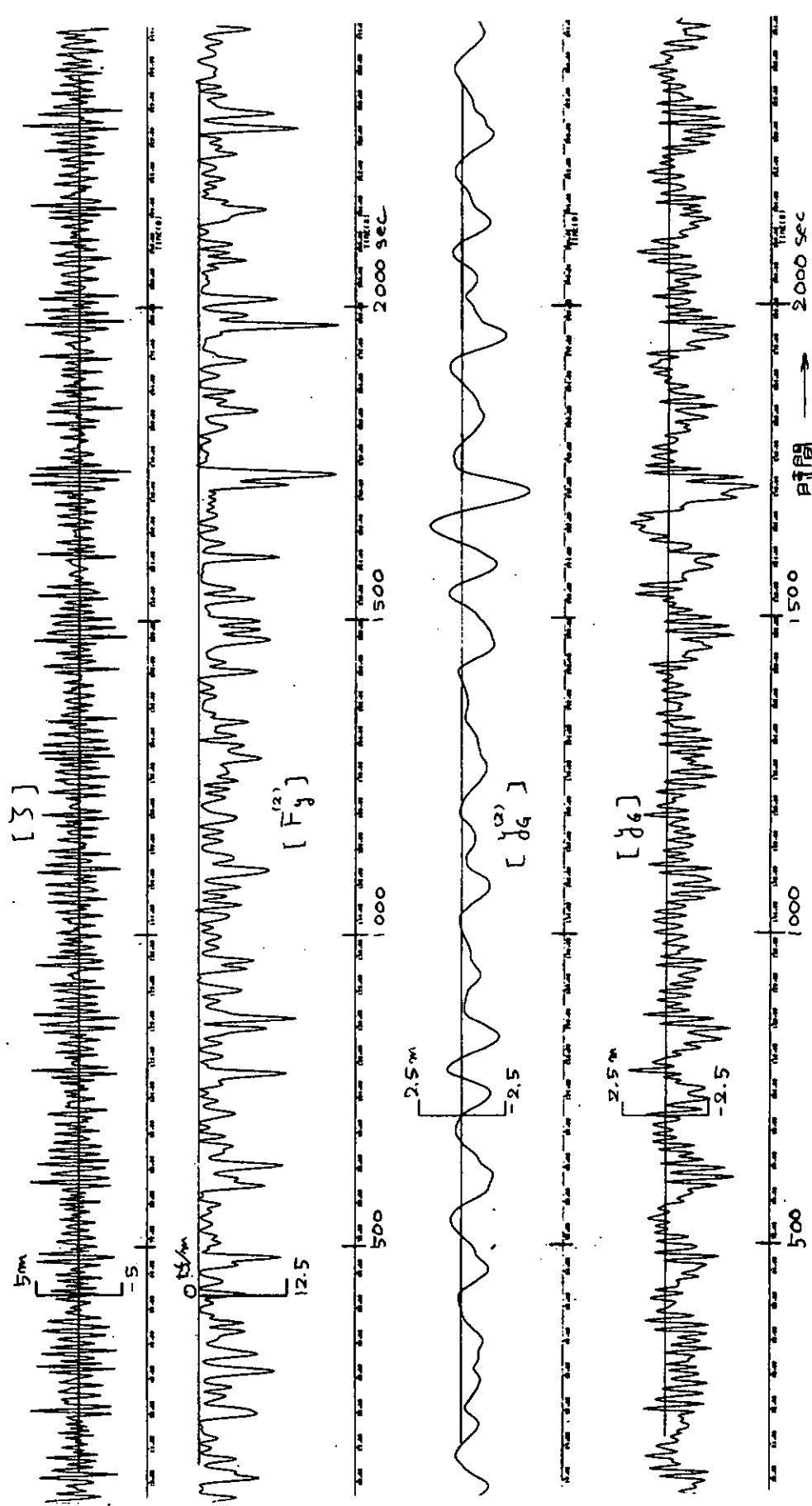


図 3.2.16 ケース 5, 時系列

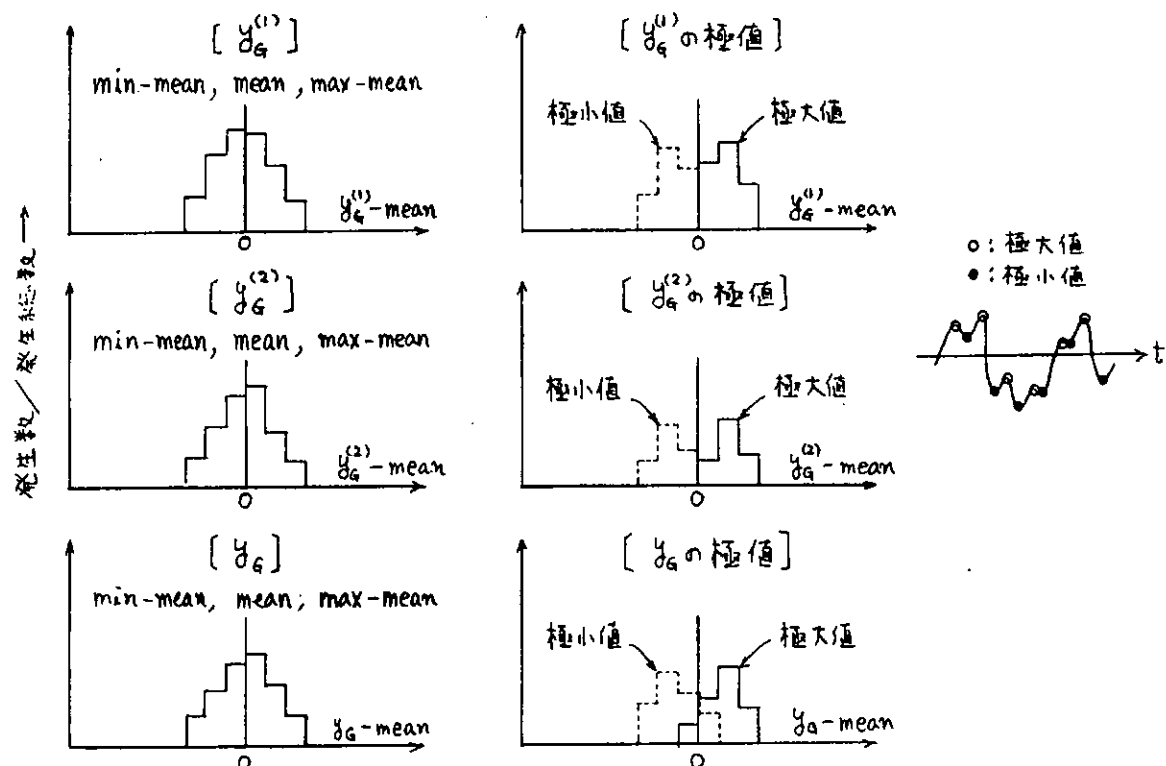


図 3.2.17 分布図の見方

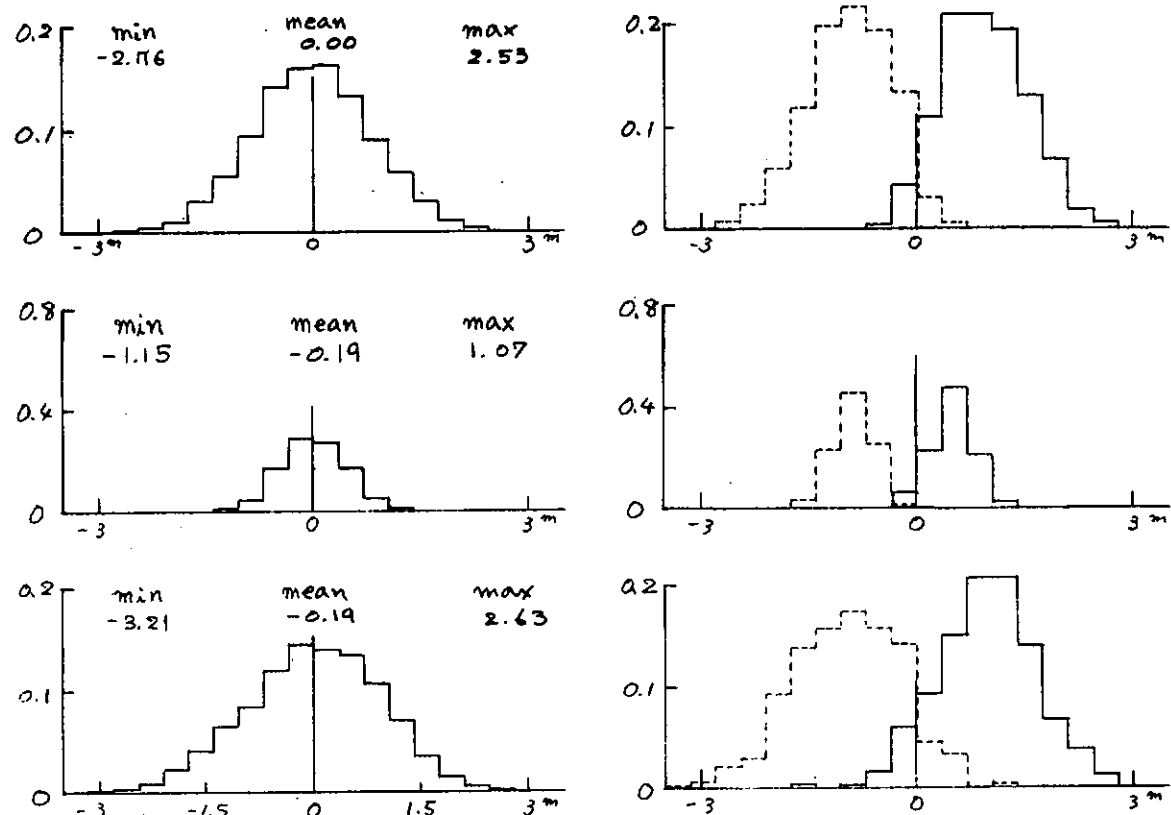


図 3.2.18 ケース1, 分布図

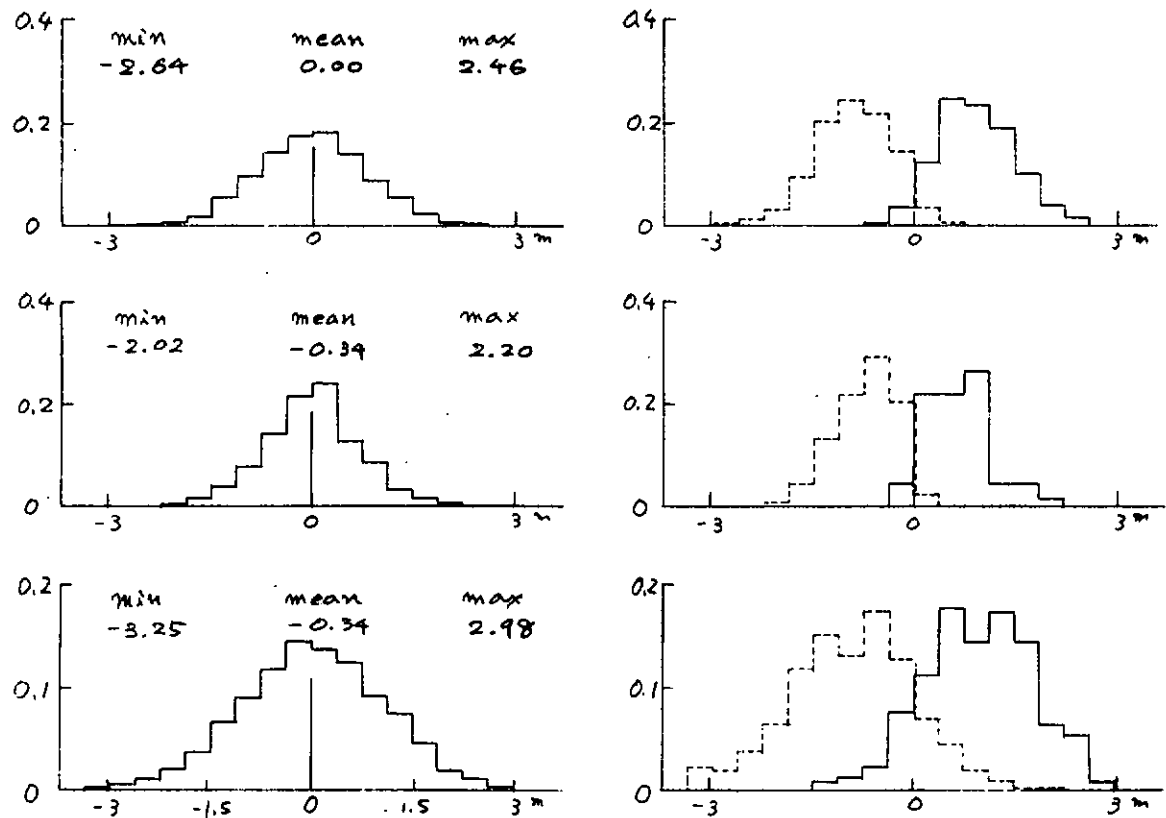


図 3.2.19 ケース 2, 分布図

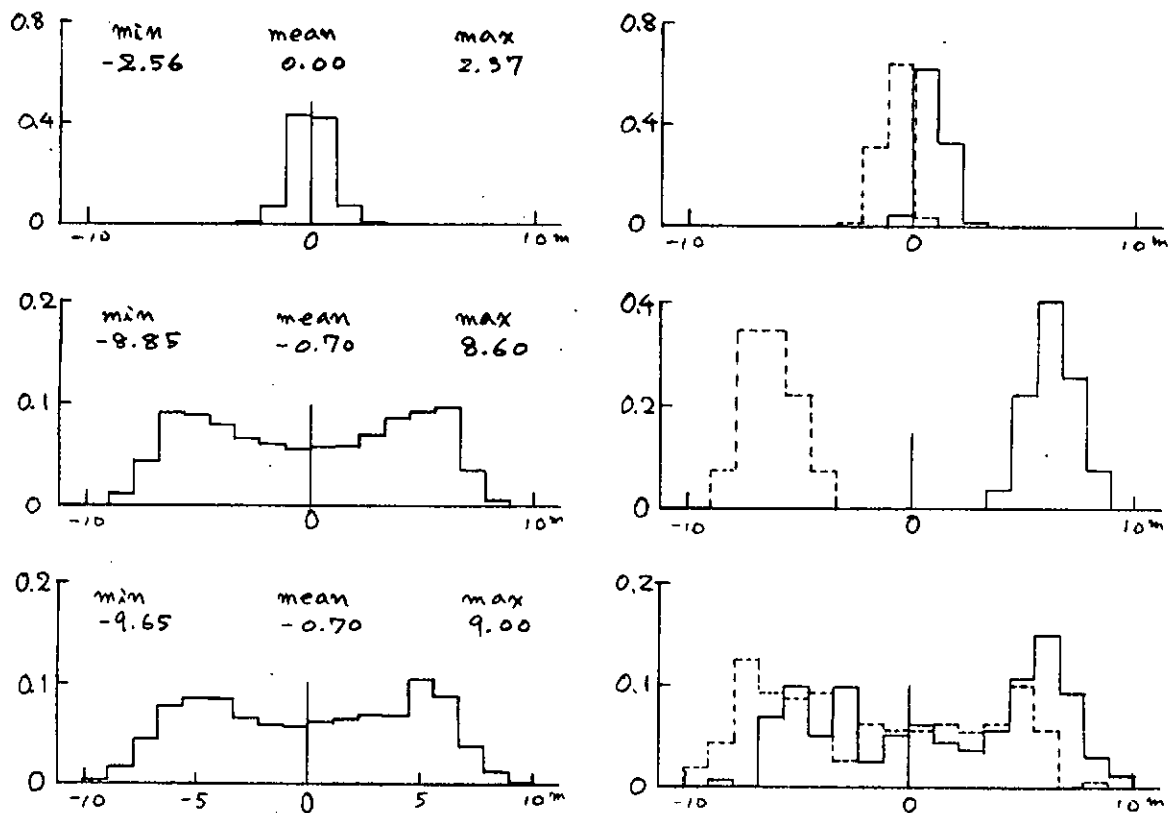


図 3.2.20 ケース 3, 分布図

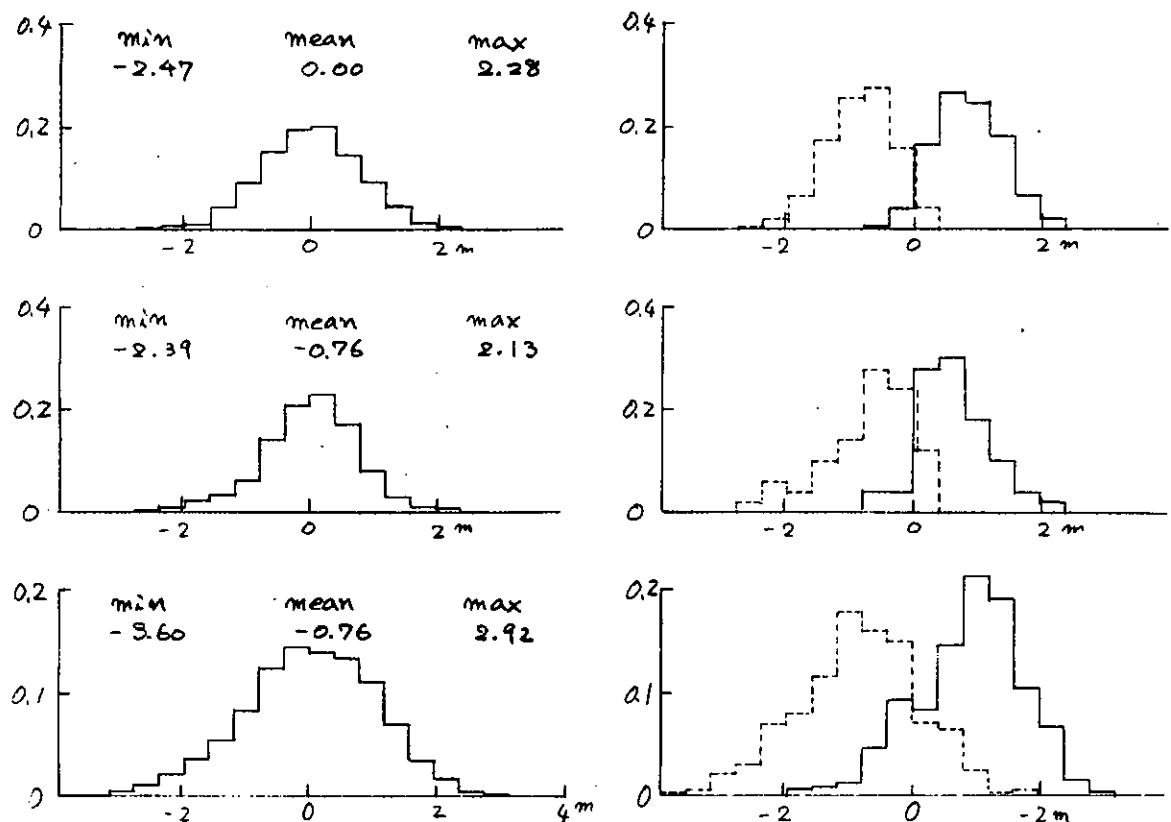


図 3.2.21 ケース 4, 分布図

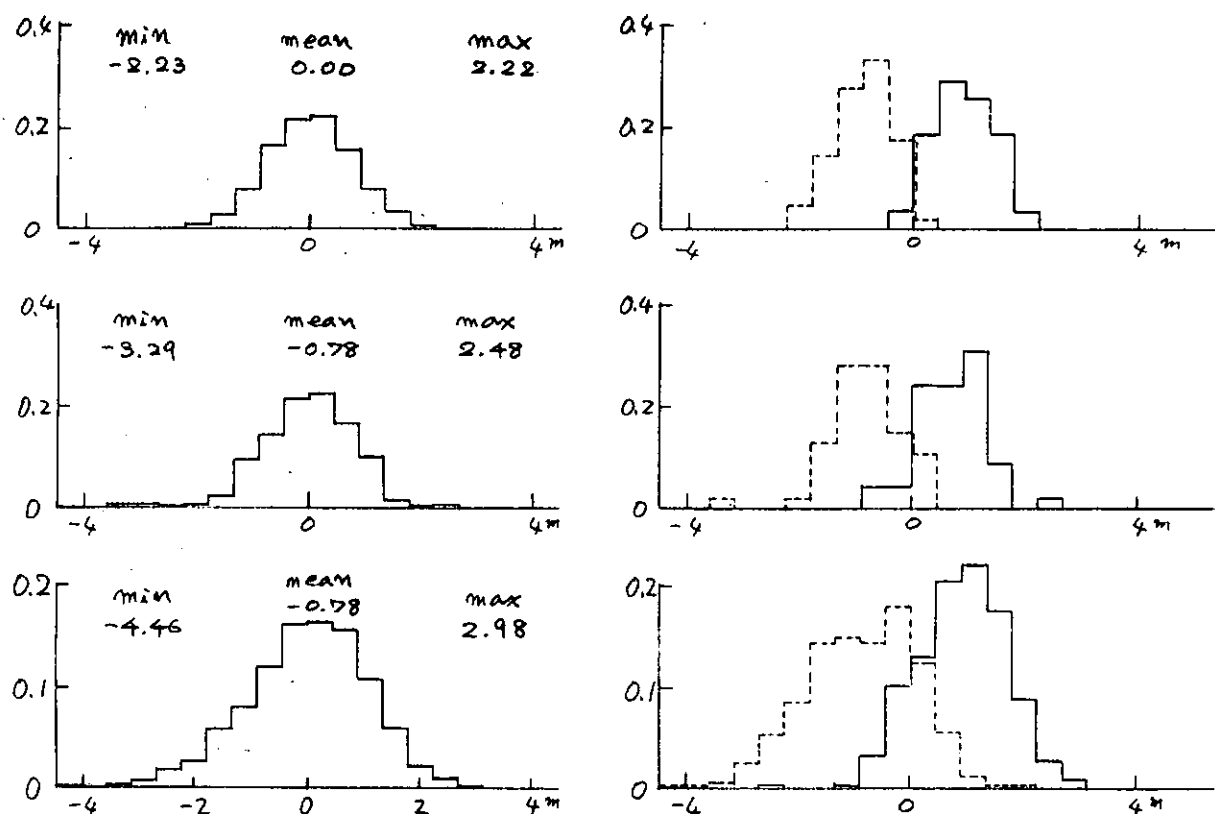


図 3.2.22 ケース 5, 分布図

3.3 複合索・鎖

3.3.1 はじめに

昨年度は、複合索・鎖の係留特性について無次元特性図・表を示して、各種パラメータ（索・鎖重量比、索・鎖長さ比、索長・水深比）の影響を定性的に述べた。本年度は、現在実用に供されている索・鎖を用いて具体的に数値計算を実施し、最大係留力における係留索・鎖諸元、水深、船体動揺などの影響について検討した。また、係留規模の概略設定法について述べる。

3.3.2 計算条件

計算に用いた各種パラメータの設定範囲は次のとおりである。

(1) 係留鎖の諸元 (A B S Spec.)

表 3.3.1 鋼鎖諸元

呼ビ径 ϕ	水中重量 w_1	破断強度 B.S./t Rig Quality
1 "	0.01352 t/m	61.4
1 1/2 "	0.02888	128.1
2 "	0.05	216.5
2 1/2 "	0.08192	344.8
3 "	0.1155	474.2
3 1/2 "	0.15138	607.0
4 "	0.20808	807.3
4 1/2 "	0.25992	981.4
5 "	0.32258	1181.6
5 1/2 "	0.40328	1424.9
6 "	0.46208	1592.6

(2) 係留索の諸元 (Federal Spec. 6X37 IWRC)

表 3.3.2 鋼索諸元

呼ビ径 ϕ	水中重量 w_2	破断強度 B.S./t I. P. S
1 "	0.0024	38.8
1 1/2 "	0.0054	85.7
2 "	0.0096	149.7
2 1/2 "	0.0150	230.4
3 "	0.0215	326.6
3 1/2 "	0.0294	438.2
4 "	0.0371	567.0
4 1/2 "	0.0463	712.1
5 "	0.0570	867.7

(3) 複合索・鎖の組合せ

破断強度が同程度の索・鎖の組合せを考える。

表 3.3.3 索・鎖の組合せ

シリーズ	上部ライン(鋼索)	下部ライン(鋼鎖)
1	1 $\frac{1}{8}$ " (38mm)	1" (26mm)
2	2 $\frac{1}{8}$ " (64)	2 (50)
3	3 $\frac{1}{8}$ " (87)	3 (76)
4	4 $\frac{1}{8}$ " (114)	4 (102)

(4) 水深(h)

0 ~ 1000mとする。

(5) 初期張力(TAO)

水深の 5 % 移動時に上部ラインの最大発生張力が破断強度の $\frac{1}{2}$ になる様に初期張力を設定する。

(6) 船体動揺(Xs)

準静的な強制水平変位として次の値を設定する。

$$X_s = 0, 1, 5, 10, 15, 20, 25, 30 \text{m}$$

(7) 上部ライン(鋼索)長(s₂), 下部ライン(鋼鎖)長(s₁)

全ライン長(s = s₁ + s₂)は、最大持上り時においても海底からの立上り角度が 0 である様に設定する。複合索・鎖においては上部ライン長(s₂)と水深(h)の比を次の様に設定する。

$$s_2/h = 1.0, 1.5, 2.0, 2.5, 3.0, 3.5, 4.0, 4.5, 5.0$$

(8) 最大水平移動量、最大持上り長さ、最大係留力

簡単のために、上流側および下流側の 1 組(2 本)の係留ラインを考え、上流側ラインの上部ラインに発生する最大張力が破断強度の $\frac{1}{2}$ になる状態における水平移動量を最大水平移動量(δmax)、持上り長さ(Smax)と定義する。また、δmax から船体動揺(片振幅)を引いた水平移動量に対する係留力を最大係留力(Fmax)と定義する。(図 3.3.1 参照)

3.3.3 計算方法

係留特性計算には、56年度に検討した2次元カテナリー解を用い、係留ラインの伸びやライン自身に作用する流体力は無視する。

3.3.4 計算結果

3.3.2 に述べた条件にしたがい、最大係留力、最大水平移動量、最大持上り長さを計算した結果の一覧表を次に示す。

表3.3.4 計算結果一覧表

(付録図番号を示す)

船体動揺 X_s		0m	1m	5m	10m	15m	20m	25m	30m	備考
単一索・鎖	最大係留力 F_{max}	1	2	3	4	5	6	7	8	
	初期張力 T_{AO}					9				
	最大水平移動量 δ_{max}				10	(11)				()は無次元表示
	最大持上り長さ S_{max}				12	(13)				
複合索・鎖	最大係留力 F_{max}	1"	14	15	16	17	18	19	20	21
		2	26	27	28	29	30	31	32	33
	初期張力 T_{AO}	3	38	38	40	41	42	43	44	45
		4	50	51	52	53	54	55	56	57
	最大水平移動量 δ_{max}	1			22	(23)				()は無次元表示
		2			34	(35)				
		3			46	(47)				
		4			58	(59)				
	最大持上り長さ S_{max}	1			24	(25)				
		2			36	(37)				
		3			48	(49)				
		4			60	(61)				

3.3.5 係留特性に関する一般的な事項

(1) 単一索・鎖

最大係留力は、船体動揺が無い場合 ($X_s = 0m$) には水深の増加とともに減少する(図3.3.2)。船体動揺がある場合には、浅水深での係留が不可能となり、それ以上の水深では水深増加にともなって最大係留力は増加し、ある水深を超えると減少する傾向を示す(図3.3.3)。

初期張力は水深の増加とともに増加するが、増分 ($\Delta T_{AO}/\Delta h$) は小さくなる(図3.3.4)。

最大水平移動量は水深の増加とともに増加し、鎖の場合の方が索に比べて移動量は大きい(図3.3.5)。

最大持上り長さは水深の増加とともに増加するが、増分 ($\Delta S_{max}/\Delta h$) は小さくなる。索の方が鎖に比べて持上り長さは大きい(図3.3.6)。

(2) 複合索・鎖

定性的には単一索鎖の場合と同様の傾向を示している。複合索・鎖の特長を明確にするため、一例として 3" 鋼鎖単独、3½" 鋼索単独、3½" 鋼索と 3" 鋼鎖の複合ラインについて船体動揺 $X_s = 10m$ の場合の係留特性を比較して表3.3.5に示す。

表3.3.5 3"シリーズ係留特性の比較

$X_s = 10\text{ m}$						
水深 h	係留方式	最大係留力 $F_{max}(\text{t})$	初期張力 $T_{AO}(\text{t})$	最大持上り長さ $S_{max}(\text{m})$	最大水平移動量 $\delta_{max}(\text{m})$	備考
500m	3"鎖	115	129	1325	63	
	3½"索	109	88	2684	40	
	3½"索+3"鎖	117	86	1495	43	$s_2/h = 1.5$
1000m	3"鎖	108	147	1762	229	
	3½"索	129	105	3729	97	
	3½"索+3"鎖	126	92	2278	90	$s_2/h = 1.5$

上表から、複合索・鎖の特長は、最大係留力を大きくし、初期張力、持上り長さ、水平移動量を小さくすることにあるといえよう。

3.3.6 係留規模の概略設定法

付録図1～6を用いて水深、最大係留力（水平外力）、船体動揺が与えられた場合に概略の係留規模を設定することができる。具体例をあげて以下に説明する。

$$\left. \begin{array}{l} \text{水深 } h = 1000\text{m} \\ \text{水平外力 } F_H = 400\text{t} \\ \text{船体動揺 } X_s = \pm 10\text{m} \end{array} \right\} \text{とする。}$$

保留ライン本数 $N = 8$ とすると1組のライン（上流、下流）で保持すべき水平外力 F_{max} は概略次の様になる。

$$F_{max} = F_H / (N/4) = 400\text{t} / (8/4) = 200\text{t}$$

単一索鎖の場合、図3.3.3より水深1000mの場合には4½"の鎖か索が必要となる。鎖の場合の初期張力は図3.3.4より310t、索は同図より170tとなる。持上り長さ（必要ライン長）は鎖の場合図3.3.6より約1700m、索の場合約3800mとなる。水平移動量は図3.3.5より鎖で約260m、索で約95mとなる。

一方、複合索鎖の場合、図3.3.7より4½"索と4"鎖の組合せが必要となり、索長は $s_2/h = 1.5$ とすれば1500mとなる。初期張力は同図より145tとなる。持上り長さは図3.3.8より約2200mとなり、したがって鎖長は $2200 - 1500 = 700\text{m}$ となる。水平移動量は図3.3.9より約90mとなる。

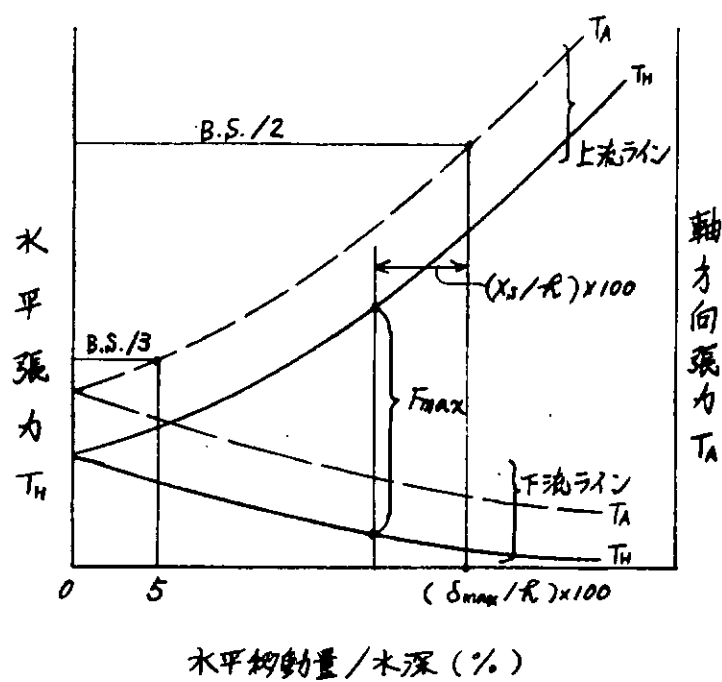
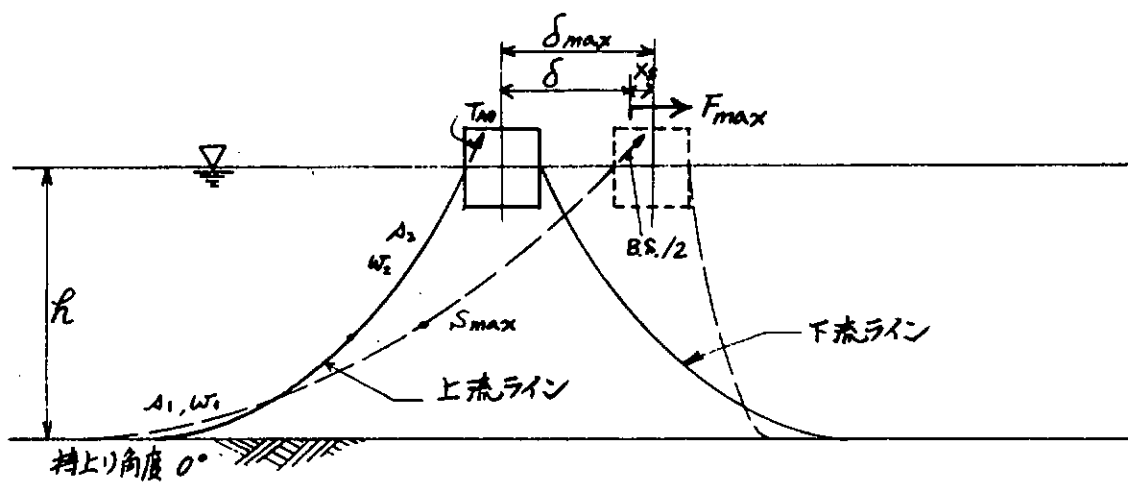


図 3.3.1 記号説明図

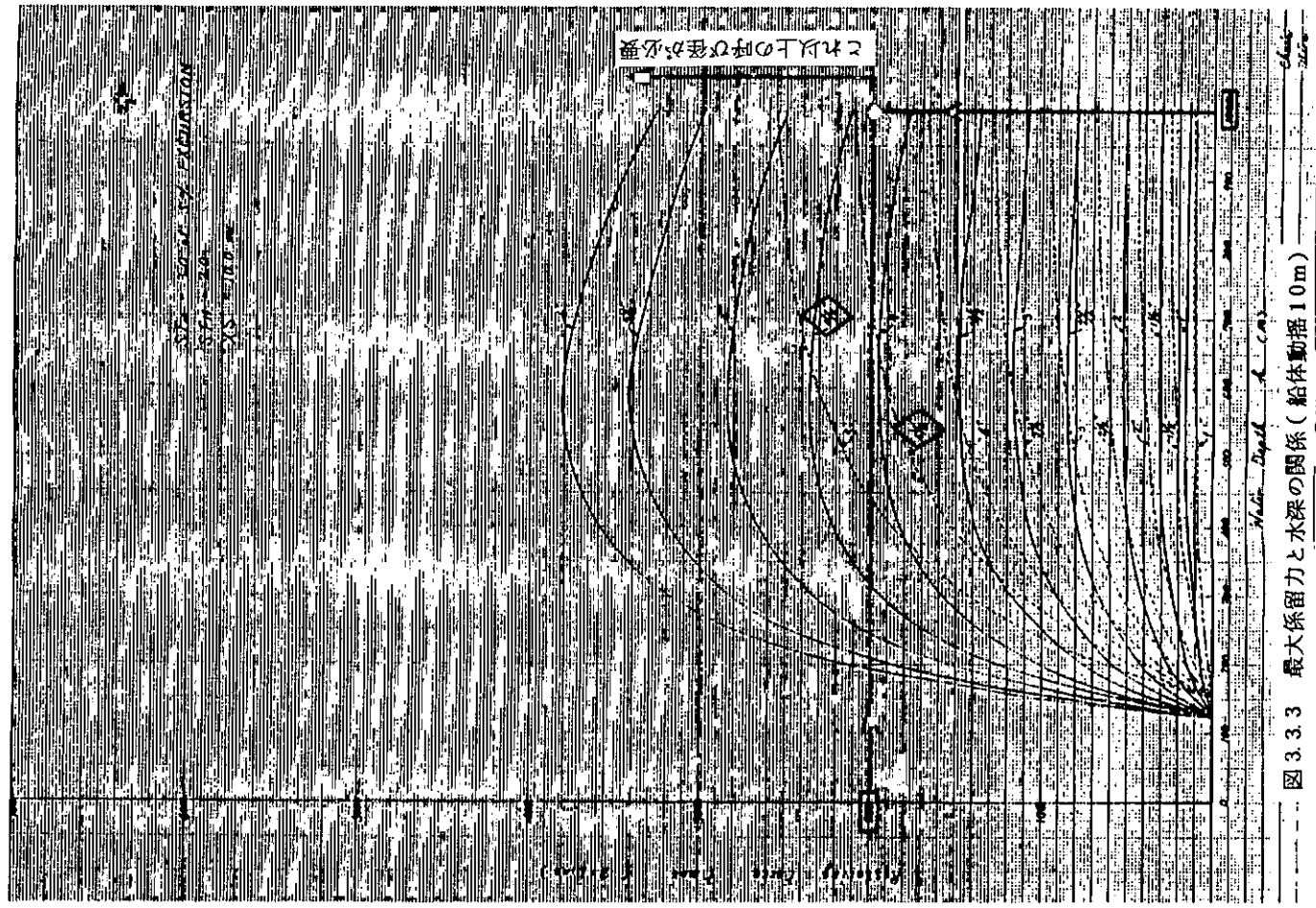


図 3.3.2 最大係留力と水深の関係（船体動搖 0 m）

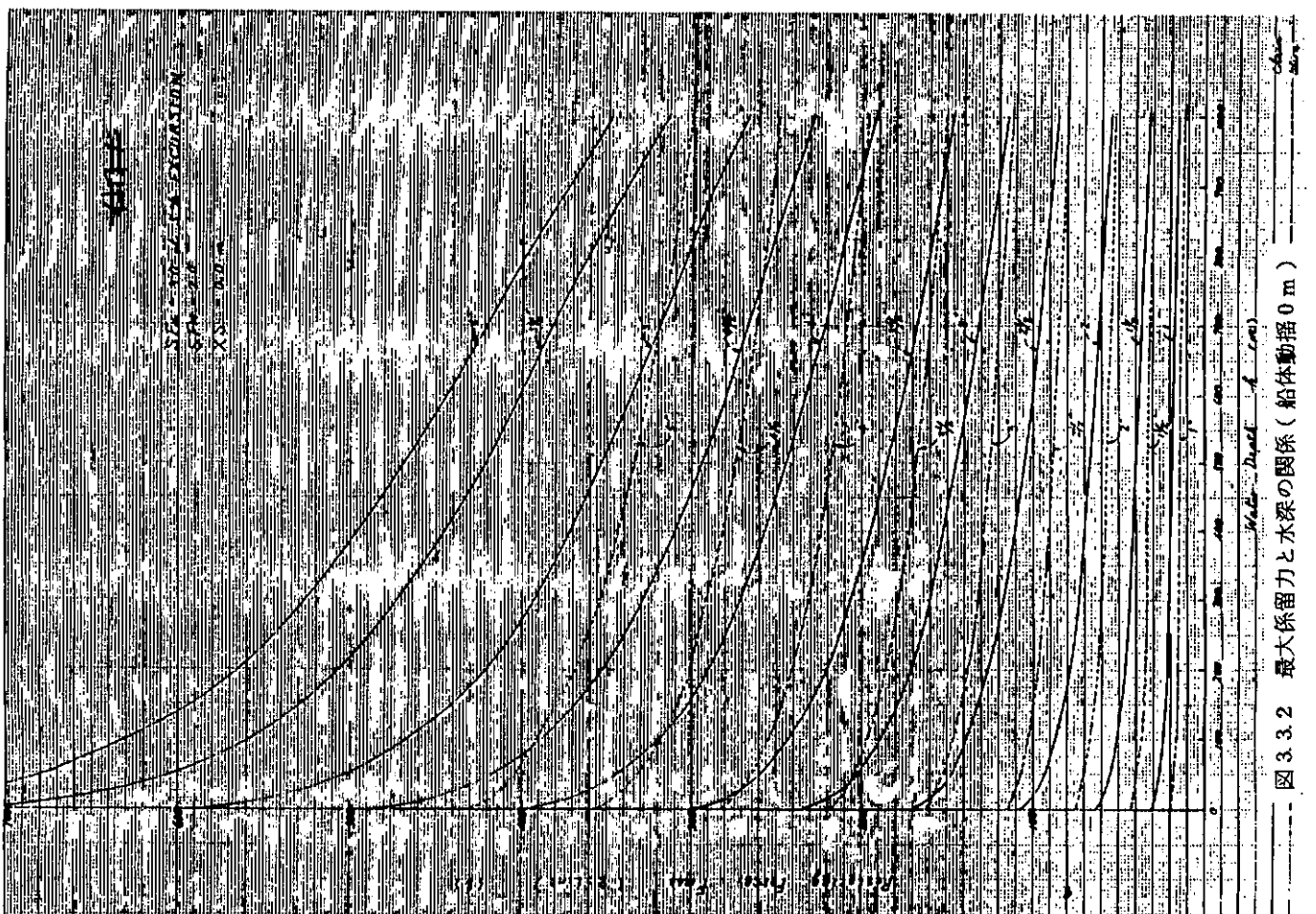


図 3.3.3 最大係留力と水深の関係（船体動搖 10 m）

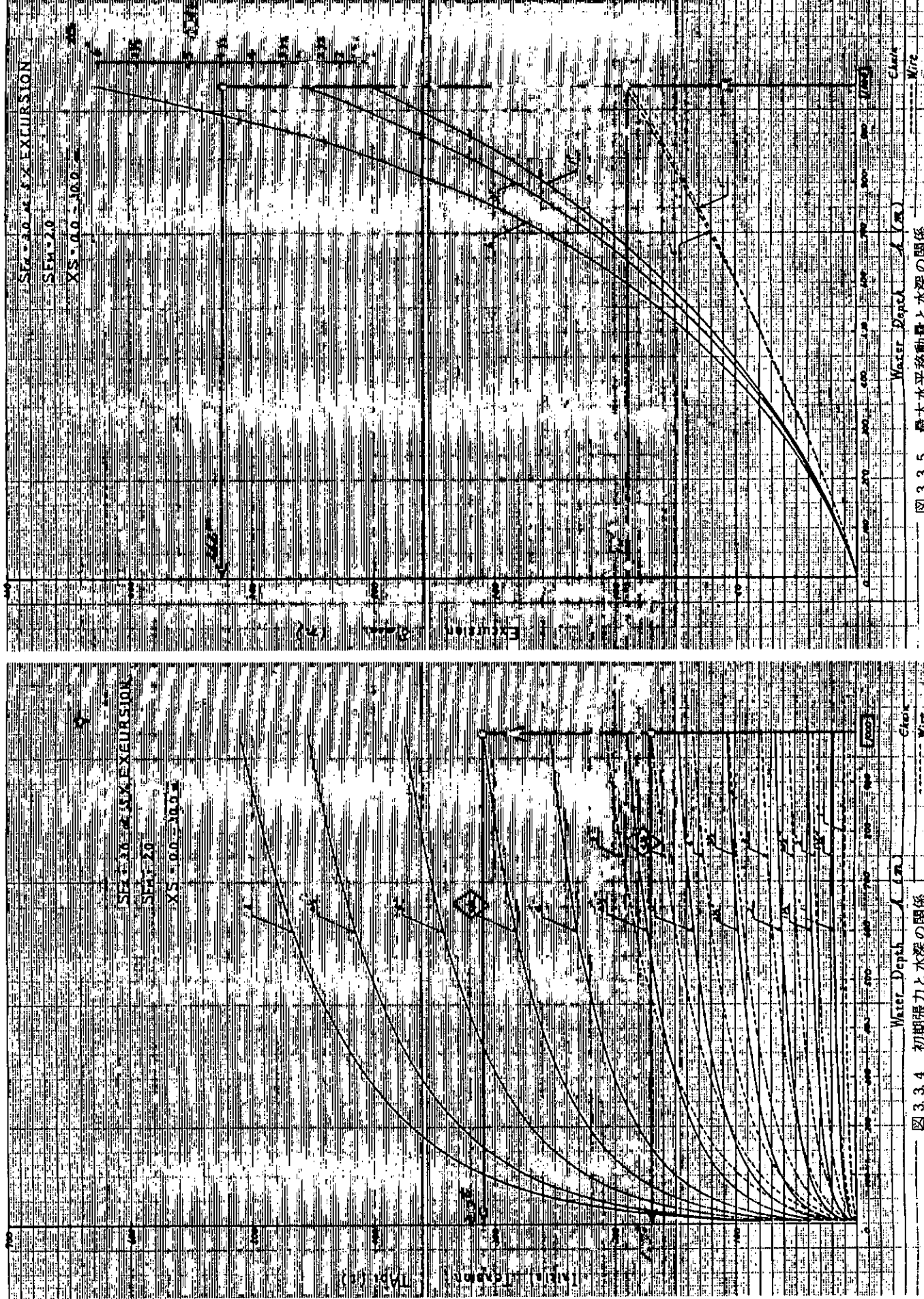


図 3.3.4 初期張力と水深の関係

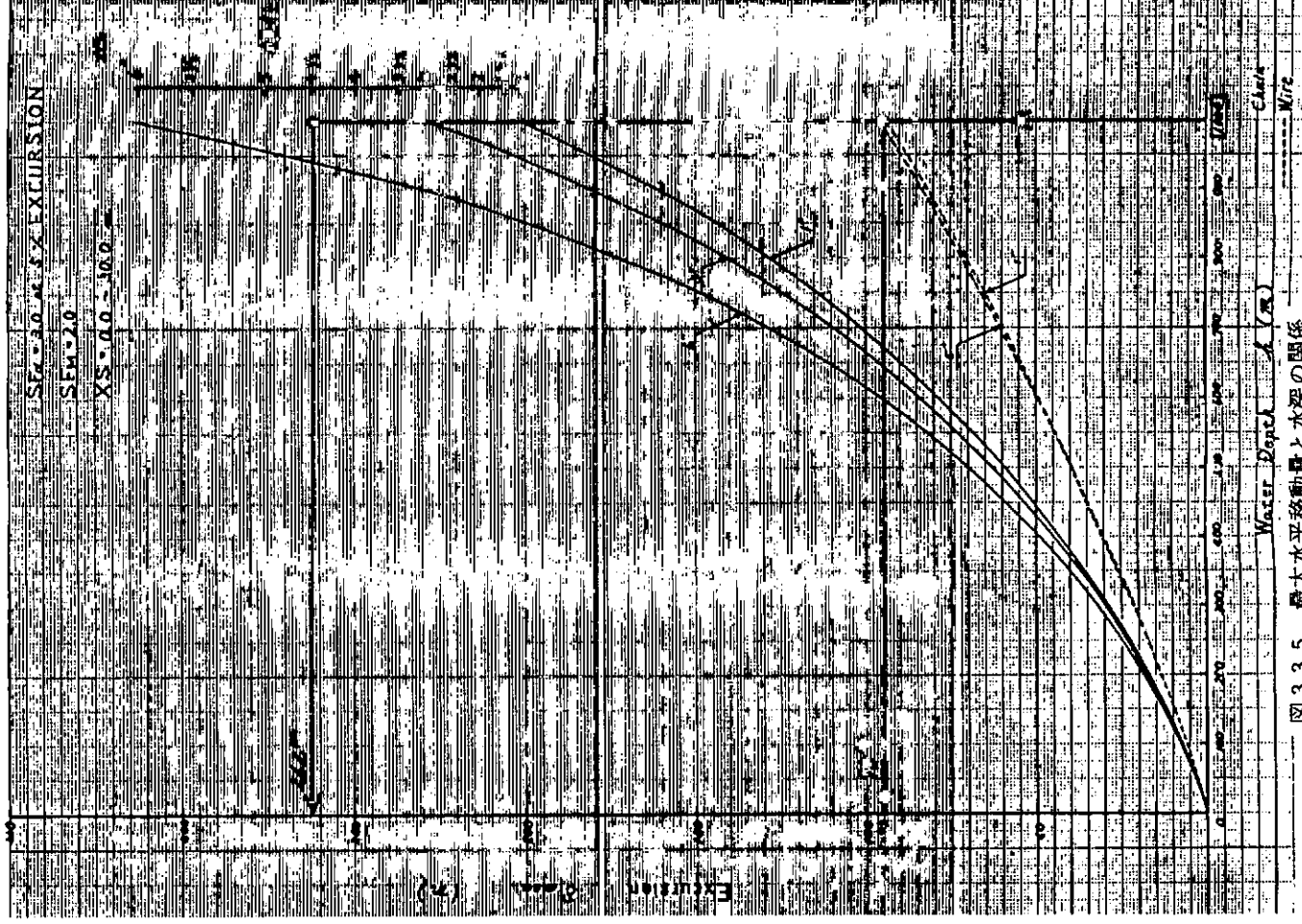


図 3.3.5 最大水平移動量と水深の関係

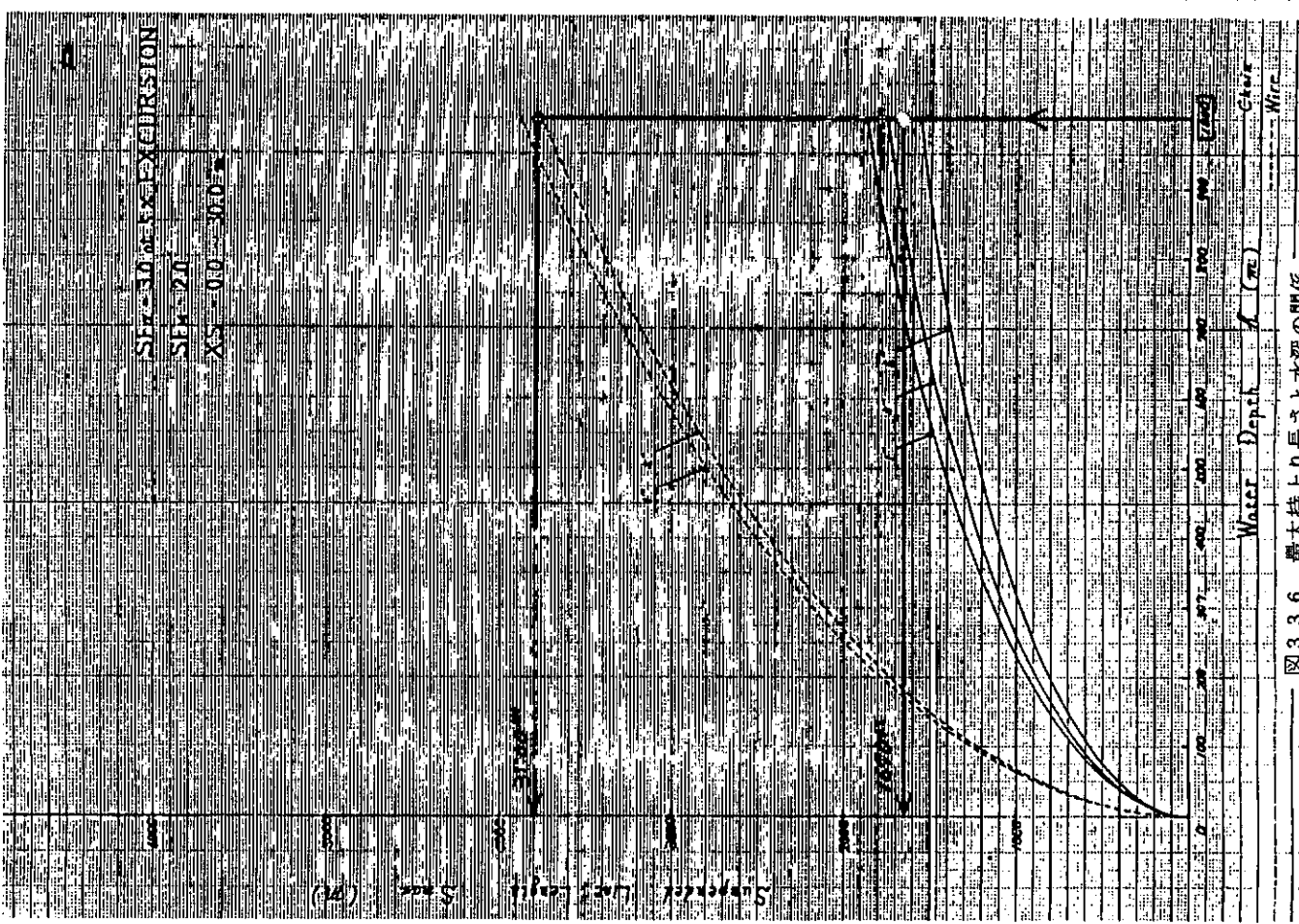


図 3.3.6 最大持り長さと水深の関係

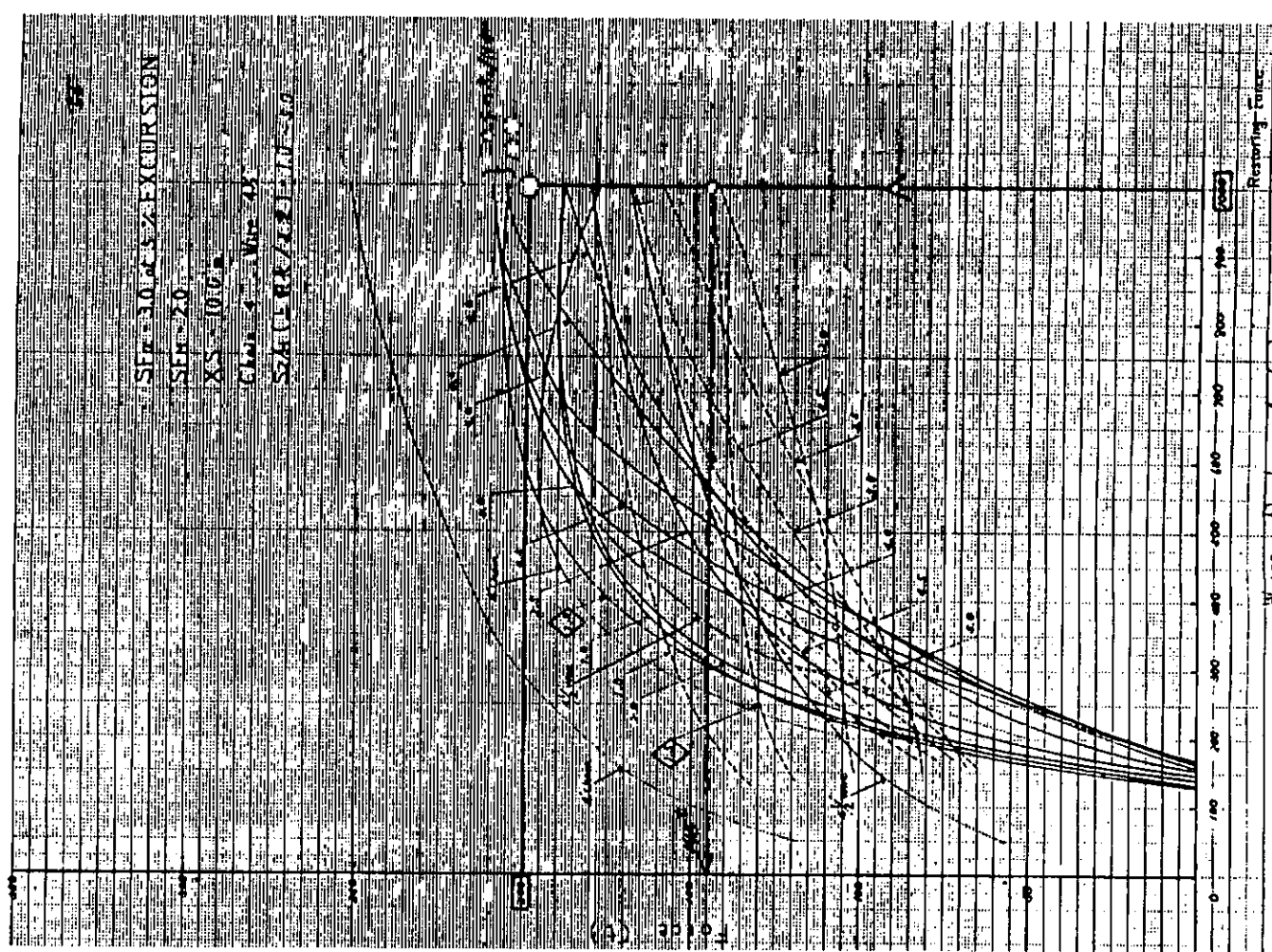


図 3.3.7 4" 複合索・鎖の最大係留力と水深の関係

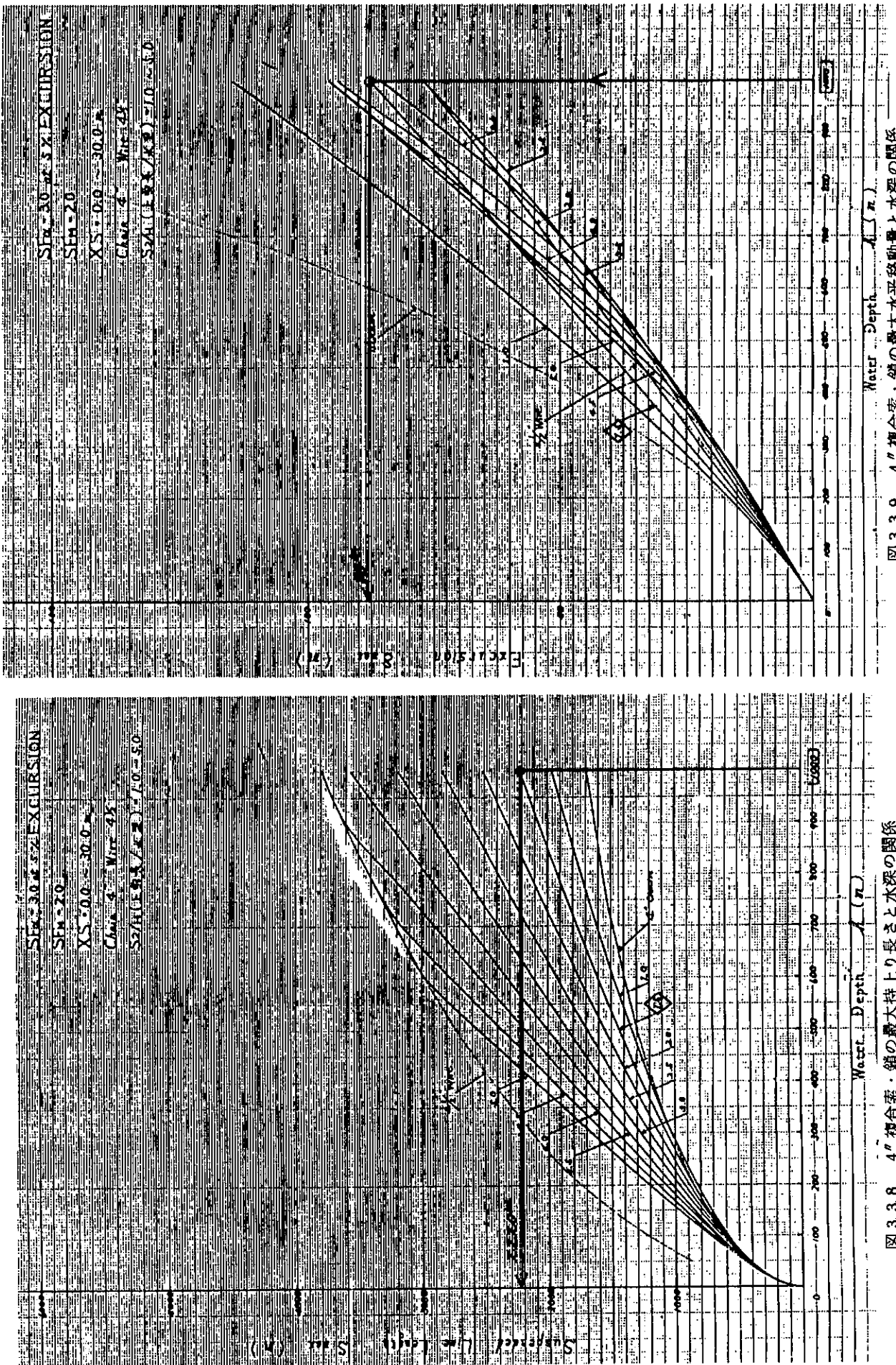


図 3.3.8 4"複合索・鎖の最大持上り長さと水深の関係

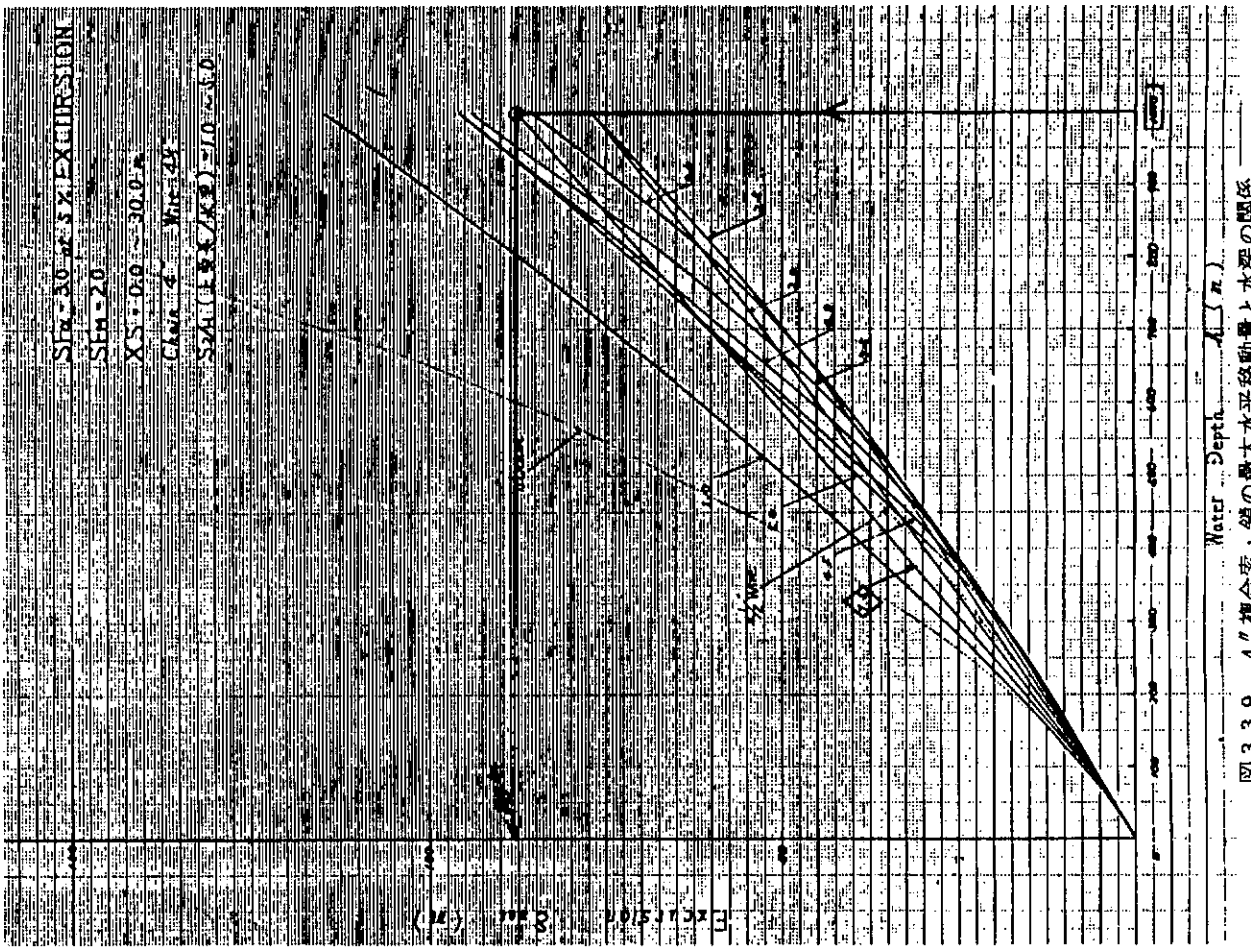


図 3.3.9 4"複合索・鎖の最大水平移動量と水深の関係

3.4 海洋構造物の深海係留システムにおける運動数値シミュレーション 手法の検討

3.4.1 運動計算式

係留系は通常非線形で表わされる場合が多く、このとき浮体の運動は非線形微分方程式を数値的に解くことによって求められる。ここでは簡単な浮体及び係留系をとり上げ、規則波中及び不規則波中運動シミュレーション結果の比較検討を行っている。すなわち、

図3.4.1に示すような係留系を有する2次元浮体(半円筒断面、幅0.215m)がt=0において波の作用を受けた後の運動を考える。今、簡単のため運動は連成を無視した左右揺れのみとし、係留系は図3.4.2に示すように、線形及び非線形のものを仮定する。

浮体の運動方程式としては、メモリー影響関数と動搖速度との積み込み積分により表わされた流体力係数を用いて表現されたもの(T.D.)と、実用計算法として広く用いられている周波数に依存した流体力係数を用いて表現された運動方程式(F.D.)がある。

(1) 周波数領域で記述された運動方程式:F.D.

$$\{M_1 + a_{11}(\omega)\}\ddot{x}_1 + b_{11}(\omega)\dot{x}_1 + c_{11}(x_1) = F_{w1}(\omega_1 t) \quad (3.4.1)$$

ただし、 M_1 : 2次元浮体の質量、 x_1 : 左右揺れ

$a_{11}(\omega)$, $b_{11}(\omega)$: 周波数 ω に対する流体力係数

$c_{11}(x_1)$: 係留系に基づく復原力

$F_{w1}(\omega_1 t)$: 波に基づく外力で波浪強制力と波漂流力の和として与えられる。このうち波浪強制力は規則波の場合

$$F_{tw1}(\omega_1 t) = \begin{cases} \frac{i\rho g \zeta a}{K} A_1 e^{i\epsilon_1} e^{i\omega_1 t} & (t \geq 0) \\ 0 & (t < 0) \end{cases} \quad (3.4.2)$$

により、また

波漂流力は無係留状態における漂流力係数から求めている。

ここに、 Sa : 波振幅、 ω : 波周波数、 $K = \frac{\omega^2}{g}$: 波数

A_1 : 左右揺れによって生じる進行波振幅比

ϵ_1 : 左右揺れに対する発散波の位相差

(2) 時間領域で記述された運動方程式:T.D.

$$\{M_1 + a_{11}(\infty)\}\ddot{x}_1 + \int_0^t K_{11}(t-\tau)\dot{x}_1(\tau)d\tau + c_{11}(x_1) = F_{w1}(\omega_1 t) \quad (3.4.3)$$

ただし、 $a_{11}(\infty)$: $\omega = \infty$ における付加質量係数

$K_{11}(t)$: 左右揺れに対するメモリー影響関数⁶⁾

3.4.2 線形係留系に対する計算結果の比較

図3.4.3～図3.4.5は線形係留系(α : バネ定数を $\rho g b / a$ で無次元化した値)に対するもので、比較を簡単にするため波漂流力を除いている。結果は波周波数 ω の無次元値 $\psi = \omega \sqrt{b/g}$ をパラメーターとし、横軸に時刻 t を、縦軸には左右揺れ変位の無次元値 x/ζ_a (ζ_a : 波振幅)を取って表示されて

いる。

これらの図から線形係留系を仮定してもそのバネ定数が小さくなるに従って、また、波周波数が小さくなるにつれ F. D. と T. D. の計算結果に差異のあることが認められる。

過渡状態における左右揺れは F. D., T. D. いずれの場合も自由動揺項と強制動揺項の和として与えられる。しかし、F. D.においては波周波数に対応する流体力係数を仮定するため、過渡状態の自由動揺成分を正しく求められない。この差異を見るため、自由左右揺れについて F. D. ($\alpha = 1.0$ の流体力係数を用いる) と T. D. による計算を行っている。その結果を図 3.4.6 に示す。図中、実線は T. D. による結果を、点線は F. D. によるものである。この図からバネ定数 α が小さくなるにしたがって T. D. と F. D. の差が大きくなることが分る。

図 3.4.7 はバネ定数 $\alpha = 0.2$ に対する自由左右揺れ(点線)と $\omega' = 0.7$ の規則波中の左右揺れ(実線)を比較したものである。計算結果はいずれも T. D. によるもので、これより、T. D. で求められた左右揺れは自由動揺で与えられる大きな変位に基づく強制動揺が重畠されたものであることが分る。一方、F. D. による規則波中の左右揺れは自由動揺の減衰力係数が正しくないため、T. D. との計算結果に差異が生じた。従って、小さいバネ定数を持つ係留浮体の運動を F. D. で数値計算する場合は、あらかじめ固有周期を求め自由動揺成分を修正する必要がある。²⁾ このことは、T. D. では固有周期に対応した同調現象も含め瞬時瞬時の運動に応じた流体力係数を自動的に選定できるのに対し、F. D. では流体力係数を固定しているために、このような差を生じたものと考えられる。

3.4.3 非線形係留系に対する計算結果の比較

係留問題に関する半円筒断面を用いた研究としては庄司⁴⁾の報告がある。そこでは、図 3.4.8 に示されるような非線形係留系に対する実験及び計算との比較を行っている。図 3.4.9 及び図 3.4.10 はその一部を転載したものである。ただし、この場合運動方程式右辺の外力として波に基づく外力のほかに風に基づく外力を考慮している。図中、点線は実験値、実線は計算値(この計算式は前出の F. D. に対応している)である。

図 3.4.11, 図 3.4.12 はそれぞれ図 3.4.9 及び図 3.4.10 に対応した状態に対する T. D., F. D. による計算結果を比較したものである。この中、図 3.4.12 の T. D. による左右揺れには分数調波が認められ、F. D. に比べ実験との対応のよいことが分る。

図 3.4.13 は上述と同じ係留状態に対し不規則波を適当に仮定し両者の比較を行ったものである。計算の初期において T. D. と F. D. による差が顕著にみられる。

3.4.4 まとめ

不規則外力下の係留浮体の運動を数値シミュレーションするにあたり、その運動方程式を数値積分しなければならない。従来使用されている F. D. 法は流体力の係数を固定しているのに対し、T. D. 法によれば時々刻々の流体力が正しく導入される。

本年度は、係留力が線形の場合と非線形の場合について、T. D. および F. D. の両方の計算を実施して比較検討した。その結果、両者には有意な差がみられ、一部の実験結果との比較では F. D. より T. D. の方がよりよい結果を与えた。

従って、今後、基本的には T. D. による手法を運動の数値シミュレーションに取り入れて行くべきであ

るといえるまた、係留浮体の水槽実験を実施し、その結果を十分つき合わせて検討し、数値シミュレーション手法の精度を高めていく必要がある。

参 考 文 献

- 1) 池淵哲朗：非線形係留系で係留された浮体の不規則波中の運動と係留力の計算法について、日本造船学会海洋工学委員会性能分科会資料（1980）
- 2) 小林正典、藤平徹：係留構造物の不規則波中の応答について、日本造船学会海洋工学委員会性能分科会資料（1982）
- 3) Oortmerssen, G. Van : The Motions of a Moored Ship in Waves, Publication No 510, Netherland Ship Model Basin, (1976)
- 4) 庄司邦昭：係留浮体の運動と係留索の張力に関する研究、日本造船学会論文集 第138号, (1975)
- 5) 高木又男：漂流力について、日本造船学会、第2回海洋工学シンポジウム, (1976)
- 6) 高木又男、斎藤公男：非周期的造波問題の周波数領域での取扱い(第1報), 関西造船協会誌, 第182号, (1981)
- 7) 日本造船研究協会 第179研究部会報告書, 研究資料No 346 (1982)
- 8) 日本造船研究協会 第187研究部会報告書, 研究資料No 352 (1982)

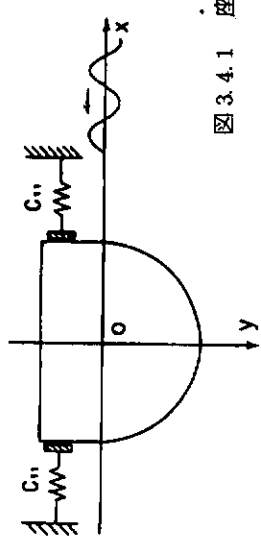


図 3.4.1 座標系

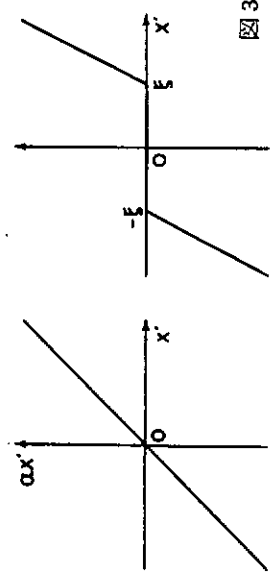


図 3.4.2 計算に用いた
系留系の特性

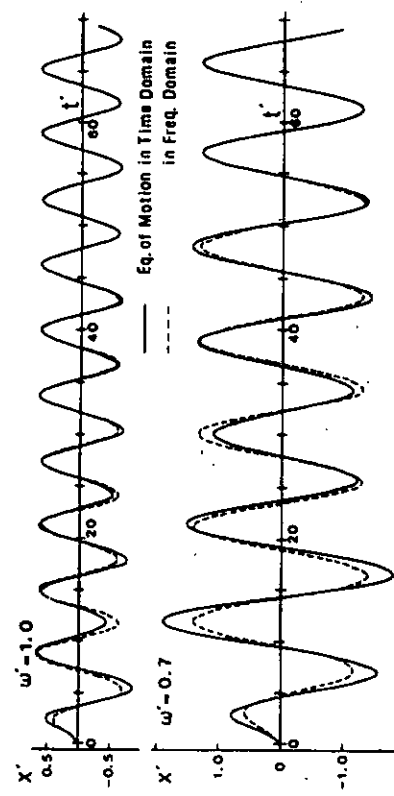
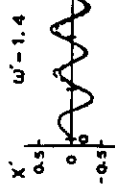


図 3.4.4 左右揺れ数値シミュレーションのタイムヒストリー
($\alpha = 1.0$)

Non-linear type : Rope

Linear type

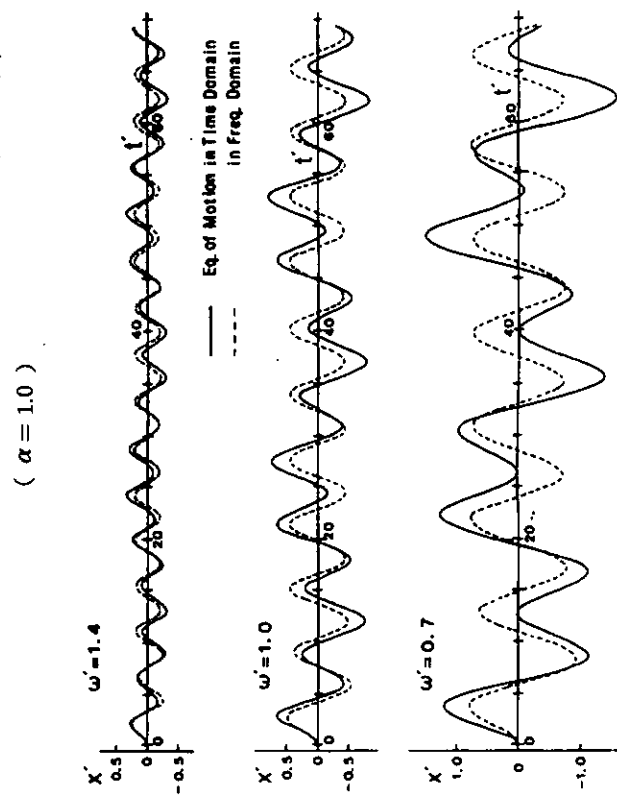


図 3.4.3 左右揺れ数値シミュレーションのタイムヒストリー
($\alpha = 2.0$)

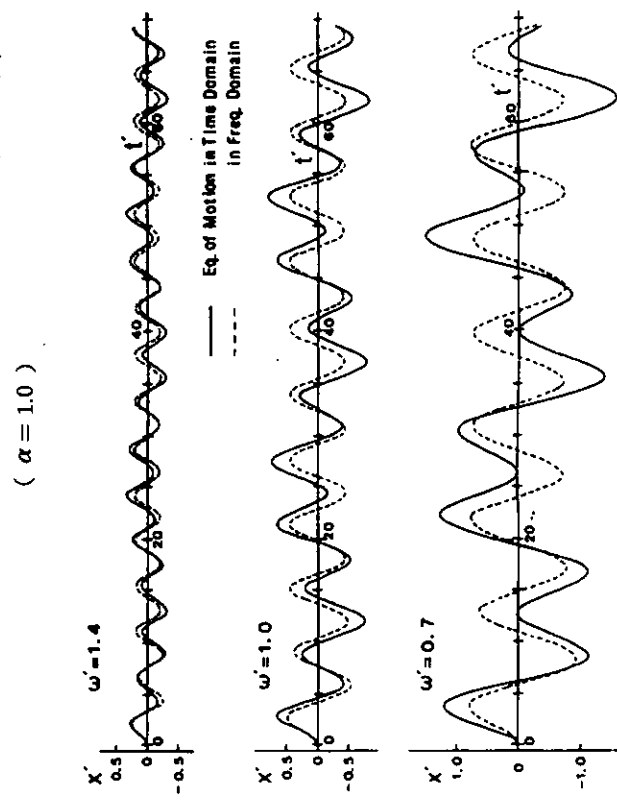


図 3.4.4 左右揺れ数値シミュレーションのタイムヒストリー
($\alpha = 1.0$)

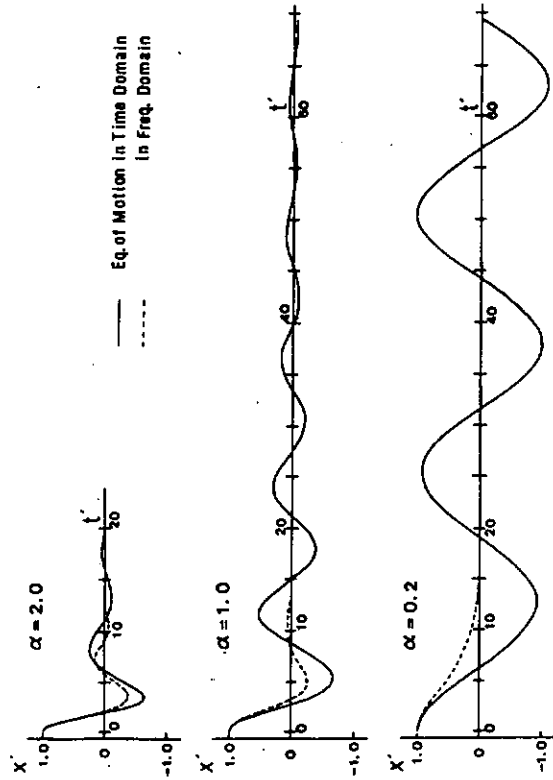


図 3.4.6 自由左右揺れ成分の比較

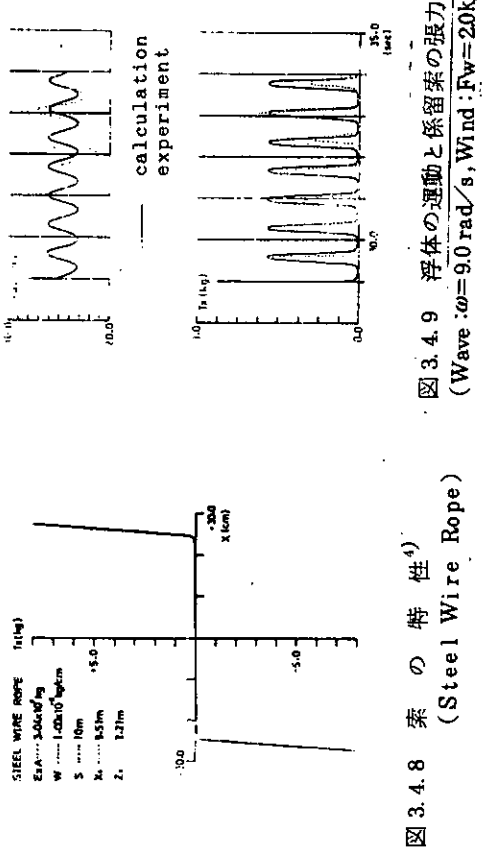


図 3.4.8 索の特性
(Steel Wire Rope)

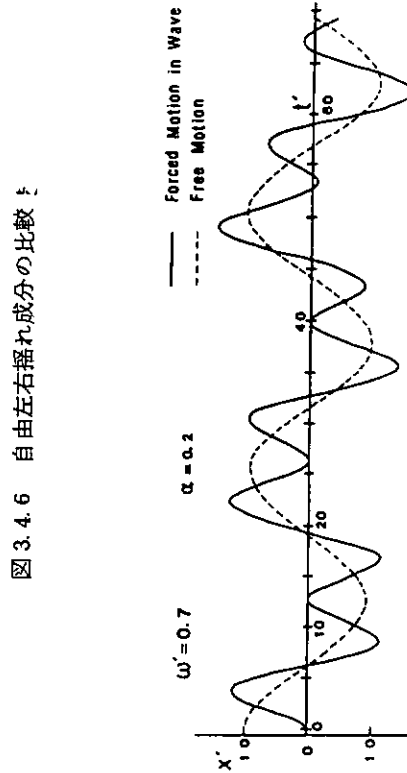


図 3.4.7 規則波中左右揺れと自由左右揺れ成分の比較

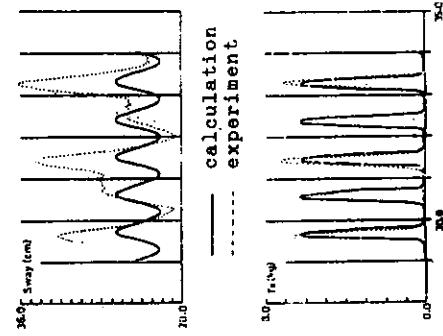


図 3.4.9 浮体の運動と係留索の張力⁴⁾
(Wave : $\omega = 9.0 \text{ rad/s}$, Wind : $F_w = 20\text{kg}$)

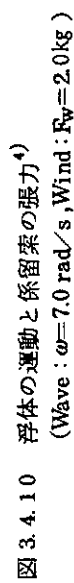


図 3.4.10 浮体の運動と係留索の張力⁴⁾
(Wave : $\omega = 7.0 \text{ rad/s}$, Wind : $F_w = 2.0\text{kg}$)

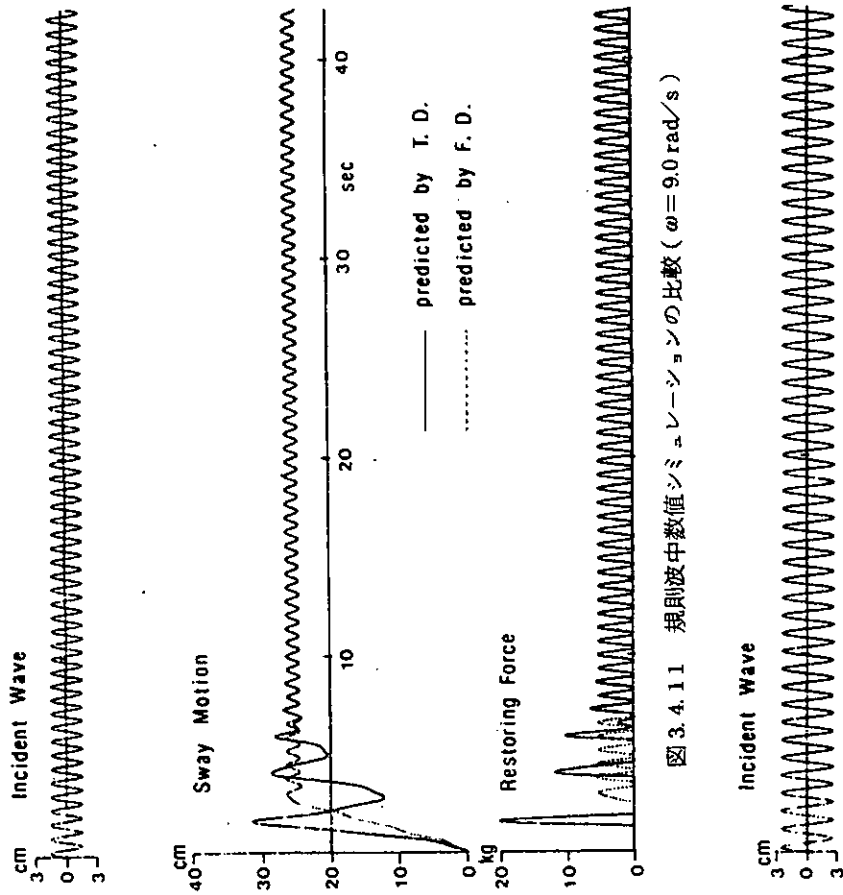


図 3.4.11 規則波中数値シミュレーションの比較 ($\omega = 9.0 \text{ rad/s}$)

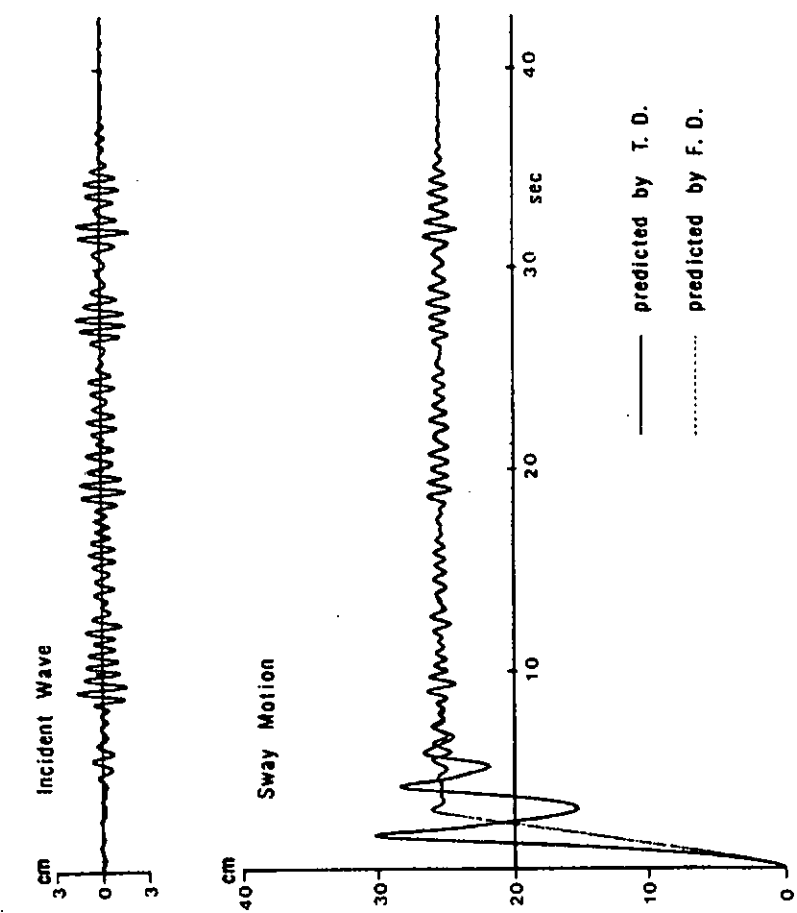


図 3.4.12 規則波中数値シミュレーションの比較 ($\omega = 7.0 \text{ rad/s}$)

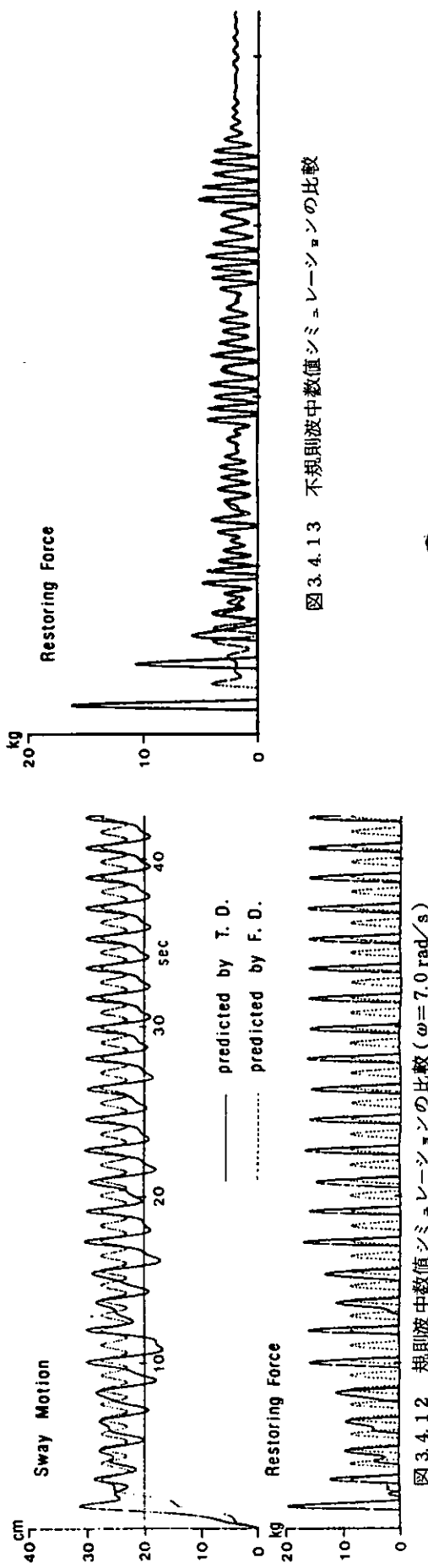


図 3.4.13 不規則波中数値シミュレーションの比較

第4章 係留用要素機器

4.1 現況調査

4.1.1 新係留索・鎖

大水深における係留特性を向上させるには、比強度の増加が有効であり、そのためには

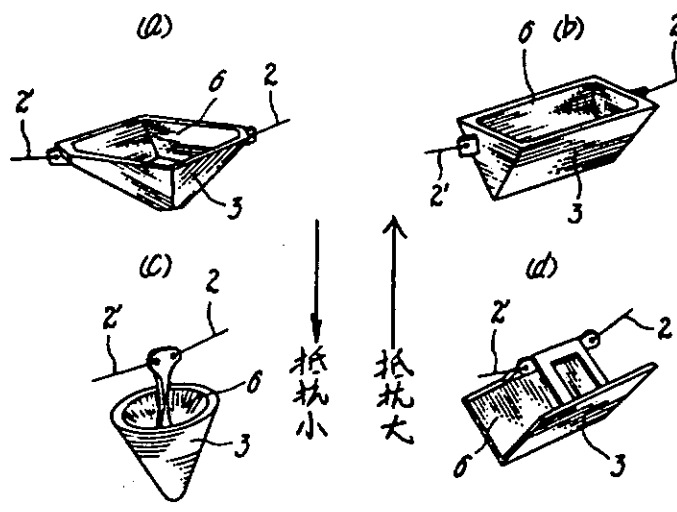
- (1) 強度(破断強度、疲労強度など)の増加
- (2) 水中重量の低減(カテナリー係留では下限がある)

等が必要となる(昨年度報告書参照)

以上の観点から新係留索・鎖(係留要素)について特許および実用新案等の調査を行なった結果を以下に示す。

(1) 強度の増加関連

強度の増加に関連するものとして、流体力学的緩衝材を用いる型式のものを図4.1.1.1に弾性体による緩衝材を用いる型式のものを図4.1.1.2~図4.1.1.4に示す。



動的緩衝効果

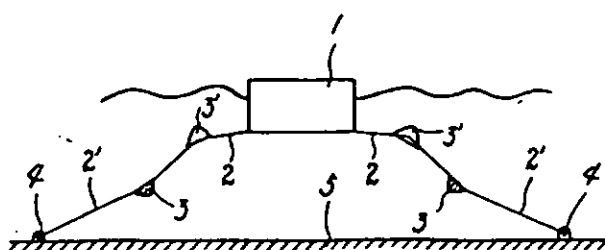
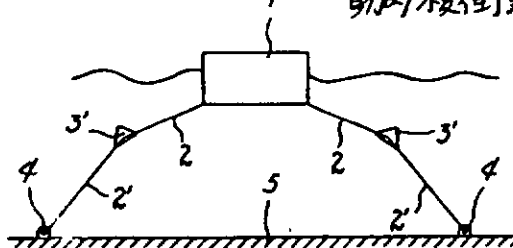
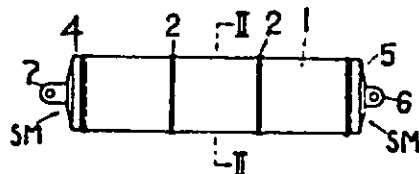


図4.1.1.1 特許第991126号(昭54.3.27)

- (1) 円筒形のゴム状弾性体の軸線方向に複数区域を形成するように両端部並びに中間に金属リングを埋設加熱形成し、その成形したゴム状弾性体の中空部に、相反する方向へ摺動する摺動部のそれぞれ一方端に圧接板を、他端にロープを結合する取手を形成した摺動接構を設けたロープの衝撃吸収装置。
- (2) 摺動区域の一部又は全部のゴム状弾性体に硬



- 度達を与えた実用新案登録請求の範囲第1項記載のロープの衝撃吸収装置。
- (3) ゴム状弾性体の摺動区域の幅に大小の変化を与えた実用新案登録請求の範囲第1項記載のロープの衝撃吸収装置。

図 4.1.1.2 実開昭56-75339（昭56.6.19）

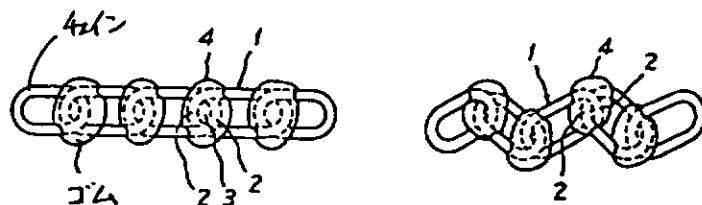


図 4.1.1.3 特開昭54-146393（昭54.11.15）

- 目的** 圧縮弾性体を嵌む一对の面板を連結する一对のレバ状関節リンクに係留索をつなぐことにより、圧縮弾性体の過圧縮による破損を防止し、かつ係留索に生ずる張力衝撃の緩和を図る。
- 構成** 圧縮弾性体1は、一对の面板2に保持され、一对の面板2には関節リンク5、6が枢動連結されている。関節リンク5、6の連結点にはピン4によりシャツクル3が枢動連結され、シャツクル3には係留索がそれぞれつながれている。このように構成しているので、シャツクル3、3間に引張り力が作用すると、この引張り力に伴うシャツクル3、3間に大きな差をとることができ、大きいエネルギー吸収が得られ、従つて係留索の張力衝撃を有效地に緩和することができる。

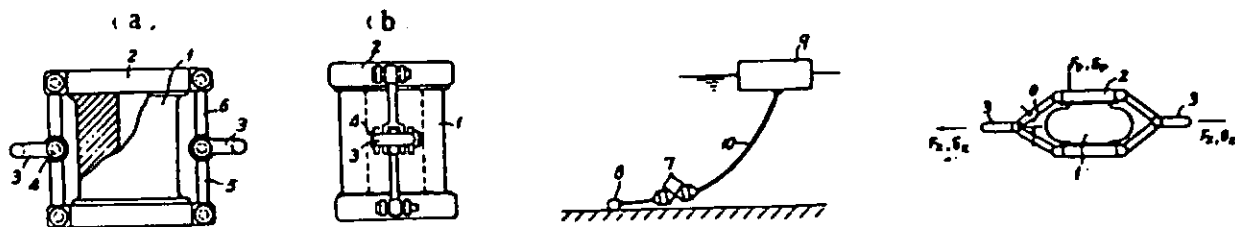
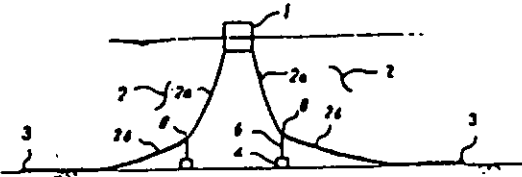


図 4.1.1.4 特開昭55-79785（昭55.6.16）

(2) 水中重量の低減関連

水中重量の低減に関するものとして複合索・鎖を図 4.1.1.5 に中間ブイを図 4.1.1.6 に、中間シンカーを図 4.1.1.7 に示す。

洋上に浮体を複数の係留ラインによって係留する係留装置において、該係留ラインは、鋼索、又は繩索等からなる第1の係留ラインと、錨鎖等からなる第2の係留ラインとからなり、該第1の係留ラインの一端は浮体に取付けられると共に他端は第2の係留ラインの一端に接続され、該第2の係留ラインの他端は錨又はシンカーに取付けられ、且つ上記係留ラインには中間シンカーが補助



ラインを介して設けられ、上記浮体の静止時において、該中間シンカーは係留ラインの立上がり点付近の海底に着底すると共に該補助ラインが緊張すべく構成したことを特徴とする深海における浮体係留装置。

図 4.1.1.5 実開昭57-117295(昭57.7.20)

目的 中間ブイの左右擺れ及び上下擺れを小さくし、索錠の摩耗を低減する。

構成 中間ブイ 10 は、上方および下方に円筒状の浮体 11、12 を設け、その何れよりもその平面形の小さい円筒 13 で結合してある。一般にこの様な形状の浮体は、排水量のわりに復原力が小さい為、上下摆、横摆等の回転を起こさせる周期が短くなり、浮体長さの十数倍の波長の波以下ではほとんど摆れない。一方、浮遊機造物 1 自体が摆れるような大量に会った場合この中間ブイ 10 の特性は変位によって大量のポテンシャルエネルギーを蓄えうることである。従つて、大きな復原力を発揮でき、索錠 2 等に不要な荷重を加えない。

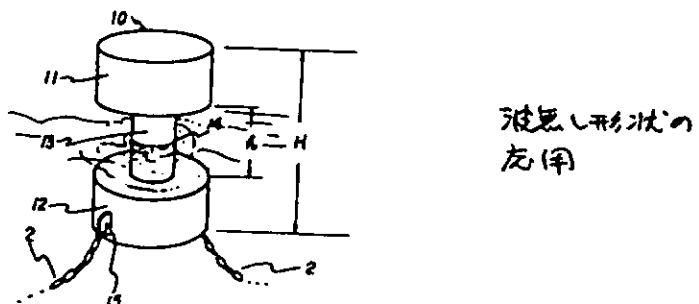
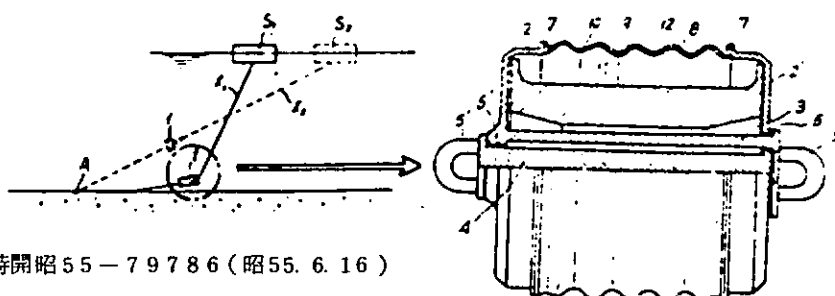


図 4.1.1.6 特開昭55-79787(昭55.6.16)

目的 水中重量の変動を吸収時の抵抗力として活用することにより、緩衝器の小型化を計る。

構成 位置 S₁ にある係留浮体が、波浪又は風浪等により、位置 S₂ まで移動するとそれに伴う係留ラインの伸長の下で抵抗力は高くなり係留ラインは 1₁ から 1₂ の状態に移る。このととまず緩衝器 1 内の筒状弾性体 1₁ は抵抗力を生じながら、圧縮され、それにつれて、緩衝器 1 の蛇腹状弾性筒体 9 で囲まれた可変容積室 1₂ の内容積も減少し緩衝器 1 の浮力が減り、緩衝器 1 の水中重量の増加が抵抗力に加わる。従つて、係留浮体を位置 S₁ に引いて引きもどす力は筒状弾性体 1₁ の復元力と、緩衝器 1 の見かけの重量の増加分とが、係留ラインに作用し、小型の緩衝器で大きい復元力を生じる。



4.1.2 深海施工法

昨年度、深海域での一時係留、永久係留された海洋構造物の施工法についての全般的資料調査を行なった。このうち、一時係留に関するものは従来のドラッグ・アンカとチェーンやワイヤ等から構成される係留システムがほとんどであった。また、各種海底土質条件に対応するため従来アンカーに代る高把駐力アンカが開発されつつあり、これに関わる設置作業法が施工の中心であった。

一方、永久係留に関する施工法は構造物の形状、種類、その係留装置によってかなり異なる。しかしながら、調査したものは概念的なものがほとんどであった。

今年度は EXXON 社がメキシコ湾で Guyed Tower を CONOCO 社が北海 TLP を建設する段階に近づいており、次第に永久係留構造物の施工法に関する資料入手できると期待し引き続き調査を実施した。

この結果、新らたに得られたもので、比較的具体的に施工手順が述べられた資料を整理して紹介したい。

(1) 一般的な深海施工手順

深海施工法の調査の対象としたものは、

- ① 深海係留された作業船のアンカ設置
- ② SALT の据付
- ③ TLP の据付
- ④ Guyed Tower の施工
- ⑤ Articulated Tower, その他の施工である。

今年度は主として、②～④に関連するものが大半を占めたのでこれを中心とし、従来の固定式構造物の施工手順も考慮して、深海施工法を包括的にまとめてみた。この結果、多くの場合は図 4.1.2.1 に示されるような順をおって施工が進められると思われる。

図の施工手順に述べられた個々の要素技術は後述するが、概ね、図のような流れで行われると考えられる。

とりわけ深海施工固有といべきものではないが、深海での特徴的作業は

- Ⓐ 作業船用の係留システム、位置出しセンサーの設置、水中作業、監視機器の準備
- Ⓑ 浮体や基礎構造の位置制御しながらのロワリング（没設・降下）作業
- Ⓒ ガイドラインやタガードを組合せた接近・接合作業

であろう。

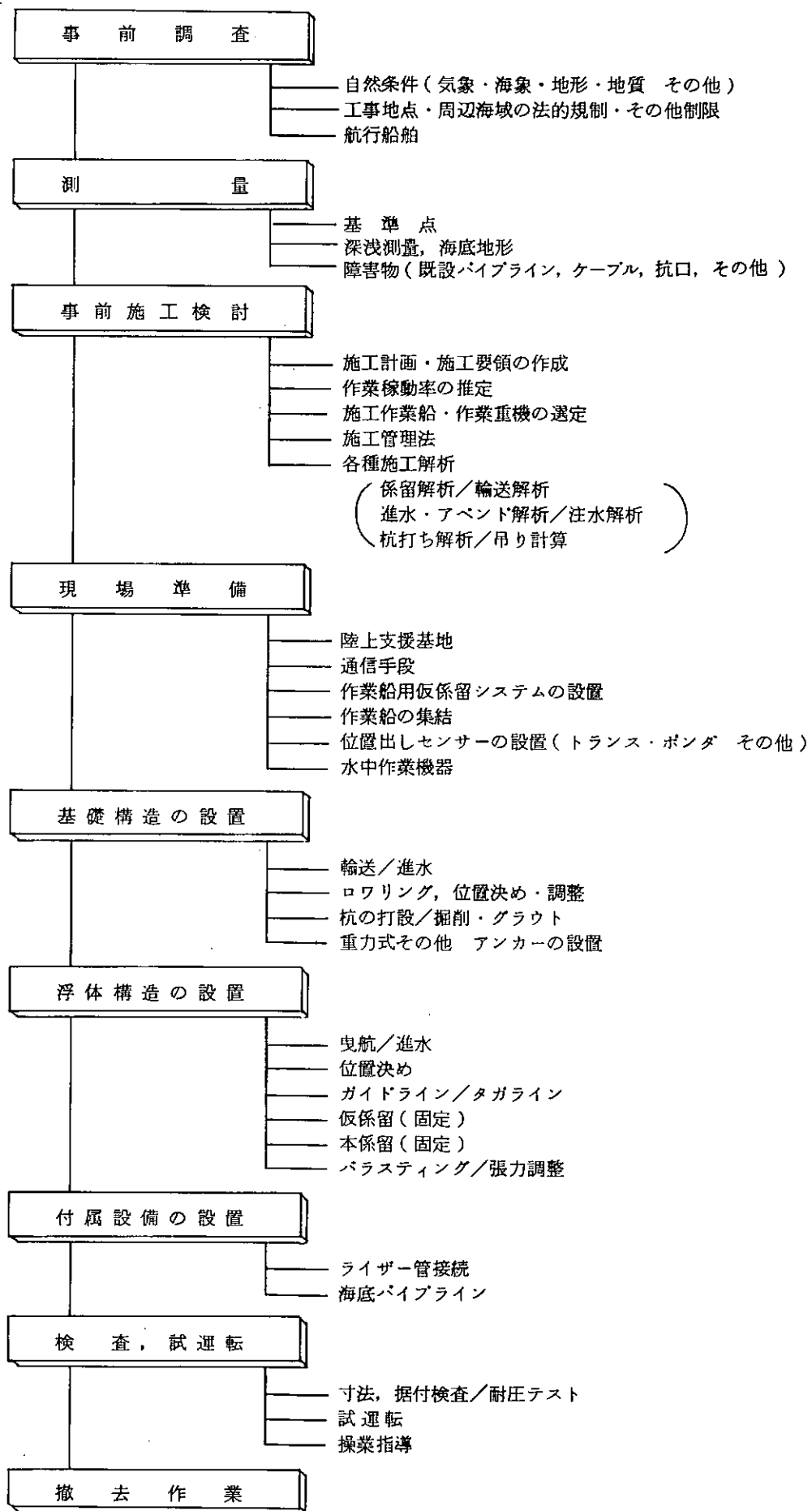


図 4.1.2.1 深海施工の流れ

(2) 深海施工例

ここでは、構造物ごとに固有な施工について以下に報告する。

(a) SALMの施工

生産される石油の払い出しのために、深海で用いられる永久係留構造物として Single Anchor Leg Mooring があり、昨年度 HONDO プラットホーム用の SALM の施工法を紹介した。それは基礎構造に浮体本体を機械的に接続するものであった。

³⁾ ここに述べるものは、図 4.1.2.2 に示すように、基礎構造物を海底に杭固定する場合の施工方案である。

施工は、①曳航、②アベンド・注水 ③仮設アンカ・浮力タンクを用いたロワリング ④位置決め ⑤基礎構造(ベース)の固定 ⑥構造ブイ部の沈設 ⑦接続・浮力調整 ⑧水中ホースの接続 の順序で進められると報告されている。

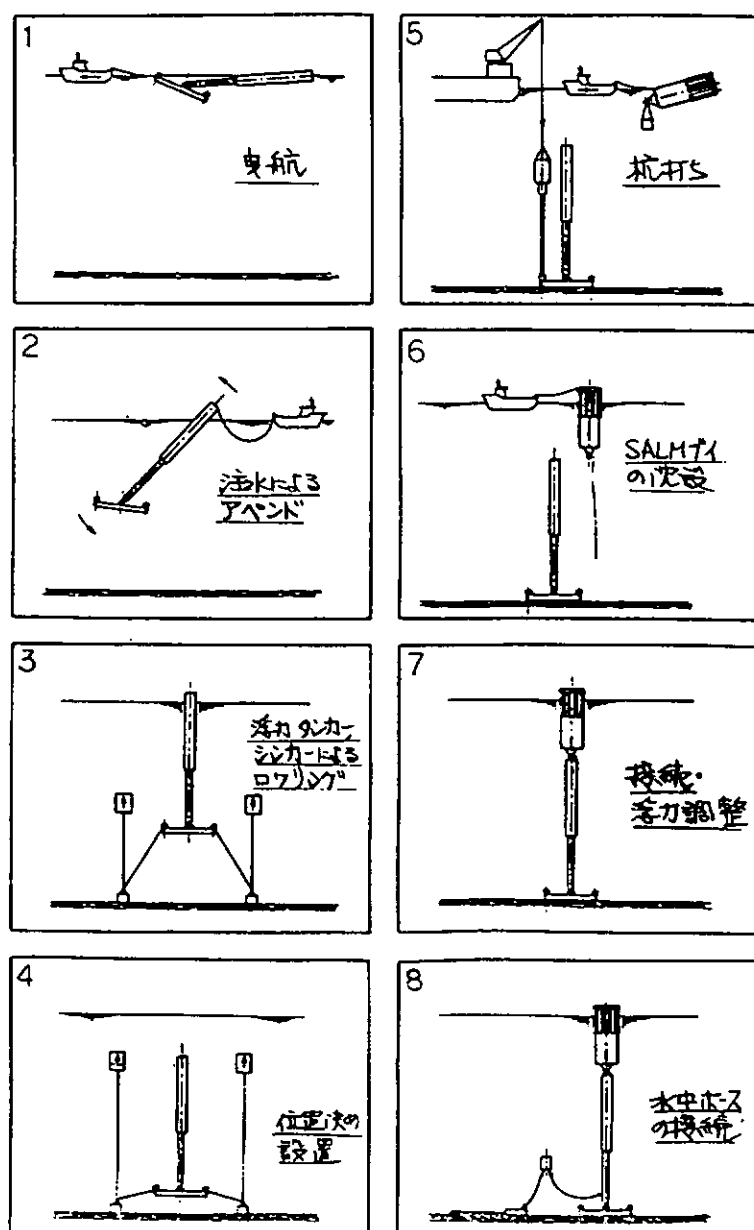


図 4.1.2.2 SALM の施工手順

(b) TLPの施工

1984年秋ごろを目度に CONOCO 社は TLP の据付けを行なおうとしている。現在までの実績として、⁴⁾ DOT 社が縮尺モデルを実験的に設置した例や運輸省港湾局が TLP 構造の観測ブイを設置した例等があるにすぎず、実施例は極めて少い。それで、発表された論文や雑誌、特許等に述べられた概念を整理することとした。このうち、全体の施工技術は昨年度概要を示したし、図 4.1.2.1 の手順で、ほぼ施工が行われると考えられるので、ここでは割愛する。

TLP の施工ではとりわけ、テザーあるいはテンションを下部構造に接続する作業が主となる。そのため、TLP の施工はテザー材やテザーの設置法により施工法が分類されよう。

(i) 既設の基礎構造へ浮体からテザーを降ろして繰ぐ方法

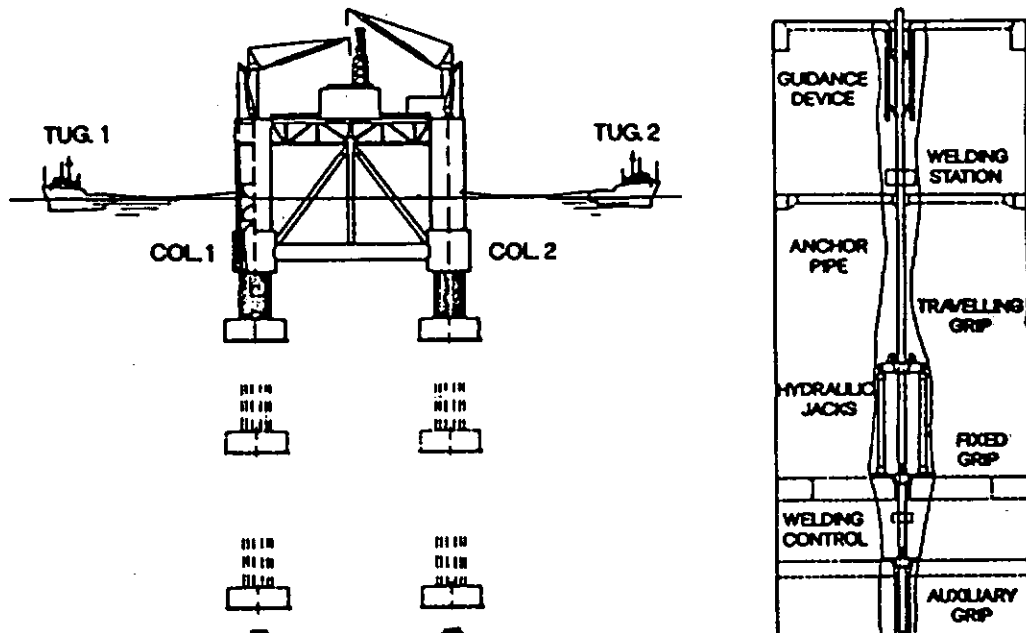
CONOCO 社の考えている方法で、水中ハンマーで打設し杭固定された海底の基礎構造物をあらかじめ施工しておく。現地到着した浮体を仮係留する。浮体のコラム内で、両端がネジ締手で構成されるテザーブイを繰ないでは順々に降ろしていく。

最終的に海底の基礎構造に機械的に定着させる。

この作業でガイド・ラインが補助的に用いられたり、テザーブイ相互の間隔をスペーサーで制御しながら吊り降ろすことも行われる。

(ii) 基礎構造とテザーを同時に吊り降ろす方法

⁵⁾ TECONOMARE 社(図 4.1.2.3)や STANDARD OIL, DOT 社が提案しているもので、基礎のアンカ構造とテザーを同時にロワリングしていく方法である。この場合、一般に基礎構造としては、重力式アンカが用いられる。



(レグ内の構造)

図 4.1.2.3 TLPの一施工法案 (TTLP)

またテザーが、鋼管であれば、TECONMARE社のいとうにネジ継手でなく、フラッシュバット、エレクトロ・ビーム溶接などでテザーを継ないでいくことになると予想されている。

(iii) テザーを接続した基礎構造をあらかじめ施工し、浮体を水面で継ぐ方法

Offshore Company (Houston) や図 4.1.2.4 に示す Alan Grant & Partners (英) の Cable-Stayed Submerged Buoyant Oil Production Platform (CASUB)⁶⁾ では、はじめに基礎構造を設置し、それにテザーを継いでおく工法が提案されている。テザー上端にはブイをとりつけておき、浮体の到着をまつ。浮体とテザーとの接続は水面もしくは水面付近の水中で行なうことも可能であろう。

(c) Guyed Tower の施工

Guyed Tower の全体的施工法は EXXON 社の案を、即ち、①タワーの施工、②ガイドラインの敷設法を昨年度報告した。これ以外に、日本海洋開発産業協会もガイド・タワーに関する施工法を検討しており、これを紹介する。

検討した Guyed Tower は基礎構造がケーソンで構成されタワー部とケーソン部の施工の仕方について表 4.1.2.1 に示すように 4 つの据付け法があると述べている。そしてこのうちケーソンの据付け後、タワーを接続して設置するのが一番実用性があると報告している。

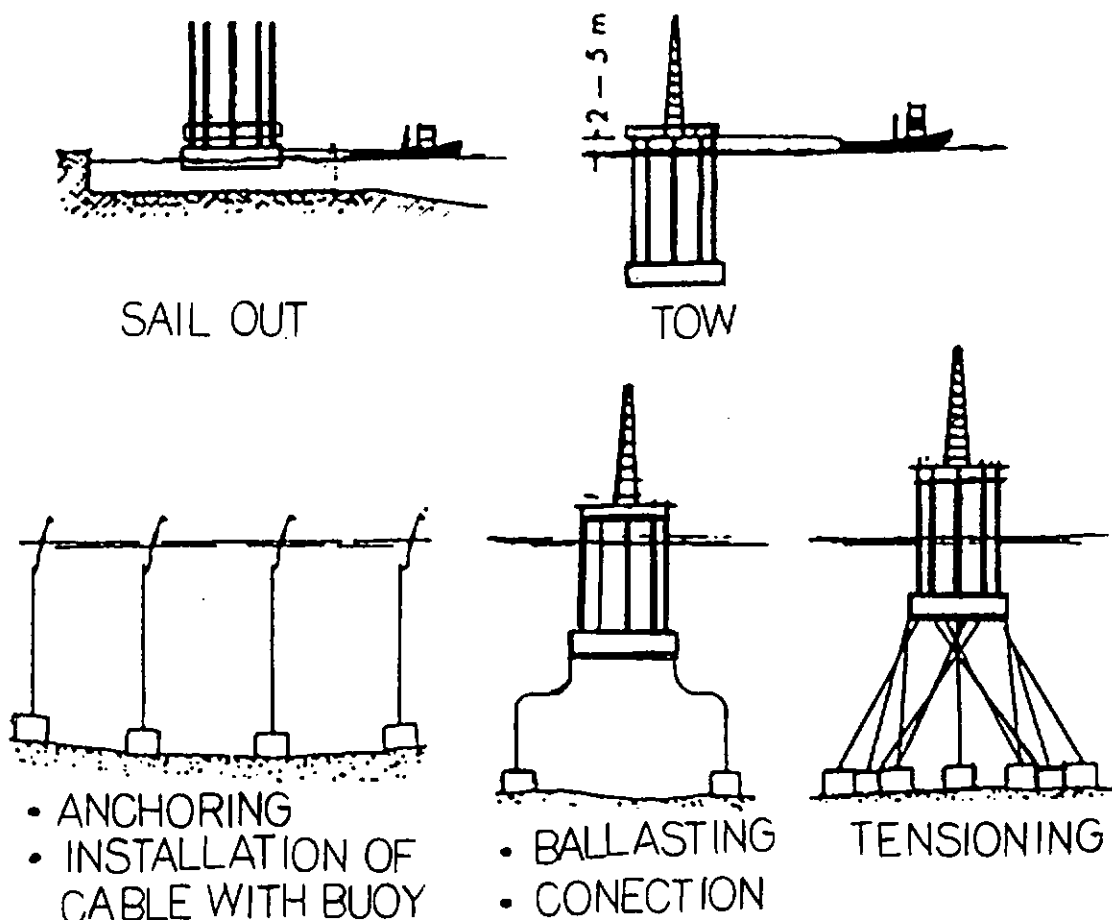
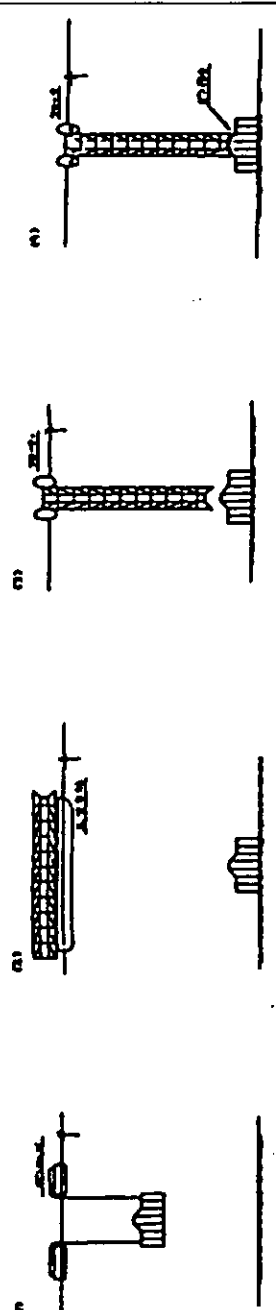
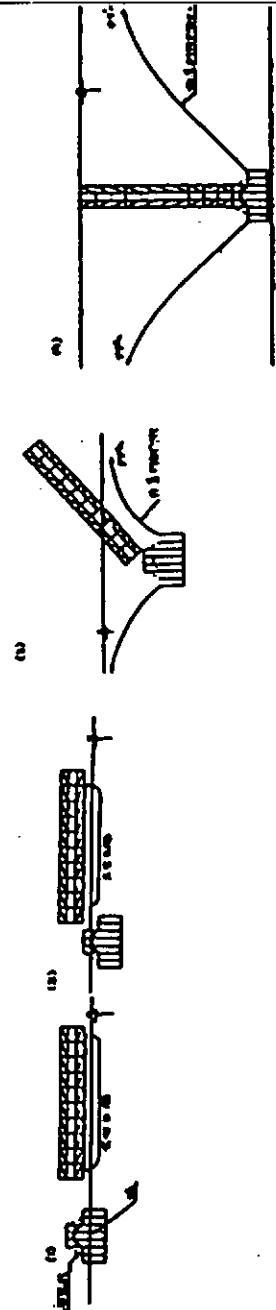
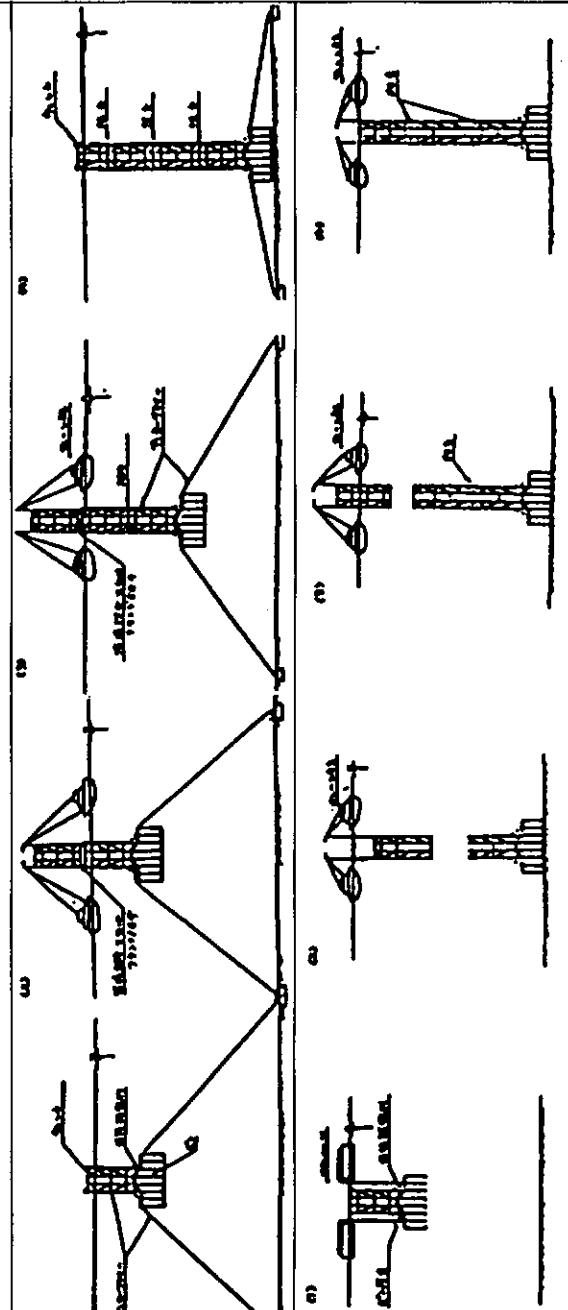


図 4.1.2.4 TLP の施工法案 (CASUB)

表 4.1.2.1 ブラットホームの各種建造曳航据付け方式

案	概要	概略図
①	1. タワーとケーンソーンを別々に陸上で 一体建造 2. タワーとケーンソーンを別々に曳航 3. タワーとケーンソーンを別々に据付け	
②	1. タワーとケーンソーンを別々に陸上で 一体建造 2. 洋上でタワーとケーンソーンを接合 (1) 建造ヤード近傍で一体化 (2) 現地で一体化 3. 曳航 (1)の時 一体で曳航 (2)の時 別々に曳航 4. 一体化状態で据付け	
③	(a) 1. ケーンソーン全體とタワー下部を陸上 で建造 2. 1.の状態で現地まで曳航 3. タワー中央部と上部を陸上で建造, 現地まで曳航 4. 洋上でタワー中央部と上部を接合 しながら据付け (b) 1. (a)と同じ 2. タワー接合を洋上する場合 3. " " 4. 水中でタワー中央部と上部を接合 しながら据付け	

全体の施工は図 4.1.2.1 に前述した順序で行われるとしている。

また、施工水深を 250M に想定して検討を行ない、ケーソンの位置決めにはトランスポンダーが、ケーソンの沈設には圧気管理や注水作業が必要になるとを考えている。

この圧気管理はケーソン構造が外圧（主として水圧）に対して弱い場合に必ず要求されるもので沈設とともに変化する外圧に内圧をバランスさせるというものである。

ひきつづいて、タワー部は図 4.1.2.5 に示すように固定式海洋構造物であるジャケット施工で行われる
8) クレーン・アベンドや注水アベンドを行ないタワー部を立てる。

ケーソンとの接続は水中カメラによる監視と位置制御ワイヤーを用いて行われるものとしている。

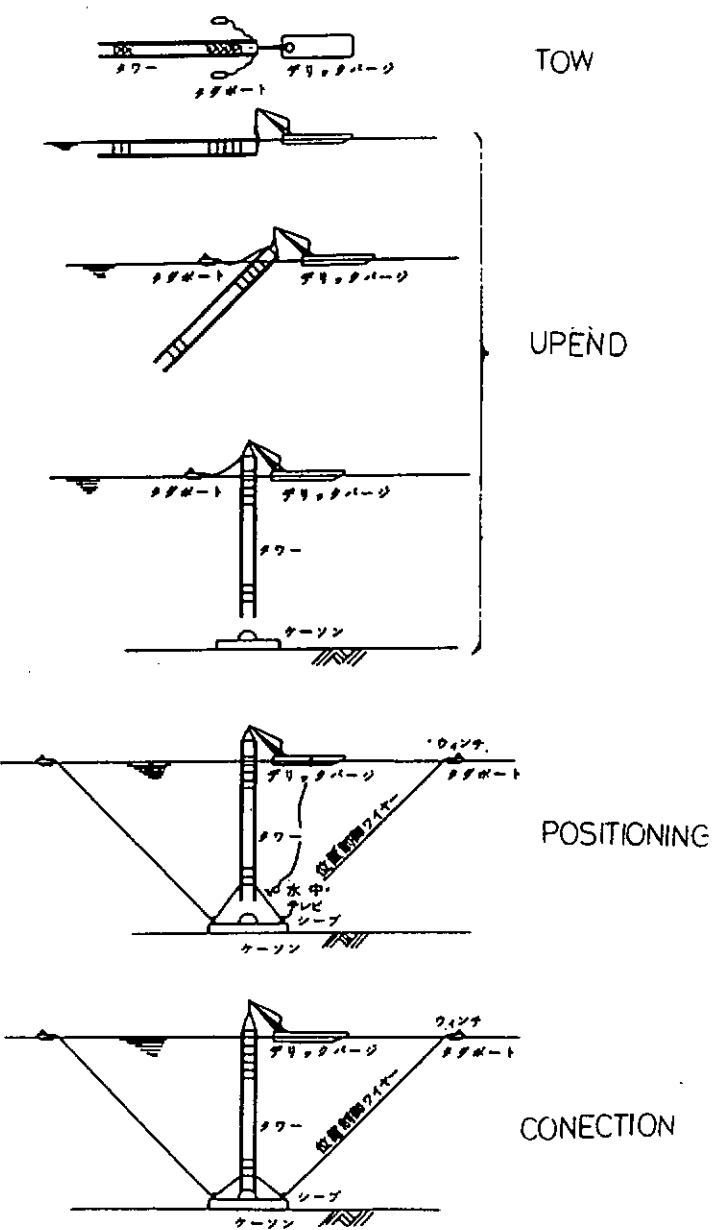


図 4.1.2.5 据付要領

(4) 深海施工にかかる技術

SALM, TLP, Guyed Tower および昨年度報告した Buoyant Tower 等の施工にあたって特に必要となると考えられるものを整理して示したい。

(a) 岔航

浮体構造、基礎構造物の種類、ヤードから現地までの輸送距離や海象条件によって、浮遊曳航するか、進水バージ等に搭載して曳航輸送される。バージ輸送の場合は現地にて進水しバージから降ろす。⁹⁾

これらの作業実施の為に次の施工検討がなされよう。

i) 浮遊曳航

- ① 曲航抵抗によるタグボートの選定
 - ② 曲航中の浮体の安定
 - ③ 曲航中の浮体の強度、振動、疲労

ii) バージ輸送

- ① 曜航中の安定
 - ② 固縛材の設計
 - ③ 構造物の安全性
 - ④ 進水

(b) アベント

海面に自然浮遊した状態の浮体構造を一度、鉛直に立てる作業が次に行われ、これはアベント作業といわ
れ従来ジャケットの施工で用いられている方法が利用されると予想され、それは以下のようないわゆる技術から構成
されよう。⁸⁾

i) 注水制御

- ① 自然注水
 - ② 強制注水

II) クレーン・アペンド

- ① クレーンによる荷重制御
② クレーンによる位置制御

このため ①作業時の浮体の水理的安定性、②注水時間と姿勢解析、③クレーン荷重の推算等を行ない、施工管理が進められよう。

(c) 位置保持／ロワリング／接続

基礎構造を杭井口上や所定の位置に据付けるため、また既に設置した基礎構造上へ、浮体構造を接続したり、TLPのテザー基礎構造への定着を安全かつすみやかに行なうため次のような補助機器が用いられる予想される。¹⁰⁾

i) 位置出し

- ④ トランス・ポンダー
⑤ 平面位置測定機器(エレクトロポジック, サテライトシステム, その他)

ii) モニタリング

- Ⓐ T. V.
Ⓑ ソナ-

④ 水中作業船（R. C. V.）

iii) 接近技術

- ① ガイドライン
- ② タガーライン
- ③ 引き込み装置（ラッチインシステム 他）

等の装置・機器を利用した施工技術が必要となり、このためディスプレイ装置を含むコンピュータシステム等が考えられている。

iv) ロワリング

定まった位置へ基礎構造物やレグを吊り降ろしていく際に、耐潮流・波浪性を有する施工法を採用することになろう。

耐潮流性に関しては ①ガイドライン、タガーラインの組合せ、②水中浮遊時の安定性、③場合によってスラスター等の駆動装置の利用など考えられ、一方、耐波浪性に関しては、①大型作業船や高安定作業船、②ヒーブ・コンベンセータの利用等があげられよう。

(d) 基礎構造の定着

基礎構造の定着は重力式アンカ、杭アンカー¹¹⁾が海底土管、必要把駐力との関連で選択的に用いられ、基礎構造の種類に応じて次の検討が必要となろう。

i) 重力式基礎構造

- ① 所定位置へのアンカーの沈設
- ② アンカーのバラスティング
- ③ 所要性能の確認

ii) 打設杭

- ① 長尺杭のアベンド
- ② 杭の立て込み・操入
- ③ 水中ハンマーによる打ち込み管理
- ④ 杭の水中切断

iii) 掘削・グラウト杭

- ① ドリリング技術
- ② グラウト施工管理

基礎構造の設置には例えば、TLPのテザー設計を満足させるため、基礎構造の厳しい据付けの精度が要求されている事を考えると、①向き、②勾配、③位置等の据付け管理が重要となると思われる。

参 考 文 献

- 1) 「海洋開発における基礎構造物の現状 — 施工技術」 社団法人、土質工学会、海洋建設研究委員会
- 2) 北島昭一編著「海洋施設の設計と施工」 土木学会編 新体系土木工学 85巻, 技報堂出版
- 3) "Offshore Mooring Terminals", ROGER MARID社 カタログ
- 4) 山口晶敬, "波浪観測ブイーテンション・レグ・ブイ", 土木技術, 35巻, 10号, 昭和55年10月
- 5) G. Sebastiani et.al. "Characteristics and Dynamic Behavior of Technomare's Tension Leg Platform", International Symposium on Hydrodynamics in Ocean Engineering, The Norwegian Institute of Technology, 1981.
- 6) Alan Grant & Partners of Cobham England, JUNE, 1974—VOL, #6 (雑誌名?)。
- 7) "海洋石油生産プラットフォーム開発調査報告書", 社団法人、日本海洋開発産業協会, 昭和57年3月
- 8) K. Sekita, "Evaluation of Upending Operations", Offshore - South East Asia 82 Conference, 9-12, Feb. Singapore.
- 9) Lyle D. Finn et.al. "Field Test of a Guyed Tower" Offshore Technology Conference, May 8-11, 1978, #3131.
- 10) Peter G. S Dove et.al. "Deepwater High Capacity Moorings" Offshore Technology Conference, May 4-7, 1981, #4050.
- 11) J. G. Mayfield et.al. "Installation of the Pile Foundation for the Cogvac Platform", Offshore Technology Conference, April 30-May 3, 1979, #3497.

4.1.3 維持補修及び塗装

深海域に係留された海洋構造物は、長期間海水、風雨、波浪、生物付着等の苛酷な自然環境下にあり、しかも定期的な入渠補修が困難なものもあるので、洋上における維持補修方法の技術が問題となる。ここでは、係留機器に関して維持補修方法の実績報告書がないので、一般に行われている海洋構造物の水中検査方法、水中清掃方法、水中溶接及び水中切断方法、水中塗装方法について現状を記述することにする。

(1) 水中検査法

水中非破壊検査技術は、陸上で使用されている非破壊検査技術を水中に適用するという方法で発達してきており、原理的には、水中独自のものではなく、使用されている機器も基本的には、陸上用のものを水密耐圧容器に入れ、絶縁性及び耐水性を持たせただけというものが多い。現在、陸上での技術が確立している検査方法のうち、浸透検査法を除く下記の方法が水中で実際に使用されている。

- (i) 水中カメラ及び水中テレビ検査法
- (ii) 超音波検査法
- (iii) 磁粉検査法
- (iv) 放射線透過検査法
- (v) 湍流検査法
- (vi) 防食電位測定法等

上記の検査方法のうち、わが国では、水中カメラ、水中テレビ技術を除くと、水中放射線透過検査法、水中磁粉探傷検査法などの二三の基礎的研究が公表されているものの、実例は殆んど報告されていない。これに対し、北海などでは、水中超音波探傷装置、水中磁粉探傷装置などが開発され、実用された事例が報告されている。

水中カメラ及び水中テレビ検査法は、ダイバー及びインスペクターの目視によるもので、装置としては、ダイバー操作のシステム、有人潜水船に装備するシステム、無人潜水機に装備するシステム等がある。その他の水中非破壊検査法の特徴について表4.1.3.1～2に示す。表4.1.3.1のうち、現在実績が多いものとしては、超音波検査、磁粉検査、放射線透過検査、渦流検査であるが、これらはダイバーにより行われるため、検査可能な水深及び時間の制約があり、ダイバーレスの防食電位測定法、A.E.等による非破壊検査法の技術開発が最近注目されつつあるが、表4.1.3.3に示す如く実施例は極く僅かである。

表 4.1.3.1 各種非破壊検査法の特徴 (1/2)

検査法	原理	機器の構成	特長
超音波検査法	・超音波は物体中、一定速度ではつきりとしたビームとして進行するが、(密度)×(音速)の異った材料表面や傷で反射する為、超音波の伝達と反射により材料の欠陥を見る方法。	・陸上用のポータブルタイプのものを水密耐圧ケースに入れ、探触子を防水にし、一体型式と探触子のみを防水にし、本体は海上に置きその間を水中ケーブルでつなぐ分離型式のものがある。	① ノイズの発生により複雑な形状は判読が困難。 ② 検査表面は、ウォータージェットで清掃する為、保護被覆が除かれる。
磁粉検査法	・鉄鋼のような強磁性体を磁化すると、表面または表面に極く近い傷の部分に磁束が漏洩して磁極ができる為、色磁粉により傷を明瞭にする方法。	・陸上用の機器を水密耐圧構造にし、電磁探針、または永久磁石とガンに装填された磁性粉末のインタ及び紫外線ライブより成る。	① 検査表面は、ニードルガンかワイヤープラシで清掃する為、保護被覆が除かれる。 ② 周囲の水の動きで感度がにぶる。 ③ 内部亀裂の発見はできない。
放射線透過検査法	・X線やγ線の強い透過力と感光作用を利用して、透過写真撮影により欠陥を調べる方法。	・X線方式は、陸上用の機器のX線管部分を耐圧構造にし、電源部や制御部は海上に置かれるが、γ線方式は陸上用の物がほとんどで無改造で使用される為、γ線方式が頻繁に使用される。	① 他の方法と違い使用には特別資格が必要。 ② 複雑な形状は判読が困難。 ③ 放射線フィルムが放射線源に相対して則り付けられる形狀しか使用できない。 ④ ある程度離して撮影する場合には、放射線の減衰防止対策が必要。
渦流検査法	・交流を流したコイルにより、金属材料は電磁誘導によって表面に過電流を生じるが、この過電流は周波数、材質、寸法、傷等により影響される為、反作用としてコイルのインピーダンスの変化を健全部と比較することにより傷検査する方法。	・超音波と同様に一体型式と分離型式がある。	① 水中探傷器が小さい為、狭い個所に使用出来る。 ② 材質変化、寸法変化、形状変化などを検出する為、接觸部などではノイズが出現する。 ③ 表面付近の欠陥のみで、平滑な表面を必要とし、全体の清掃が必要。

表 4.1.3.1 各種非破壊検査法の特徴 (2/2)

検査法	原理	機器の構成	特長
防食電位測定法	・構造物と海水との電位差を測定することにより、腐食の進行状態を知る。	・手持ち式の指示電極と電圧計より構成されるものと、指示電極は前もって構造物に永久的に装備され、ケーブルで水面上の電圧計に結合された固定式のものがある。	・固定式は、陰極防食システムの陰になつた局所の点検は出来ない。
ACOUSTIC EMISSION (A.E.)	・構造物が、外力により変形あるいは破壊する際には、ひずみエネルギーが解放され弹性波が生ずる。この現象 A.E. を常時モニターして、構造物に欠陥が生じたり、欠陥が拡大したりすることによる A.E. の変化を発見する方法。	・構造物の水中部の数個所に高感度のトランステューサーを取り付け、水上のセンサーを取り付け、水上のセンサー、記録、解析などの機能を有する装置と水中ケーブルで結合されたもの。	・弾性波の形状により、欠陥の種類や大きさ、到達時間の比較解析により発生位置が判別できるが、正確な位置、種類、大きさは他の NDT が必要。 (使用例は極く僅か)
応力測定法	・構造物内の応力をストレインゲージでモニタリングし、検査の必要な箇所を知る。	・ストレインゲージとモニタリング装置より構成される。	・ゲージ数は経済上限定されるので、装置位置の決定が重要となる。
高精度測定法	・プラットフォームのいろいろな点の沈下の測定により、構造物に生じている応力を、設計分析により求め、応力が上昇した所を知り、検査の必要な箇所を知る。		・現在 未実施
振動計測法	・構造物の振動モードを水上でモニターすることにより、部材欠陥による振動モードの変化を知り、欠陥箇所を知る。	・水中の固定された加速計と水上のモニタリング装置	・補助部材等の欠陥は発見が困難。 その他の方法として、従来よりよく行われている外観検査(ダイバーによる目視、水中カメラ、テレビ等による監視)があり、現在研究開発段階のものとして、反発ハンマーの利用や音響ホログラフィーがある。

表 4.1.3.2 各種非破壊検査法により検知し得る情報

検査法	欠陥の種類	形状	寸法	厚さ方向の位置
超音波検査法	(内部欠陥) 欠陥の発生が予想できる位置。	走査方法により、平面状、円柱状、球状など判別。	溶接部の探傷の場合、溶接線に沿った走査により、欠陥長さの判定は実際と良く一致、欠陥の厚さ方向は判定誤差大。	標準試験片との比較により、ラウン管上の欠陥エコーの位置から正確に判定。
磁粉検査法	(表層部欠陥) 磁粉模様から判別	左 同	表面上の長さ測定	不可
放射線透過検査法	(内部欠陥) 放射線フィルムに記録された欠陥パターンにより判別	欠陥パターンにより判別	欠陥パターンにより 2 次元的な広がり判定	立体撮影により可能
渦流検査法	(表層部欠陥)	不 可 判別	うず電流の波形変化により 表面開口欠陥の深さは、標準試験片との比較により判定。	不可

非破壊検査法による検知し得る情報

- 種類： 欠陥の種類……内部欠陥（割れ、溶込不良、スラグ巻込み、プローホール、融合不良）
 表層部欠陥（割れ、ピンホール、線状きず）
- 形状： 欠陥の形状……平面状、円柱状、球状、線状
- 寸法： 欠陥の寸法……長さ、深さ、広がり
- 厚さ方向の位置： 欠陥が存在する位置の検査表面からの距離

表 4. 1. 3. 3 各種 NDT 機器

検査法	機器名	特徴	製造者
超音波	Ultra scan III SDM-2 NDT-123U Mermaid Seaprobe SP200 PA1011	探傷用、超音波探傷装置と水中TVカノーナを組合わせたシステム 厚み測定用、Krautkramer-Branion社のDM-2厚み計を水中用に改良したもの 厚少割定用、陸上用ボーダブル厚み計NDT-123を水中用に改良したもの 厚み測定用 厚み測定用	(米) SYLVESTER UNDERSEAS INSPECTION (米) DEEPSTAR DEVELOPMENT CORPORATION (米) NORTEC CORPORATION (英) BALTEAU SONATEST LTD. (英) BAUGH & WEEDON LTD.
不 脂	Ultrasonic Torch	探傷子の位置決めの簡素化及び走査を自動化した探傷システム	(英) HARWELL
USM 2M	探傷用 陸上用のものを専用の水密耐圧ケースに入れたもの	(英) THE MATEVAL NDT CO., LTD.	
DM-1 DM-2 DM-U	厚み測定用 同 上 厚み測定用 同 上 厚み測定用	(西独) WELLS-KRAUTKRAMER LTD.	
CORROSCAN	パイプ等の腐食量の測定用、船上のモニター及びレコーダーと組合わせたシステム	(ノルウェイ) DET NORSKE VERITAS	
Underwater M.P.I System R&D 11 M.M.M. System mpI System	探傷用、3種類の磁化装置が使用可能なシステム 探傷用、Magnaflux社のものを水中用に改良したもの 磁気テープを使用した探傷システム 船上でモニタリングする探傷システム	(英) OILFIELD INSPECTION SERVICES LTD. (伊) SUB SEA OIL SERVICES S. P. A. (西独) INSTITUT DR. FÖRSTER (英) OSEL OFFSHORE SYSTEMS ENG. LTD.	
Nautlius	探傷用、γ放射線を使用した小型軽量なシステム	(英) OILFIELD INSPECTION SERVICES LTD.	
放射線	γ放射線と超音波を組み合わせて使用する探傷システム	(英) COMEX UNDERWATER INSPECTION LTD.	
AMLEK MK 6A UNDER WATER HALEC	探傷用、船上用ボーダブルタイプの探傷器MK 6 Aのプローブのみを防水したもの 機器全体を防水構造にしたもの	(英) INERTIA SWITCH LTD. (英) HOCKING ASSOCIATES(ELECTRONICS) LTD.	
Bathycorrometer	腐食状態測定用	(英) ROXBURY ENGINEERING LTD.	
防食電位	Remote Potential Monitoring System SS-3	(英) WILSON WALTON INTERNATIONAL LTD. (ノルウェイ) CORRINTEC SCANDINAVIA A/S	
A . E	ACOUST-SUBSEA (不 脂)	(英) EXXON NUCLEAR CO., LTD. (英) UNIT INSPECTION CO.	

(2) 水中清掃法

海洋構造物の水中検査又は水中塗装を行う場合、検査面又は塗装面の生物付着等を取り除く必要がある。実用化されている水中清掃法としては、エアスクレーパー法、ウォータージェット法、Sea Mesh法等がある。

エアスクレーパー法は、エアモーターによりブラシ又はカッターを回転させる方法で、操作方法により次のように分割される。

(a) ダイバー操作方法

直接ダイバーが水中で装置を操作する方法で、仏国製の油圧ユニットとナイロン又はワイヤー製の回転ブラシより構成されるBrush Buoy 又はBrush Kartがあり、日本製のものとしては、回転時に吸着力を発生させ、オペレーターの身体的負担を少なくしたMUC(MITSUI UNDERWATER CLEANING)等がある。

(b) 水面上直接操作方法

水面上より直接装置を操作する方法で、英国製のブラシの付いたテレスコピック軸で40フィート深さまで清掃可能なBrush Boat があり、また豪州製の3個の回転ブラシとダイバー座席のある装置等がある。

(c) 遠隔操作方法

米国製のSCAMPは、直径1.8m、厚さ50cmの船上より遠隔操作される自走式の清掃装置であり、中央部に吸着用のインペラと3個の清掃回転ブラシ(ポリプロピレン製又は銅製)が取付けられている。

ウォータージェット法は、高圧水(300~600kg/cm²)をウォータージェットガンのノズルから噴射し、その高圧、高速流により清掃する装置であり、エア・スクレーパーより能率よく複雑な形状にも実施することができる。また、コンプレッサーフエア(15kg/cm²)に砂粒子を混合し、ウォータージェットガンと併用するとサンドブラスティングを行うことができる。

Control Dynamics社のSea Mesh法は、網状の導電物質を爆発させ圧力波により除去する方法。導電物質の取付けに2~8時間要するが、清掃が70~80秒と瞬時に行得るのが特徴である。

(3) 水中溶接法

現在実用化されている水中溶接法は、いかに地上での溶接施工状態に近い状態を作り出して、水中での溶接を行なうかということに主眼をおいた保護形式によるものが一般的である。

水中溶接法に関し表4.1.3.4.“主な水中溶接法の概要”に示すように形式別に分類し、以下にそれぞれの概要を述べる。

(i) 湿式

水中で直接アークをとばして溶接を行なう方法で、手軽に使用できかつ経済的であることが特長である。

一方冶金的には、周囲の水の影響を直接受けるため、アーク熱による水の分解に伴う水素のピックアップや、急冷により溶接部の脆化と水素割れが起きやすい。

このため適用材料はほとんど軟鋼材に限られる。

又作業性の点からは、地上に比べ作業者の安定性が悪い上に、溶接時のガスバブルの発生および水の汚濁に溶接線の目視が難しく、高度の潜水および溶接技能が必要となる。

(ii) 局部空洞形成式

MIGまたはCO₂溶接法において溶接箇所の水を水ジェットにより排除し、シールドガスの被包効果を高めて溶接を行なう方法である。

この方式の欠点は湿式法ほどではないが、溶接部が相当急冷される点にある。このため適用材料は今のところ軟鋼材に限られる。

作業性の欠点としては、溶接中のシールドガスによるバルブのため溶接箇所を直視できること、および隅内溶接への適用が難しいことがあげられる。

(III) 簡易ボックス式

溶接箇所を透明な材料で作られた簡易ボックスでとり囲み、その中の水を不活性ガスにより排除して溶接を行うもので、ハイドロテック社(米)考案によるPDS(PORTABLE DRY SPOT)という装置がその総端である。

この方法の長所は、溶接部品質が乾式溶接のそれと同時のものを期待でき、しかも乾式法に比べ低コストで施工できる点にある。一方、長時間あるいは大深度での作業には安定性及び安全性の確保が乾式法に比べ難しい点が短所となっている。

(IV) 乾式

チャンバにより溶接箇所および作業者とも囲み、その中の水をガスで排除してチャンバ内に気相空間を作りその中で溶接作業を行う方法である。

チャンバ内の気相空間を作業水深に応じた高気圧に保つ"ハイパーバリック(HYPER BARIC)法"と、圧力容器内を大気圧に保つ"大気圧下法"の2形式があり、いずれも大気中と同等の溶接部品質を保持することができ、しかも長時間にわたる大水深作業に於ても作業の安定性、安全性を得られる長所があるが、他方コストが高くつく欠点がある。メキシコ湾あるいは北海を中心として既に多くの施工実績があるが、現在多くの企業が、関連システムの開発、改良に取り組んでいる。

(V) その他

上記の外にも各種の溶接法について

水中で使用できるか否か、あるいはどの様な条件を満せば満足すべき継手が得られるのか、種々試みられている。これらのうち水中に於る平板へのボルトの溶接法として水中スタッド溶接は取扱が容易でかつ高度な溶接技術を要しないという特長があり、又水中爆発接合は特別な施工技術及び装置を必要とせず極めて操作が簡単という長所があり、いずれも既に実用化の域に達しているとみなせる。

これらの外の溶接技術はいまだ研究開発の途上にあると考えられる。

(4) 水中切断法

水中切断技術の開発も水中溶接技術の開発と同じように、地上で使用されている切断技術をいかにしたら水中でも充分な性能を維持でき、作業性及び安全性の低下を防げるかということで進められてきた。

水中切断法に關し表4.1.3.5."主な水中切断法の概要"に示すように形式別に分類し、以下にそれぞれの概要を述べる。

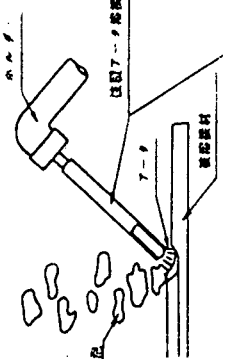
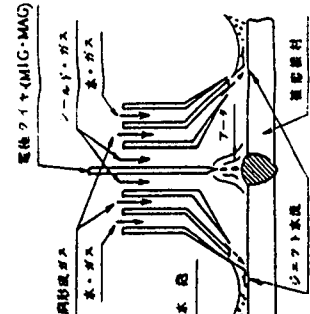
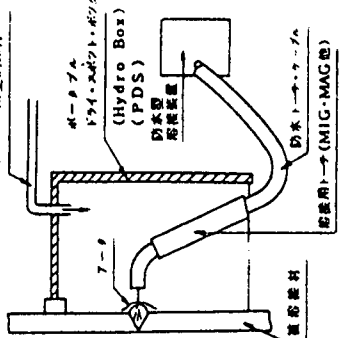
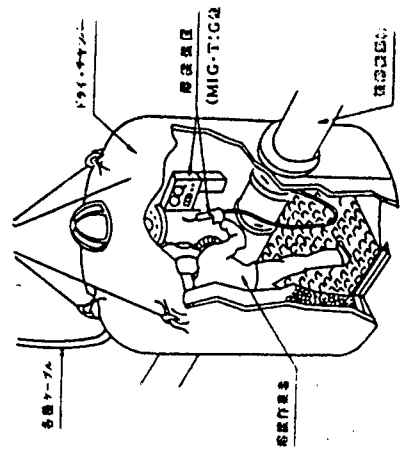
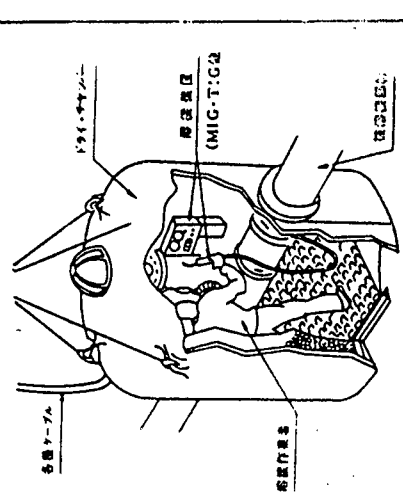
(I) ガス切断

切断原理は空気中のものと同様である。即ち、鋼をガス炎によって燃焼温度まで予熱し、酸素の高速ジェット流を予熱金属に直接当て、鋼を酸化および溶融する、酸素ジェット流は酸化物および溶融物を吹き飛ばしスカーフを形成する。

このガス切断法は一般に軟鋼、低合金鋼および酸化されやすい材料の切断に使用される。耐食鋼あるいはチタンを除く非鉄金属の切断にはあまり適していない。

軽くて持ち運びのできる装置で構成され、ダイバーの感電やダイバー装置の電解腐食等の電気的障害が無い長所があるが、他方水の分解により作られた水素による爆発の危険性があること、後述の酸素アーカ切断よりは作業者の熟練度が要求されかつ切断速度が遅い短所がある。

表4.1.3.4 主な水中溶接法の概要

項目	方 式	運式法	局部空洞形成式		簡易ボンクス式		乾式法	
			溶接	溶接	溶接	溶接	溶接	溶接
概 説								
適用溶接法	SMA	手動	MIG(MAQ)	自動	SMA	MIG(MAQ)	SMA	MIG(MAQ), その他 手動, 半自動
適用溶接材	全般手動		突合せ縫手	全縫手				軟鋼～60キロハイテン 軟鋼～60キロハイテン
作業者の安全性	×			△	◎		○	
溶接技量	かなり高度な技量必要		自動のため不需要	高度な技量を要求		大気中作業と同様の技量を要求		
実績作業水深	20m(本溶接の場合)		原則的には深さ限界がない。 但し、使用実績なし。	80m		80m	300m	
溶接性能	×		△	△	○	空気中と同等	○	空気中と同等
施工具	比較的安価		高価	比較的高価		(ボンクスの製作費に依存)	高価	(乾式チャンバの製作費大)
備考	操作性能が問題		溶接箇所の目視性不良が問題	操作性が高価		操作性が問題		操作性が問題

(ii) 水カーテン式水中ガス切断

切断原理はガス切断と同一である。ガス切断では炎の安定および母材予熱部の冷却防止を目的とした保護ガスとして空気を使用しているが、水カーテン式水中ガス切断では保護ガスを全く使用せず、切断器先端ノズルの外側に水カーテンを形成させるためのノズルを設けることにより、切断品質、切断速度を大気中の切断結果とほぼ同等になる様改善したものである。予熱ガスとしてはLPガスに30%程度のメチルアセチレンを混合したガスを使用する。この場合LPガスとアセチレンガスの物理特性により予熱ガスの液化圧力が決まるので、使用水深は比較的制限をうけやすい。

(iii) 酸素アーク水中切断

基本原理は予熱熱源として炎の代わりにアークを使用すること以外はガス切断法と同一であり、現在最も広く使用されている水中切断法である。

切断用電極の開発は、ほとんどアメリカ海軍が第2次大戦中に行っており、今日の酸素アーク水中の切断用電極の基礎となっている。

この酸素アーク水中切断技術は作業が容易であり、ほとんどの金属すべての板厚を切断できる。電極は軽く取扱いが簡単で、消耗電極も安価である。

全ての電気アーク水中切断技術にあてはまる欠点は感電の危険性と電解により生成される酸素／水素混合ガスによる爆発の危険性である。他の短所としては、電極の頻繁な交換を要し、この時電流のON/OFFスイッチ操作を行うため、作業者と水上の補助者との間の密接な協力が必要なことである。

(iv) 金属アーク切断

この切断技術は水中被覆アーク溶接法と同様の装置および消耗材料を使用する。両者の相違はメタルアーク切断ではより高い電流密度を必要とすることである。

切断機構からすれば、アークによる溶融の一種であり、これには発熱反応や溶融金属を除去するためのガスの吹付はいっさい関与していない（代わりに水ジェットを用いて、溶融金属を除去する方法がある。—四国工業技術研究所が開発）。

ほとんど全ての金属を切断することが出来る。

(v) プラズマアーク切断

この切断技術はプラズマ溶接法と同様の装置を使用する。プラズマ切断と溶接の相違点は、切断の場合、高電流および高速ガス流とすることである。

高温、高速のプラズマジェットは、従来のガス切断に比べ、飛躍的な切断能力を有するので、軟鋼はもとよりステンレス鋼の切断も問題なく行うことが出来る。

現在は原子炉部品の解体用として商業化されているが一般的海洋構造物に対しては未だ実用例はない。

大深度での切断法として将来大きくクローズアップされてくるものと思われる。

(vi) その他

爆発切断は、従来より水中サルベージ作業に使用されていたが、切断あるいは破断のされ方が極めて不規則なうえに近接部材を損傷させる危険性が高く使用範囲が限定されていた。

しかし、最近になって成形爆薬チャージ（金属ケース内に爆薬を詰めたもので、起爆時にメタルライナーが崩壊し、高速金属粒子ジェットとして被切断機材に衝突する）が開発され、これにより高級かつ正確な切断手段として使用範囲が広がった。

又、従来から非金属の切断や超厚板鋼材の切断に用いられていた切断法にサーミックランス（酸素槍切断）

表4.1.3.5 主な水中切断法の概要

方 法	ガス 切 断	水カーブン式ガス切断	管長一アーチ切断	企氏一アーチ切断	フスマ切断
取 目	燃素 燃料ガス -H ₂ -O ₂ -O ₂ H-Q -MAP-P-Q -LP-O ₂ 切断火口 切断方向	燃素 燃料ガス -H ₂ -O ₂ -O ₂ H-Q -MAP-P-Q -LP-O ₂ 子熱炎 切断後燃氣流 母材 反応域 ドラグン Fe ₀ Fe ₃₀₄ Fe ₉₀₂	切断性 -企氏 -セラミック -接觸帶 トーチ 水流 Contact Tip Horns N.H.	企氏一アーチ切断 水流 Contact Tip Horns N.H.	フスマ切断 水流 Contact Tip Horns N.H.
使 用 実 練	現在行なわれている水中切断 作業の約10% 最大作業水深 約100m(燃素ガス) 最大作業水深 約100m(燃素ガスと酸素混合ガス) ・発火の危険性有り (1) H ₂ -O ₂ ----- 100 mまで内燃 (2) O ₂ H-Q ----- 7.5 mまで内燃 (3) MAP-P-Q ----- 比較的安全 (4) LP-O ₂ ----- 比較的安全	現在行なわれている水中切断作業 の約90% 最大作業水深 約150m(燃素ガス) ・燃素の危険性有り 水深に応じ電圧上昇 (60 mで約70 V)	実用化研究中 最大作業水深は燃素ガスと酸素混合ガスの場合 約10m程度 ・比 較 的 安 全	実用化研究中 最大作業水深 約10m程度 ・自動化されているので、手切断 より安全であるが、水深に応じ 高電圧を必要とするので、取扱 に注意を要す。	実用化研究中 最大作業水深 約10m程度 ・高度な技能を必要としない。 (自動化されているため)
作業者の技量	高度な技量を必要とする。	高度な技量を必要としない。 (自動化されているため)	高度な技量を必要としない。 (自動化されているため)	高度な技量を必要としない。 (自動化されているため)	高度な技量を必要としない。
切 断 速 度 (対象:板厚20mm の構造用鋼)	500 mm/min (電流: 300 A)	800 mm/min (電流: 300 A)	500 mm/min (電流: 300 A)	750 mm/min (電流: 1200 A)	1000 mm/min
切 断 精 度	良	良	不良	不良	良
通 用 材 料	普通 合全 鋼	特殊 钢	金属性 材料	金属 材料	非金属 材料
備 考	四国工業技術試験所が開発				大深度での切断法との検討

がある。

サーミックランスは鋼管内に鉄筋をつめた構造になっていてこの鋼管の中心を通した酸素を先端から吹出し、この先端部を外部熱源により加熱し、管内につめた鉄筋を高温で発熱燃焼させて被切断部を溶融させて切断するものである。この方法では酸素を使用するので、もえ残った配素が水分解により生成した水素と反応していくわゆる "スチーム爆発" を引起す危険がある。従ってサーミックランスによる切断作業はダイバーにとって相当危険な作業となる。作業水深も比較的浅い所に限られる。

(5) 水中塗装法

水中塗装を行う場合、付着した生物や腐食面の除去及び清掃等がきわめて重要であるが、これらの現状技術は本章(2) "水中清掃法" で既に述べられた通りである。水中での塗装には、水中硬化型塗料とその塗料の特性に合致した水中塗装機が必要となる。

水中硬化型塗料にはエポキシ樹脂系塗料、ポリエステル樹脂系塗料等が実用化されており、硬化剤としてはボリアミド樹脂等が使用されている。

水中塗装方式に関する現状技術を分類すると

- (i) 水中塗装面に何らかの方法で塗装空間を作り塗装する方法
- (ii) 直接水中で塗装する方法

の2つに大別される。これらの現状技術の具体的な内容はSR182研究部会「海洋構造物の重防食に関する研究」報告書にて既に包括的に報告されているので、本報告書では詳細説明を省略する。

4.1.4 海底土質及び把駐力

昨年度は海底土質の状態定数の推定法、海底土質の種類と特性、把駐力係数の求め方、各種アンカーの把駐力等について調査した。

本年度は、深海係留に有効なアンカーを抽出することを目的として、アンカーに要求される性能、浮遊式海洋構造物のアンカーの装備実績、各種アンカーの把駐力を文献により調査した。

以下にその結果を述べる。尚、各種アンカーの深海係留への適用性については「4.1.5 高把駐力アンカー」で述べることとする。

(1) アンカーに要求される性能と条件^{1), 2), 3)}

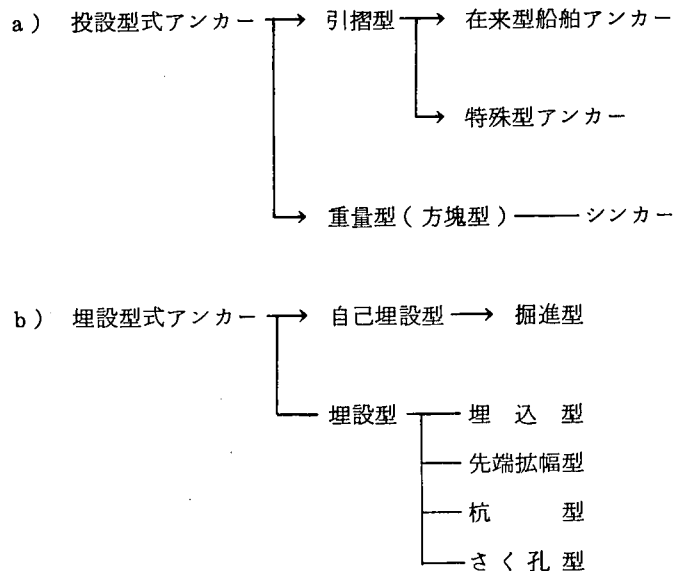
アンカーに要求される性能と条件は

- (a) 底質に関係なく常に把駐性能（把駐力、安定性）が良いこと。
- (b) 取扱い、据え付けが容易であること。
- (c) 製造コストが安いこと。

などであり、基本的には浅海係留と深海係留とで相違はない。しかし、深海係留では据え付けの難易がより重要な要素となる。

(2) アンカーの種類

アンカーの型式は非常に種類が多く、分類法もそれぞれ異なっている。ここでは、昨年度の報告書に従い、投設型式アンカーと埋設型式アンカーとに大別し、それらを細分類すると次のようになる。



投設型式アンカーは、海面上から投下させて海底に落下した状態で把駐力を発生するものである。

引摺型は、或る程度引摺ることによりアンカーの爪が海底土質に食い込んで把駐力がアンカーの自重より大きくなるものである。一方、重量型はコンクリート、鉄、砂、礫等の方塊を海底に沈め、垂直方向の把駐力は自重で、水平方向の把駐力は海底土質との摩擦で発生するもので、一般にシンカーと呼ばれているものである。

埋設型式アンカーは、海底土質内に埋没して把駐力を発生するものであり、埋設方法により、水中ジェット起爆または自由落下等により海底土質に埋没する自己埋設型と人為的に海底土質に没設する埋設型とがある。

引摺型は在来型船舶、セミサブリグ等に広く装備され、主に比較的短期間の係留用として使用され、重量型と埋設型式アンカーはブイ、海洋温度差発電(Ocean Thermal Energy Conversion - OTEC)、テンショングレグプラットフォーム(TLP)、ガイドタワー等に装備(計画)され、主に長期間の係留や半永久的な係留用として使用されている。

(3) アンカーの装備実績

次の浮遊式海洋構造物について、アンカーの装備実績を製品カタログ、文献により調査した。

- (a) セミサブ リグ
- (b) ブイ
- (c) OTEC
- (d) TLP
- (e) ガイド タワー

以下にその結果を述べる。尚、記載内容が製品カタログ、文献で異なるものについては、製品カタログの内容を優先させた。

(a) セミサブ リグ^{4),5)}

セミサブ リグの係留要目とアンカータイプ毎の装備実績数を表4.1.4.1に示す。また、それらのアンカーのいくつかを図4.1.4.1に示す。

表4.1.4.1より、セミサブ リグのアンカーはすべて引摺型アンカーであり、その中でもLWTアンカーが最も多く使われていることがわかる。

また、一般にリグでは所有者(船主)は同じタイプのアンカーを装備する傾向があるが、Danforthアン

カの装備実績は減少し、Bruce TS (TSとはtwin shankを意味する)、Stevin MK III, Stevfix, Flipper-Deltaといった特殊型アンカーを装備したセミサブリグが最近増加していることがわかる。

(b) プイ

表4.1.4.2より、パイのアンカーとしては、試験用として比較的短期間設置されるものを除き、重量型(シンカー)や埋設型アンカーが使われていることがわかる。

(c) OTEC^{6),7)}

OTECの計画は数多くなされているが、実機はなくテストプラントもハワイで海上実験を行なったMini OTECとOTECA-1だけのようである。

Mini OTECとOTECA-1の係留概要図を図4.1.4.2と図4.1.4.3に示す。

Mini OTECではアンカーとしてコンクリート製シンカー(重量15t)が使われ、海底土質がハワイ特有の低粘度溶岩が流下固化してできた固くて滑らかなものため、アンカーの滑下防止のためにアンカーは鋼製の" Shear Key "を有すると共にワイヤロープで海岸の杭に結びつけられている。

一方、OTECA-1では、破断強度260tのチェーンアンカーが使われている。これは長さ3m、重量16.8tの径51mmのチェーン7房を中央の径70mmのチェーンに結び一体としたものである。

計画の例としてRosenblatt社とLockheed社の係留要目を表4.1.4.4に示す。これらの計画では、埋込型アンカーを採用しているようである。

(d) TLP^{8),9),10)}

TLPは計画、試作がほとんどで、実機は1984年に北海のHutton Fieldに設置予定で、現在建造中のCONOCO社のTLPだけである。

試作機、実機設計例の主要目と概要図を表4.1.4.4と表4.1.4.5に示す。

アンカーとしては、パイル或いはシンカーを採用しているものが多い。

CONOCO社のHutton Field TLPの係留システムを図4.1.4.4に示す。

アンカーは杭型アンカーの一種で、杭打ちによって海底面に固定された基礎テンプレートにレグ下端に設けられたアンカーコネクターを浮体からの遠隔操作によってロックするシステムになっている。

(e) ガイドタワー^{11),12),13)}

ガイドタワーの実機としては、1984年にメキシコ湾の水深約300mの海域に設置される予定のExxon社のガイドタワーだけである。実機の概略図を図4.1.4.5に示す。アンカーとしては実機設計のための海上大型模型実験ではBossアンカーが使われたが、実機では杭型アンカーが採用されている。

(4) 引摺型アンカーの把駐力^{14),15)}

各種のアンカーの把駐力については既に昨年度、調査されているが、本年度はセミサブリグに装備されることが多い特殊型アンカーを主体に製品カタログ、文献により把駐力の補足調査を行なった。調査結果を表4.1.4.6から表4.1.4.9と図4.1.4.6から図4.1.4.12に示す。これらの図表より、LWT, Danforthアンカーでは把駐力係数はアンカー重量の増加に従って小さくなり、セミサブリグで使用されることの多い重量が15tから20tの範囲では10前後の把駐力係数しか期待できないことがわかる。これに対して、Bruceアンカーでは把駐力係数はアンカー重量に関係なくほぼ一定で、40以上の把駐力係数を期待できることがわかる。Bruce TSアンカーのデータはないがBruceアンカーと同程度と思われる。又、Stevin, Stevfixアンカー等、最近装備実績が増加しているアンカーも20以上の把駐力係数が期待できるようである。

表 4.1.4.2 ブイのアンカー装備例

表 4.1.4.1 セミサブリゲのアンカー装備実績
(文献 4) 5) カタログによる)

NO.	アンカーカーのタイプ	支障数	角名
1	LIGHT WEIGHT TYPE (LWT)	70	最も支障の多い
2	DANFORTH	15	最近の支障少い
3	MOORFAST	11	
4	STATO	2	
5	STAYRITE	3	
6	STEVIN	3	
7	FLIPPER-DELTA	4	
8	OFFDRILL	2	
9	BRUCE	4	
10	BRUCE TS	6	
11	STEVDIG	2	
12	STEVIN MK III	4	最近の支障少い
13	STEVIFIX	5	最近の支障少い
21	STEVIN or BRUCE	1	
22	STEVDIG or FLIPPER-DELTA	1	
31	(BALDT)	7	(バルト)
32	(VICINAY)	6	(ヴィセナ)
"	(not mentioned)	26	

7-1 の 名 称	アンダ-	概 要 図	備 考
Richardson のアシストシステム	アンダ-シル-	図4.1.4.2	
Warren Effect 7-1システム (WEBS)	固定アンダ- 10,000 lbs.	図4.1.4.3	
MOMAD 自動負荷基準システム	モニタ付アンダ- 500 lbs.	図4.1.4.4	標準 11250 ft
モニタ- 7-1	Danford 7-D- 500 lbs.	図4.1.4.5	ECMRA規格
決済測定7-1	Danford 7-D- 10 c	図4.1.4.6	
油井監視装置	シンカ- *重量 160 c	図4.1.4.7	標準 192 m
TOTEM 2型油管	アンカ-7D-7 (シンカ-)	図4.1.4.8	*標準 540 m

表 4.1.4.3 Rosenblatt 社と Lockheed 社の OTEC 試設計
(文献 7)による)

テンション基盤上に二基とも、CWPの電源を直結する。

表 4.1.4.4 TLP の試作機・実機設計例の主要目・特性値
(文献 8)による)

特 性	設計例	DOT Deep Oil X-1 ⁽¹⁾	Aker TPP ⁽²⁾	AMOCO VM ⁽³⁾	CONOCO TLP ⁽⁴⁾
		火 作 壓	底 底 設 計	底 底 設 計	火 作 壓
上部構造型式	3角型コラム・火 ハル	4角型コラム・火 ハル	4角型コラム・フーティング	4角型コラム・火 ハル	
係 留 方 式	鋼製・垂力式アンカー	鋼索・パイリ打込式アンカー	ライダー兼用鋼管・骨組一体構造垂力式アンカー	鋼索・パイリ打込式アンカー	
総 排 水 量 (tonnes)	(650)	31.000	—	51.700	
上部構造重量 (tonnes)	435	30.000	(16.950)	35.000	
起 初 施 工 力 (tonnes)	—	8.000	—	12.500	
四 板 尺 寸 法 (m)	一辺 36.6	67.2×64.0	46.8×46.8	78.0×74.0	
上部構造全高 (m)	20.1	63.5	64.9	64.5	
作 業 時 桁 高 (m)	—	31.0	36.3	30.0	
登 電 木 深 (m)	71	(300/1,000)	(230~910)	147	
コ ラ ム 数	3	4(主)+2(副)=6	4	5(主)+2(副)=8	
主コラム外径 (m)	3.0	14.0	9.1	14.6	
没水浮力体積	3(主)+3(副) =6(水平円筒)	2(水平円筒)	4(箱型円筒)	4(水平円筒)	
没水浮力寸法 (m)	1.5φ(主), 0.9φ(副)	11.0(高)×8.5(幅)	18.2φ	11.5(高)×7.5(幅)	
係 留 鋼 管 算 數	2×3=6	5×4=20 (3×4=12)	—	3×4=12	
係 留 鋼 管	IWRG (鋼索)	PWS (鋼索)	円 管	厚肉円管	
係 留 鋼 管 尺 寸	外径 7.3 cm	壁 厚 度 7 mm 鋼管本数 360 (400)	外径 47.3 cm	23.0 cm (外径) 7.5 cm (内径)	
係 留 鋼 管 鋼 性 (tonnes)	—	1.45×10 ⁶	—	9.36×10 ⁶	
起 初 張 力 / 上 部 構 造 重 量	—	0.26	—	0.23	
若 幾 何 性 / 上 部 構 造 重 量	—	187	—	232	

表 4.1.4.5 各種 TLP concept の分類 (文献 9) による)

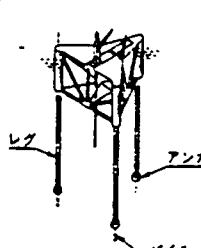
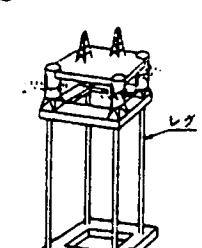
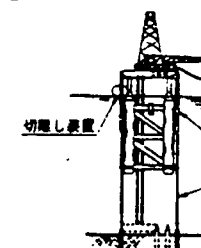
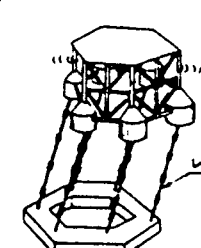
概念図	①	②	③	④
				
	底留方向 垂直	垂直	垂直	垂直
	レグ機能 強度部材	強度部材	強度部材	強度部材
底留方式	鋼鉄、鋼錆、鋼管など バラストタンク付アンカー、パイル併用	シンカーレグ	切離し装置 パイ	パイル シンカーレグ
その他	<ul style="list-style-type: none"> ○アンカー設置は比較的容易 ○レグ損傷時の安定性及び移動性は良い ○北海稼動用の試設計例 (LR認定済) <ul style="list-style-type: none"> 排水量 31 000t 係留索 18本 - ø178 mm ワイヤ 海上実験 (Deep Oil X-1) 実施済み <ul style="list-style-type: none"> 排水量 435t, L37m, H20m 水深 61m 	<ul style="list-style-type: none"> ○レグ損傷時の安定性及び移動性は良い ○試設計例 <ul style="list-style-type: none"> L,B = 80~90m 水深 152~503m 16~24本 ワイヤ使用 初期能力 1000t ワイヤ 	<ul style="list-style-type: none"> ○レグ損傷時の安定性及び移動性は良い ○係留索の途中に、自動切離し装置を有する 	<ul style="list-style-type: none"> ○SBB (Submerged Buoyant Basement) 方式
開発会社	Deep Oil Technology (米)	Arge TLP (英)	Texaco Development Corp. (米)	Jersey Production Research Co. (米)
概念図	⑤	⑥	⑦	⑧
底留方向	垂直	垂直	斜め	垂直
レグ機能	強度部材とライザーパイプを併用	強度部材	強度部材	強度部材
底留方式	ライザーパイプ (鋼管) アンカー、パイル併用	鋼管 + 剥離したライザーパイプ パイル	アンカー バーシング	強度シンカーレグ
その他	<ul style="list-style-type: none"> ○レグ損傷時の安定性は良い ○試設計例 <ul style="list-style-type: none"> 排水量 30 000t 係留索 32本 - 外径 473mm パイプ ○ライザーパイプの振動 (フラッタ) を減ずるため、心出し部材を利用 	<ul style="list-style-type: none"> ○レグ損傷時の安定性及び移動性は良い ○强度部材としては、鋼管を用い、ライザーパイプは剥離させておく 	<ul style="list-style-type: none"> ○SBB 方式 ○海上実験実施済み <ul style="list-style-type: none"> 排水量 124t 水深 30m 係留索 6本 - 25mm ワイヤ 	<ul style="list-style-type: none"> ○SBB 方式 ○レグ部材として、伸縮性の円筒浮力部材 (ロッド) を使用
開発会社	AMOCO, Standard Oil Co. (米)	Pan American Petroleum Corp. (米)	Inter Continental Marine Development Ltd. (英)	California Research Corp. (米)

表 4.1.4.6 Stevin, Stevfix, Stevmud Hook
アンカーの把駐力
(カタログによる)

アンカータイプ	底質	把駐力値
STEVIN	Sand	28
	Mud	18
	Hard soil	17-32
STEVFIX	Sand	40
	Mud	25
	Hard soil	40
	Very soft mud	40 ^{*注}
STEVIMUD	Mud	35
HOOK	Sand	50
	Mud	40
	Hard soil	60

*注 Mud adapter E付加しの場合

表 4.1.4.7 Delta アンカーの把駐力
(カタログによる)

Anchor weight lbs pounds	Dimensions in millimeters						Weight in tons
	A	B	C	D	E	F	
120 (265)	1250	883	1460	36	25	200	1/2 ton
420 (925)	1800	900	2070	52	36	260	4-5 tons
550 (1210)	2000	1000	2300	52	36	300	10-12 tons
700 (1550)	2150	1167	2470	52	36	300	12-14 tons
1000 (2200)	2500	1366	2870	65	40	770	18-20 tons
1350 (3000)	2800	1525	3230	70	45	850	23-25 tons
1650 (3630)	3000	1614	3400	80	50	900	26-30 tons
1800 (4000)	3120	1703	3580	80	50	950	30-32 tons
2250 (5000)	3250	1772	3750	80	50	980	38-40 tons
2750 (6000)	3500	1900	3870	80	55	1000	42-45 tons
3250 (7000)	3700	2018	4250	90	65	1120	50-55 tons
4000 (8600)	4000	2177	4600	100	70	1220	60-70 tons
5500 (12000)	4500	2425	5175	110	75	1350	70-80 tons
7000 (15400)	4800	2593	5564	125	85	1450	80-120 tons
10000 (22600)	5400	2940	6300	140	105	1650	120-150 tons
13500 (30000)	6000	3250	6900	150	115	1850	150-200 tons

or any intermediate weight

表 4.1.4.8 Baldt, Pool, Beyers, C.Q.R., Stock, LWT,
Danforth, Delta, Stevin アンカーの把駐力
(カタログによる)

	G	Dry soil			Soil with 1 feet of water			4.5 mtr water in flood current		
		N	D	%	N	D	%	N	D	%
Baldt	1600	7.1	3.6	31.3	6.25	5.6	24.0			
Pool	1000	6.4	4.6	29.6	6.0	4.0	26.6			
Beyers	1084	3.5	4.4	66.0	4.0	3.4	34.0			
C.Q.R.	400	10.0	3.6	18.0	12.0	4.8	33.3			
Stock	1035	8.0	2.8	55.0	5.4	3.0	21.4			
LWT	1450							15.2	10.3	27.2
Danforth	45	38.0	5.0		56.0	4.8				
Danforth	900	15.1	5.2	29.4	11.1	5.0	31.0	14.7	11.5	38.0
Delta .B"	50	16.0	3.4		15.0	2.4				
Delta ..b"	1000	13.6	6.0		18.0	5.2	16.6	23.6	12.3	12.6
Delta ..ts"	1350	19.5	6.4		14.6	6.0	20.0	14.8	14.0	11.5
Stevin 30°	950				17.0	5.2				
Stevin 32°	950				15.5	6.2	24.6	33.6	10.5	31.0 ¹⁾
Stevin 36°	950	23.5	5.8	14.6	16.2	6.6	29.1	22.5 ²⁾	8.0	37.5
Stevin 40°	950	22.3	5.8	13.4						

G = anchor weight in kg.

$$N = \text{holding efficiency} = \frac{\text{holding power}}{\text{anchor weight}}$$

D = drag in meter

1) = Breaking out in % of holding power

(The measurements of the breaking-out power of the Stevin anchor happened with stormy waves in 4.5 mtr water, so is not very reliable)

2) = Test stopped due to wire break

表 4.1.4.9 Stockless, Stato の把駐力 (文献 14)による)

Test	Site	Anchor	Anchor Weight (lb)	Anchor Load (lb)	Effective Mooring Load (lb)	Anchoring (Anchor Alone) - Efficiency ^a	(Peak Load) Anchor Drag Distance (ft)	Chain Efficiency ^{b,c}	Remarks
(a) Stockless Anchor									
1/5	<u>San Diego Site 1</u>	Stockless - SK	3,950	>35,000	249,438	>8.3 (8.9)	12	2.2	
2/5	Fine Sand	35°/F; Stab.	3,950	88,200	14.8	--	--	--	1/5 - chain connector parted; load built quickly; anchors held stably during drag
3/5		3,950	84,100	14.1					
1/6		Stockless - SK	3,950	28,000	43,119	8.1 (3.7)	21.7	3.5	
3/6		48°/	3,950	36,545	6.6	--	--	--	Anchor held erratically with drag
2/4		3,950	17,000	20,013	5.2 (3.2)	43.3	(1.0)		
1/13		Stockless - SK	11,370	51,500	70,340	6.2 (4.5)	9.1	2.3	Anchor held stably during drag
2/13		Stockless - SK	11,370	65,972	5.8	11.5	2.8		
				76,640	6.7	29.4			
1/20		Stockless - SK	3,950	51,300	148,443	>11.0 (8.6)	21	2.6	
2/20		35°/F; Stab.	3,950	53,800	133,876	9.9 (%)	23.1	2.6	(Shank-to-shackle)
		Tandem							
1/21			3,950	46,300	128,773	9.6 (7.8)	25.2	2.0	(Crown-to-shackle)
2/21			3,950	56,300	131,705	9.8 (9.4)	25.6	2.1	
1/22			3,950	50,000	129,947	9.7 (8.4)	25.7	1.8	(Grounding-to-shackle)
9	<u>Indian Island</u>	Stockless - SK	3,950	28,600	40,952	6.0 (3.5)	57.3	0.9	(10-1/2/13) ^d
10	Mud	48°/F; Stab.	3,950	19,600	40,873	6.9 (3.3)	45	(0.9)	(12-1/2/14) ^e
13		Stockless - SK	3,950	23,760	4.8	--	--	--	(5-1/2/8) ^f
14		48°/; Stab.	3,950	26,465	4.1	--	--	--	(6/8-1/2) ^f
7		Stockless - SK	11,370	35,900	57,427	>5.1 (3.1)	41.3	0.8	(16/20) ^g
8		Stockless - SK	11,370	38,300	39,900	3.5 (2.7)	47.4	0.9	(13/16) ^g
21		Stockless - SK	10,500	32,031	3.1	43.5	(1.1)		
11		Stockless - SK	3,950	27,000	61,656	>4.6 (4.5)	58	(0.9)	(Shank-to-shackle)
12		35°/F; Stab.	3,950	22,000	77,352	5.7 (3.7)	89.2	(0.9)	(Crown-to-shackle)
1	<u>Guan</u>	Stockless - SK	3,950	21,000	34,667	5.8 (3.5)	14.9	(0.8)	5-7 ft mud
2	0-7 ft mud over corally sand	48°/F; Stab.	3,950	56,000	67,866	11.4 (9.4)	35.7	(0.6)	No mud
20		Stockless - 20K	22,000	120,500	5.5	21.6	(0.8)	5-7 ft mud	
21		48°/F; Stab.	22,000	101,600	4.8	42.7	(0.8)		
22		Stockless - 20K	22,000	117,600	5.1	32.3	(0.8)	<2 ft mud	
23		48°/; Stab.	22,000	121,500	5.5	24.7	(0.8)		
(b) STATO Anchor									
1/6	<u>San Diego</u>	STATO - 1K	1,070	7,000	15,532	14.5 (6.5)	6	3.4	Anchor rotated at 6 ft
2/6	Fine Sand	35°/; 16° Stab	1,070	11,500	15,818	14.9 (10.7)	5.5	1.4	Anchor rotated at peak load
		STATO ^d - 1K	1,070	12,000	16,445	17.2 (11.1)	23.9		
1/14		STATO - 3K	3,000	31,000	67,386	19.1 (10.3)	19.3	3	Anchor rotated at peak load
2/14		37°/; 34° Stab. (a)	3,000	35,000	52,005	17.5 (11.7)	7.5	1.8	
3/14		STATO ^d - 3K	3,000	40,000	35,133	11.7	11.4	3.2	Anchor rotated, held erratically
4/14		STATO - 3K	3,000	44,700	85,415	28.5 (21.6)	39.8	2.9	Anchor held stably
5/14		STATO - 3K	3,000	48,997	16.3	11.5	3.1	Anchor rotated at peak load	
1/19		STATO - 6K	6,000	105,000	132,762	22.1 (17.5)	25.5	2.3	Anchor rotated at peak load
2/19		32°/; 44° Stab. (a)	6,000	72,500	93,152	15.5 (12)	13.6	3.6	
3/19		Stab. (a)	6,000	68,000	94,094	15.2 (11.3)	13.8	3.7	
1/26	<u>San Diego Site 2</u>	STATO ^d - 3K	3,000	44,400	59,009	19.7 (14.8)	16.6	1.4	Anchor embedded quickly then held erratically after peak load
	1-3 ft mud over fine sand	31.5°/; 32° Stab	42,500	50,625	16.9 (16.2)	30.2			
2/26		3,000	59,498	19.8	9.6	(1.4)			
3/26		3,000	52,500	70,913	23.6 (17.5)	12.5	1.3		
1	<u>Indian Island</u> ^f	STATO - 1K	1,070	14,600	21,650	20.2 (13.6)	67.4	0.8	Anchor embedded quickly; began to rotate at 40-ft drag (11/12)
23		STATO - 3K	3,500	37,000	73,503	21.0 (10.5)	58.2	1.4	Anchor held stably (15/19)
25		STATO - 6K	6,600	107,190	16.2	45.6	1.6	Anchor rotated steadily during embedment (16-1/2/22) ^g	
16	<u>Guan</u> ^f	STATO - 3K	3,500	14,000	15,925	4.55 (4)	45.6	0.9	No mud
15	0-7 ft mud over corally sand	50°/; 52° Stab	3,500	56,312	16	42.6	0.9		
16		32°/; 52° Stab	3,500	44,000	60,200	17 (12.5)	26	1.0	Tested w/100' wire at shank; no mud
		STATO - 6K	6,600	45,000	48,500	>7.11 (6.8)	42.6	0.9	5-7 ft mud; Extended stabilizer broke and caused roll
19		STATO - 6K	6,600	105,700	16		0.8	1-2 ft mud	
3		STATO - 1K	1,070	17,332	16.2	49.3	0.6	5-7 ft mud; extended stabilizer broke during test	

^aTotal deck load minus (chain efficiency x chain weight on seafloor).

^bParenthetical values were estimated.

^cBased on in-water weight.

^dAnchor had two peak loads.

^eIndicated penetration of crown/fluke tip to soil.

^fAll STATO anchors at Indian Island, and Guan bed and palm.

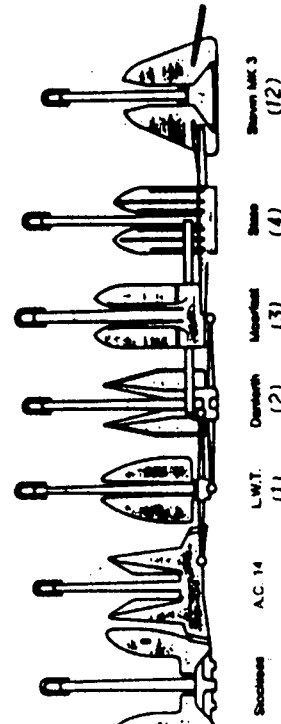
NOTES:

— = fixed open flukes

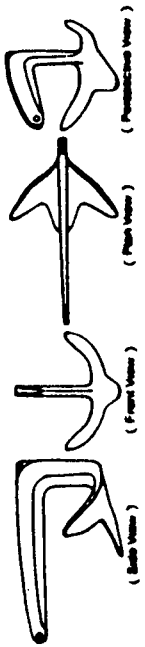
(a) = normal stabilizer length

Stab = anchor fabricated with stabilizers

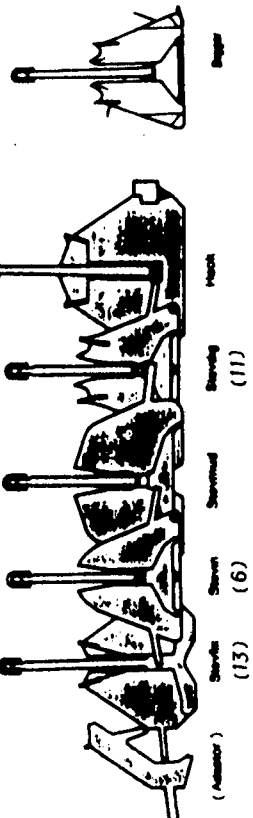
/ = fluke angle



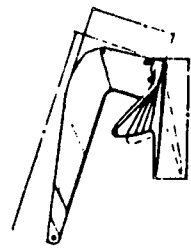
A.C. 14 L.W.T. Denebola Mopane Bruce
 (1) (2) (3) (4) (5)
 (6) (7) (8) (9) (10)
 (11) (12) (13) (14)



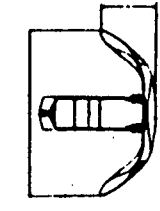
Bruce
 (9)



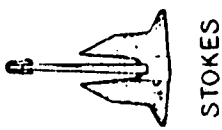
Denebola
 (13)



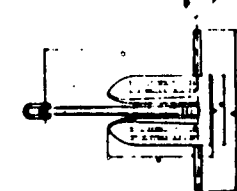
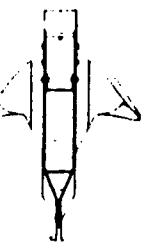
Mopane
 (14)



BRUCE TS
 (10)

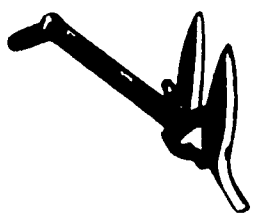


STOKES



OFFDRILL
 (8)

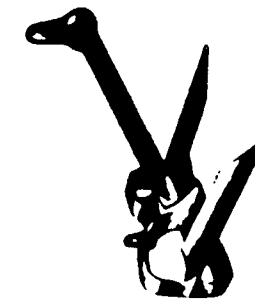
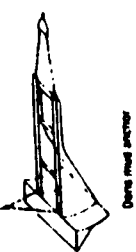
KC-RIG 5
 (KC-RIG 5, standard anchor)



SNUG - STOWING



FLIPPER - DELTA
 (7)



EELS

図 4.1.4.1 引摺型アンカー（注：アンカーナーの下の数字は表 4.1.4.1 に対応）

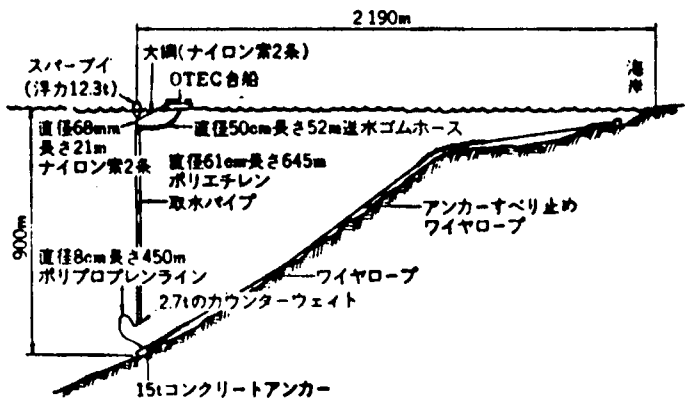


図 4.1.4.2 Mini-OTEC の係留システム
(文献7)による)

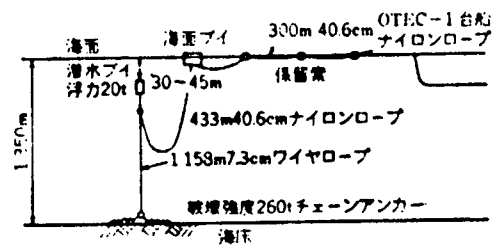


図 4.1.4.3 OTEC-1 点係留システム
(文献7)による)

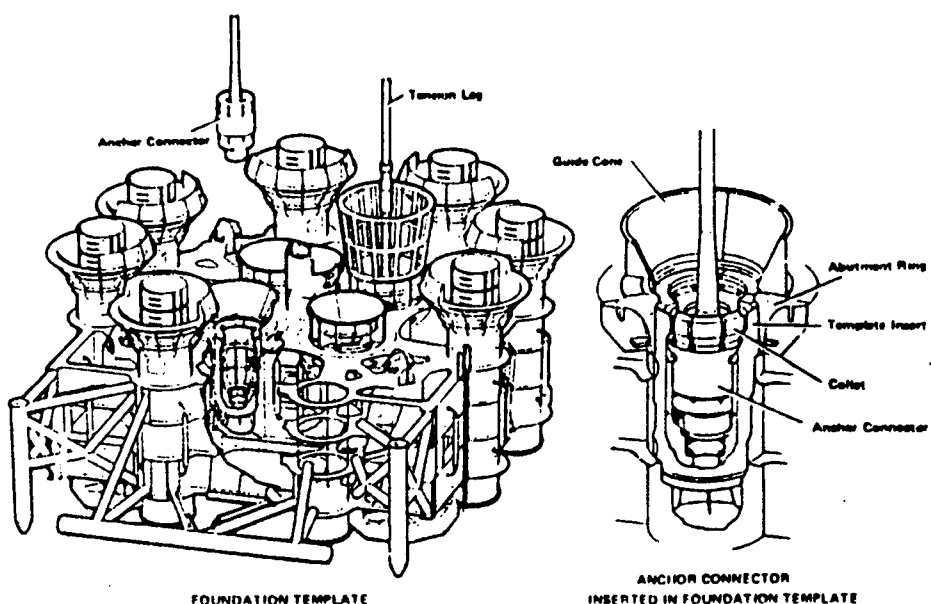
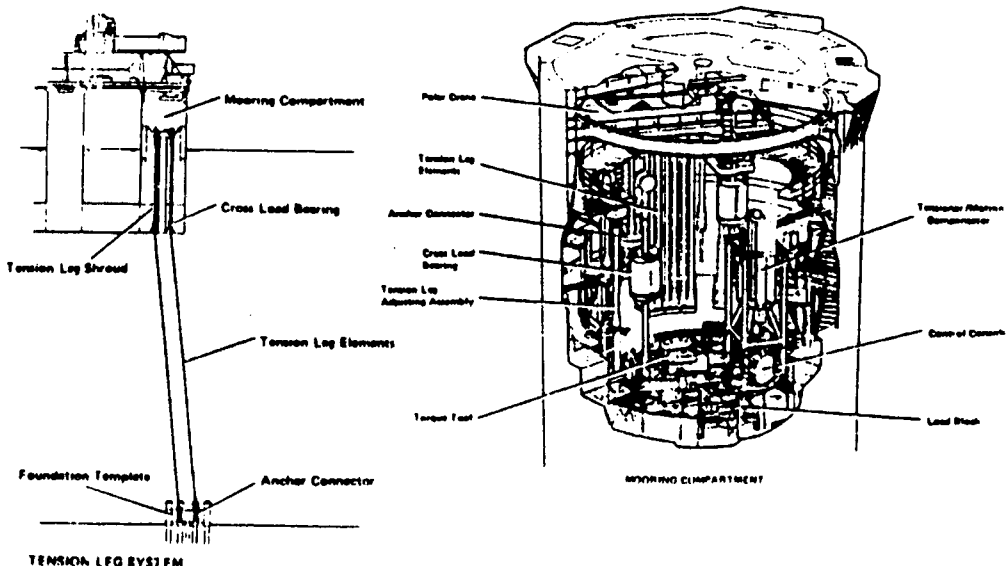


図 4.1.4.4 CONOCO社のHutton Field TLP の係留システム
(文献10)による)

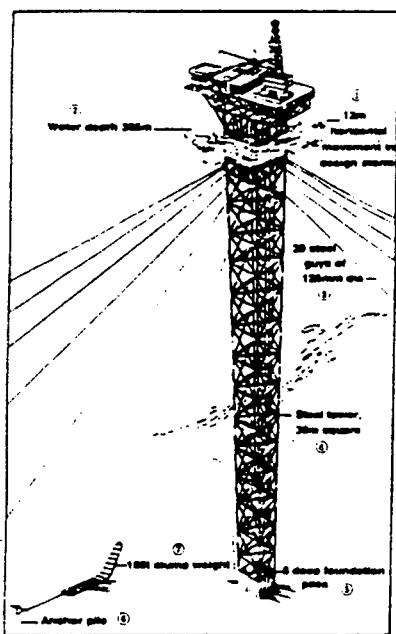


図 4.1.4.5 Exxon 社のガイドタワー概要図
(文献13)による)

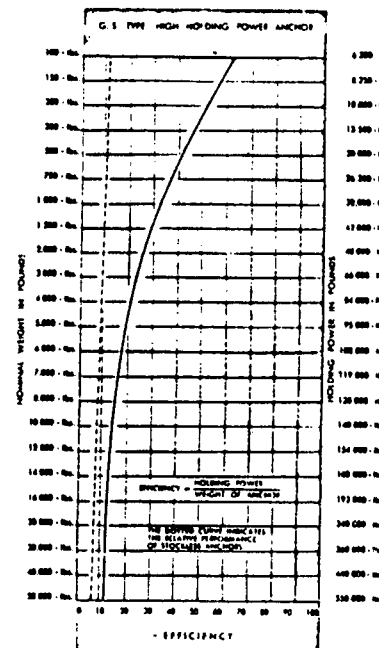
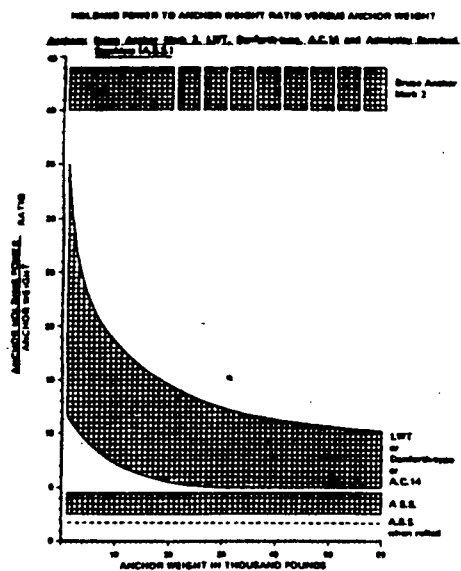


図 4.1.4.6 Danforth アンカーの把駐力
(カタログ)による)



Anchor Weight	Typical Holding Power - Ratio*		
	(Cable length = 6" or one load)	(Cable length = 12" or one load)	
LWT (Danforth-type)	Bruce Mark 2	Good	Bad
4,000 lb	-	99	39
-	2,000 lb (11,200 kg)	100	39
20,000 lb	-	200	110
-	8,014 lb (36,300 kg)	200	200
30,000 lb	-	270	180
45,000 lb	-	400	270
-	14,331 lb (64,600 kg)	620	570
60,000 lb	-	615	300
-	19,943 lb (89,800 kg)	675	700

- Note:
1. The spread of efficiency for a given anchor weight reflects the effect of good or poor holding ground (for example, firm sand or soft mud).
 2. The efficiency of the Bruce anchor is constant throughout the range giving a holding power advantage which increases with increasing anchor weight. Hence, a 14,331 lb Bruce anchor Mark 2 can out-perform LWT or Danforth-type anchors in the range 45,000 lb to 60,000 lb.
 3. The continuous portion of the efficiency curves for the Bruce anchor Mark 2 is that for the range of anchors presently available. The discontinuous portion indicates the potential of the design.

図 4.1.4.7 Bruce , LWT , Danforth , AC14 , A. S. S. アンカーの把駐力
(カタログ)による)

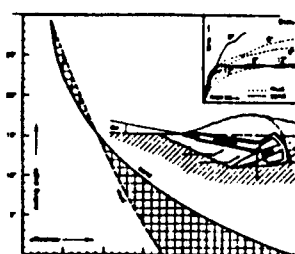


図 4.1.4.8 Stato アンカーの把駐力
(カタログ)による)

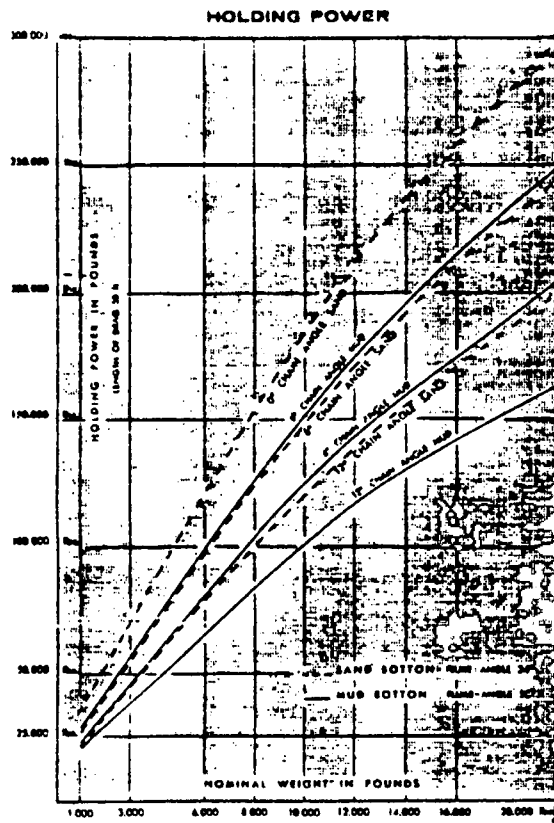


図 4.1.4.10 Offdrill アンカーの把駐力
(カタログによる)

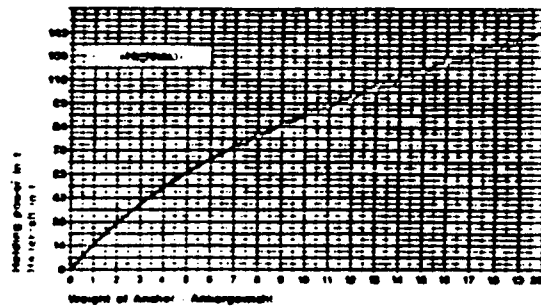


図 4.1.4.9 AC 14 アンカーの把駐力
(カタログによる)

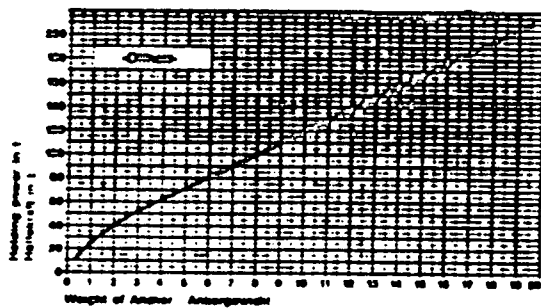
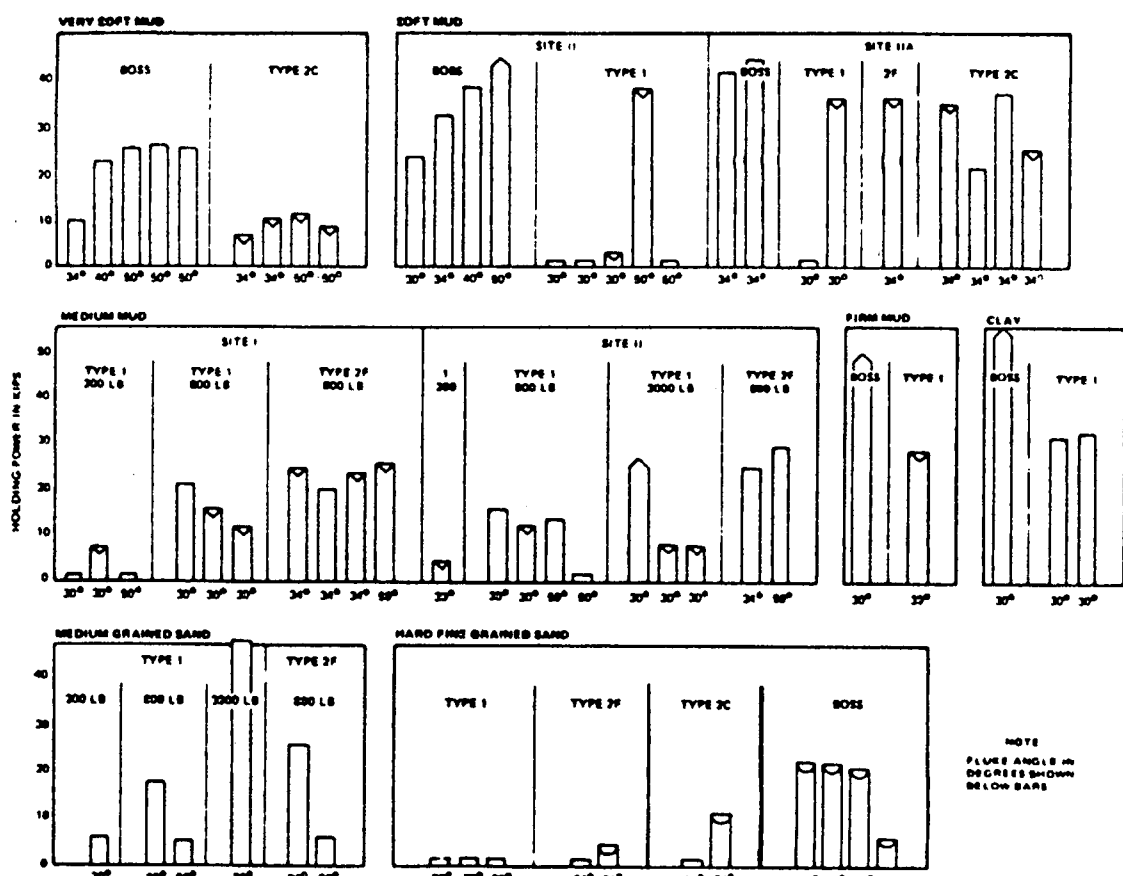


図 4.1.4.11 Danforth アンカーの把駐力
(カタログによる)



注 : TYPE 1 : LWT タンカー
TYPE 2 : Stato アンカー

図 4.1.4.12 LWT, Stato, Boss アンカーの把駐力
(文献 15) による)

参考文献

- 1) 翁長 一彦：アンカーの把駐性能，船舶 Vol. 40 №12, 1967
- 2) 本田啓之輔：現用商船アンカーの把駐性能，船舶 Vol. 43 №7, 1970
- 3) Peter G. S., et. al : DEEPWATER HIGH CAPACITY MOORINGS, OTC 4050, 1981
- 4) H. CLARKSON & COMPANY LTD. : THE OFFSHORE DRILLING REGISTER, A Directory of Self-Contained Mobile Sea-going Rigs, 1982
- 5) 1981-82 Directory of Marine Drilling Rigs, OCEAN INDUSTRY, Sep. 1981
- 6) James G. Wenzel : MINI-OTEC AND DAM-ATOLL WAVE ENERGY SYSTEM, UJNR 11th Joint Marine Facilities Panel, May 1982
- 7) 長崎 作治：海洋浮遊構造物の係留設計，山海堂，昭和56年6月
- 8) 米家 卓也：大水深用石油掘削・生産プラットフォームとしてのTension Leg Platform (TLP)について（その1 開発研究の概要と展望），日本海事協会会誌 №174, 1981
- 9) 片山正敏ら：減衰装置付テンション レグ プラットフォームの波浪中応答解析，三菱重工技報 Vol. 18 №3, 1981
- 10) Jeff Tetlow : Hutton TLP Mooring System, OTC 4428, 1982
- 11) Lyle D. Finn, et. al : FIELD TEST OF A GUYED TOWER, OTC 3131, 1978
- 12) 片山正敏ら：大水深向揺動型プラットフォームの波浪中応答，第5回海洋工学シンポジウム，日本造船学会，昭和56年1月
- 13) 画期的なプラットフォーム プロジェクト，OCEAN AGE 1981年11月(GUYED TOWER FOR GULF OF MEXICO, OFFSHORE ENGINEER, April 1980)
- 14) Robert J. Taylor : PERFORMANCE OF CONVENTIONAL ANCHORS, OTC 4048, 1981
- 15) R. W. Beck : Anchor Performance Tests, OTC 1537, 1972

4.1.5 高把駐力アンカー

(1) 高把駐力アンカーの種類

昨年度の調査結果と「4.1.4 海底土質及び把駐力」の調査結果より、高把駐力アンカーとしては、次のようなアンカーがあげられると思われる。

- (a) 特殊型アンカー：Bruce, Bruce TS, Stevin, Stevin MK III, Stevfix, Stevmud, Hook
(引摺型)
- (b) 重量型アンカー(シンカー)
- (c) 埋設型式アンカー：自己埋設型, 埋設型

上記のアンカーの中で装備実績の多いのは、特殊型アンカー、重量型アンカーと埋設型の埋込型アンカー、杭型アンカー、さく孔型アンカーである。

(2) 各種高把駐力アンカーの深海係留への適用性¹⁾

使用するアンカーを決める際に、設置場所の海底土質とアンカーの把駐性能との関係、据え付け工事の難易、コスト等が重要な要素であることは、浅海係留と深海係留と同じであるが、深海係留では据え付け工事の難易、コストがより重要な要素となる。

OTECの係留計画で行なわれた各種アンカーの深海係留への適用性の検討結果を表4.1.5.1に示す。表4.1.5.1より、海底土質がソイルの場合は重量型アンカー(シンカー)が、ロックの場合は杭型アンカー、さく孔型アンカーが適しているといえる。しかし、セミサブリグのように比較的短期間で移動する構造物では引摺型の特殊型アンカーが適していると思われる。

参考文献

- 1) J. M Atturio, et.al.: HIGH-CAPACITY, DEEP-WATER, FREE-FALL ANCHOR,
OCEANS' 77

4.2 浅海係留と深海係留との相違点

4.2.1 係留諸元の実績にもとづく係留特性の推定

半潜水式リグの実績調査結果から、最大係留力を推定した結果を図4.2.1.1に示す。同図は表3.3.4に示した付図3をもとに、稼動水深に対応して実機に使用されている索鎖の径をプロットしたものである。近似的に全体係留系の最大係留力は、ライン本数をNとすると、同図の縦軸をN/4倍することにより求まる。多くの場合N=8であることから、最大係留力は160t～260t程度と推定できる。

次に、係留ライン長さの実績を水深に対してプロットしたものを図4.2.1.2に示す。同図は表3.3.4に示した付図13をもとにしている。鎖係留の場合、全係留ライン長さから水上部のライン長さを引き去った後の水深相当の余長を考えれば、最大持上り長さの推定値と多くのライン長の実績は良く一致しているが、索係留の場合、実績は最大持上り長さ(水深に対応する所要最大カタナリーライン長さ)の推定値を下回っていることが多い。また、複合索鎖係留の場合、実績は索単独と鎖単独の中間にあり、複合索鎖の特徴がうかがえる。

以上の比較結果から、3.3.6項で述べた手法によって、係留系の初期計画を実施することは、ほぼ妥当であると考えられる。

なお、図4.2.1.1は船体動搖(水平)が±5mであると仮定した場合を示しているが、この±5mの船体動搖は最大波振幅15m(波高:30m)の波浪中における船体の水平動の応答倍率を約0.4とした場合にほぼ対応している。¹⁾

表 4.1.5.1 Comparison of Anchor Types for High Capacity
Mooring in Water Depths From 500 to 6,000m
(文献1)による)

Factors	Anchor Types			
	Drag	Plate	Pile	Deadweight
Technical Feasibility				
Fabrication	fair ^a	fair ^a	good	good
Transport	good	good	fair	fair
Installation	complex ^b	complex ^c	complex	simple
Short-Term Performance				
Uplift efficiency, soil ^d	fair	good	good	fair
Lateral efficiency, soil ^d	good	good	fair	fair
Performance in rock	NA	NA	good ^e	poor ^f
Loading direction limits	uni-	omni-	omni-	omni-
Number of anchors	several	several	several	one
Long-Term Performance				
Line abrasion	poor	poor	good	good
Repetitive load	fair	fair	poor	good
Cost Installed	high	high	high	moderate ^g
Overall Suitability				
On soil	poor	poor	fair	good
On rock	NA	NA	good	poor

^aCasting facilities not available for larger required sizes.

^bAccurate positioning and anchor setting required for multi-point moor.

^cBridling of flukes very difficult; launchers for larger flukes would require considerable development.

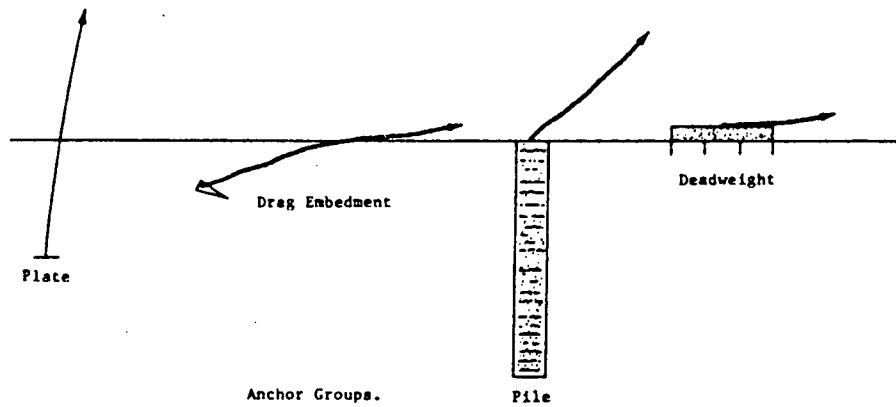
^dEfficiency = component of load capacity/air weight of anchor.

^eAssumes competent rock at seafloor.

^fFor deadweight emplaced by controlled lowering; deadweights, if free-fallen, would be rated about the same, assuming damage to the anchor on landing can be minimized.

^gAssumes that free-fall emplacement is used.

Note: NA = not applicable.



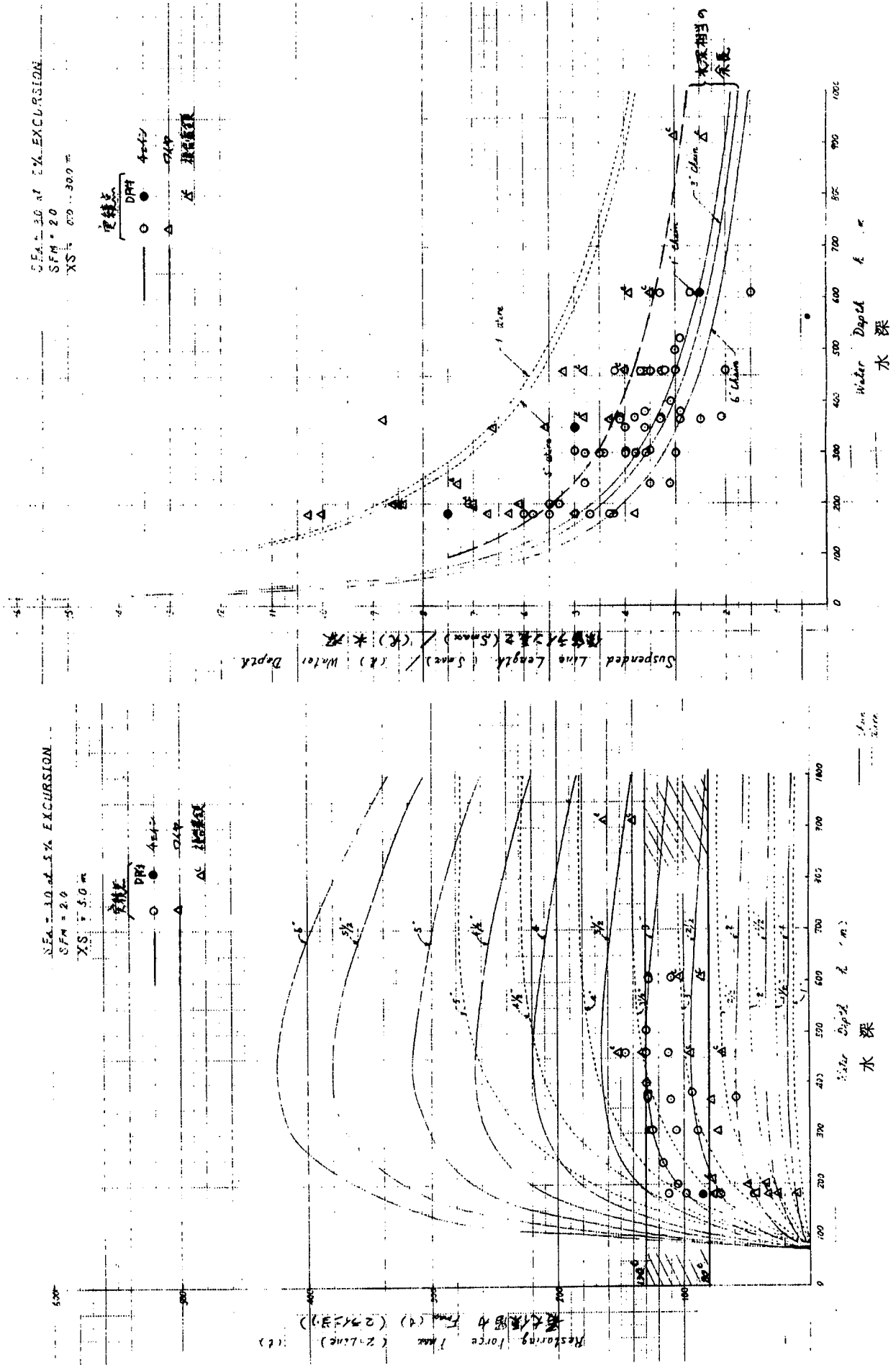


図 4.2.1.1 最大係留力と水深の関係

図 4.2.1.2 ライン長さと水深の関係

参 考 文 献

- 1) API RP2P ; API RECOMMENDED PRACTICE FOR THE ANALYSIS OF SPREAD MOORING SYSTEMS FOR FLOATING DRILLING UNITS, Draft Copy for Committee Use Only, 5/21/81

4.2.2 索鎖, アンカー以外の係留用要素機器

浅海係留と深海係留とで係留用要素機器に相違が見られるのは多点係留方式であり, TLP, ガイド タワー方式は本来, 深海係留用に開発されたものであるから, 浅海係留と深海係留との相違は多点係留方式についてのみ調査することとした。

なお, TLP, ガイド タワー方式については, それらの方式の特殊機器についても調査した。

以下に, その結果を述べる。

(1) 多点係留方式

水深増加の影響を最もうける機器はワインチとウィンドラスである。水深が増加すると索鎖も長くなり, 径も太くなるので大容量のワインチ或いはウィンドラスが要求される。セミサブ リグに使用されているワインチ, ウィンドラスの一例を図 4.2.2.1 に示す。

また, 水深が 450 m 以深ではワイヤとチェーンの複合索鎖方式が用いられることが多く, 複合索鎖用係留機器が要求される。複合索鎖用係留機器は大別すると, チェーンとワイヤの着脱をリグ上で実施する Disconnect system とチェーンとワイヤを恒久的に結合する Continuous system に分類される。Disconnect system と Continuous system の概念図と使用例を図 4.2.2.2 に示す。

(2) TLP 方式¹⁾

TLP 方式で使用される特殊機器は開発各社のデザイン毎に異なると思われる。CONOCO 社の Hutton Field TLP の係留システムを図 4.1.4.11 に示す。

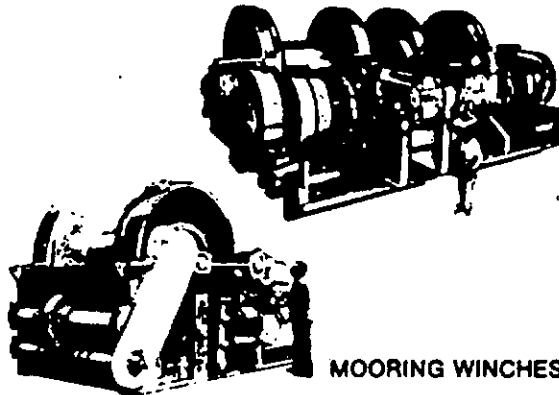
(3) ガイド タワー方式^{2),3)}

Exxon 社が実機設計のために行なった海上大型模型実験の模型に使用された特殊機器を図 4.2.2.3 に示す。クランプウェイトは, 中間ウェイトの重量を或る程度の長さに分布させることにより, 急激な持上がりによる衝撃的な張力の発生を防止するためのものである。

参 考 文 献

- 1) Jeff Tetlow : Hutton TLP Mooring System , OTC 4428 , 1982
- 2) Lyle D. Finn, et.al : FIELD TEST OF A GUYED TOWER , OTC 3131 , 1978
- 3) 片山正敏ら : 大水深向揺動型プラットフォームの波浪中応答, 第 5 回海洋工学シンポジウム, 日本造船学会, 昭和 56 年 1 月

COMBINATION WINCH/WINDLASS UNITS FOR DRILL RIGS



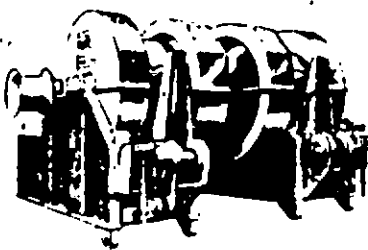
MODEL NO.:	ETW-300/44	DWW-250/32
Flange Diameter	118"	94"
Barrel Diameter	53"	40"
Barrel Length	70"	42.5"
Maximum Cable Size	3"	2 1/2"
Cable Capacity	8,000' of 3"	3,000' of 2 1/2"
Number of Brakes	2	2
Chain Size	2 1/2"	2"
Number of Wildcats	2	2

MOORING WINCHES FOR DRILL RIGS

MODEL NO.:	ETW-350	ETW-300	AED-295	DWW-250	DWW-150
Flange Diameter	126"	116"	100"	94"	74"
Barrel Diameter	53"	53"	45"	40"	30"
Barrel Length	84.5"	76"	52.5"	69.5"	48"
Maximum Cable Size	3 1/2"	3"	2 1/2"	2 1/2"	2 1/2"
Cable Capacity	9,000' of 3 1/2"	6,000' of 3"	3,000' of 2 1/2"	3,000' of 2 1/2"	3,150' of 2 1/2"
Number of Drives*	1 or 2	1 or 2	1 or 2	1 or 2	2

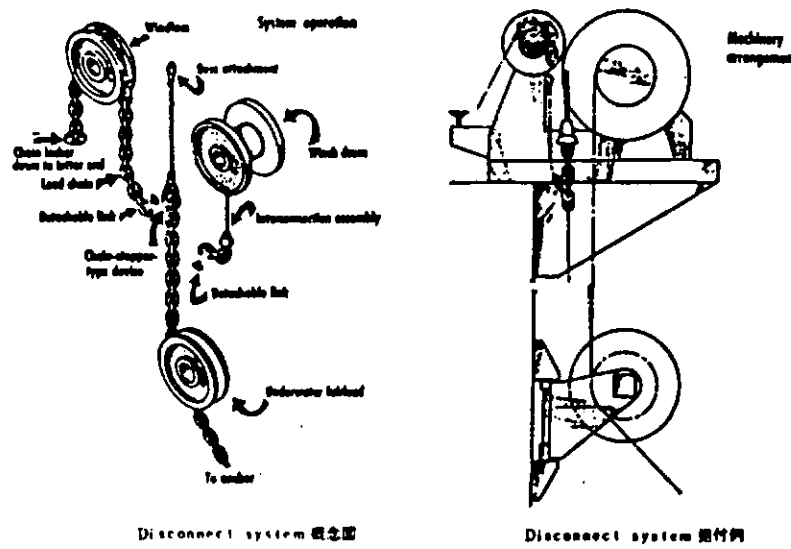
*The drive units are arranged in a side-by-side configuration.

MOORING WINDLASSES FOR DRILL RIGS



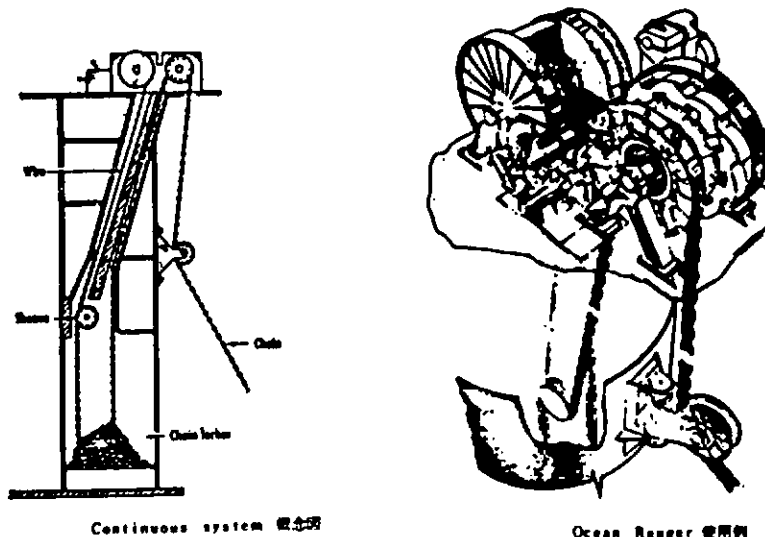
MODEL NO.:	WMD-48	WMD-44	WMD-48HD	WMD-52	WMD-60
Chain Size	3"	2 1/2"	3"	3 1/2"	3 1/2"
Brake Holding Power-Pounds	1,080,000	800,000	1,215,000	1,215,000	1,090,000
Stall Pulls Up To-Pounds	535,000	450,000	678,000	680,000	957,000
Reusable Chain Stopper	Yes	Yes	Yes	Yes	No
Wildcat Dog	No	No	No	No	No
Number of Wildcats	1 or 2	1 or 2	1 or 2	1 or 2	1

図 4.2.2.1 リグ用ウインチ、ウインドラス



Disconnect system 構造図

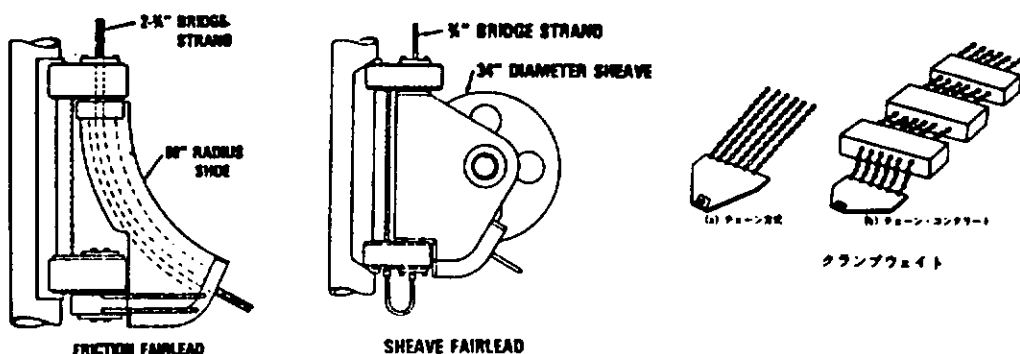
Disconnect system 用付図



Continuous system 構造図

Ocean Ranger 使用例

図 4.2.2.2 複合索鎖用係留機器

図 4.2.2.3 ガイドタワーの係留用特殊機器
(文献 2) 3) による)

4.3 索

4.3.1 鋼索の構造とその特性

前年度は、索の構造とコーティングの概要について調査したが、本年度は鋼索（以下ワイヤロープといふ）の中で、特に非自転索に重点をおき、その種類等について調査した。

(1) 非自転索とは

鋼線を一定のピッチで撚り合わせたワイヤロープは、一般に張力が負荷されると撚りが戻る方向に回転しようとする力が働く。これをワイヤロープの自転力といふ。クレーン等で荷を吊り上げるとき、ワイヤロープを1本で吊ると、吊り荷が回転するし、2本掛以上の複数本で吊ると高揚程では、ワイヤロープがからみ合う現象が見られるが、これらはいずれもワイヤロープの自転力によるものである。このワイヤロープの自転力は、ワイヤロープのシンクの発生と密接な関係があり係留ケーブルの様に長尺で使用する場合にも重要な問題となる。

この様なワイヤロープの自転力をできるだけ小さくするために特別に設計されたワイヤロープとして非自転索がある。

(2) 非自転索の種類

非自転索の種類とその構造を図4.3.1に示す。

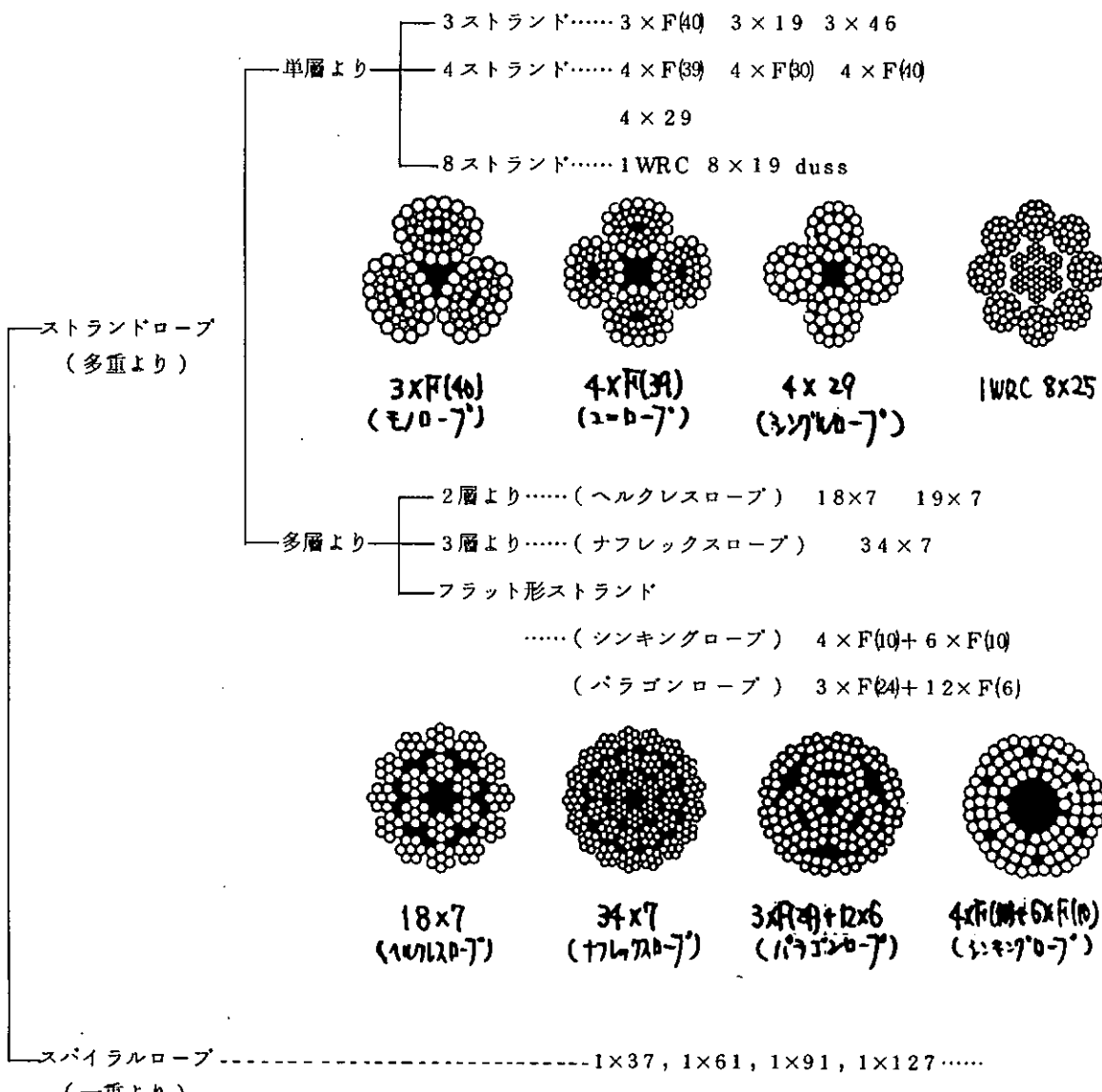


図4.3.1 非自転索の種類

単層ストランドロープの場合には、3ストランド、4ストランドロープが主体であり、これらのロープは、ストランドとロープのより方向を逆にし、かつ、夫々のよりの長さ(以下ピッチという)を調整することによってその回転力を相殺させて、ロープの自転力を小さくしている。この3ストランド、4ストランドロープは非自転性にすぐれ、かつ形くずれを生じにくいくことから、日本における非自転索の主流となっており、製造メーカーが独自の商品名で市場に出している。例えば、ユニロープ、モノロープ、シングルロープ等で呼ばれている。これらのロープは構造も多少異っているが、いずれもクレーンの巻上索や送電線工事の延線ワイヤとして好成績をあげている。外国では、アメリカのU.S. Steel社が深海係留など海洋ケーブルとして、3ストランドロープ(3×19, 3×46)のTorque-Balanced Ropeを推奨している。

単層ストランドロープには、8ストランドロープもあるが、これは主としてアメリカでSpin-Resistant Ropeと呼ばれ、クレーンの巻上索に使用されているが非自転性はあまり良くないと言われている。

多層よりストランドロープは、ストランドが2~3層より合わされたもので、各層のより方向とピッチによって夫々の回転力を相殺し、全体のロープとしての自転力を小さくしている。

このロープでは、2層よりのヘルクレスロープ、3層よりのナフレックスロープが主体で、この他ストランドがフラット形になっているシンキングロープ、バラゴンロープなどがある。

多層よりストランドロープは、理論的にも非自転性が得られ易い構造であるが、反面、構造が複雑であるためロープの形くずれが生じ易く使用中のトラブルの発生が多いのが欠点である。しかし、単層ストランドロープよりも柔軟性が良く取扱い性が良いことから、欧米ではクレーンの巻上索などに多層ストランドロープが主流として使用されている。

一重よりのスパイラルロープでも各層のより方向とピッチを選ぶことによって理論的に非自転に近いものが得られる。しかし、スパイラルロープは、主として静索として使用されるもので、非自転索としての使用例はない。

(3) 非自転索の規格

日本におけるワイヤロープの規格としては、JIS G3525やJSSC(日本鋼構造協会)規格の他、NKなど船級協会の規格があるが、いずれの規格にも非自転索は含まれておらず、非自転索の規格は各製造メーカーの仕様に依っている。

しかし、欧米の主要国では非自転索を規格で定めている。外国の規格と非自転索の種類を表4.3.1に示す。

表4.3.1. 外国の規格と非自転索の構造

国名	規格	構造	国名	規格	構造
(共通)	ISO 2408-1973	• 17×7, 18×7, 19×7 • 34×7, 35×7 36×7, 37×7	ドイツ	DIN 3069-1972 DIN 3071-1972 DIN 3070-1972	• 18×7 • 34×7 • 4×F(10)+6×F(10)
アメリカ	FS RR-W-410c	• 18×7,	ノルウェー	N S 5216-1972	• 18×7
	API 9A-1976	• 18×7, 19×7		GOST 7681-66 GOST 7682-55 GOST 7683-55 GOST 16827-71 GOST 16828-71	• 18×7 • 19×36 • 34×7 • 18×WS(36) • 6×WS(36)+12×7
イギリス	BS 302-1968	• 17×7, 18×7 • 34×7 • 3×F(24)+12×F(6)			

(4) 非自転索の自転特性

ワイヤロープの自転特性は、荷重に対する回転角と自転トルクの大きさによって示されるが、通常非自転索と言われるロープでも完全な非自転性ではなく、若干の回転は存在し自転トルクも有している。一般的のロープと区別して、どの程度の自転性能を有しているロープを非自転索と呼ぶかについては明確ではないが、製造メーカーの技術資料や公表されているデータから見れば、おおむね、回転角や自転トルクが一般的のストランドロープの1/10以下と見えるようである。

ワイヤロープの自転性に関する理論解析としては、単純なばね理論に基づいた池田、上野らの研究があるが、¹⁾これでは複雑な集合体であるロープの実状に合致しない面が多かった。一方、大和田、会田、中井らは、スパイラルロープやストランドロープについて、ロープを構成する素線、ストランド同士の間の接触荷重を考慮した解析を行い、この理論と実験とが極めてよく合致していることを確認しており、この解析方法がロープの自転特性の解明に極めて有効であるとしている。²⁾ ³⁾ ⁴⁾

⁴⁾ ⁵⁾ 中井、奥谷らが示した非自転索の荷重一回転角の関係の2.3の例を図4.3.2に、また、荷重一回転トルクの関係の2.3の例を図4.3.3に示す。また、表4.3.2に中井が示した各種ロープの自転性係数(回転角)を示す。

表4.3.2 各種ロープの自転性係数R

ロープ 構造	ロープ 径 mm	自転性係数R(α)	
		実験値	理論値
6×7C/L	12	91	83
6×7C/L	32	88	88
6×70/O	32	56	53
6×190/O	16	112	97
6×24G/O	20	118	123
6×24G/O	23.4	158	145
6×370/O	12.8	147	155
6×370/O	18	144	133
6×37G/O	50	144	140
7×7C/L	32	40	36
7×7G/O	32	25	23
18×70/O	19.4	5	4
18×70/O	30.3	5	4

(注) 自転性係数Rとは、ロープの切断荷重の1/6の荷重に対する
ロープ径の10倍の長さ当たりのねじれ角と定義したもの

(5) 自転トルクとキンクの発生について

ワイヤロープに張力を負荷すると、自転力(トルク)が発生し、そのトルクが張力との関係において、ある荷重以上になるとロープにキンクが発生する。⁶⁾ Liuは、キンク発生の理論解析をチモシェンコの座屈理論から行い、軸力Fのもとでキンク発生を抑えるためには、ロープに発生するトルクTを

$$T < 2\sqrt{FEI}$$

(ただし E: 弾性係数
I: 断面二次モーメント)

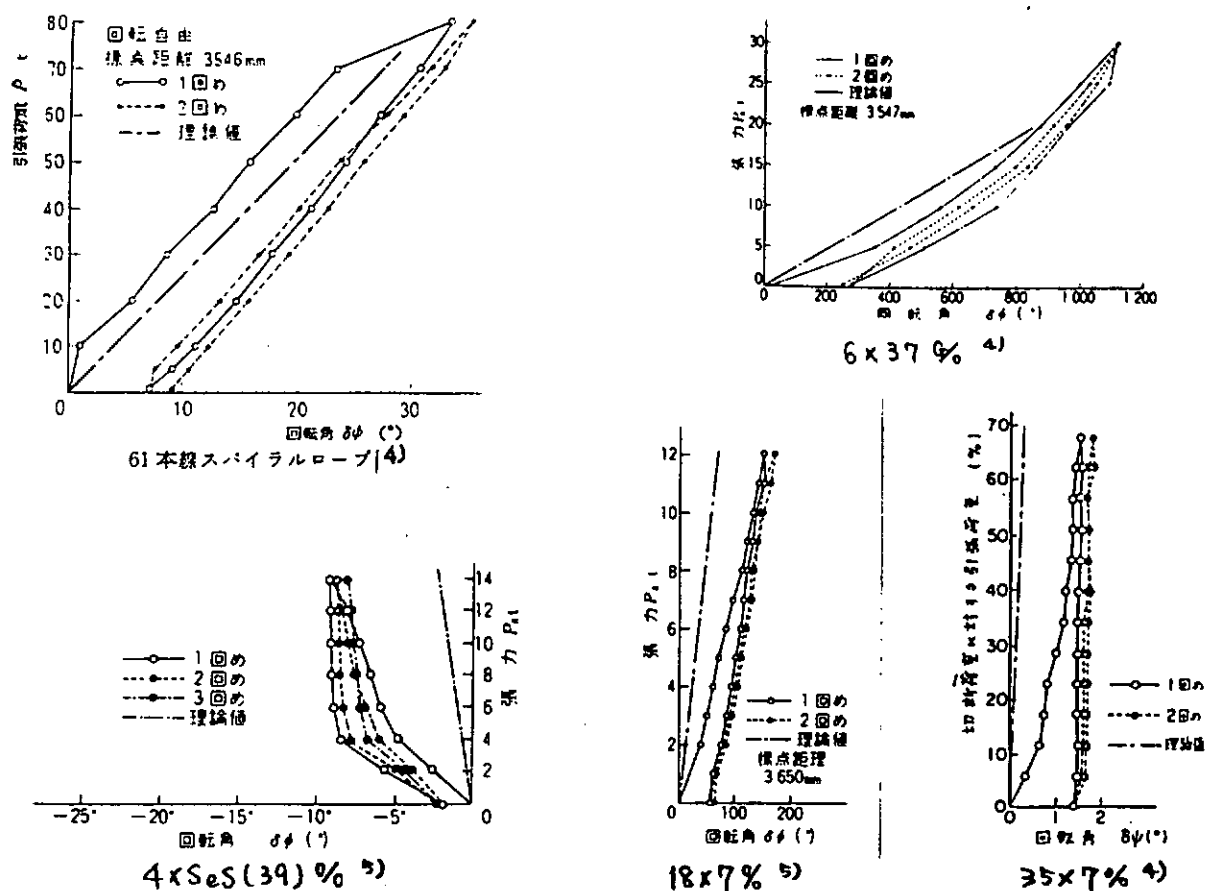


図 4.3.2 各種ロープの荷重 - 回転角線図

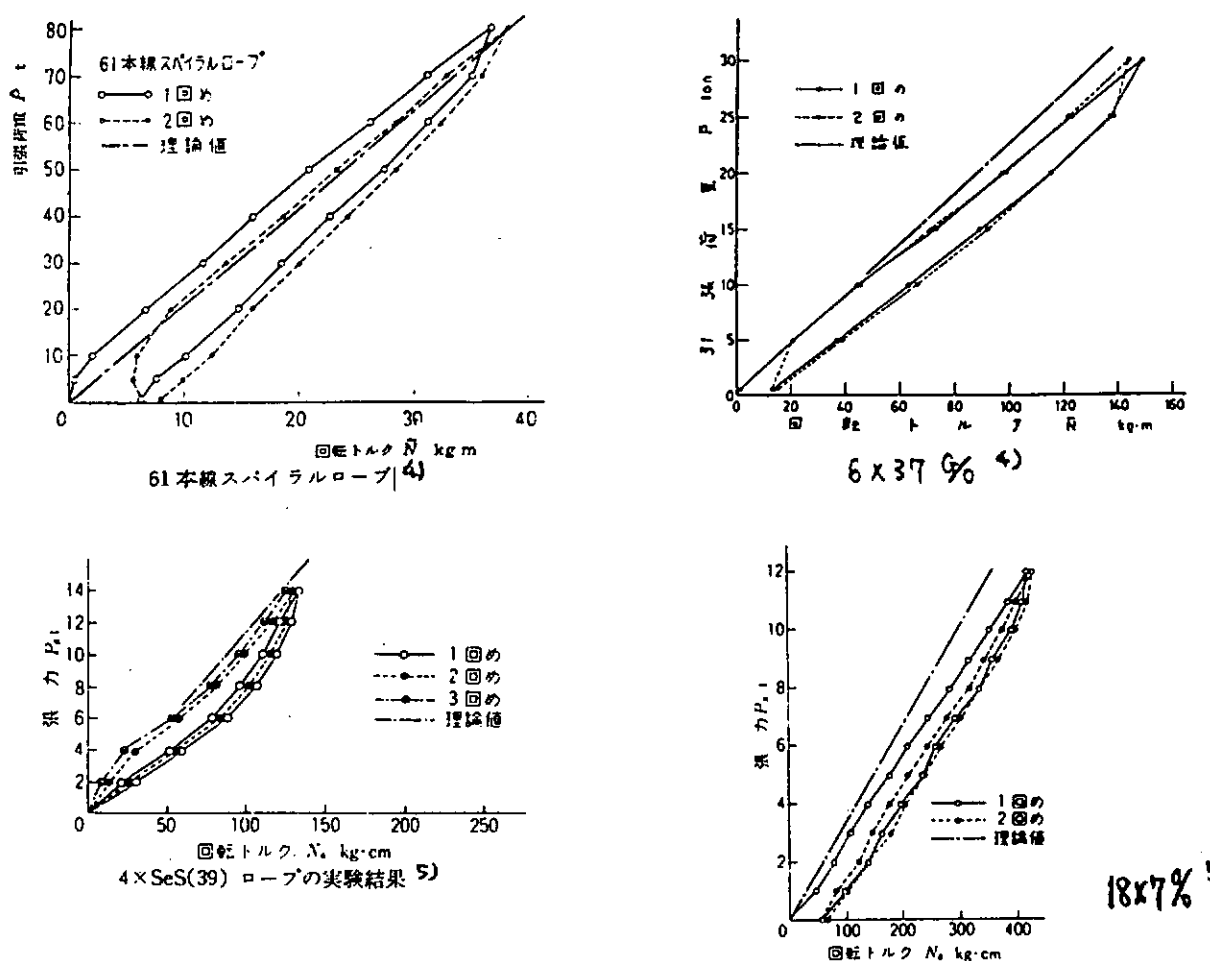


図 4.3.3 各種ロープの荷重 - 回転トルク線図

としなければならないとしている。また、Ross⁷⁾は、別な方法でキンク発生の理論解析を行っているが、これによれば、トルクTは

$$T < \sqrt{2 F EI}$$

としている。Liuが2.3のロープについて行った実験での平均値からすれば

$$T < \sqrt{\frac{8}{3} F EI}$$

という結果が得られている。

また、ワイヤロープを緊張状態から、急激にゆるめるとキンクを発生するが、Rossは、そのゆるみδを

$$\delta < \pi EI / T$$

することがキンク発生を防ぐ条件だとしている。

ワイヤロープにキンクが発生すると、その部分では強度は低下する。キンクを発生したままロープを引張るとロープの種類によって多少異なるが、切断荷重は半減すると言われ、またキンクを生じたロープをいかに上手に伸ばしても、その部分の切断荷重は約20%低下すると言われている。⁸⁾

キンクの状態	強度低下率(%)
プラスキンクを生じたままのワイヤロープ	約45
マイナスキンクを生じたままのワイヤロープ	約60

4.3.2 鋼索の強度

(1) プレテンション加工の影響

ワイヤロープにプレテンション加工を施すと、ワイヤロープの引張特性など諸特性が改善されることがよく知られている。これは、多数の素線をより合わせたワイヤロープでは、製綱時の燃りの不均一など構造上の不安定な要素があるが、これらが除去され安定した状態になるためと言われている。⁹⁾

プレテンション加工の方法としては、最も一般的なものは、ワイヤロープの切断荷重の40~60%の荷重を一定時間保持し、これを繰返す方法である。この他50%以上の高荷重を短時間与える方法もある。

プレテンション加工の効果としては、主として次の特性に影響が大きい。

(a) 引張特性

プレテンション加工の施されていない、ワイヤロープの荷重-伸び曲線の代表的なモデルは、図4.3.4に示す曲線Aのとおりで、初期の構造上の伸び(初期伸び)が大きく、弾性係数が小さい。これにプレテンション加工を施すと、曲線Bのようになり、初期伸びは減少し、弾性係数も高くなる。この弾性係数の変化はプレテンション荷重が高い程、また、荷重の保持時間が長い程大きくなる。図4.3.5および図4.3.6にプレテンション加工の条件と弾性係数の変化の一例を示す。⁹⁾また、プレテンション加工による効果はワイヤロープの種類によっても異なるが、各種のワイヤロープの引張特性の変化を表4.3.3に示す。¹⁰⁾

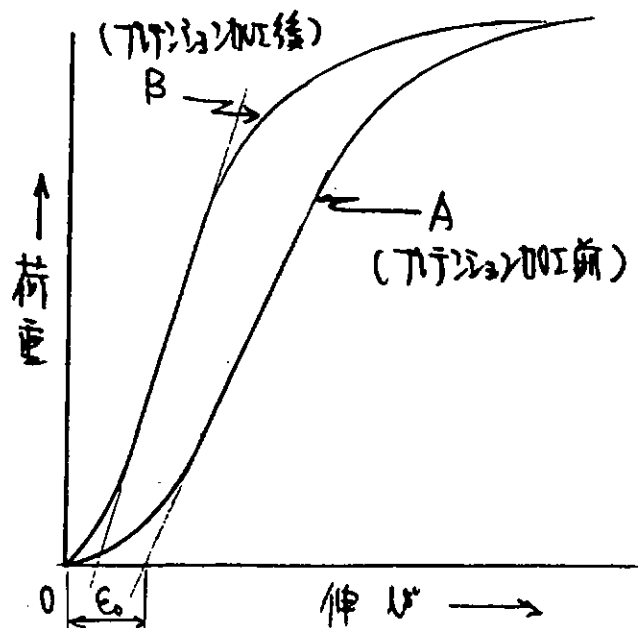


図 4.3.4 ワイヤロープの荷重伸び曲線

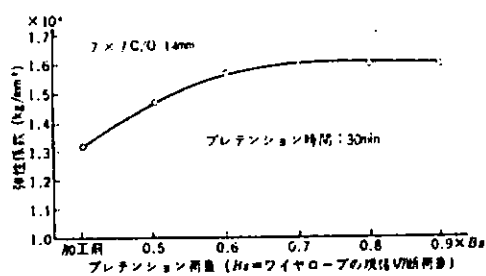


図 4.3.5 プレテンション荷重と弾性係数との関係(1例)⁹⁾

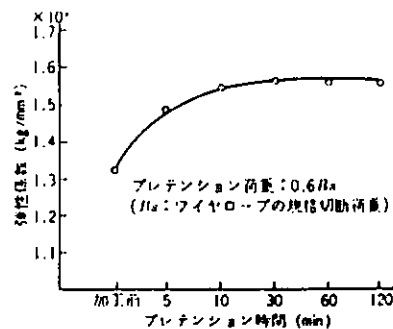


図 4.3.6 プレテンション時間と弾性係数との関係⁹⁾

表 4.3.3 ワイヤロープの種類と弾性係数¹⁰⁾

ワイヤロープの種類	プレテンション加工前		プレテンション加工後	
	弾性係数 kgf/mm²	初期伸び %	弾性係数 kgf/mm²	初期伸び %
IWRC 6×19 Class	9,000	0.5	12,000	0.2
IWRC 6×37 Class	8,500	0.5	11,500	0.3
7×7	13,000	0.2	15,000	0.1
7×37	12,000	0.3	14,000	0.1
1×37	15,000	0.1	17,000	0.05
1×91	14,000	0.2	16,000	0.1
ロックドコイルロープ	15,000	0.1	16,000	0.05

(2) 疲労強度

ワイヤロープに荷重を長時間保持するプレテンション加工を施すと、ワイヤロープの曲げ疲労特性が良くなる^{9), 11), 12)}。また、この効果は、プレテンションの荷重の増大に伴って大きくなる傾向があるが、荷重が大きくなりすぎるとストランド素線相互間に著しい圧痕を生じ、逆に耐疲労性が悪くなるので、プレテンション荷重は通常、ワイヤロープの切断荷重の 50% 程度が適当とされている。^{9), 11), 12)}

図 4.3.7 にプレテンション荷重と耐疲労性の関係を示す。

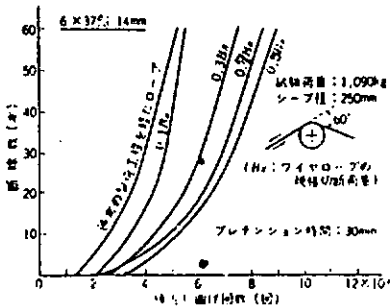


図 4.3.7 プレテンション条件と耐疲労性との関係⁹⁾

図 4.3.8 に大津留らが行った実験の結果を示す。大津留らは、プレテンション荷重を 15 分間保持後、さらに 5 ~ 15 回の繰返し曲げを与えた供試材で U 字曲げ疲労試験を実施しているが、その結果、プレテンション荷重が小さい (30 ~ 40% BL) ときに耐疲労性が向上し、荷重が 60% を越えると逆に耐疲労性が低下したとしており、これは、引張応力の他に曲げ応力が加わり過負荷になったためであるとしている。¹³⁾

Pre-L.	Sig. 15min		Sig. 15m, 5r		Sig. 15m, 15r	
	N	N/N ₀	N	N/N ₀	N	N/N ₀
70%	24,377 32,772 41,932 33,051	0.79	35,182 37,466 33,218 30,056	0.80	24,182	—
60%	37,304 39,987 36,066	0.91	34,473 46,461 53,061 55,346	1.14	41,510 39,728 37,504	0.95
50%	46,833 46,288 42,828	1.09	44,353 45,564 47,704	1.10	42,966 54,299 44,011	1.13
40%	52,458 46,856 54,402	1.15	51,836 60,404 48,976	1.29	51,328 47,450 54,361	1.23
30%	53,495 47,128 54,937	1.24	—	—	—	—
Non Preload (N ₀)	M1=33,641 M2=37,999 M3=42,161 M4=48,725		M5=42,333 M6=41,289 M7=44,416 M8=42,765		M=ΣN/8=41,666	

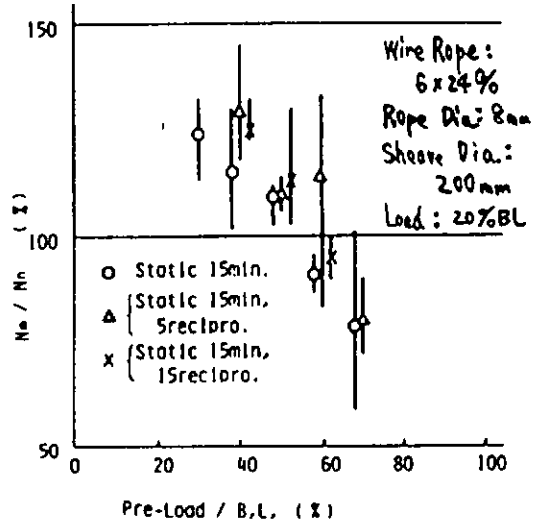


図 4.3.8 プリロードの効果(一次曲げ疲労試験)¹³⁾

ワイヤロープに規格切断荷重の 60% 以上の高荷重を短時間負荷することでも疲労特性が向上するとの報告¹⁴⁾がある。Smith らは、ワイヤロープに周期的に高荷重(過荷重)を負荷することにより、引張疲労試験での寿命は過荷重を負荷しないワイヤロープに比べて、1 オーダー長くなるとしている。Smith らが行った試験結果を図 4.3.9 に示すが、過荷重としての最適荷重は、ワイヤロープの切断荷重の 75% 程度で、ワイヤロープの降伏荷重に相当するときであるとしている。¹⁵⁾また、Smith らは、その後行った試験の結果から、寿命延長の大

部分は、最初の過荷重の負荷によって達成され、その後の周期的な過荷重はわずかに延命に寄与するにすぎないとしており、実用上過荷重の負荷は、最初の1回だけでも十分に有益であるとしている。図4.3.10に過荷重の負荷回数と寿命との関係を示す。

また、田中らは、ワイヤロープに切断荷重の60%以上の荷重を1分間負荷した後行った引張疲労試験の結果で、この過荷重が大きければ大きい程その疲労強度が高くなるとしている。図4.3.11にその結果を示す。

EFFECT OF OVERLOADS ON FATIGUE LIFE OF WIRE ROPE

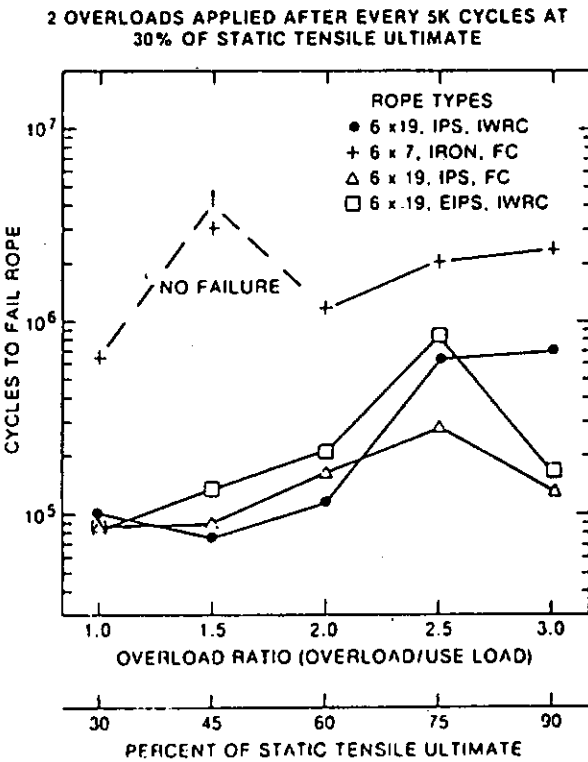


図4.3.9 Cycles to failure vs overload ratio¹⁴⁾

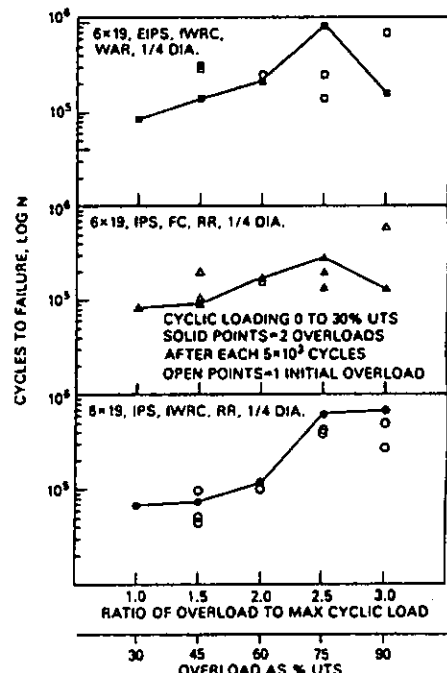


図4.3.10 Effects of various overloads on the fatigue life of three different types of rope.¹⁵⁾

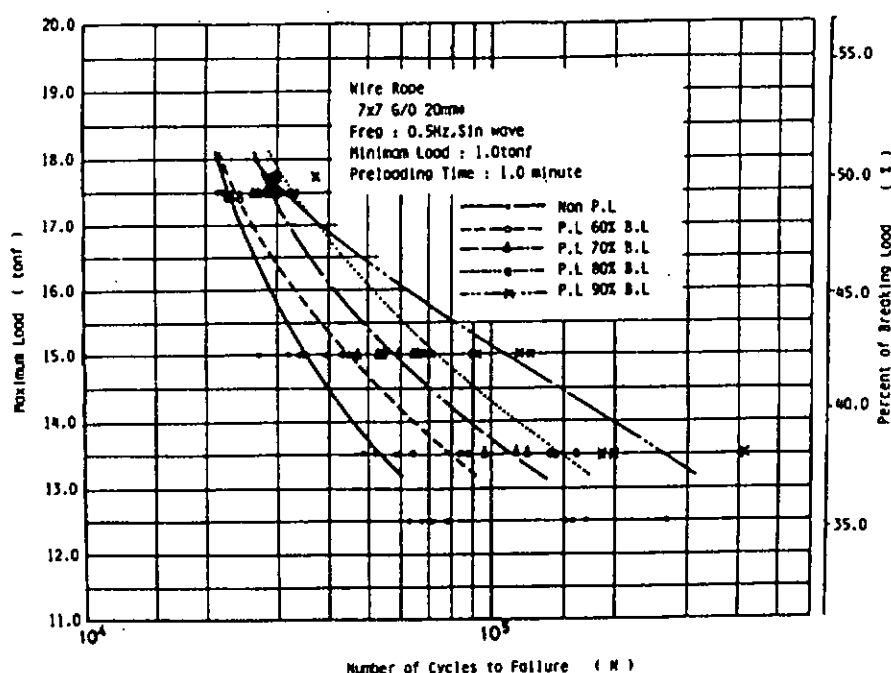


図4.3.11 ブリードと引張り疲労試験結果¹⁶⁾

4.3.3 鋼索の部分片振り張疲労試験

(1) 目的

鋼索の静的強度は、JISやBS(British Standard)等の各国の規格やNK, NV等の船級協会の規則によって定められているが、動的強度については、規格等ではなく、各方面から疲労試験の結果が報告されているのみである。前年度の当部会の報告書で、それらのデータがまとめられている。しかし、これらの試験結果では、供試体が各種にわたり、試験条件も異なるため疲労強度のバラツキがかなり大きくなっている。

そこで、供試材の種類および試験条件を限定して、部分片振り張疲労試験を実施し、主として鋼索の径と疲労強度の関係を調査した。

(2) 供試ロープ

(a) ロープの諸元

表 4.3.4 ロープの諸元

構成	より方	めっきの有無	種別	ロープの径 mm		外層素線径 mm	計算断面積 mm ² (3)	切断荷重 tf	
				公称	実際			規格(4)	実際
IWRC (1) 6xWS36G/0	普通 Zより	亜鉛 めっき	(2) B種	22.4	23.02	1.28	243.5	34.6	37.8
				31.5	32.78	1.85	496.8	68.4	76.6
				41.2	43.58	2.36	837.0	117	130

(注) (1) ロープの構成は次のとおり。(断面は右図)

$$7 \times (1+6) + 6 \times (1+7+(7+7)+14)$$

$$\delta_0 \delta_1 \delta_{28} \delta_{25} \delta_3$$

(2) 種別のB種は素線の公称引張強さが

$$180 \text{ kgf/mm}^2$$

(3) 計算断面積は、実際素線径より算出した。

(4) 規格切断荷重は、JIS G 3525に準拠した。

(b) 主要素線の諸元

ロープの主要素線(外層線)の諸元を表4.3.5に示す。

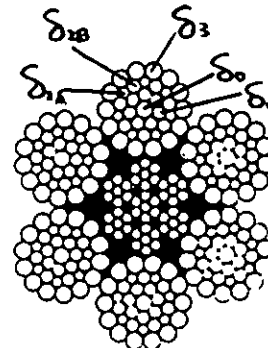


表 4.3.5 主要素線の諸元

ロープの径 mm	外層素線径 mm	鋼種	引張強さ kgf/mm ²	ねじり回数 (100d)回	亜鉛付着量 g/m'
22.4	1.28	SWRH72A	192.1	42	124
31.5	1.85	SWRH77B	184.7	34	192
41.2	2.36	SWRH77B	183.1	31	269

備考 (1) 鋼種は、JIS G 3506(硬鋼線材)による。

(2) 素線はいずれも溶融亜鉛めっき後、伸線加工を施している。

(3) 引張強さ、ねじり回数、亜鉛付着量は、外層素線14本の平均値である。

また、これらの試験方法は、JIS G 3525によった。

(3) 試験方法

(a) 供試体

供試体の形状を図 4.3.12に示す。なお、両端は支圧形ソケット（材質は S 4 5 C）とし、定着のための鉛込み材としては、エポキシ樹脂に亜鉛粉末を混合したものを採用した。

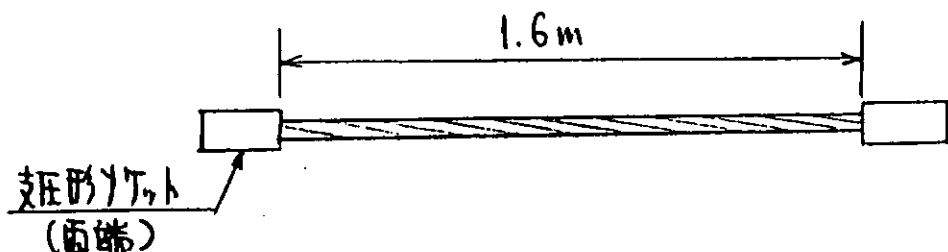


図 4.3.12 供試材の形状

(b) 試験設備

試験は、 t_f 50 パルセータ型引張疲労試験機で

実施した。

供試体のセット状況等の概要を図 4.3.13に示す。荷重は、最下部のロードセルにより検出した。

(c) 試験条件

試験条件は、表 4.3.6に示しているが、本試験では平均荷重をワイヤロープの規格切断荷重の約 $1/5$ で一定にし、荷重振幅を変化させた。従って、最小荷重が常に負荷されており、部分片振り引張疲労試験である。

なお、荷重の繰返し速度は 250 cpm (4.2Hz) で行った。

(d) 試験の終了点

試験の終了点は、次のいずれかに達したときとした。

- ① ワイヤロープが切断（1ストランド以上が切断）したとき
- ② 繰返し回数が 4×10^6 回以上になったとき

(4) 試験結果

試験の結果を表 4.3.6 及び図 4.3.14、図 4.3.15に示す。また、本試験の結果を従来のデータ（前年度 本部会報告書）として図 4.3.16及び図 4.3.17に示した。

試験の結果および試験後の供試体の状況をまとめると次のとおりである。

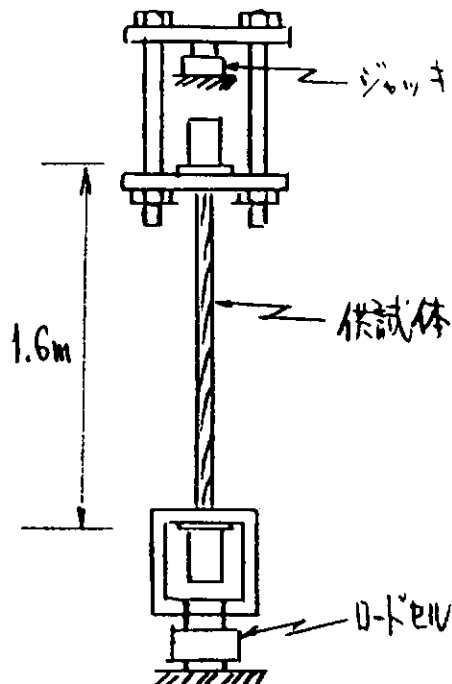


図 4.3.13 試験設備の概要

① 図 4.3.14は、各ワイヤロープの切断までの繰返し回数による疲労強度を示しているが、このS-N線図では、ワイヤロープの径による差異がはつきりと認められ、径が細いほど疲労強度が高くなつた。この傾向は応力範囲の大きさに関係なく同じで、各ワイヤロープ径のS-N線図はほぼ平行となつた。（（注）31.5 mmの場合には、 $\sigma_R = 50.3 \text{ kgf/mm}^2$ で端末加工部で切断したデータは異常値として扱い、これを除いてS-N線図を描いた。）

これらのS-N線図より、各ワイヤロープの 2×10^6 回での時間強度を求める

$$2.2.4 \text{ mm} \cdots \sigma(A 2 \times 10) \stackrel{6}{=} 4.9 \text{ kgf/mm}^2$$

$$3.1.5 \text{ mm} \cdots \sigma(A 2 \times 10) \stackrel{6}{=} 4.0 \text{ kgf/mm}^2$$

$$4.1.2 \text{ mm} \cdots \sigma(A 2 \times 10) \stackrel{6}{=} 3.2 \text{ kgf/mm}^2$$

であり、その差はかなり大きい。

② 図 4.3.16、図 4.3.17に本試験の結果と既に発表されたデータとの比較を示したが、本試験の結果は全体に疲労強度が高くなつた。特に従来のデータの30 mm以上との比較では、その差が顕著である。

また、 2×10^6 回での時間強度で比較すると、従来のデータでは $\sigma(A 2 \times 10)$ は概ね、 2.0 kgf/mm^2 程度であるが、本試験の結果では、いずれも 3.0 kgf/mm^2 以上であった。

③ ワイヤロープの切断は、端末加工部で生じたのが1本だけで、他は全て端末加工部以外のワイヤロープで生じた。

④ ワイヤロープ部での切断位置は、1本を除き他は供試体の中央部より上側（試験機の引張のクロスヘッド側）で、端末加工部に近い部分（約10 cm以内）が端末加工部から30～40 cmはなれたところであった。

⑤ 切断部以外で側ストランドの索線の断線が多く見られるが、比較的切断部付近に集中している傾向がある。側ストランドにおける断線の発生は、大部分がストランド同士が接触し合う部分であり、この部分では索線同士の接触による摩耗のため大きな圧痕が生じていた。

⑥ IWRC（鋼心）は、どの供試体においても断線が多発しており、特に側ストランドが切断した付近では、切断もしくはそれに近い状態であった。

表 4.3.6 試験結果

ロープの径 mm	試験 順序	荷重(応力)			tf (kgf/mm ²)	荷重均 範囲(δ _R)	%RBS	応力比 $\sigma_{min}/\sigma_{max}$	最終繰返し回数 ×10 ⁶	終了時の状況
		最大	最小	平均						
2.2.4	6	11.0(4.52)	3.0(1.23)	7.0	8.0(3.29)	21.2	0.27	5.2153	切削せず	
	3	12.0(4.93)	2.0(8.2)	(28.7)	10.0(4.11)	26.5	0.17	3.9674	□	2ストランド切削
	5	13.4(5.50)	0.6(2.5)		12.8(5.25)	33.9	0.05	1.5166	□	3 "
3.1.5	1	21.5(4.33)	6.5(1.31)		15.0(3.02)	19.5	0.30	4.3351	切削せず	
	15	22.5(4.52)	5.5(1.11)		17.0(3.42)	22.2	0.25	3.0082	□	2ストランド切削
	8	23.0(4.63)	5.0(1.01)		18.0(3.62)	23.5	0.22	1.8664	□	"
4.1.2	2	24.0(4.83)	4.0(8.1)		20.0(4.02)	26.1	0.17	1.8717	□	"
	9	25.5(5.13)	2.5(5.0)	(28.2)	23.0(4.63)	30.0	0.10	2.1086	□	"
	14	26.0(5.23)	2.0(4.0)		24.0(4.83)	31.3	0.08	0.6241	□	"
4.1.2	4	26.5(5.33)	1.5(3.0)		25.0(5.03)	32.6	0.06	0.2095	□	ソケット内で 2ストランド切削
	7	26.5(5.33)	1.5(3.0)		25.0(5.03)	32.6	0.06	1.1007	□	1ストランド切削
	11	36.5(4.36)	1.05(1.25)	23.5	26.0(3.11)	20.0	0.29	2.1814	□	2ストランド切削
4.1.2	13	38.5(4.60)	8.5(1.02)		30.0(3.58)	23.1	0.22	1.3257	□	"
	12	40.5(4.84)	6.5(7.8)	(28.1)	34.0(4.06)	26.2	0.16	0.8330	□	"
	10	44.0(5.26)	2.0(2.4)	23.0(2.75)	42.0(5.02)	32.3	0.05	0.5533	□	3ストランド切削

備考 (1) 応力は、荷重をロープの計算断面積で除した。

(2) 荷重比は(荷重の範囲/ロープの実際切断荷重) × 100 で求めた。

(3) 終了時の状況の図で×印は切断位置を示す。図で左側が試験機の上側を示す。

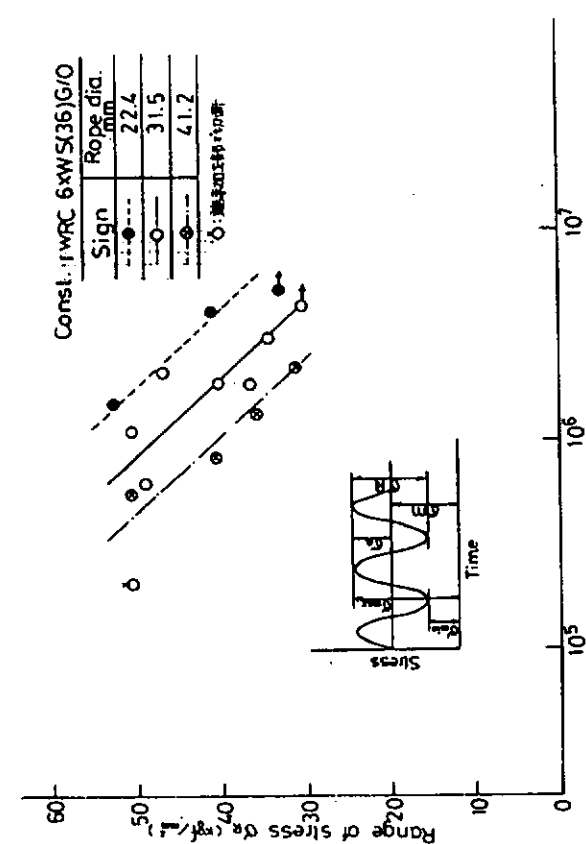


図 4.3.14 S-N線図

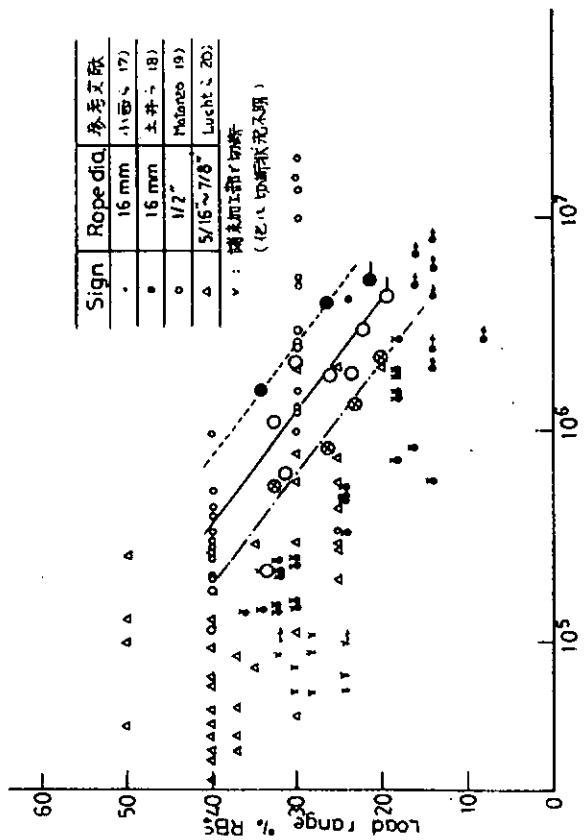


図 4.3.16 従来のデータ (224mm以下)との比較

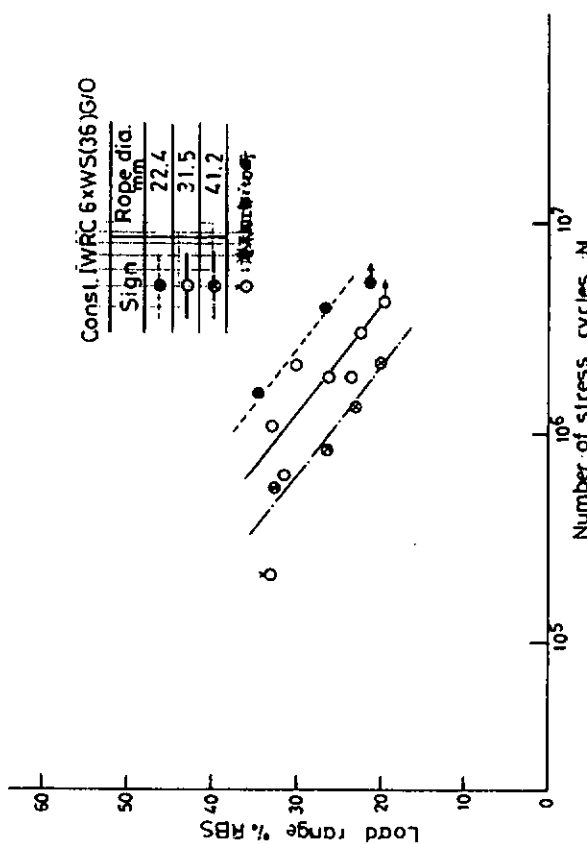


図 4.3.15 Load Range—N線図

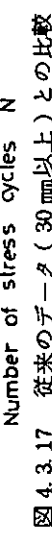


図 4.3.17 従来のデータ (30mm以上)との比較

(6) 考 察

本試験では、今まで公表されたデータに比べて

- (イ) ワイヤロープの径の違いによる疲労強度の差異、いわゆるサイズ効果が認められた。
- (ロ) 各ワイヤロープの疲労強度そのものが全体に高い。
- (ハ) ワイヤロープの切断位置は、大部分がワイヤロープ部であった。

ということが、明確に現われたことである。

ワイヤロープの疲労特性に影響する要因としては、前年度の本部会の報告書で次の様な要因を挙げている。

- ① 試験方法として
 - (イ) 破断寿命の定義とその判定法
 - (ロ) 端末処理方法
 - (ハ) 供試体の長さ
 - (ニ) 繰返し速度

- ② ワイヤロープに関して
 - (イ) 素線の強度、疲労特性
 - (ロ) ワイヤロープの構成、太さ
 - (ハ) ワイヤロープのより方、よる技術
 - (ニ) ワイヤロープの心材、オイルの種類

これらの中で特に大きな影響を与えるのは、①の(イ)(ロ)、②の(イ)(ロ)であると思われる。本試験の結果で疲労強度が従来のデータより全体に高くなつた原因をこれらの要因について、比較してみると

- (イ) 破断寿命については、従来のデータでも一部のデータを除いて試験の終了点をワイヤロープの切断時としているので、本試験と差はない。
- (ロ) ワイヤロープの端末処理方法については、従来のデータの試験では亜鉛または、その合金によるソケット加工か、スウェージ加工による方法が大部分であり、試験の結果として、その端末加工部で切断しているものが多い。本試験では、このような端末加工部での切断をできるだけ避けるため、ソケットへの鍛込み材にエポキシ樹脂を用いた。その結果、本試験では端末加工部での切断は1本のみで他は全てワイヤロープ部であった。従って、本試験の結果は端末加工の影響を受けずにワイヤロープ本来の疲労強度が得られたと言える。

端末加工でのソケットへの鍛込み材については、²¹⁾ Hanzawa らは亜鉛合金、エポキシ樹脂、ポリエステル樹脂等での試験を行い、エポキシ樹脂がソケット内での断線の発生が少なく、また強度的にも強く最もすぐれているとしている。

- (ハ) 素線の強度、特に引張強さは、ワイヤロープの疲労強度に影響を及ぼすと考えられるが、これらについて公表されたデータはない。

本試験で用いた供試体の素線の引張強さは、183~192 kgf/mm²と比較的高い方に属するが、従来のデータの160~180 kgf/mm²級と大差のあるものではない。

- (ニ) ワイヤロープの構成としては、従来のデータのものは一部、太径の9ストランドロープや細径の3ストランドロープが含まれるが、大部分が6ストランドロープの平行よりであり、本試験の供試材と類似している。

以上の様に見ると本試験の結果が従来のデータと大きく異なるのは、端末処理の方法とこれによるワイヤロープの切断位置の違いである。本試験では、ワイヤロープが端末加工部でなくワイヤロープ部で切断したので、端末加工の影響を受けずにワイヤロープ本来の疲労強度が得られ、端末加工部での切断の多い従来のデータに

比べ、必然的に疲労強度が高くなつたと言える。ワイヤロープの疲労試験では、ワイヤロープの切断位置が、その疲労強度を左右すると言つても過言ではない。

次に、本試験の主目的である疲労特性に対するワイヤロープのサイズ効果については、本試験の結果では、サイズ効果が明確に認められ、ワイヤロープの径が細くなるほど疲労強度が高くなつた。サイズ効果については、前年度の本部会の報告の中で、各方面からのデータを集めて考察されているが、そこでは“概して、ロープ径の大きい方が疲労特性は悪い”としている。しかし、Hanzawa²¹⁾らは、50mm以上の太径のワイヤロープでの試験において、ワイヤの径が太くなるほど言いかえれば、ワイヤロープの径が太くなるほど疲労強度は高くなるし、その理由として索線相互間の接触面積の違いや、それによる摩滅または圧痕のつき方の違い等を挙げている。一方、Beeman²⁴⁾らは、引張疲労ではなく、曲げ疲労試験の結果であるが、切断荷重の50%以上の高荷重域では、太径ロープ(3")は、細径ロープ(2"以下)に比べて寿命は著しく低下するとしている。

以上のように疲労強度に対するワイヤロープのサイズ効果については明確ではない。ワイヤロープの疲労強度におけるサイズ効果に影響を及ぼす要因としては、次の様な要因が挙げられる。

- (イ) 索線の引張強さ、韌性
- (ロ) 索線の材質(鋼種)及び加工度
- (ハ) 索線の疲労強度
- (ニ) ワイヤロープのより線技術
- (ホ) 供試体の長さ

しかし、以上の要因がどの様にワイヤロープの疲労強度に影響を及ぼすかについては、従来のデータがなく判断はできないが、少くとも索線の疲労強度が大きく影響するであろうことは十分に予想される。鋼線の鋼種や引張強さ、韌性等と鋼線の疲労特性(回転曲げ疲労)については、吉野の研究がある。吉野が示した鋼線の鋼種及び引張強さと疲労限の関係を図4.3.18に、また鋼線の捻回数(ねじり回数)と疲労限の関係を図4.3.19に示す。これらによれば、鋼線の引張強さの上昇と共に疲労限は上昇するが、引張強さが高くなりすぎると逆に疲労限が低下する。そして、そのピークは引張強さが175~185kgf/mm²であるとしている。本試験の供試材の索線の引張強さは、183~192kgf/mm²であり、このピークから大きくはずれることはない。また、図4.3.19によれば鋼線の韌性を示す指針とされるねじり回数と疲労限との間には相関が見られる。一般に、異った線径で同じ引張強さの索線を得ようとする場合、太い線径ほどねじり回数が小さくなると言われる。本試験の供試材でも、太いワイヤロープ径の索線ほどねじり回数は低下した。従って、太いワイヤロープの索線ほどその疲労限が低かった可能性は考えられる。しかし、これがワイヤロープの疲労特性に影響を与えたか否かは想像の域を出ない。

以上、本試験の結果に見られたサイズ効果について考察を試みたが、その決定的な理由を見い出すには、索線の疲労強度とワイヤロープの疲労強度との関係を解明するなど、今後の研究が必要である。

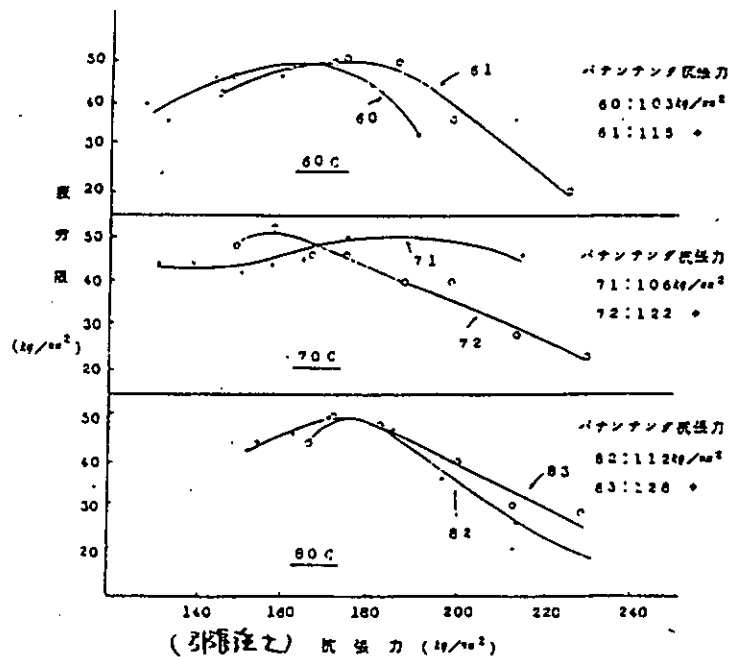


図 4.3.18 疲労限と抗張力の関係

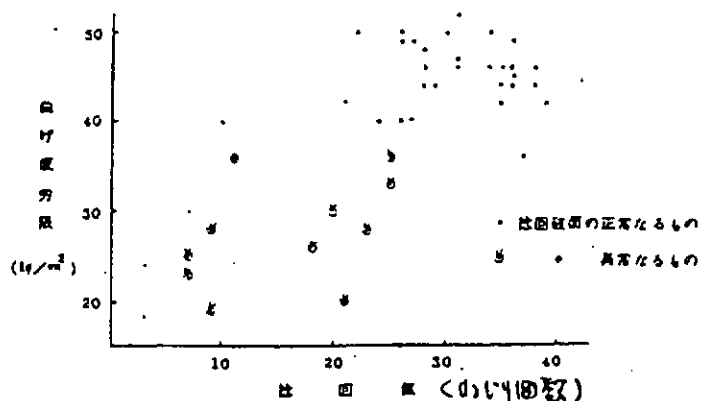


図 4.3.19 疲労限と捻回数の関係

(7) 結論

① 2.2.4 mm ~ 4.1.2 mmまでの引張疲労試験の結果では、各ワイヤロープ径に対するS-N線図はほぼ平行で、ワイヤロープの径の違いによる疲労強度の差異が明確に現われ、疲労強度に対するサイズ効果が認められた。

各ワイヤロープ径の繰返し回数 2×10^6 回での時間強度は

$$2.2.4 \text{ mm} \cdots \sigma (A 2 \times 10^6) \div 4.9 \text{ kgf/mm}^2$$

$$3.1.5 \text{ mm} \cdots \sigma (A 2 \times 10^6) \div 4.0 \text{ kgf/mm}^2$$

$$4.1.2 \text{ mm} \cdots \sigma (A 2 \times 10^6) \div 3.2 \text{ kgf/mm}^2$$

であり、細いロープ径ほど疲労強度が高くなつた。

② 各ワイヤロープの疲労強度は、従来のデータに比べて全体に高くなつた。この原因は、本試験でのワイヤロープの切断位置が1本の例外を除き、端末加工部でなくワイヤロープ部であったためと思われる。すなわち、切断位置がワイヤロープの疲労強度を左右すると言える。

従来のデータとの比較を、時間強度で見れば従来のデータでは、 2×10 回での時間強度 $\sigma(A2 \times 10)$ ⁶ は概ね、 20 kgf/mm^2 程度であるのに対し、本試験の結果は、いずれも 30 kgf/mm^2 以上であった。

③ 疲労試験のための端末処理加工方法としては、エポキシ樹脂による定着が極めて有効である。本試験でも1本の例外を除き、他は端末加工部以外のワイヤロープ部で切断しており、ワイヤロープ自身の正確な疲労強度が得られたと言える。

参考文献

- 1) 池田、上野：「非自転性鋼索の機構」 第5回ワイヤロープ研究会講演集。p83 (昭. 33. 1)
- 2) 大和田：「撓線の機械的特性に関する研究」 東京大学生産技術研究所報告 4巻 6号 (昭. 30. 3)
- 3) 会田、佐藤、中井：「多層よりスパイラルロープの自転性について」
日本機械学会論文集 Vol. 34. No. 258 (昭. 43)
- 4) 中井：「ワイヤロープの機械的特性に関する研究」 学位論文 (1969)
- 5) 奥谷、神吉、倉内：「ワイヤロープの自転についての解析と二、三の実験」
R & D (神戸製鋼技報) Vol. 22. No. 1 (1972)
- 6) Liu F. C. : 「Kink formation and rotational response of single and multi-strand electromechanical cables」
Technical Note N-1403 Civil Engineering Laboratory, Naval Construction Battalion Center, Oct. 1975
- 7) Ross A. L. : 「Cable Kinking analysis and prevention」
Transaction of the ASME. Journal of engineering for Industry, Feb. 1977
- 8) 兵庫県安全衛生協会連合会編：「玉掛ワイヤロープの管理基準」 (昭. 48)
- 9) ワイヤロープ便覧編集委員会編：「ワイヤロープ便覧」
- 10) 例えば 神鋼鋼線工業㈱ 技術資料：「構造用ワイヤロープ」
- 11) 新保、熊谷：「Pretension が鋼索の疲労試験に及ぼす影響について」
第4回ワイヤロープ研究会講演集 p50. (昭. 30. 12)
- 12) 新保、熊谷：「麻心入りロープの疲労性に及ぼすPre-tensionの影響について」
第6回ワイヤロープ研究会講演集 p121. (昭. 33. 1)
- 13) 大津留、岡田、田中：「ワイヤロープの疲労寿命に及ぼすブリードの影響」
第38回船舶技術研究所研究発表会講演集 p130. (1981. 12)
- 14) Smith H. L., Stonesifer F. R. and Seibert E. R.
: 「Increased fatigue life of wire rope through periodic Overload」
OTC 3256 (1978)
- 15) Stonesifer F. R. and Smith H. L.
: 「Tensile fatigue in wire rope」 OTC 3419 (1979)

- 16) 田中, 大津留, 岡田, 上野: 「ブリロードの引張疲労寿命に及ぼす影響について」
昭和 57 年全国地下資源関係学協会合同秋季大会分科研究会資料 p15. (昭. 57. 10)
- 17) 小西, 西村, 島田: 「ワイヤロープの静的試験および繰返し引張疲労試験」 材料試験 7 (1958) 160
- 18) 土井, 川端, 篠原: 「中心ワイヤロープ入りストランドロープ」 材料 Vol. 25. #276 (1978)
- 19) Matanzo F. : 「Axial fatigue of corroded wire rope in seawater OTC 1579 (1972)
- 20) Lucht W.A., Denecker F.W.
: 「Factors affecting wire rope life in a marine environment」
OTC 2924 (1977)
- 21) Hanzawa M., Yokota H., Toda Y., Yokoyama K.
: 「Fatigue behavior of large-diameter wire ropes」
Society of petroleum engineers journal (June 1982)
- 22) 奥川: 「吊橋ハンガーロープの引張および疲労試験」 本四技報 Vol. 2 #5. (1978)
- 23) Ronson K.T. : 「Ropes for deep water mooring」 OTC 3850 (1980)
- 24) Beeman G.H. : 「Factors affecting the service life of large-diameter wire rope」
(Battelle の報告) March 1978
- 25) 吉野: 「高抗張力鋼線の製造における諸因子並びに鋼線とワイヤロープの疲労に関する研究」 学位論文

4.4 鎖の強度に関する実験

4.4.1 文献調査

チェーンの強度、とくにその腐食疲労強度に関するデータは、前年度報告書に述べたように、必ずしも多くない。¹⁾その後、この一年間に公表されたデータとしては Helvoirt²⁾、および、浅野らのものがあるに過ぎない。

Helvoirt は 3" オイルリグ用スタッド付チェーンの静歪計測と、28体に対する ASTM 規格の人工海水を用いた疲労実験（荷重範囲 400KN）を行っている。その結果、応力集中率は、ベンド部内側で 4 となっている。一方、疲労実験の結果からは、破壊モードが 2 種類（スタッドの溶接端部からの破断 5 体、ベンド部からの破断 11 体）あり、それらの平均寿命は 2.2×10^6 サイクルで、寿命の対数の標準偏差が 0.12 である事を示している。なお、スタッド溶接端部からの破断を除くと平均寿命は、 2.35×10^6 サイクルとなっている。

浅野らは、呼び径 40mm の第 3 種チェーンについて人工海水中で疲労実験を行い（最も長期間のもので 1.5ヶ月）空気中での実験結果と比較して、とくに中間、高サイクル領域で強度低下が著しいことを示している。さらに、7ヶ月間人工海水中に浸漬した後空気中で疲労実験を行ったものの強度は、人工海水中でのそれより強度が高いことも併せて示し、腐食・疲労の相乗効果が明瞭であることを指摘している。さらに API 規格に則って、スタッドの全周を溶接したものは、溶接止端部からのき裂発生が多くなり、かえって疲労強度を低める結果になることも示している。

4.4.2 疲労強度に関する実験

(1) 実験の目的

海洋構造物の設置海域が深海にまで拡大されてくると、3.3 節に詳しく述べられているように、係留の初期張力が増大する。このような状態でチェーンだけの係留様式が採用できるかどうかは疑問のあるところであるが、ここでは仮に、500m 以上の水深に対してチェーンの単一係留様式を採用する場合を想定し、呼び径 3" ~ 4" のチェーンについて 3.3 節の方法に則って初期張力の大きさを計算すると、3.3 節付図 9 より、初期張力の破断荷重に対する比は、0.27 ~ 0.3 程度の値となる。一方、通常の状態では変動張力と初期張力の和が破断荷重の 1/3 を超えることはないとして、その場合の応力比（最小荷重 / 最大荷重）を計算すると、0.6 ~ 0.9 の値を探る（表 4.4.1 参照）。深海域での係留鎖の疲労強度を評価する場合には、前述のように平均応力が大きくなることから、その影響を無視することは危険側の評価をすることになる。そこでここでは、応力比を 0.05 から 0.75 まで変化させて、平均応力がチェーンの疲労強度におよぼす影響を実験的に調べることとした。

(2) 供試チェーン

疲労試験に供したチェーンは、呼び径 40mm の第 3 種 5 リンクチェーンで、スタッド端部形状、スタッド溶接、ショットブラスト施工等については API 規格を適用した。図 4.4.1 に供試チェーンの形状を示す。両端のリンクは加力用ピンとのとり合いのため、厳密には他のリンクと異った応力状態になると思われる。したがって、端部のリンクから破断した場合には、得られたデータにあいまいさが残ることになる。これを防ぐため両端のリンクは呼び径 44mm とした。

全ての供試チェーンについて、NK 規格による耐力試験を実施した。試験荷重は 91.4 トン、切断荷重は 131 トンである。チェーンを製作するために用いた丸鋼（JIS SBC70 に相当）の化学成分、および機械的性質を表 4.4.2 に示す。また、耐力試験を実施した同一ロットのチェーンから切り出した材料の機械的性質も表 4.4.2 に併記する。

(3) 応力計測

疲労実験に先立ち、チェーンリンク表面にひずみゲージを貼付して、静的応力計測を実施した。計測の対象としたチェーンは、SRA-21、およびSRA-22の2体であり、5トンから9.5トンの間で段階的に引張力を載荷し、ひずみ計測を行った。結果のひずみ分布図を、表4.4.3の要領で示す。

表4.4.3 ひずみ分布図一覧

図番	供試体名	サイクル	引張荷重(Ton)	備考
図4.4.2(a)	SRA-21	第1サイクル	5.0	5.0Tonは載荷過程、9.5Tonは最高荷重である。
図4.4.2(b)			9.5	
図4.4.2(c)		第10サイクル	5.0	
図4.4.2(d)			9.5	
図4.4.2(e)	SRA-22	第10サイクル	5.0	

ただし、ここで各図中におけるひずみの値は、各サイクルの5トン載荷時の値を零点として換算し直したものである。

また、図4.4.3には、荷重—ひずみ関係の一例として、図4.4.2(a)中に★印で示した点の載荷後10サイクル間のひずみの履歴を示す。これらの結果から次のことが言える。

- (i) 最大応力はペンド部内側で生じる。この部分では、材料の塑性化のため、最初の1サイクルで大きなひずみの流れが生じるが、10サイクル程度で安定したヒステリシスループを描くようになる。
- (ii) ヒステリシスループが安定した後の、5～9.5トンの荷重幅に対するひずみ範囲でひずみ集中率($K\epsilon$)を定義すると、その値はおよそ3.5である。
- (iii) SRA-21とSRA-22とでは、全体的に前者の方が $K\epsilon$ の値が大きい。これは、リンクの形状が一つ一つで異なるためであると考えられる。これら2つの供試チェーンは、ともにひずみ計測を行ったリンク以外のリンクで疲労破壊をしていることから、最大の $K\epsilon$ の値はここで得られた値よりも更に大きいと考えられる。
- (iv) ここで得られたひずみ集中率 $K\epsilon = 3.5$ は、従来得られている値と良く一致している。³⁾

(4) 疲労試験

前述のように本実験の主目的は、平均荷重の疲労強度に与える影響を明らかにすることである。そこで、応力比を0.05～0.75の間で4種類、荷重範囲(最大荷重—最小荷重)を1.8トン～9.0トンの間で5種類とし、それらの組み合わせにより表4.4.4に示すような荷重ケースを選んだ。実験は100トンおよび200トンの油圧サーボ式疲労試験機を用い、荷重制御で0.8～5Hzの繰り返し速度の下で行った。試験結果を表4.4.5、図4.4.4に示す。図中、縦軸はリンク平行部での公称応力を材料の公称引張強度(70kg/mm²)で除して無次元化した値を示す。また白ぬき記号、黒印記号はそれぞれ、ペンド部からの破断およびスタッド溶接止端からの破断を示す。これによれば、低サイクル領域ではペンド部から、高サイクル領域では1体の例外を除きスタッド溶接止端部から破断している。一方、図中の3本の直線は、平均荷重の影響を見るため同一の応力比のデータを結んだものであり、応力比が大きくなるにつれ疲労強度が低下する。完全片振り(R=0.05)とR=0.5のものとでは、時間強度でおよそ25%の差がある。

図4.4.5は、従来得られているデータに今回得られたデータを加えたものである。今回のデータは、従来の

ものの中でもくぶん強度が高目であったORQチェーンと同等の強度を有している。図中の曲線は、これらのデータのおよその中央線を示す。

(5) チェーン材料の疲労強度

チェーンの疲労強度を評価する基準を得るために、チェーン用丸鋼と、耐力試験後のチェーンのそれから、図4.4.6に示す砂時計試験片(WES規格による)を切り出し疲労試験を行った。チェーン用丸鋼の場合はその中心から試験片を切り出し、チェーンの場合は図4.4.7に示す要領で切り出した。試験は10トン油圧サーボ式疲労試験機を行い、試験片のくびれ部の径方向ひずみを制御して、0.1～0.5Hzの繰り返し速度で実施した。き裂の観察は、拡大率10倍の工学顕微鏡を用いて行い、長さ約0.1mmのき裂を発見した時点をき裂発生寿命(Nc)と定義した。

表4.4.6に疲労試験結果を示す。また、図4.4.8にチェーン用丸鋼から切り出した試験片の結果を、図4.4.9にチェーン本体からのものの結果をそれぞれ示す。図中、縦軸は試験片軸方向のひずみ振幅を、横軸はき裂発生寿命を示す。また、図中の2つの直線は、弾性ひずみ振幅および塑性ひずみ振幅と、き裂発生寿命との関係を、対数軸上で最小2乗法により直線回帰したものである。図4.4.8と図4.4.9とを比較すると、弾性ひずみ振幅および塑性ひずみ振幅とき裂発生寿命との関係は、チェーン用丸鋼とチェーン切出材とで差があるが、全ひずみ振幅とき裂発生寿命との関係は、両者でほとんど差がないことがわかる。

(6) 考 察

(a) チェーンの疲労強度減少係数

図4.4.10にチェーン本体から切り出した材料とチェーンとの疲労試験結果の比較を示す。縦軸は两者ともひずみ振幅で示す。チェーン切出材の場合は全ひずみ振幅で示し、チェーンの場合は公称ひずみ振幅で示す。

ここで公称ひずみ振幅は、破断応力を70kg/mmと仮定して図4.4.5で得られた中央線から公称応力振幅を計算し、この値をヤング率(21000kg/mm)で除して求めたものである。また横軸は、チェーン切出材の場合はき裂発生寿命(Nc)、チェーンの場合は破断寿命(Nf)を示す。2つの曲線の時間強度比は約4となり、先に得られた応力集中率3.5とほぼ等しくなる。チェーンの疲労強度減少係数Kfは、およそ4として良いであろう。

(b) 平均応力の影響

平均応力の影響を考慮に入れた疲労強度線図として、いくつかの線図が提案されているが、ここでは最も一般に用いられている $\sigma_m = \sigma_a$ 線図を使用する。図4.4.11において、縦軸は応力振幅(応力範囲の半分)横軸は平均応力を示し、縦軸上的一点と $\sigma_m = \sigma_a$ の点を結ぶ直線または梢円上の点は同じ疲労寿命を有するとされる。これらをそれぞれ直線則または梢円則と呼ぶ。ある引張平均応力と応力振幅の組み合わせ(σ_m , σ_a)と同等の完全片振り($R=0$)試験の応力振幅は、 (σ_m, σ_a) と $(\sigma_a, 0)$ を通る直線または梢円と、 $R=0$ ($\sigma_m = \sigma_a$)の直線との交点として求められる。いま、それらの応力振幅の値をそれぞれ、 σ_{a0} , σ_{a0} とすると、

$$\sigma_{a0} = \frac{\sigma_a + \sigma_a}{\sigma_a + \sigma_a - \sigma_m} \quad (4.4.1)$$

$$\sigma_{a0} = \frac{\sigma_a + \sigma_a}{\sqrt{\sigma_a^2 + \sigma_a^2 - \sigma_m^2}} \quad (4.4.2)$$

と表わされる。

直線則を用いて公称応力振幅を補正し、完全片振り（応力比 $R = 0$ ）の状態にした疲労強度線図を図4.4.12に示す。また、図4.4.13には、梢円則を用いて補正した線図を示す。両者とも破断応力はミルシートの値75.4 kg/mm²を用いて補正している。梢円則による結果はまだ大きなばらつきを有するのに対して、直線則による結果は全てのデータがほぼ1本の直線のまわりにまとまり、応力比による差がなくなる。

本実験結果によれば、チェーンの疲労強度における平均応力の影響を評価する方法として、公称応力振幅と公称平均応力とに対して直線則を適用する手法が最も適切であることが判明した。以上の結果を用い、図4.4.5に示した中央線を応力比 $R = 0$ と考えて求めた、各応力比に対する疲労強度線図を図4.4.14に示す。

参考文献

- 1) L. C. van Helvoirt ; "Static and Fatigue Tests on Chain Links and Chain Connecting Links", OTC 4179, 1982
- 2) 浅野皓三他；“チェーンの疲労強度”，NK係留研究委員会資料 1982
- 3) 日本造船研究協会第187研究部会報告書, 1982

表 4.4.1 初期張力と破断荷重の比及び応力比

チェーンの 呼び径	水	深	(m)
	500	750	1000
76φ(3")	0.272 <0.63>	0.295 <0.78>	0.310 <0.86>
87φ(3 1/2")	0.273 <0.64>	0.297 <0.78>	0.311 <0.87>
102φ(4")	0.275 <0.64>	0.297 <0.78>	0.313 <0.88>

注； 数字は、初期張力／破断荷重を示す。<>内は応力比を示す。

表 4.4.2 機械的性質および化学成分

	機械的性質				化学成分(%)				
	降伏点 (kg/mm ²)	引張強度 (kg/mm ²)	伸び (%) (1)	絞り %	C	Si	Mr	P	S
チェーン用丸鋼	63.0	78.0	20.4	62.3	0.33	0.24	1.53	0.020	0.020
チェーン本体	61.0	75.4	22.9	67.3					

注； (1) 標点間距離 70mm

表 4.4.4 疲労試験荷重ケース、最小荷重～最大荷重

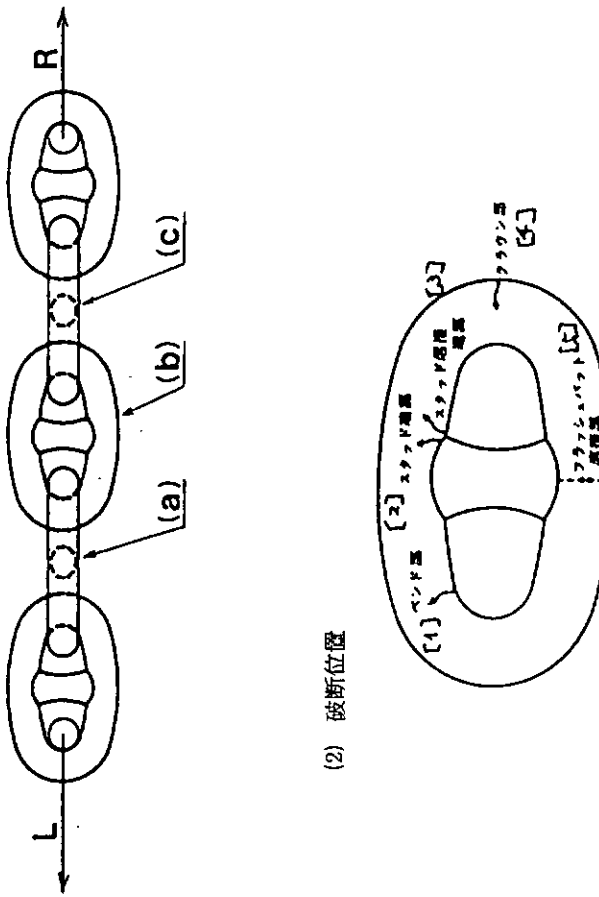
応力比 荷重範囲(1)	0.05	0.3	0.5	0.75
1.8	—	—	18～36	54～72
2.6	1～27	11～37	26～52	78～104
4.0	2～42	17～57	40～80	—
6.0	3～63	26～86	—	—
9.0	5～95	—	—	—

注； (1)荷重範囲=最大荷重-最小荷重

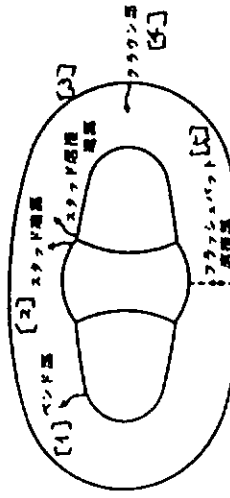
表 4.4.5 疲労試験結果

供試体 No.	荷重範囲 (Ton)	応力比	破断寿命	破断リンク ⁽¹⁾	破断位置 ⁽²⁾
SRA-1	4.0	0.05	5.04×10^5	(a)	(3)
2	"	"	2.47×10^5	(b)	(3)
3	"	0.3	5.64×10^5	(b)	(3)
4	"	"	3.89×10^5	(b)	(1)
5	6.0	0.05	1.06×10^5	(b)	(1)
6	"	"	7.87×10^4	(a)	(1)
7	"	0.3	5.17×10^4	(b)	(1)
8	"	"	6.91×10^4	(c)	(1)
9	2.6	0.5	1.07×10^6	(c)	(1)
10	"	"	8.89×10^5	(a)	(3)
11	"	0.3	$>2.01 \times 10^6$	-	-
12	"	"	$>2.01 \times 10^6$	-	-
13	1.8	0.75	1.42×10^6	(a)	(3)
14	"	"	$>2.00 \times 10^6$	-	-
15	2.6	0.05	$>2.00 \times 10^6$	-	-
16	"	"	$>2.00 \times 10^6$	-	-
17	4.0	0.5	2.35×10^5	(c)	(1)
18	"	"	2.03×10^5	(c)	(1)
19	1.8	0.5	$>2.10 \times 10^6$	-	-
20	"	"	$>2.15 \times 10^6$	-	-
21	9.0	0.05	1.37×10^4	(a)	(1)
22	"	"	1.62×10^4	(a)	(1)
23	2.6	0.75	$- (3) \times 10^5$	-	-
24	4.0	0.05	2.71×10^5	(c)	(3)
25	"	0.3	4.07×10^5	(c)	(1)
26	"	0.5	1.05×10^5	(b)	(1)

注：(1) 破断リンク



- (3) 最大荷重 104トンが耐力試験荷重に比して大きすぎ、チーンの
のびが著しく、試験機のストロークを越えたため中断。



(2) 破断位置

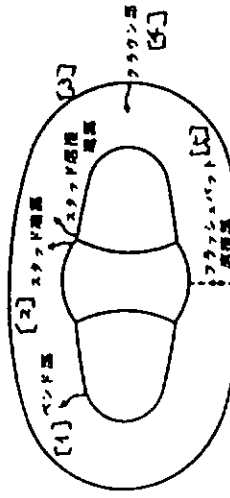


表 4.4.6 チェーン材料の疲労試験結果

試験片 No (1)	弾性歪振幅 ϵ_{ea}	塑性歪振幅 ϵ_{pa}	全歪振幅 ϵ_{ta}	亀裂発生寿命 N_c	N_c 時亀裂長さ (mm)	破断寿命 N_f
SM- 1	0.00333	0.0239	0.0272	129	0.1	164
	2	0.00306	0.00636	0.00942	1232	0.1
	3	0.00298	0.0165	0.0195	235	0.2
	4	0.00278	0.0111	0.0138	492	0.1
	5	0.00223	0.00458	0.00682	1745	0.1
	6	0.00199	0.00289	0.00489	3475	0.1
	8	0.00248	0.00825	0.0107	728	0.1
	9	0.00278	0.0133	0.0161	313	0.1
	11	0.00166	0.00118	0.00284	30050	0.1
	12	0.00181	0.00170	0.00352	10084	0.1
	13	0.00231	0.00567	0.00799	1850	0.1
	14	0.00187	0.00234	0.00421	6500	0.1
SC- 1	0.00337	0.0239	0.0273	129	0.1	208
	2	0.00307	0.0162	0.0193	213	0.1
	3	0.00289	0.0108	0.0137	510	0.1
	4	0.00259	0.00612	0.00871	1207	0.1
	6	0.00226	0.00269	0.00495	3972	0.1
	7	0.00247	0.00410	0.00657	2628	0.1
	8	0.00217	0.00210	0.00418	6222	0.1
	9	0.00260	0.00851	0.0111	663	0.1
	10	0.00253	0.00518	0.00771	1716	0.1
	11	0.00193	0.00085	0.00278	30130	0.1
	12	0.00343	0.0308	0.0342	92	0.1
						145

注; (1) SM-xx ; チェーン用丸鋼

SC-xx ; チェーン切出材

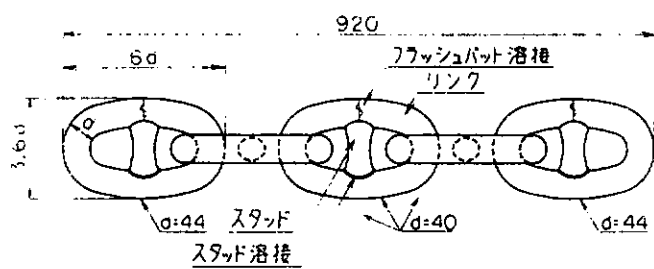


図 4.4.1 供試チェーンの形状

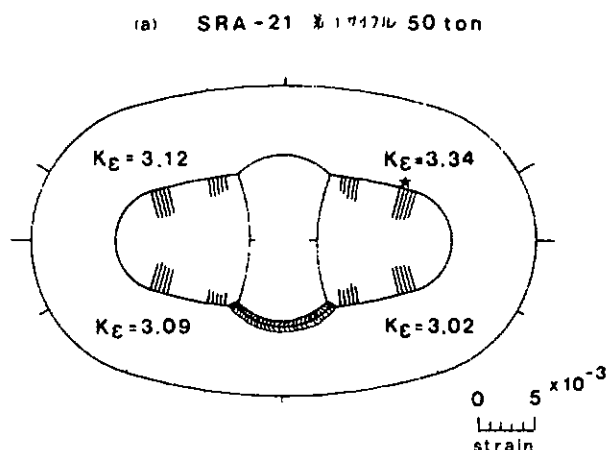


図 4.4.2 応力計測結果 (a)

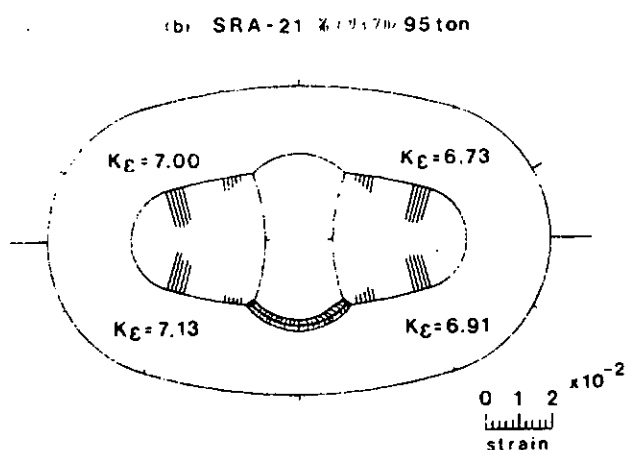


図 4.4.2 (b)

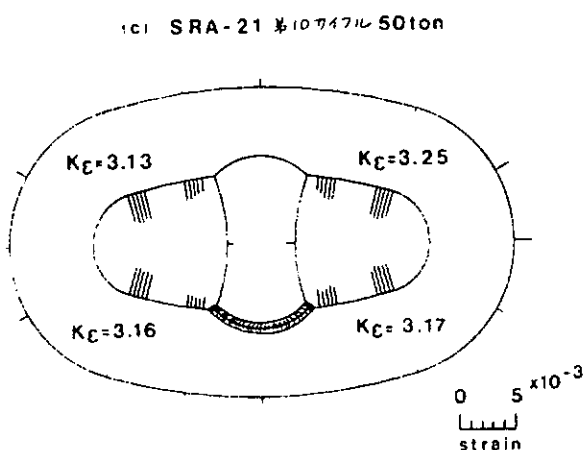


図 4.4.2 (c)

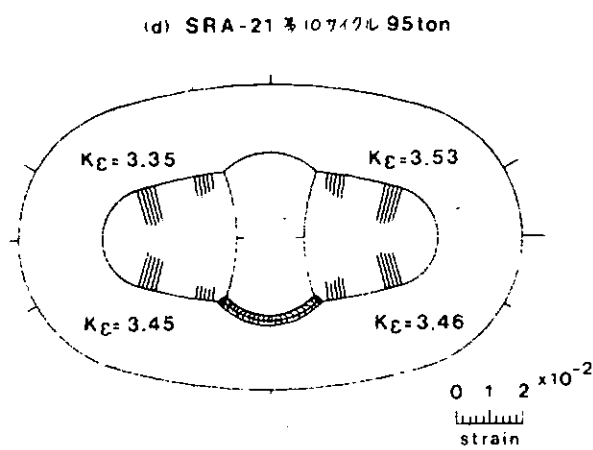


図 4.4.2 (d)

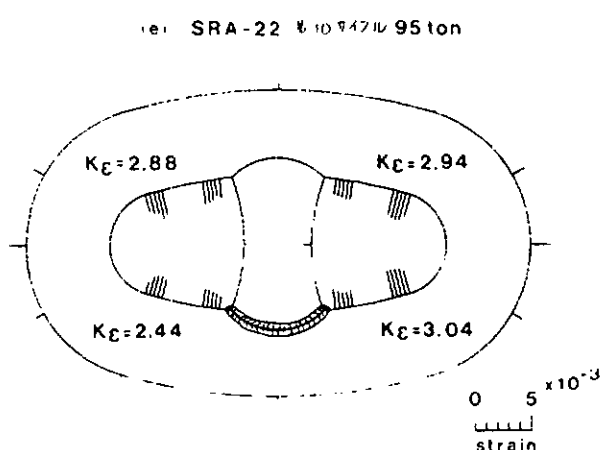


図 4.4.2 (e)

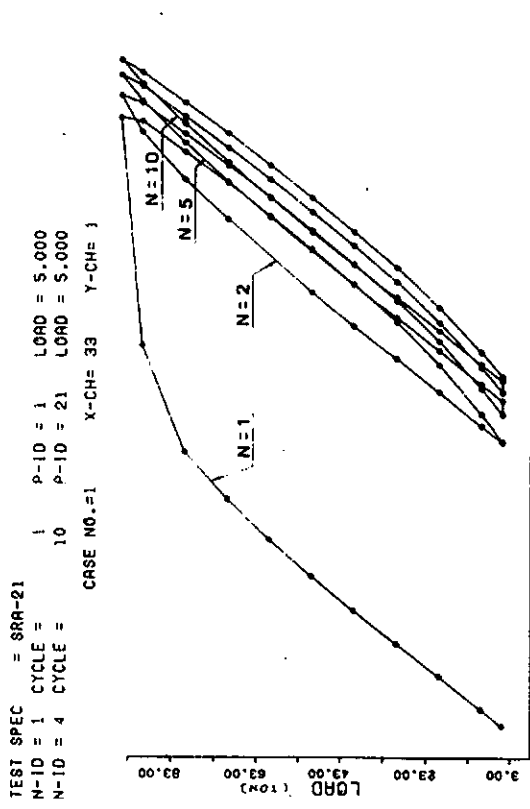


図 4.4.3 荷重 - ひずみ履歴曲線

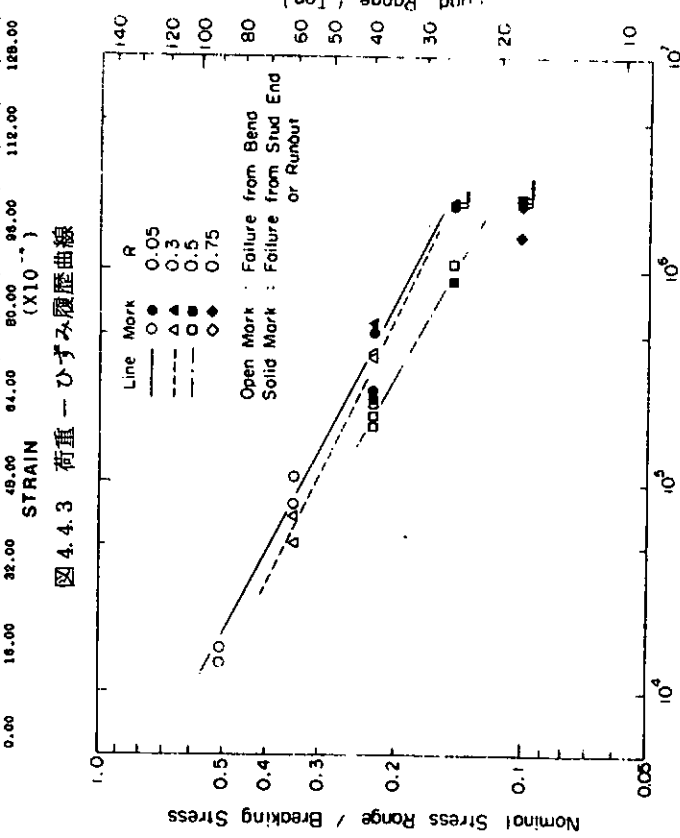


図 4.4.4 チューン疲労試験結果

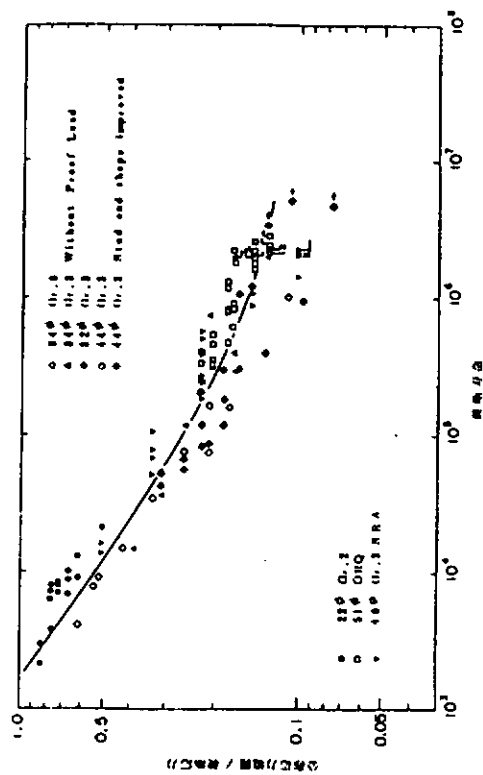


図 4.4.5 チューンの疲労強度

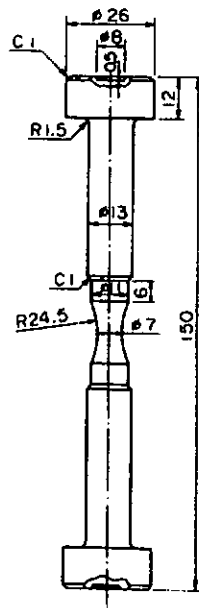


図 4.4.6 矩形形試験片

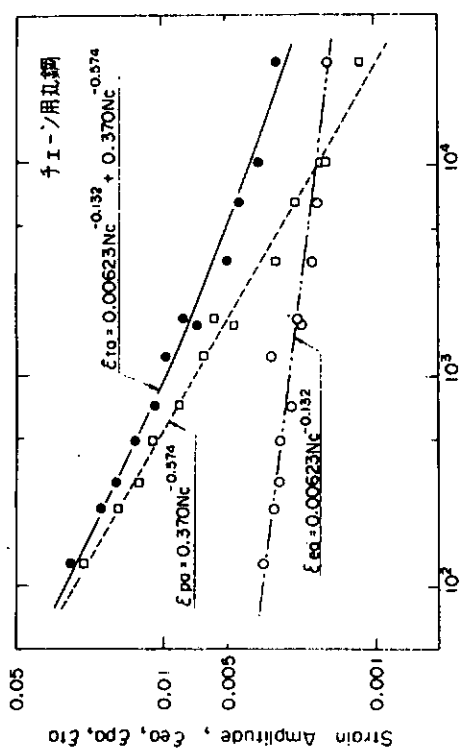


図 4.4.7 破壊試験片切出要領

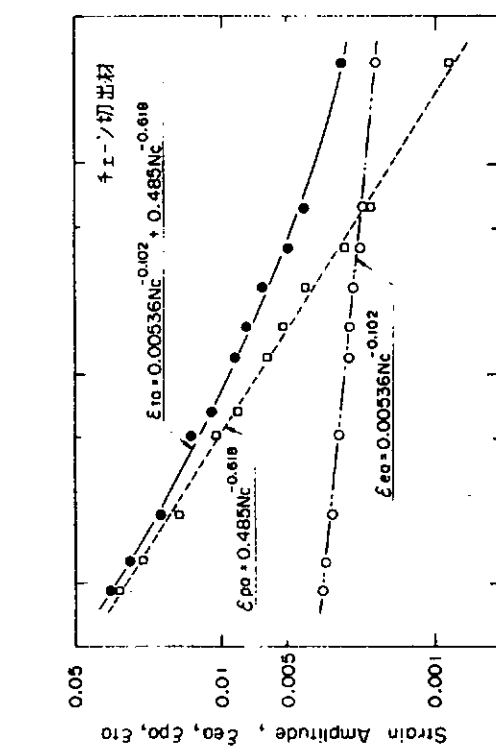


図 4.4.8 チェーン材料疲労試験結果

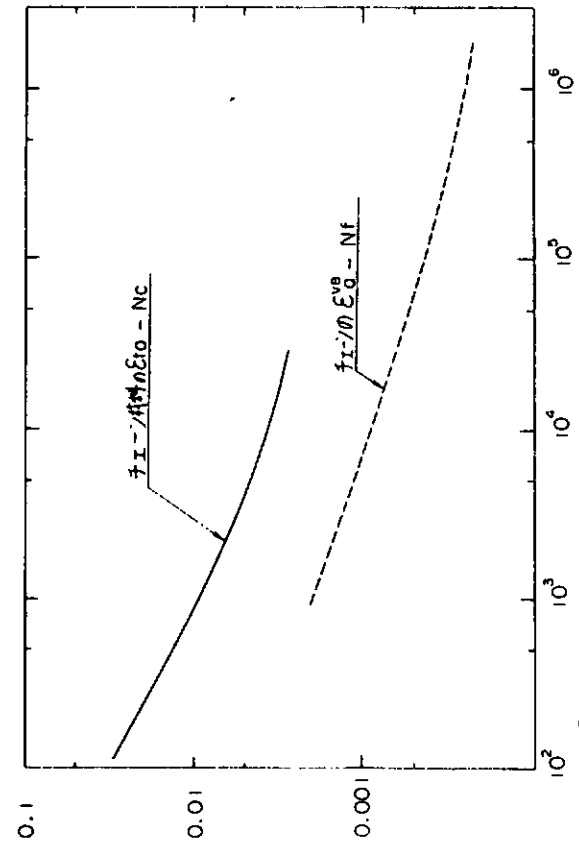


図 4.4.9 チェーン材料疲労試験結果

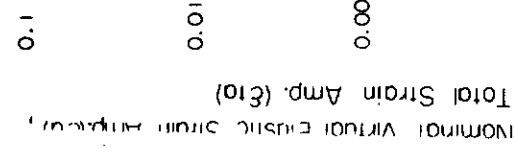


図 4.4.10 チェーンおよびチエーン材料の疲労強度

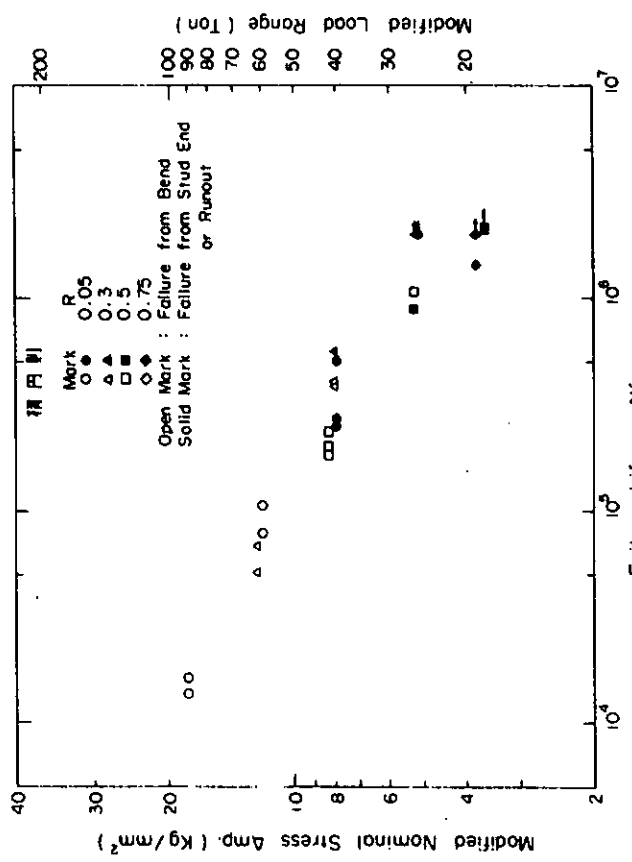


図 4.4.11 平均応力 - 応力振幅線図

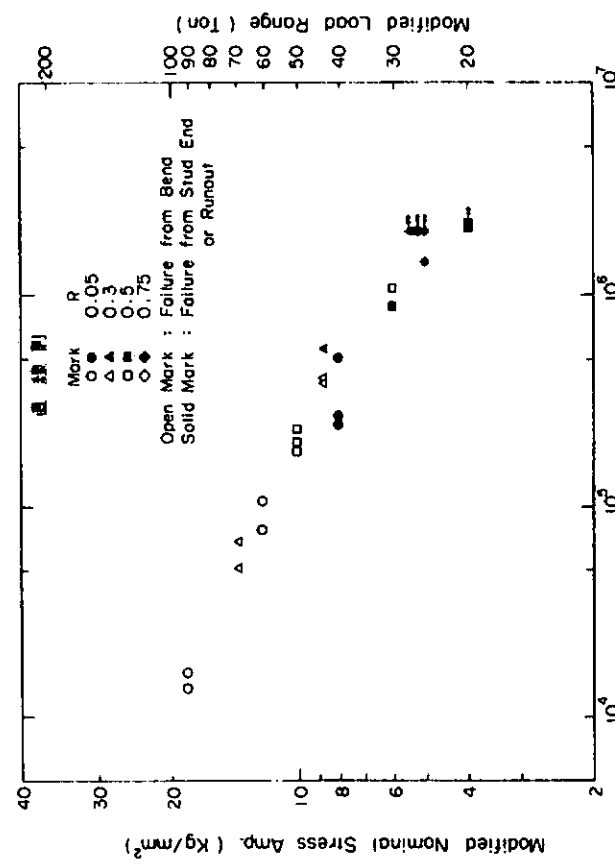


図 4.4.12 直線則により補正した疲労試験結果

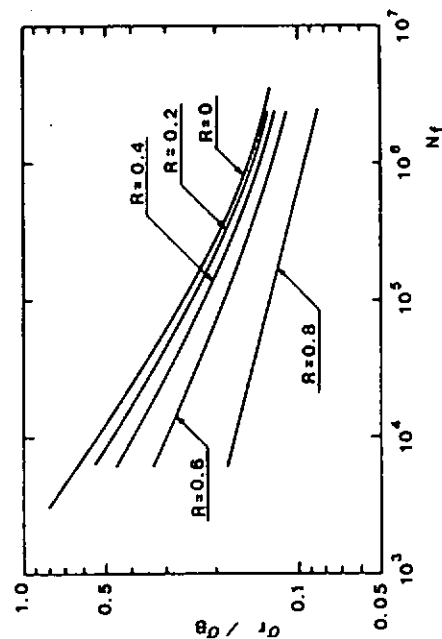


図 4.4.13 楊円則により補正した疲労試験結果

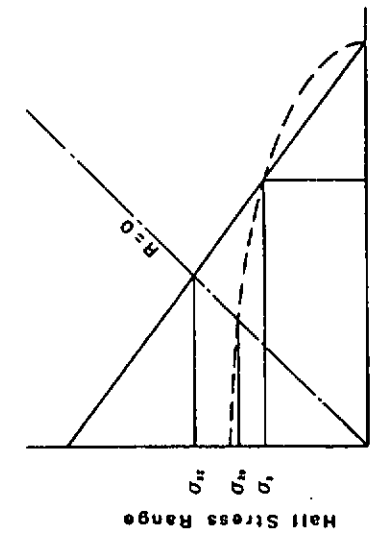


図 4.4.14 各応力比に対するチーンの疲労強度線図

4.5 索・鎖の生物付着

海洋構造物を索鎖係留した場合、海洋構造物の没水部は勿論、索鎖にも生物付着があり、その量が多量で、厚ければ海洋構造物全体の重量や流体力に変化を与える⁵⁾。ひいては系全体の動的応答にも変化を与えることは十分考えられる。

従ってここでは、海洋構造物も含めて索・鎖の生物付着に関する文献調査を行った。

4.5.1 付着生物の種類および特性

(1) 付着生物の種類

付着生物の種類は調査を実施した海域(地理的位置、水温、海流等)、水深、期間、付着対象物等の特性によって大きく異なり、一定した結果は得られていないが北米、北海、日本近海等にみられる肉眼的大形付着生物の主なものは下記の通りである。(顕微鏡的小形付着生物としては菌類、珪藻類、原生動物類等が含まれるがここでは言及しない。)

海藻類(Algal)

フジツボ類(Barnacles)

ホヤ類(Tunicates)

苔虫類(Bryozoa)

イガイ類(Mussels)

ヒドロ虫類(Hydroids)

(2) 付着過程と時間的変化

海洋生物が海中の構造物、装置などに付着する場合の過程は、まず海中の菌類が表面に付着して増殖し、粘稠膜を形成する。この上に珪藻類が付着するが、これは2週間位で肉眼でみることのできる褐色がかかった透明な寒天状の層となり、スライムと呼ばれるものになる。

この後から大形の生物の付着が始まるわけであるが、最初に付着するのは、その場所に浮遊しているフジツボ、コケムシなどの幼体類であり、その種類と量とは幼体の繁殖期に深く関係している。大形生物では成長の速い生物がまず優占種となり、遅いものがこれにつづくのが一般的なパターンである。例えば、マイアミのテストパネルを使った実験では、4週間後には一面にフジツボ類が付着したが、10週後にはこのフジツボ類の上にいくつかのホヤ類がみられた。更に16週後になるとホヤ類は数、量ともに増加していく。このころになると、フジツボ類は大形に成長するが、その数は逆に減少していき、ホヤ類におおわれていない個体でも多くのものは死んでしまう。26週後になるとホヤ類のほかに苔虫類が加わり、これらが完全に優占種となり、フジツボ類はその下に埋ってしまう。

この段階からイガイが成長を始め、苔虫類等を侵食し、ついには死滅させてしまう。

このようにして、付着作用は各種生物の相互作用を通じて生物学的遷移を行なながら、約2年間で最終安定状態に至る。この最終安定状態で優占種はケースバイケースで異なっており、また必ずしも同一種で占められるというわけでもない。

従ってこの最終安定状態になると下のものは食物や酸素不足で死滅し、又自重も加わり全面的あるいは部分的にはがれ落ちたりして、そのサイクルをくり返すので、層の厚みは自動的に制限される。

(3) 付着生物の一般的特性

生物の付着作用は一般的に次記の代表的な環境条件によって、その種類、量が異なる。

(a) 海域(地理的位置、水温、海流等)

(b) 陸からの距離

(c) 水 深

(d) 材 質

(a) 海 域

(i) 地理的位置

世界のあらゆる海域での付着生物を模式的に示すことは資料も乏しく難しいが、いくつかの成果があがっている北米、北海、日本近海についてとりまとめる。これらについては、付着量の実測例（4.5.2）として後述する。

(ii) 水 温

熱帯海域や深海のように周年水温が余り変化しないところでは、付着活動は一年中行われることが多い。一方温帯海域のように水温の季節変動が大きい海域では冬期になると水温が低下し、産卵、再生産などの繁殖活動は抑制されるが停止してしまい、水温の上昇する春まで極端に減少する。

繁殖開始水温は種によって異なるが大体15℃前後である。しかし、同じ温帯域でも種によっては北方海域では水温が低くなる冬季だけに上記の如く繁殖が止まり、南方海域では高水温の夏だけに繁殖が止まることもある。又、夏と冬には水温等の繁殖条件が余り適さず春と秋だけに繁殖する場合もある。

(iii) 海 流²⁾

幼生の付着は海水の流れにも大きく左右され、流速が約1ノット以上になると付着が極度に減少する。

(b) 陸からの距離

付着生物は沿岸水と沖合水との接点を境として種類、質ともに変化する。一般には付着は陸に近い程激しくなる。付着生物の幼体は大部分沿岸域に生息していて、沖合まで浮遊することは少ないからである。

付着の沖合限界は陸からの地理的距離よりは、むしろ沿岸水の及んでいる範囲によっており、特に沿岸海流の影響を受け、幼体は沖合へ浮遊することがある。⁶⁾ 北海でも沿岸から約110マイル離れた沖合のプラットフォームにも、沿岸の生物が密に付着していて、海流の影響であることが報告されている。

(c) 水 深

各生物種には固有の生息深度があり、これらが各々の深さに応じて分布しているのが普通である。

海面下250m程度までの生息分布を図4.5.1に模式的に示す。この図から水深により次の如く3つに大別される。

i) 藻、イガイ、ホヤ類が生息する水深30m程度まで

ii) フジツボ、苔虫類が生息する水深70~80m程度まで

iii) ヒドロ虫類のように水深に対し、ほぼ一定の分布密度になっている場合⁴⁾

i) およびii) の場合は水深と共に分布密度が低下しているが、総じて水深が30m以深になると付着の総量は減少してゆくようである。

一方、フジツボ類について詳しく調査した別の報告を図4.5.2に示す。この図はさまざまの深度におけるブイ鎖のデータを集め、A~Mの各種フジツボの度数分布を表示したものである。

これによると深海に多く生息するフジツボもあり、北海でも深海でフジツボが付着することが報告されている。

さらに、図 4.5.3 に示すように海底の傾斜の異なる 2 つの海域において、岸から同じ距離（4 マイル）離れた範囲で水深による付着量の変化を調査したところ

- i) 付着量は深海になるにつれて減少していく。
 - ii) 緩やかな傾斜の場合は、沖合になるにつれて付着量は減少していく。
 - iii) 急激な傾斜の場合は、沖合距離には余り関係せず、付着量は緩やかな傾斜の場合よりも少ない。
- ことが報告されている。

(d) 材質

各種材質による付着量の調査としては、マイアミ沖でフジツボについて実験を行っている。それを図 4.5.4 に示す。これによると、表面がなめらかで、孔をもたず、繊維質を含まず、また特に固い材質面では付着は殆んど起らなかった。最も付着が激しかったのはアスペストで、木材がこれに次いでいる。一方、付着量の少いものはプラスチック等のように表面がごく平らで滑らかな物質に限られていた。

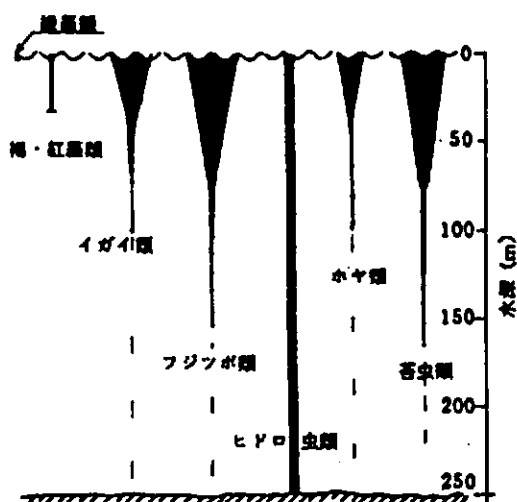


図 4.5.1

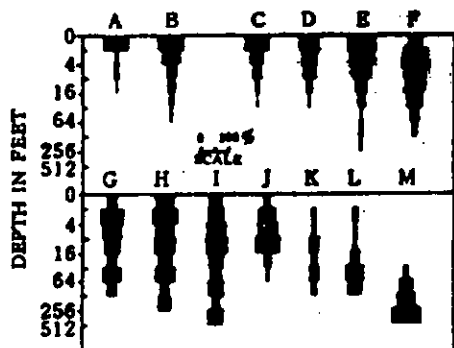


図 4.5.2

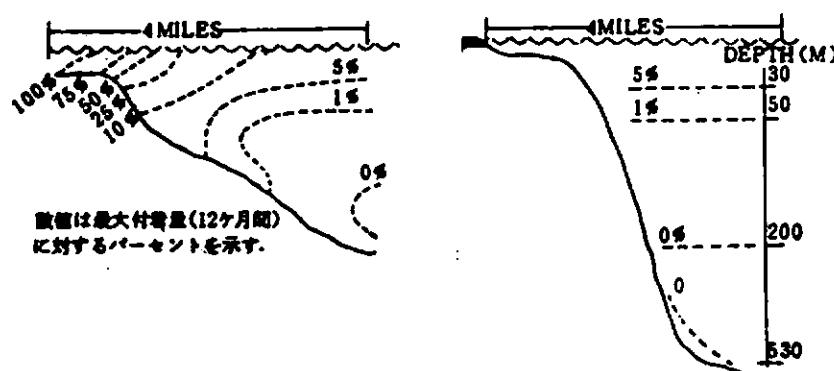


図 4.5.3

3)
一方、長崎港で実施した各種有機材料に対する生物付着の調査では他の材質に比し、テフロンが付着しにくいことが報告されている。

4.5.2 生物付着量の実測例

いくつかの成果があがっている北米、北海、日本近海について以下記述する。

北米のルイジアナ沖のプラットフォームで実測されたものを図 4.5.5 に、北米沿岸のパイで実測されたものを図 4.5.6 に各々示す。

これによると、ルイジアナ沖では付着生物の厚みは最大 50 mm 程度であるが、この測定は固い生物（フジツボ、貝類）を対象としたものであり、軟かい生物（ヒドロ虫、こけ虫）も含めると 10 ~ 30 ft の水深で 125 mm の厚みに達している。一方、北米沿岸の場合は 150 kg/m² 程度（付着生物の比重を 1 とすれば、150 mm 厚に相当）付着している。

北海の英国セクターにあるプラットフォームに対して実測した結果によると、沿岸あるいは浅い水深（約 25 m レベルまで）におかれたプラットフォームには、イガイ類が急速に 100 ~ 200 mm 厚の層を成して付着している。

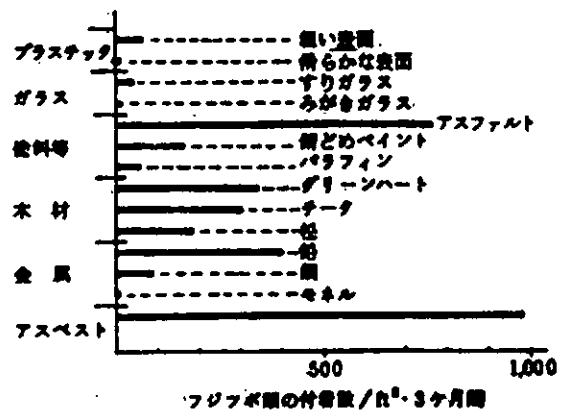


図 4.5.4

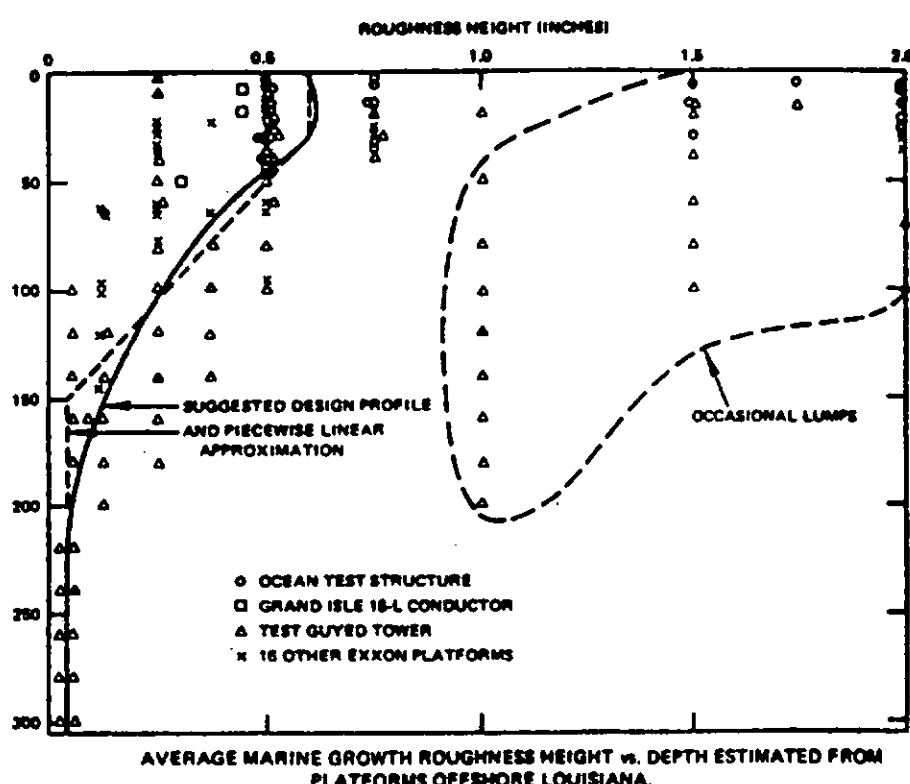
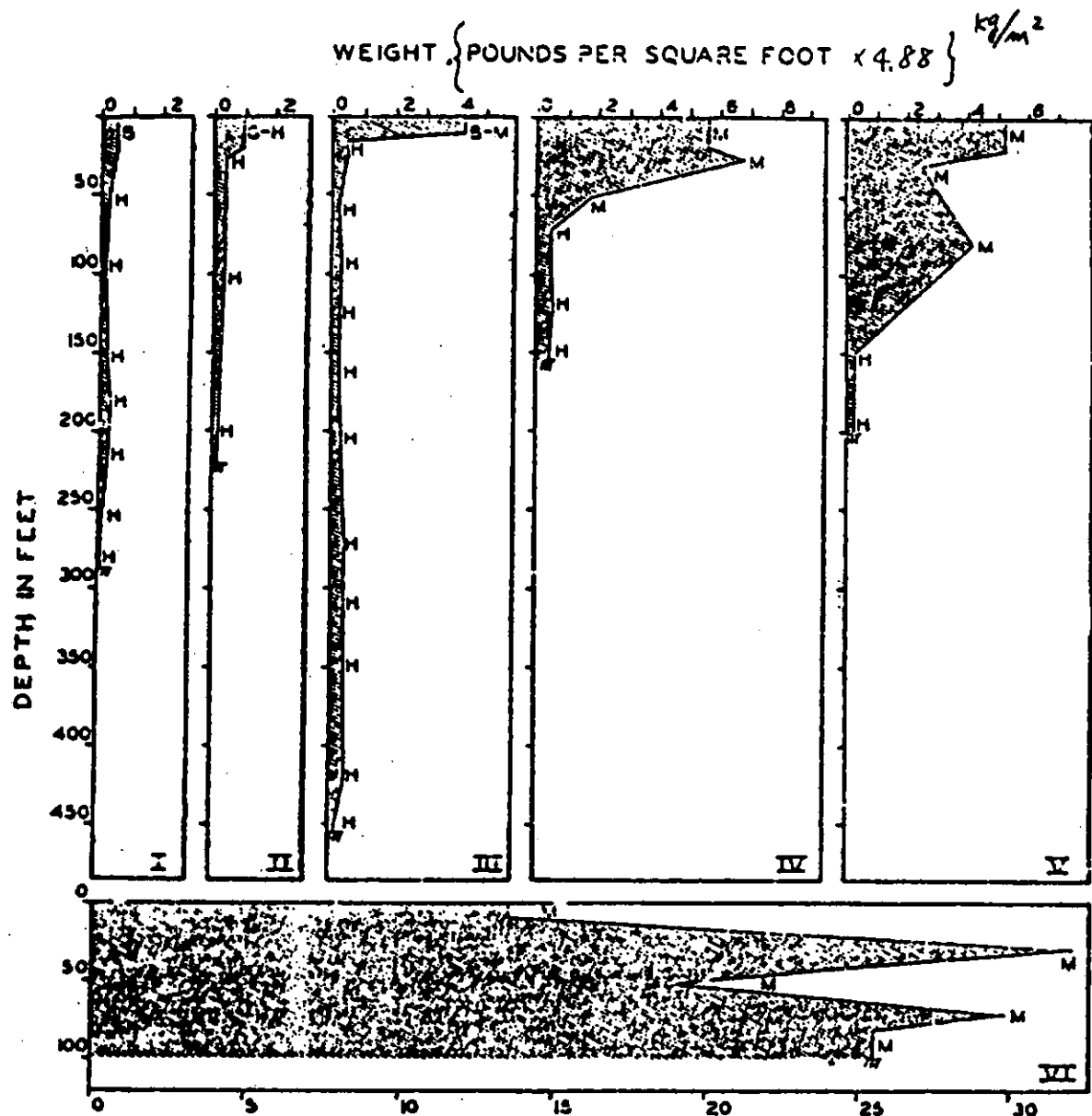


図 4.5.5



I ~ VIは各計測場所を示す。

G.B barnacles (フジツボ)

H hydroicels (ヒドロ虫)

M mussels (イガイ)

図 4.5.6 北米沿岸のブイに付着した付着生物とその量

これらは、プラットフォームの荷重に多大な影響を与えるので2~3年毎に除去している。

日本近海では、阿賀沖プラットフォームで水深40m付近まで付着生物が年間数十mmに達する例が報告されている。

浮魚礁の調査によると、ブイには多く付着するが、係留索についてはデータがまちまちであり、定量的にもとらえていない。⁷⁾

参考文献

- 1) 海洋の付着生物 日本船用機関学会誌 第16巻 第3号 昭56
(工技院報告書 海底付着生物に関する調査の要約版)
- 2) 海洋構造物と付着生物 Ocean Age 1980-7 Vol.12
- 3) 生物付着と防汚性の調査 社内資料(エコール用原稿)
- 4) Marine Fouling and Its Prevention U.S. Naval Institute 1952
- 5) Biological and Engineering Parameters for Macrofouling Growth on Platforms Offshore Louisiana Oceans '81
- 6) Marine Growth on North Sea oil and Gas Platforms OTC 3860 '80
- 7) 浮魚礁開発の現状について Ocean Age 1981-7 Vol.13
- 8) 海洋構造物の水中検査 ECOR日本委員会 '78 N20

第5章 結 言

以上は、昭和57年度において第187研究部会が海洋構造物の深海係留に関する調査研究として実施した内容である。

本年度の調査研究において特筆すべき事項は、昭和56年度における文献調査によって摘出された究明すべき課題の中で特に重要課題として実験方案を作成した係留用索・鎖に働く流体力及び係留用索・鎖の疲労強度に関して系統的な実験を実施し、各特性を明確化することができた。これらの成果は、今後海洋構造物の深海係留に関する技術開発及び数値計算の精度向上等に活用できる極めて貴重な資料となるものである。

本研究部会においては、昭和56年度及び昭和57年度における調査研究結果を踏えて昭和58年度以降においても海洋構造物の深海係留に関する共通的・基礎的な技術課題について文献の補足調査、数値計算及び実験的研究を行い、より実用的な係留技術が確立できるよう各委員及び事務局が一体となって精力的に活動するよう努めたい。